

Identification de solutions d'adaptation aux aléas
côtiers pour augmenter la résilience des
communautés des Premières Nations dans un
contexte de changements climatiques:

Rapport détaillé des résultats de l'algorithme
d'identification d'ouvrages de protection côtière pour la
communauté de Pessamit

Présenté au Conseil Tribal Mamuitun et au ministère des Ressources naturelles
Canada (RNCan) et

Appuyé par le Programme d'adaptation aux changements climatiques de
Ressources naturelles Canada

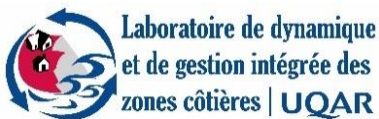


Ressources naturelles
Canada

Natural Resources
Canada

Canada

Sous la direction de
Pascal Bernatchez, Ph. D.
Mars 2021



Direction

Pascal Bernatchez, Ph. D.

Université du Québec à Rimouski

Département de biologie, chimie et géographie

Chaire de recherche en géoscience côtière

Laboratoire de dynamique et de gestion intégrée des zones côtières (LDGIZC)

300, allée des Ursulines, case postale 3300

Rimouski (Québec) G5L 3A1

Téléphone : (418) 723-1986, poste 1257 (bureau) ou poste 1206 (laboratoire)

Télécopieur : (418) 724-1847

Courriel : pascal_bernatchez@uqar.qc.ca

<http://dgizc.uqar.qc.ca/>

Rédaction

Philippe Sauvé, ing. jr, M.Sc. Doc.en sc. de l'environnement, LDGIZC, UQAR

Pascal Bernatchez, Ph. D. Chaire de recherche en géoscience côtière, UQAR

Remerciements

L'équipe de recherche tient à remercier le Conseil Tribal Mamuitun pour leur confiance ainsi que les communautés innues de Pessamit et de Uashat pour leur participation et leur collaboration. Nous tenons aussi à remercier le ministère des Ressources naturelles du Canada pour sa contribution financière accordée pour l'adaptation au changement climatique.

Référence complète

Sauvé, P. et Bernatchez, P. 2021. Rapport détaillé des résultats de l'algorithme d'identification d'ouvrages de protection côtière pour la communauté de Pessamit. Guide écrit dans le cadre du projet Identification de solutions d'adaptation aux aléas côtiers pour augmenter la résilience des communautés des Premières Nations dans un contexte de changements climatiques. Laboratoire de dynamique et de gestion intégrée des zones côtières, Université du Québec à Rimouski. Document remis au ministère des Ressources naturelles Canada, mars 2021, 115 p.

Photographies de la page de couverture :

Laboratoire de dynamique et de gestion intégrée des zones côtières

TABLE DES MATIÈRES

| | |
|-------------------------------|----|
| Regroupement 3..... | 1 |
| Effets géomorphologiques..... | 4 |
| Effets écosystémiques..... | 12 |
| Effets sociaux..... | 17 |
| Regroupement 4..... | 45 |
| Effets géomorphologiques..... | 48 |
| Effets écosystémiques..... | 54 |
| Effets sociaux..... | 60 |
| Regroupement 5..... | 45 |
| Effets géomorphologiques..... | 48 |
| Effets écosystémiques..... | 54 |
| Effets sociaux..... | 60 |

Identification d'ouvrages de protection côtière

Date : 2021-03-19

Cellule hydrosédimentaire :

version :

Groupe_0003

page :

1

Sommaire principal

| Caractéristiques environnementales | Évolution côtière | Portrait des services écologiques |
|------------------------------------|--|--|
| type de côte : Falaise meuble | Présence d'artificialité (%) : 46,3 | Fins alimentaires : 18 |
| type de sol : Sable (0,063 - 2 mm) | Taux de déplacement moyen (m/an) : 0,128 | Maintenance du cycle de vie : 5 |
| marnage : Mesotidal (2 - 4 m) | Hauteur moyenne (m) : 10 | Purification de l'eau : 1 |
| vague : Faible (Hs < 1,0 m) | Sens de la dérive littorale : 0 | Protection côtière : 1 |
| | Apport sédimentaire potentiel (m3/an) : ND | Fins récréatives ou de loisirs : 15 |
| | | boliques, sacrées, spirituelles ou religieuses : 1 |

Classement des ouvrages de protection côtière (effet géomorphologique global)

| Pos. | OPC | % seuil | Moy | IC | N | -5 | -3 | -1 | 0 | 1 | 3 | 5 |
|------|--------------------------------|---------|--------|-------|-----|-------|-------|-------|-------|-------|-------|-------|
| 1 | Végétalisation | 3 | 2,748 | 0,375 | 119 | 0,0% | 3,4% | 0,8% | 5,0% | 5,9% | 72,3% | 12,6% |
| 2 | Couches perméables de draina | 3 | 2,182 | 0,375 | 11 | 0,0% | 9,1% | 0,0% | 9,1% | 0,0% | 81,8% | 0,0% |
| 3 | Recharge de plage | 3 | 1,988 | 0,375 | 335 | 0,9% | 6,0% | 1,2% | 17,0% | 13,7% | 48,7% | 12,5% |
| 4 | Recharge d'avant-plage | 3 | 1,75 | 0,375 | 104 | 0,0% | 13,5% | 1,0% | 13,5% | 9,6% | 52,9% | 9,6% |
| 5 | Système horizontal de drainage | 1 | 1,649 | 0,375 | 114 | 0,9% | 13,2% | 2,6% | 12,3% | 13,2% | 45,6% | 12,3% |
| 6 | Système vertical de drainage | 1 | 1,588 | 0,375 | 17 | 0,0% | 0,0% | 0,0% | 35,3% | 23,5% | 35,3% | 5,9% |
| 7 | Épi perméable | 1 | 0,874 | 0,375 | 95 | 8,4% | 16,8% | 6,3% | 8,4% | 9,5% | 37,9% | 12,6% |
| 8 | Brise-lame émergé | -3 | -0,125 | 0,375 | 80 | 7,5% | 38,8% | 2,5% | 5,0% | 2,5% | 38,8% | 5,0% |
| 9 | Brise-lame submergé | -3 | -0,296 | 0,375 | 162 | 8,6% | 39,5% | 2,5% | 4,9% | 7,4% | 29,0% | 8,0% |
| 10 | Brise-lame à crête basse | -3 | -0,557 | 0,375 | 97 | 10,3% | 43,3% | 2,1% | 3,1% | 5,2% | 28,9% | 7,2% |
| 11 | Épi imperméable | -3 | -0,894 | 0,375 | 113 | 8,8% | 47,8% | 4,4% | 7,1% | 1,8% | 24,8% | 5,3% |
| 12 | Rip-rap | -3 | -1,00 | 0,697 | 7 | 0,0% | 42,9% | 14,3% | 28,6% | 0,0% | 14,3% | 0,0% |
| 13 | Mur de protection | -3 | -2,40 | 0,375 | 135 | 14,1% | 60,0% | 8,9% | 9,6% | 2,2% | 4,4% | 0,7% |
| 14 | Enrochement | -3 | -3,219 | 0,375 | 32 | 25,0% | 65,6% | 0,0% | 9,4% | 0,0% | 0,0% | 0,0% |

Classement des ouvrages de protection côtière (effet écosystémique global)

| Pos. | OPC | % seuil | Moy | IC | N | -5 | -3 | -1 | 0 | 1 | 3 | 5 |
|------|--------------------------------|---------|--------|-------|-----|-------|-------|------|-------|-------|-------|-------|
| 1 | Végétalisation | 3 | 3,10 | 0,899 | 20 | 0,0% | 0,0% | 0,0% | 0,0% | 5,0% | 85,0% | 10,0% |
| 2 | Épi perméable | 3 | 2,154 | 0,922 | 26 | 3,8% | 7,7% | 3,8% | 7,7% | 0,0% | 61,5% | 15,4% |
| 3 | Recharge d'avant-plage | 3 | 1,903 | 0,937 | 31 | 0,0% | 6,5% | 0,0% | 25,8% | 6,5% | 51,6% | 9,7% |
| 4 | Système horizontal de drainage | 1 | 1,524 | 0,899 | 21 | 0,0% | 9,5% | 0,0% | 23,8% | 19,0% | 38,1% | 9,5% |
| 5 | Recharge de plage | 0 | 1,314 | 0,937 | 118 | 0,8% | 11,9% | 4,2% | 24,6% | 9,3% | 39,8% | 9,3% |
| 6 | Brise-lame émergé | 0 | 0,091 | 0,899 | 11 | 0,0% | 36,4% | 0,0% | 18,2% | 9,1% | 36,4% | 0,0% |
| 7 | Système vertical de drainage | 0 | 0,00 | 0,375 | 5 | 0,0% | 40,0% | 0,0% | 20,0% | 20,0% | 0,0% | 20,0% |
| 8 | Épi imperméable | -3 | -0,02 | 0,922 | 49 | 0,0% | 40,8% | 8,2% | 12,2% | 4,1% | 24,5% | 10,2% |
| 9 | Brise-lame à crête basse | -3 | -0,583 | 0,937 | 48 | 12,5% | 39,6% | 4,2% | 4,2% | 4,2% | 27,1% | 8,3% |
| 10 | Brise-lame submergé | -3 | -0,633 | 0,937 | 49 | 16,3% | 38,8% | 0,0% | 0,0% | 6,1% | 32,7% | 6,1% |
| 11 | Mur de protection | -3 | -2,714 | 0,922 | 49 | 22,4% | 59,2% | 4,1% | 8,2% | 0,0% | 4,1% | 2,0% |
| 12 | Enrochement | -3 | -2,889 | 0,899 | 9 | 11,1% | 77,8% | 0,0% | 11,1% | 0,0% | 0,0% | 0,0% |

Classement des ouvrages de protection côtière (effet social global)

| Pos. | OPC | % seuil | Moy | N | -5 | -3 | -1 | 0 | 1 | 3 | 5 |
|------|--------------------------------|---------|--------|-----|------|-------|------|-------|-------|-------|-------|
| 1 | Végétalisation | 3 | 2,413 | 138 | 1,4% | 5,8% | 2,2% | 5,1% | 6,5% | 66,7% | 12,3% |
| 2 | Couches perméables de draina | 3 | 2 | 9 | 0,0% | 11,1% | 0,0% | 11,1% | 0,0% | 77,8% | 0,0% |
| 3 | Recharge d'avant-plage | 1 | 1,402 | 117 | 1,7% | 17,1% | 0,9% | 12,8% | 9,4% | 49,6% | 8,5% |
| 4 | Épi perméable | 1 | 0,989 | 93 | 5,4% | 19,4% | 6,5% | 7,5% | 9,7% | 38,7% | 12,9% |
| 5 | Système vertical de drainage | 0 | 0,824 | 17 | 0,0% | 11,8% | 0,0% | 41,2% | 17,6% | 23,5% | 5,9% |
| 6 | Recharge de plage | 0 | 0,678 | 485 | 6,6% | 17,9% | 4,7% | 17,3% | 9,5% | 34,8% | 9,1% |
| 7 | Système horizontal de drainage | 0 | 0,584 | 89 | 1,1% | 18,0% | 3,4% | 32,6% | 11,2% | 29,2% | 4,5% |
| 8 | Brise-lame submergé | -3 | -0,127 | 158 | 8,2% | 36,1% | 3,2% | 6,3% | 7,6% | 30,4% | 8,2% |

Identification d'ouvrages de protection côtière

Date : 2021-03-19

Cellule hydrosédimentaire :

version :

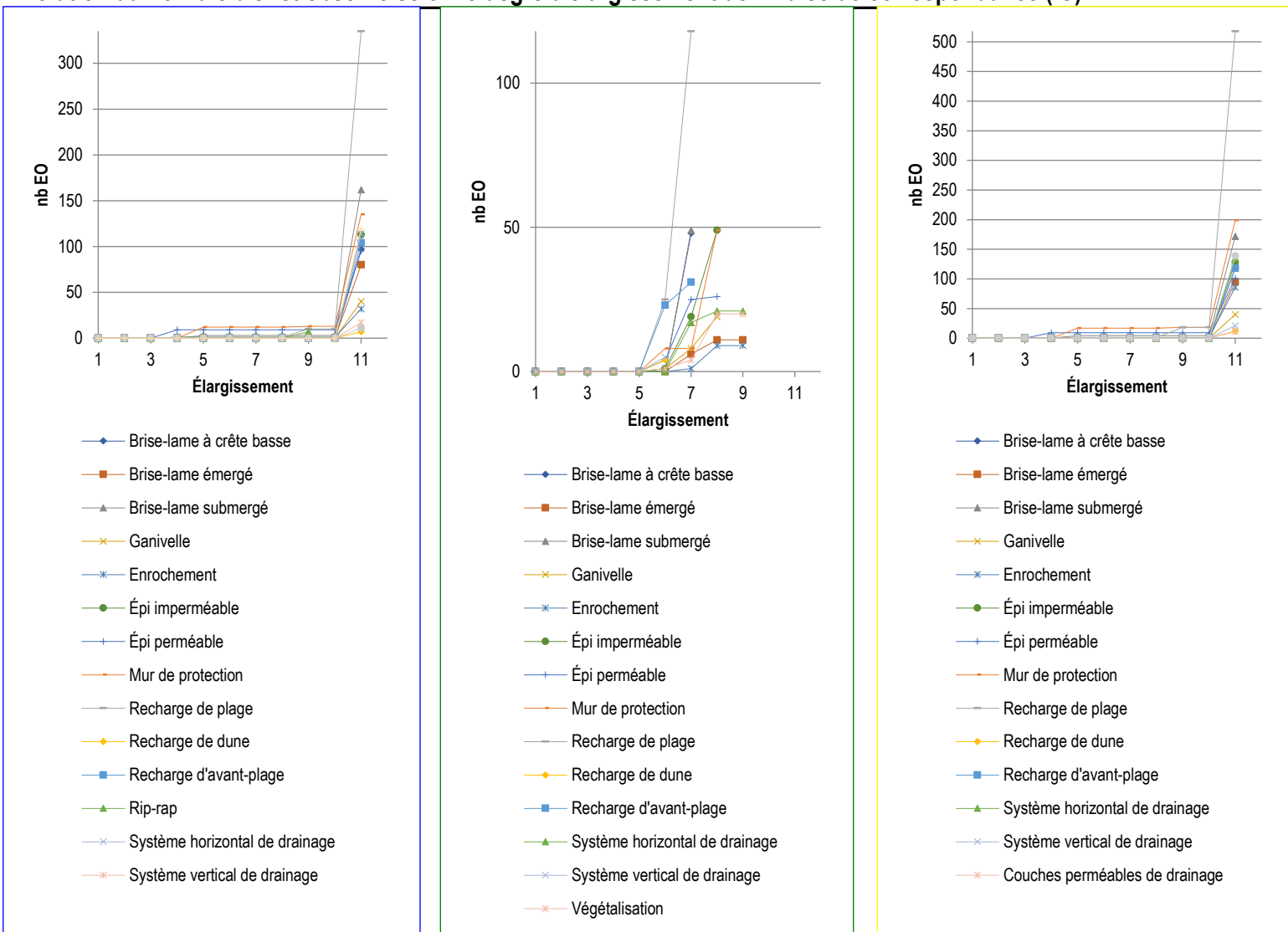
Groupe_0003

page :

2

| | | | | | | | | | | | |
|----|--------------------------|----|--------|-----|-------|--------------|------|-------|------|-------|------|
| 9 | Brise-lame émergé | -3 | -0,433 | 90 | 7,8% | 43,3% | 2,2% | 5,6% | 2,2% | 34,4% | 4,4% |
| 10 | Brise-lame à crête basse | -3 | -0,788 | 118 | 10,2% | 45,8% | 3,4% | 4,2% | 4,2% | 26,3% | 5,9% |
| 11 | Épi imperméable | -3 | -0,836 | 122 | 9,8% | 44,3% | 5,7% | 8,2% | 1,6% | 24,6% | 5,7% |
| 12 | Mur de protection | -3 | -2,589 | 168 | 18,5% | 57,7% | 7,1% | 11,3% | 1,2% | 4,2% | 0,0% |
| 13 | Enrochement | -3 | -3,375 | 80 | 36,3% | 53,8% | 2,5% | 5,0% | 0,0% | 2,5% | 0,0% |

Évolution du nombre d'effet observé selon le degré d'élargissement de l'indice de correspondance (IC)



Rapport d'analyse

Rapport : Effets géomorphologiques

Brise-lame à crête basse :

- Seuil de 60% atteint à -3 sur l'échelle en étant basé sur 97 effets observés avec un indice de correspondance de .375.
- Une analyse de l'effet à l'échelle de la cellule hydrosédimentaire n'est pas possible en raison d'un manque de donnée.

Brise-lame émergé :

- Seuil de 60% atteint à -3 sur l'échelle en étant basé sur 80 effets observés avec un indice de correspondance de .375.
- Une analyse de l'effet à l'échelle de la cellule hydrosédimentaire n'est pas possible en raison d'un manque de donnée.

| | |
|----------------------------------|---|
| Brise-lame submergé : | - Seuil de 60% atteint à -3 sur l'échelle en étant basé sur 162 effets observés avec un indice de correspondance de .375. - Une analyse de l'effet à l'échelle de la cellule hydrosédimentaire n'est pas possible en raison d'un manque de donnée. |
| Seuil : | - Aucun effet n'a été répertorié dans un contexte similaire aux caractéristiques environnementales de ce regroupement. |
| Ganivelle : | - Seuil de 60% atteint à 3 sur l'échelle en étant basé sur 40 effets observés avec un indice de correspondance de .375. - Une analyse de l'effet à l'échelle de la cellule hydrosédimentaire n'est pas possible en raison d'un manque de donnée. |
| Digue : | - Aucun effet n'a été répertorié dans un contexte similaire aux caractéristiques environnementales de ce regroupement. |
| Enrochement : | - Seuil de 60% atteint à -3 sur l'échelle en étant basé sur 32 effets observés avec un indice de correspondance de .375. - Une analyse de l'effet à l'échelle de la cellule hydrosédimentaire n'est pas possible en raison d'un manque de donnée. |
| Épi imperméable : | - Seuil de 60% atteint à -3 sur l'échelle en étant basé sur 113 effets observés avec un indice de correspondance de .375. - Une analyse de l'effet à l'échelle de la cellule hydrosédimentaire n'est pas possible en raison d'un manque de donnée. |
| Épi perméable : | - Seuil de 60% atteint à 1 sur l'échelle en étant basé sur 95 effets observés avec un indice de correspondance de .375. - Une analyse de l'effet à l'échelle de la cellule hydrosédimentaire n'est pas possible en raison d'un manque de donnée. |
| Jetée : | - Aucun effet n'a été répertorié dans un contexte similaire aux caractéristiques environnementales de ce regroupement. |
| Génie végétal : | - Aucun effet n'a été répertorié dans un contexte similaire aux caractéristiques environnementales de ce regroupement. |
| Mur de protection : | - Seuil de 60% atteint à -3 sur l'échelle en étant basé sur 135 effets observés avec un indice de correspondance de .375. - Une analyse de l'effet à l'échelle de la cellule hydrosédimentaire n'est pas possible en raison d'un manque de donnée. |
| Recharge de plage : | - Seuil de 60% atteint à 3 sur l'échelle en étant basé sur 335 effets observés avec un indice de correspondance de .375. - Une analyse de l'effet à l'échelle de la cellule hydrosédimentaire n'est pas possible en raison d'un manque de donnée. |
| Recharge de dune : | - Seuil de 60% atteint à 3 sur l'échelle en étant basé sur 7 effets observés avec un indice de correspondance de .375. - Une analyse de l'effet à l'échelle de la cellule hydrosédimentaire n'est pas possible en raison d'un manque de donnée. |
| Recharge d'avant-plage : | - Seuil de 60% atteint à 3 sur l'échelle en étant basé sur 104 effets observés avec un indice de correspondance de .375. - Une analyse de l'effet à l'échelle de la cellule hydrosédimentaire n'est pas possible en raison d'un manque de donnée. |
| Rip-rap : | - Seuil de 60% atteint à -3 sur l'échelle en étant basé sur 7 effets observés avec un indice de correspondance de .697. - Une analyse de l'effet à l'échelle de la cellule hydrosédimentaire n'est pas possible en raison d'un manque de donnée. |
| Système horizontal de drainage : | - Seuil de 60% atteint à 1 sur l'échelle en étant basé sur 114 effets observés avec un indice de correspondance de .375. - Une analyse de l'effet à l'échelle de la cellule hydrosédimentaire n'est pas possible en raison d'un manque de donnée. |
| Système vertical de drainage : | - Seuil de 60% atteint à 1 sur l'échelle en étant basé sur 17 effets observés avec un indice de correspondance de .375. - Une analyse de l'effet à l'échelle de la cellule hydrosédimentaire n'est pas possible en raison d'un manque de donnée. |
| Couches perméables de drainage : | - Seuil de 60% atteint à 3 sur l'échelle en étant basé sur 11 effets observés avec un indice de correspondance de .375. - Une analyse de l'effet à l'échelle de la cellule hydrosédimentaire n'est pas possible en raison d'un manque de donnée. |
| Végétalisation : | - Seuil de 60% atteint à 3 sur l'échelle en étant basé sur 119 effets observés avec un indice de correspondance de .375. - Une analyse de l'effet à l'échelle de la cellule hydrosédimentaire n'est pas possible en raison d'un manque de donnée. |

Rapport : Effets écosystémiques

| | |
|----------------------------|---|
| Brise-lame à crête basse : | - Attention, élargissement de l'indice de correspondance élevé. - Seuil de 60% atteint à -3 sur l'échelle en étant basé sur 48 effets observés avec un indice de correspondance de .937. |
| Brise-lame émergé : | - Attention, élargissement de l'indice de correspondance élevé. - Seuil de 60% atteint à 0 sur l'échelle en étant basé sur 11 effets observés avec un indice de correspondance de .899. |
| Brise-lame submergé : | - Attention, élargissement de l'indice de correspondance élevé. - Seuil de 60% atteint à -3 sur l'échelle en étant basé sur 49 effets observés avec un indice de correspondance de .937. |
| Ganivelle : | - Attention, élargissement de l'indice de correspondance élevé. - Seuil de 60% atteint à 3 sur l'échelle en étant basé sur 19 effets observés avec un indice de correspondance de .922. |
| Enrochement : | - Attention, élargissement de l'indice de correspondance élevé. - Seuil de 60% atteint à -3 sur l'échelle en étant basé sur 9 effets observés avec un indice de correspondance de .899. |
| Épi imperméable : | - Attention, élargissement de l'indice de correspondance élevé. - Seuil de 60% atteint à -3 sur l'échelle en étant basé sur 49 effets observés avec un indice de correspondance de .922. |
| Épi perméable : | - Attention, élargissement de l'indice de correspondance élevé. - Seuil de 60% atteint à 3 sur l'échelle en étant basé sur 26 effets observés avec un indice de correspondance de .922. |
| Mur de protection : | - Attention, élargissement de l'indice de correspondance élevé. - Seuil de 60% atteint à -3 sur l'échelle en étant basé sur 49 effets observés avec un indice de correspondance de .922. |

Identification d'ouvrages de protection côtière

Date : 2021-03-19

Cellule hydrosédimentaire :

version :

Groupe_0003

page :

4

Recharge de plage :

- Attention, élargissement de l'indice de correspondance élevé.
- Seuil de 60% atteint à 0 sur l'échelle en étant basé sur 118 effets observés avec un indice de correspondance de .937.
- Seuil de 60% atteint à 3 sur l'échelle en étant basé sur 4 effets observés avec un indice de correspondance de .375.

Recharge d'avant-plage :

- Attention, élargissement de l'indice de correspondance élevé.
- Seuil de 60% atteint à 3 sur l'échelle en étant basé sur 31 effets observés avec un indice de correspondance de .937.

Système horizontal de drainage :

- Attention, élargissement de l'indice de correspondance élevé.
- Seuil de 60% atteint à 1 sur l'échelle en étant basé sur 21 effets observés avec un indice de correspondance de .899.
- Seuil de 60% atteint à 0 sur l'échelle en étant basé sur 5 effets observés avec un indice de correspondance de .375.

Végétalisation :

- Attention, élargissement de l'indice de correspondance élevé.
- Seuil de 60% atteint à 3 sur l'échelle en étant basé sur 20 effets observés avec un indice de correspondance de .899.

Rapport : Effets sociaux

Résultats détaillés

| Pos. | OPC | Niv. | bservé (effet géomorphologique) | N | Moy | -5 | -3 | -1 | 0 | 1 | 3 | 5 | |
|------|--------------------------|------------------|---------------------------------|------------------|--------|--------|-------|------|--------|-------|--------|-------|-------|
| 1 | Végétalisation | Agr | Géomorphologique | 119 | 2,7479 | 0,0% | 3,4% | 0,8% | 5,0% | 5,9% | 72,3% | 12,6% | |
| | | EDir | Géomorphologique | 51 | 2,7059 | 0,0% | 2,0% | 0,0% | 5,9% | 9,8% | 72,5% | 9,8% | |
| | | | Érosion/Accumulation | 51 | 2,7059 | 0,0% | 2,0% | 0,0% | 5,9% | 9,8% | 72,5% | 9,8% | |
| | | | Accumulation sédimentaire | 19 | 2,8421 | 0,0% | 0,0% | 0,0% | 5,3% | 10,5% | 73,7% | 10,5% | |
| | | | Bilan sédimentaire | 2 | 3 | 0,0% | 0,0% | 0,0% | 0,0% | 0,0% | 100,0% | 0,0% | |
| | | | Érosion | 25 | 2,52 | 0,0% | 4,0% | 0,0% | 8,0% | 12,0% | 64,0% | 12,0% | |
| | | | Hauteur de plage | 1 | 3 | 0,0% | 0,0% | 0,0% | 0,0% | 0,0% | 100,0% | 0,0% | |
| | | | Largeur de plage | 1 | 3 | 0,0% | 0,0% | 0,0% | 0,0% | 0,0% | 100,0% | 0,0% | |
| | | | Rétablissement géomorphologique | 2 | 3 | 0,0% | 0,0% | 0,0% | 0,0% | 0,0% | 100,0% | 0,0% | |
| | | | Rétention sédimentaire | 1 | 3 | 0,0% | 0,0% | 0,0% | 0,0% | 0,0% | 100,0% | 0,0% | |
| | | | CDir | Géomorphologique | 37 | 3,0811 | 0,0% | 2,7% | 0,0% | 2,7% | 5,4% | 67,6% | 21,6% |
| | | | Transport sédimentaire | 6 | 2 | 0,0% | 16,7% | 0,0% | 0,0% | 0,0% | 83,3% | 0,0% | |
| | | | Transport sédimentaire général | 4 | 3 | 0,0% | 0,0% | 0,0% | 0,0% | 0,0% | 100,0% | 0,0% | |
| | | | Transport transversal | 2 | 0 | 0,0% | 50,0% | 0,0% | 0,0% | 0,0% | 50,0% | 0,0% | |
| | | | Jet de rive | 17 | 2,7647 | 0,0% | 0,0% | 0,0% | 11,8% | 0,0% | 82,4% | 5,9% | |
| | | | Backwash/Swash | 3 | 3 | 0,0% | 0,0% | 0,0% | 0,0% | 0,0% | 100,0% | 0,0% | |
| | | | Franchissement | 10 | 2,4 | 0,0% | 0,0% | 0,0% | 20,0% | 0,0% | 80,0% | 0,0% | |
| | | | Run-up | 4 | 3,5 | 0,0% | 0,0% | 0,0% | 0,0% | 0,0% | 75,0% | 25,0% | |
| | | | Processus dissipation | 37 | 3,0811 | 0,0% | 2,7% | 0,0% | 2,7% | 5,4% | 67,6% | 21,6% | |
| | | | Énergie des vagues | 28 | 2,9643 | 0,0% | 3,6% | 0,0% | 3,6% | 7,1% | 64,3% | 21,4% | |
| | Hauteur de vagues | 9 | 3,4444 | 0,0% | 0,0% | 0,0% | 0,0% | 0,0% | 77,8% | 22,2% | | | |
| | Clnd | Géomorphologique | 7 | 1,8571 | 0,0% | 14,3% | 14,3% | 0,0% | 0,0% | 57,1% | 14,3% | | |
| | Profil topobathymétrique | 1 | 3 | 0,0% | 0,0% | 0,0% | 0,0% | 0,0% | 100,0% | 0,0% | | | |
| | Profil de plage | 1 | 3 | 0,0% | 0,0% | 0,0% | 0,0% | 0,0% | 100,0% | 0,0% | | | |
| | Courant | 7 | 1,8571 | 0,0% | 14,3% | 14,3% | 0,0% | 0,0% | 57,1% | 14,3% | | | |
| | Circulation | 6 | 1,6667 | 0,0% | 16,7% | 16,7% | 0,0% | 0,0% | 50,0% | 16,7% | | | |
| | Courant transversaux | 1 | 3 | 0,0% | 0,0% | 0,0% | 0,0% | 0,0% | 100,0% | 0,0% | | | |

Identification d'ouvrages de protection côtière

Date : 2021-03-19

Cellule hydrosédimentaire :

version :

Groupe_0003

page :

5

| | | | | | | | | | | | | |
|---|-----------------------------------|------|------------------------------------|------|--------|-------|--------|-------|--------|-------|--------|-------|
| 2 | Couches perméables de drainage | Agr | Géomorphologique | 11 | 2,1818 | 0,0% | 9,1% | 0,0% | 9,1% | 0,0% | 81,8% | 0,0% |
| | | EDir | Géomorphologique | 6 | 2,5 | 0,0% | 0,0% | 0,0% | 16,7% | 0,0% | 83,3% | 0,0% |
| | | | Érosion/Accumulation | 6 | 2,5 | 0,0% | 0,0% | 0,0% | 16,7% | 0,0% | 83,3% | 0,0% |
| | | | Accumulation sédimentaire | 3 | 3 | 0,0% | 0,0% | 0,0% | 0,0% | 0,0% | 100,0% | 0,0% |
| | | | Érosion | 1 | 0 | 0,0% | 0,0% | 0,0% | 100,0% | 0,0% | 0,0% | 0,0% |
| | | | Hauteur de plage | 1 | 3 | 0,0% | 0,0% | 0,0% | 0,0% | 0,0% | 100,0% | 0,0% |
| | | | Rétablissement géomorphologique | 1 | 3 | 0,0% | 0,0% | 0,0% | 0,0% | 0,0% | 100,0% | 0,0% |
| | | CDir | Géomorphologique | 2 | 3 | 0,0% | 0,0% | 0,0% | 0,0% | 0,0% | 100,0% | 0,0% |
| | | | Transport sédimentaire | 2 | 0 | 0,0% | 50,0% | 0,0% | 0,0% | 0,0% | 50,0% | 0,0% |
| | | | Transport transversal | 2 | 0 | 0,0% | 50,0% | 0,0% | 0,0% | 0,0% | 50,0% | 0,0% |
| | | | Eaux souterraines | 1 | 3 | 0,0% | 0,0% | 0,0% | 0,0% | 0,0% | 100,0% | 0,0% |
| | | | Niveau de la nappe | 1 | 3 | 0,0% | 0,0% | 0,0% | 0,0% | 0,0% | 100,0% | 0,0% |
| | | | Jet de rive | 2 | 3 | 0,0% | 0,0% | 0,0% | 0,0% | 0,0% | 100,0% | 0,0% |
| | | | Backwash/Swash | 2 | 3 | 0,0% | 0,0% | 0,0% | 0,0% | 0,0% | 100,0% | 0,0% |
| 3 | Recharge de plage | Agr | Géomorphologique | 335 | 1,9881 | 0,9% | 6,0% | 1,2% | 17,0% | 13,7% | 48,7% | 12,5% |
| | | EDir | Géomorphologique | 219 | 2,5023 | 0,0% | 0,9% | 0,5% | 15,1% | 15,1% | 52,1% | 16,4% |
| | | | Érosion/Accumulation | 219 | 2,5023 | 0,0% | 0,9% | 0,5% | 15,1% | 15,1% | 52,1% | 16,4% |
| | | | Accumulation sédimentaire | 40 | 3,15 | 0,0% | 2,5% | 0,0% | 0,0% | 5,0% | 72,5% | 20,0% |
| | | | Bilan sédimentaire | 66 | 2,9848 | 0,0% | 0,0% | 0,0% | 7,6% | 15,2% | 51,5% | 25,8% |
| | | | Déplacement du trait de côte | 50 | 1,72 | 0,0% | 2,0% | 0,0% | 24,0% | 24,0% | 48,0% | 2,0% |
| | | | Érosion | 24 | 2 | 0,0% | 0,0% | 4,2% | 41,7% | 0,0% | 33,3% | 20,8% |
| | | | Hauteur de plage | 12 | 2,3333 | 0,0% | 0,0% | 0,0% | 0,0% | 33,3% | 66,7% | 0,0% |
| | | | Largeur de plage | 26 | 2,3077 | 0,0% | 0,0% | 0,0% | 23,1% | 19,2% | 38,5% | 19,2% |
| | | | Rétablissement géomorphologique | 1 | 3 | 0,0% | 0,0% | 0,0% | 0,0% | 0,0% | 100,0% | 0,0% |
| | | CDir | Géomorphologique | 13 | 1,0769 | 0,0% | 7,7% | 0,0% | 38,5% | 15,4% | 38,5% | 0,0% |
| | | | Transport sédimentaire | 25 | 1,68 | 4,0% | 8,0% | 0,0% | 12,0% | 12,0% | 60,0% | 4,0% |
| | | | Transport longitudinal | 11 | 1,9091 | 0,0% | 0,0% | 0,0% | 18,2% | 27,3% | 54,5% | 0,0% |
| | | | Transport sédimentaire général | 4 | 3,5 | 0,0% | 0,0% | 0,0% | 0,0% | 0,0% | 75,0% | 25,0% |
| | | | Transport transversal | 10 | 0,7 | 10,0% | 20,0% | 0,0% | 10,0% | 0,0% | 60,0% | 0,0% |
| | | | Jet de rive | 1 | -3 | 0,0% | 100,0% | 0,0% | 0,0% | 0,0% | 0,0% | 0,0% |
| | | | Run-up | 1 | -3 | 0,0% | 100,0% | 0,0% | 0,0% | 0,0% | 0,0% | 0,0% |
| | | | Processus dissipation | 13 | 1,0769 | 0,0% | 7,7% | 0,0% | 38,5% | 15,4% | 38,5% | 0,0% |
| | | | Déferlement | 1 | 3 | 0,0% | 0,0% | 0,0% | 0,0% | 0,0% | 100,0% | 0,0% |
| | | | Énergie des vagues | 8 | 1 | 0,0% | 12,5% | 0,0% | 25,0% | 25,0% | 37,5% | 0,0% |
| | | | Hauteur de vagues | 4 | 0,75 | 0,0% | 0,0% | 0,0% | 75,0% | 0,0% | 25,0% | 0,0% |
| | | CInd | Géomorphologique | 2 | 0 | 0,0% | 50,0% | 0,0% | 0,0% | 0,0% | 50,0% | 0,0% |
| | | | Profil topobathymétrique | 75 | 0,8667 | 2,7% | 17,3% | 4,0% | 21,3% | 10,7% | 37,3% | 6,7% |
| | | | Profil de plage | 30 | -0,433 | 3,3% | 33,3% | 10,0% | 23,3% | 6,7% | 20,0% | 3,3% |
| | | | Système de barres | 36 | 1,3889 | 2,8% | 8,3% | 0,0% | 22,2% | 16,7% | 44,4% | 5,6% |
| | | | Topographie | 1 | 3 | 0,0% | 0,0% | 0,0% | 0,0% | 0,0% | 100,0% | 0,0% |
| | | | Variation bathymétrique généralisé | 4 | 2,75 | 0,0% | 0,0% | 0,0% | 25,0% | 0,0% | 50,0% | 25,0% |
| | Variation bathymétrique localisée | 4 | 3,5 | 0,0% | 0,0% | 0,0% | 0,0% | 0,0% | 75,0% | 25,0% | | |
| | Courant | 2 | 0 | 0,0% | 50,0% | 0,0% | 0,0% | 0,0% | 50,0% | 0,0% | | |
| | Circulation | 1 | 3 | 0,0% | 0,0% | 0,0% | 0,0% | 0,0% | 100,0% | 0,0% | | |
| | Courant transversaux | 1 | -3 | 0,0% | 100,0% | 0,0% | 0,0% | 0,0% | 0,0% | 0,0% | | |

Identification d'ouvrages de protection cotière

Date : 2021-03-19

Cellule hydrosédimentaire :

version :

Groupe_0003

page :

6

| | | | | | | | | | | | | | | |
|---|----------------------------------|------|------------------------------------|------------------|------------------------------|--------|--------|-------|-------|--------|--------|--------|-------|-------|
| 4 | Recharge d'avant-plage | Agr | Géomorphologique | 104 | 1,75 | 0,0% | 13,5% | 1,0% | 13,5% | 9,6% | 52,9% | 9,6% | | |
| | | EDir | Géomorphologique | 55 | 2,3818 | 0,0% | 5,5% | 1,8% | 14,5% | 7,3% | 52,7% | 18,2% | | |
| | | | Érosion/Accumulation | 55 | 2,3818 | 0,0% | 5,5% | 1,8% | 14,5% | 7,3% | 52,7% | 18,2% | | |
| | | | Accumulation sédimentaire | 12 | 3,1667 | 0,0% | 0,0% | 0,0% | 0,0% | 8,3% | 75,0% | 16,7% | | |
| | | | Bilan sédimentaire | 26 | 2,3077 | 0,0% | 3,8% | 3,8% | 15,4% | 11,5% | 46,2% | 19,2% | | |
| | | | Déplacement du trait de côte | 7 | 2,4286 | 0,0% | 0,0% | 0,0% | 28,6% | 0,0% | 57,1% | 14,3% | | |
| | | | Érosion | 5 | -0,6 | 0,0% | 40,0% | 0,0% | 40,0% | 0,0% | 20,0% | 0,0% | | |
| | | | Hauteur de plage | 1 | 5 | 0,0% | 0,0% | 0,0% | 0,0% | 0,0% | 0,0% | 100,0% | | |
| | | | Largeur de plage | 4 | 3,5 | 0,0% | 0,0% | 0,0% | 0,0% | 0,0% | 75,0% | 25,0% | | |
| | | | CDir | Géomorphologique | 5 | 3 | 0,0% | 0,0% | 0,0% | 0,0% | 0,0% | 100,0% | 0,0% | |
| | | | Transport sédimentaire | 5 | 1,8 | 0,0% | 20,0% | 0,0% | 0,0% | 0,0% | 80,0% | 0,0% | | |
| | | | Transport longitudinal | 2 | 3 | 0,0% | 0,0% | 0,0% | 0,0% | 0,0% | 100,0% | 0,0% | | |
| | | | Transport sédimentaire général | 1 | -3 | 0,0% | 100,0% | 0,0% | 0,0% | 0,0% | 0,0% | 0,0% | | |
| | | | Transport transversal | 2 | 3 | 0,0% | 0,0% | 0,0% | 0,0% | 0,0% | 100,0% | 0,0% | | |
| | | | Processus dissipation | 5 | 3 | 0,0% | 0,0% | 0,0% | 0,0% | 0,0% | 100,0% | 0,0% | | |
| | | | Déferlement | 2 | 3 | 0,0% | 0,0% | 0,0% | 0,0% | 0,0% | 100,0% | 0,0% | | |
| | | | Énergie des vagues | 2 | 3 | 0,0% | 0,0% | 0,0% | 0,0% | 0,0% | 100,0% | 0,0% | | |
| | | | Hauteur de vagues | 1 | 3 | 0,0% | 0,0% | 0,0% | 0,0% | 0,0% | 100,0% | 0,0% | | |
| | | | CInd | Géomorphologique | 3 | -1 | 0,0% | 66,7% | 0,0% | 0,0% | 0,0% | 33,3% | 0,0% | |
| | | | Profil topobathymétrique | 36 | 0,8333 | 0,0% | 22,2% | 0,0% | 16,7% | 16,7% | 44,4% | 0,0% | | |
| | | | Profil de plage | 16 | 0,25 | 0,0% | 37,5% | 0,0% | 12,5% | 6,3% | 43,8% | 0,0% | | |
| | | | Système de barres | 19 | 1,5263 | 0,0% | 5,3% | 0,0% | 21,1% | 26,3% | 47,4% | 0,0% | | |
| | | | Variation bathymétrique généralisé | 1 | -3 | 0,0% | 100,0% | 0,0% | 0,0% | 0,0% | 0,0% | 0,0% | | |
| | | | Courant | 3 | -1 | 0,0% | 66,7% | 0,0% | 0,0% | 0,0% | 33,3% | 0,0% | | |
| | | | Courant d'arrachement | 2 | -3 | 0,0% | 100,0% | 0,0% | 0,0% | 0,0% | 0,0% | 0,0% | | |
| | | | Dérive littorale | 1 | 3 | 0,0% | 0,0% | 0,0% | 0,0% | 0,0% | 100,0% | 0,0% | | |
| | | 5 | Système horizontal de drainage | Agr | Géomorphologique | 114 | 1,6491 | 0,9% | 13,2% | 2,6% | 12,3% | 13,2% | 45,6% | 12,3% |
| | | | | EDir | Géomorphologique | 57 | 0,7368 | 1,8% | 19,3% | 5,3% | 15,8% | 21,1% | 29,8% | 7,0% |
| | | | | | Érosion/Accumulation | 57 | 0,7368 | 1,8% | 19,3% | 5,3% | 15,8% | 21,1% | 29,8% | 7,0% |
| | | | | | Accumulation sédimentaire | 13 | 1,9231 | 0,0% | 0,0% | 0,0% | 30,8% | 23,1% | 30,8% | 15,4% |
| | | | | | Bilan sédimentaire | 10 | 0,9 | 0,0% | 20,0% | 0,0% | 10,0% | 30,0% | 40,0% | 0,0% |
| | | | | | Déplacement du trait de côte | 17 | 1 | 0,0% | 23,5% | 5,9% | 11,8% | 11,8% | 35,3% | 11,8% |
| | | | | | Érosion | 9 | -2,444 | 11,1% | 55,6% | 22,2% | 11,1% | 0,0% | 0,0% | 0,0% |
| | Hauteur de plage | | | 5 | 1,4 | 0,0% | 0,0% | 0,0% | 0,0% | 80,0% | 20,0% | 0,0% | | |
| | Rétablissement géomorphologique | | | 3 | 2 | 0,0% | 0,0% | 0,0% | 33,3% | 0,0% | 66,7% | 0,0% | | |
| | CDir | | | Géomorphologique | 3 | 2,3333 | 0,0% | 0,0% | 0,0% | 0,0% | 33,3% | 66,7% | 0,0% | |
| | Transport sédimentaire | | | 3 | 3 | 0,0% | 0,0% | 0,0% | 0,0% | 0,0% | 100,0% | 0,0% | | |
| | Transport sédimentaire général | | | 1 | 3 | 0,0% | 0,0% | 0,0% | 0,0% | 0,0% | 100,0% | 0,0% | | |
| | Transport transversal | | | 2 | 3 | 0,0% | 0,0% | 0,0% | 0,0% | 0,0% | 100,0% | 0,0% | | |
| | Eaux souterraines | | | 37 | 3,4054 | 0,0% | 0,0% | 0,0% | 2,7% | 2,7% | 67,6% | 27,0% | | |
| | Épaisseur de la zone non saturée | | | 9 | 3,2222 | 0,0% | 0,0% | 0,0% | 0,0% | 0,0% | 88,9% | 11,1% | | |
| | Infiltration/Percolation | | | 7 | 2,8571 | 0,0% | 0,0% | 0,0% | 14,3% | 14,3% | 42,9% | 28,6% | | |
| | Niveau de la nappe | | | 21 | 3,6667 | 0,0% | 0,0% | 0,0% | 0,0% | 0,0% | 66,7% | 33,3% | | |
| | Jet de rive | | | 4 | 2,5 | 0,0% | 0,0% | 0,0% | 0,0% | 25,0% | 75,0% | 0,0% | | |
| | Backwash/Swash | | | 3 | 2,3333 | 0,0% | 0,0% | 0,0% | 0,0% | 33,3% | 66,7% | 0,0% | | |
| | Run-up | | | 1 | 3 | 0,0% | 0,0% | 0,0% | 0,0% | 0,0% | 100,0% | 0,0% | | |
| | Processus dissipation | | | 3 | 2,3333 | 0,0% | 0,0% | 0,0% | 0,0% | 33,3% | 66,7% | 0,0% | | |
| | Énergie des vagues | | | 1 | 1 | 0,0% | 0,0% | 0,0% | 0,0% | 100,0% | 0,0% | 0,0% | | |
| | Réflexion | | | 2 | 3 | 0,0% | 0,0% | 0,0% | 0,0% | 0,0% | 100,0% | 0,0% | | |

Identification d'ouvrages de protection côtière

Date : 2021-03-19

Cellule hydrosédimentaire :

version :

Groupe_0003

page :

7

| | | | | | | | | | | | | | |
|------|------------------------------|---------------|---------------------------------|------------------------------|--------|--------|--------|--------|--------|--------|--------|--------|-------|
| 6 | Système vertical de drainage | CInd | Géomorphologique | 1 | 3 | 0,0% | 0,0% | 0,0% | 0,0% | 0,0% | 100,0% | 0,0% | |
| | | | Profil topobathymétrique | 9 | -1 | 0,0% | 44,4% | 0,0% | 44,4% | 0,0% | 11,1% | 0,0% | |
| | | | Profil de plage | 9 | -1 | 0,0% | 44,4% | 0,0% | 44,4% | 0,0% | 11,1% | 0,0% | |
| | | | Courant | 1 | 3 | 0,0% | 0,0% | 0,0% | 0,0% | 0,0% | 100,0% | 0,0% | |
| | | | Courant transversaux | 1 | 3 | 0,0% | 0,0% | 0,0% | 0,0% | 0,0% | 100,0% | 0,0% | |
| | | Agr | Géomorphologique | 17 | 1,5882 | 0,0% | 0,0% | 0,0% | 35,3% | 23,5% | 35,3% | 5,9% | |
| | 7 | Épi perméable | EDir | Géomorphologique | 14 | 1,6429 | 0,0% | 0,0% | 0,0% | 35,7% | 21,4% | 35,7% | 7,1% |
| | | | | Érosion/Accumulation | 14 | 1,6429 | 0,0% | 0,0% | 0,0% | 35,7% | 21,4% | 35,7% | 7,1% |
| | | | | Accumulation sédimentaire | 2 | 0 | 0,0% | 0,0% | 0,0% | 100,0% | 0,0% | 0,0% | 0,0% |
| | | | | Bilan sédimentaire | 6 | 2,1667 | 0,0% | 0,0% | 0,0% | 16,7% | 33,3% | 33,3% | 16,7% |
| | | | | Déplacement du trait de côte | 1 | 3 | 0,0% | 0,0% | 0,0% | 0,0% | 0,0% | 100,0% | 0,0% |
| | | | | Érosion | 2 | 0 | 0,0% | 0,0% | 0,0% | 100,0% | 0,0% | 0,0% | 0,0% |
| | | | | Hauteur de plage | 3 | 2,3333 | 0,0% | 0,0% | 0,0% | 0,0% | 33,3% | 66,7% | 0,0% |
| | | | CDir | Géomorphologique | 1 | 1 | 0,0% | 0,0% | 0,0% | 0,0% | 100,0% | 0,0% | 0,0% |
| | | | Transport sédimentaire | 1 | 3 | 0,0% | 0,0% | 0,0% | 0,0% | 0,0% | 100,0% | 0,0% | |
| | | | Transport transversal | 1 | 3 | 0,0% | 0,0% | 0,0% | 0,0% | 0,0% | 100,0% | 0,0% | |
| | Eaux souterraines | 1 | 0 | 0,0% | 0,0% | 0,0% | 100,0% | 0,0% | 0,0% | 0,0% | | | |
| | Niveau de la nappe | 1 | 0 | 0,0% | 0,0% | 0,0% | 100,0% | 0,0% | 0,0% | 0,0% | | | |
| | Jet de rive | 1 | 1 | 0,0% | 0,0% | 0,0% | 0,0% | 100,0% | 0,0% | 0,0% | | | |
| | Backwash/Swash | 1 | 1 | 0,0% | 0,0% | 0,0% | 0,0% | 100,0% | 0,0% | 0,0% | | | |
| Agr | Géomorphologique | 95 | 0,8737 | 8,4% | 16,8% | 6,3% | 8,4% | 9,5% | 37,9% | 12,6% | | | |
| 7 | Épi perméable | EDir | Géomorphologique | 43 | 0,6512 | 11,6% | 14,0% | 7,0% | 16,3% | 7,0% | 27,9% | 16,3% | |
| | | | Érosion/Accumulation | 43 | 0,6512 | 11,6% | 14,0% | 7,0% | 16,3% | 7,0% | 27,9% | 16,3% | |
| | | | Accumulation sédimentaire | 2 | 0 | 0,0% | 50,0% | 0,0% | 0,0% | 0,0% | 50,0% | 0,0% | |
| | | | Affouillement | 4 | -3,5 | 50,0% | 25,0% | 25,0% | 0,0% | 0,0% | 0,0% | 0,0% | |
| | | | Bilan sédimentaire | 2 | 1,5 | 0,0% | 0,0% | 0,0% | 50,0% | 0,0% | 50,0% | 0,0% | |
| | | | Déplacement du trait de côte | 5 | -0,2 | 20,0% | 0,0% | 0,0% | 40,0% | 20,0% | 20,0% | 0,0% | |
| | | | Érosion | 5 | 0 | 0,0% | 40,0% | 0,0% | 20,0% | 0,0% | 40,0% | 0,0% | |
| | | | Hauteur de plage | 3 | 0 | 33,3% | 0,0% | 0,0% | 33,3% | 0,0% | 0,0% | 33,3% | |
| | | | Largeur de plage | 1 | 5 | 0,0% | 0,0% | 0,0% | 0,0% | 0,0% | 0,0% | 100,0% | |
| | | | Rétablissement géomorphologique | 2 | 2,5 | 0,0% | 0,0% | 0,0% | 50,0% | 0,0% | 0,0% | 50,0% | |
| | | | Rétention sédimentaire | 19 | 1,5789 | 5,3% | 10,5% | 10,5% | 5,3% | 10,5% | 36,8% | 21,1% | |
| | | CDir | Géomorphologique | 2 | 3 | 0,0% | 0,0% | 0,0% | 0,0% | 0,0% | 100,0% | 0,0% | |
| | | | Transport sédimentaire | 12 | 2,3333 | 8,3% | 0,0% | 0,0% | 0,0% | 25,0% | 41,7% | 25,0% | |
| | Transport longitudinal | 11 | 2,4545 | 9,1% | 0,0% | 0,0% | 0,0% | 18,2% | 45,5% | 27,3% | | | |
| | Transport transversal | 1 | 1 | 0,0% | 0,0% | 0,0% | 0,0% | 100,0% | 0,0% | 0,0% | | | |
| | Processus dissipation | 2 | 3 | 0,0% | 0,0% | 0,0% | 0,0% | 0,0% | 100,0% | 0,0% | | | |
| | Déferlement | 1 | 3 | 0,0% | 0,0% | 0,0% | 0,0% | 0,0% | 100,0% | 0,0% | | | |
| | Énergie des vagues | 1 | 3 | 0,0% | 0,0% | 0,0% | 0,0% | 0,0% | 100,0% | 0,0% | | | |
| CInd | Géomorphologique | 1 | 3 | 0,0% | 0,0% | 0,0% | 0,0% | 0,0% | 100,0% | 0,0% | | | |

Identification d'ouvrages de protection côtière

Date : 2021-03-19

Cellule hydrosédimentaire :

version :

Groupe_0003

page :

8

| | | | | | | | | | | |
|--|------------------------------------|----|--------|------|-------|-------|------|-------|--------|-------|
| | Profil topobathymétrique | 6 | 2,6667 | 0,0% | 0,0% | 16,7% | 0,0% | 0,0% | 66,7% | 16,7% |
| | Profil de plage | 1 | 3 | 0,0% | 0,0% | 0,0% | 0,0% | 0,0% | 100,0% | 0,0% |
| | Système de barres | 3 | 2,3333 | 0,0% | 0,0% | 33,3% | 0,0% | 0,0% | 33,3% | 33,3% |
| | Variation bathymétrique généralisé | 2 | 3 | 0,0% | 0,0% | 0,0% | 0,0% | 0,0% | 100,0% | 0,0% |
| | Courant | 31 | 0,0645 | 6,5% | 32,3% | 6,5% | 3,2% | 9,7% | 38,7% | 3,2% |
| | Circulation | 3 | 0,3333 | 0,0% | 33,3% | 0,0% | 0,0% | 33,3% | 33,3% | 0,0% |

Identification d'ouvrages de protection côtière

Date : 2021-03-19

Cellule hydrosédimentaire :

version :

Groupe_0003

page :

9

| | | | | | | | | | | | | |
|------|------------------------------------|------|--------------------------------|-------|--------|-------|--------|-------|--------|--------|--------|-------|
| | Bilan sédimentaire | 4 | -2,5 | 50,0% | 25,0% | 0,0% | 0,0% | 0,0% | 25,0% | 0,0% | | |
| | Déplacement du trait de côte | 4 | -3 | 0,0% | 100,0% | 0,0% | 0,0% | 0,0% | 0,0% | 0,0% | | |
| | Érosion | 18 | -1,778 | 22,2% | 50,0% | 0,0% | 11,1% | 0,0% | 0,0% | 16,7% | | |
| | Largeur de plage | 3 | 4,3333 | 0,0% | 0,0% | 0,0% | 0,0% | 0,0% | 33,3% | 66,7% | | |
| | Rétention sédimentaire | 2 | 3 | 0,0% | 0,0% | 0,0% | 0,0% | 50,0% | 0,0% | 50,0% | | |
| CDir | Géomorphologique | 30 | 2,2667 | 3,3% | 3,3% | 3,3% | 0,0% | 20,0% | 56,7% | 13,3% | | |
| | Transport sédimentaire | 15 | -0,467 | 13,3% | 33,3% | 6,7% | 0,0% | 13,3% | 26,7% | 6,7% | | |
| | Transport longitudinal | 2 | -4 | 50,0% | 50,0% | 0,0% | 0,0% | 0,0% | 0,0% | 0,0% | | |
| | Transport sédimentaire général | 3 | -1 | 0,0% | 66,7% | 0,0% | 0,0% | 0,0% | 33,3% | 0,0% | | |
| | Transport transversal | 10 | 0,4 | 10,0% | 20,0% | 10,0% | 0,0% | 20,0% | 30,0% | 10,0% | | |
| | Caractéristiques des vagues | 1 | 3 | 0,0% | 0,0% | 0,0% | 0,0% | 0,0% | 100,0% | 0,0% | | |
| | Régime de vagues | 1 | 3 | 0,0% | 0,0% | 0,0% | 0,0% | 0,0% | 100,0% | 0,0% | | |
| | Jet de rive | 9 | -0,111 | 0,0% | 44,4% | 11,1% | 0,0% | 0,0% | 44,4% | 0,0% | | |
| | Franchissement | 4 | 0,5 | 0,0% | 25,0% | 25,0% | 0,0% | 0,0% | 50,0% | 0,0% | | |
| | Run-up | 5 | -0,6 | 0,0% | 60,0% | 0,0% | 0,0% | 0,0% | 40,0% | 0,0% | | |
| | Processus dissipation | 30 | 2,2667 | 3,3% | 3,3% | 3,3% | 0,0% | 20,0% | 56,7% | 13,3% | | |
| | Déferlement | 4 | 3 | 0,0% | 0,0% | 0,0% | 0,0% | 0,0% | 100,0% | 0,0% | | |
| | Diffraction | 2 | 0 | 0,0% | 50,0% | 0,0% | 0,0% | 0,0% | 50,0% | 0,0% | | |
| | Énergie des vagues | 14 | 1,7143 | 7,1% | 0,0% | 7,1% | 0,0% | 28,6% | 50,0% | 7,1% | | |
| | Hauteur de vagues | 7 | 3,5714 | 0,0% | 0,0% | 0,0% | 0,0% | 14,3% | 42,9% | 42,9% | | |
| | Transmission | 3 | 2,3333 | 0,0% | 0,0% | 0,0% | 0,0% | 33,3% | 66,7% | 0,0% | | |
| CInd | Géomorphologique | 29 | -1,379 | 3,4% | 58,6% | 3,4% | 17,2% | 0,0% | 13,8% | 3,4% | | |
| | Profil topobathymétrique | 22 | -0,591 | 9,1% | 45,5% | 0,0% | 4,5% | 4,5% | 31,8% | 4,5% | | |
| | Profil de plage | 5 | -0,6 | 0,0% | 60,0% | 0,0% | 0,0% | 0,0% | 40,0% | 0,0% | | |
| | Système de barres | 11 | -0,909 | 9,1% | 45,5% | 0,0% | 9,1% | 9,1% | 27,3% | 0,0% | | |
| | Variation bathymétrique généralisé | 2 | 3 | 0,0% | 0,0% | 0,0% | 0,0% | 0,0% | 100,0% | 0,0% | | |
| | Variation bathymétrique localisée | 4 | -1,5 | 25,0% | 50,0% | 0,0% | 0,0% | 0,0% | 0,0% | 25,0% | | |
| | Courant | 29 | -1,379 | 3,4% | 58,6% | 3,4% | 17,2% | 0,0% | 13,8% | 3,4% | | |
| | Circulation | 18 | -1,167 | 5,6% | 50,0% | 0,0% | 27,8% | 0,0% | 11,1% | 5,6% | | |
| | Courant d'arrachement | 4 | -3 | 0,0% | 100,0% | 0,0% | 0,0% | 0,0% | 0,0% | 0,0% | | |
| | Courant transversaux | 1 | -3 | 0,0% | 100,0% | 0,0% | 0,0% | 0,0% | 0,0% | 0,0% | | |
| | Dérive littorale | 6 | -0,667 | 0,0% | 50,0% | 16,7% | 0,0% | 0,0% | 33,3% | 0,0% | | |
| 10 | Brise-lame à crête basse | Agr | Géomorphologique | 97 | -0,557 | 10,3% | 43,3% | 2,1% | 3,1% | 5,2% | 28,9% | 7,2% |
| | | EDir | Géomorphologique | 26 | 0,3462 | 11,5% | 23,1% | 0,0% | 11,5% | 7,7% | 38,5% | 7,7% |
| | | | Érosion/Accumulation | 26 | 0,3462 | 11,5% | 23,1% | 0,0% | 11,5% | 7,7% | 38,5% | 7,7% |
| | | | Accumulation sédimentaire | 11 | 2 | 0,0% | 18,2% | 0,0% | 9,1% | 0,0% | 54,5% | 18,2% |
| | | | Bilan sédimentaire | 4 | 0 | 0,0% | 25,0% | 0,0% | 50,0% | 0,0% | 25,0% | 0,0% |
| | | | Déplacement du trait de côte | 5 | -1,4 | 20,0% | 40,0% | 0,0% | 0,0% | 20,0% | 20,0% | 0,0% |
| | | | Érosion | 4 | -2,5 | 50,0% | 25,0% | 0,0% | 0,0% | 0,0% | 25,0% | 0,0% |
| | | | Largeur de plage | 1 | 3 | 0,0% | 0,0% | 0,0% | 0,0% | 0,0% | 100,0% | 0,0% |
| | | | Rétention sédimentaire | 1 | 1 | 0,0% | 0,0% | 0,0% | 0,0% | 100,0% | 0,0% | 0,0% |
| | | CDir | Géomorphologique | 13 | 2,8462 | 0,0% | 7,7% | 0,0% | 0,0% | 7,7% | 61,5% | 23,1% |
| | | | Transport sédimentaire | 10 | -2,2 | 40,0% | 30,0% | 0,0% | 0,0% | 10,0% | 20,0% | 0,0% |
| | | | Transport longitudinal | 5 | -1,8 | 60,0% | 0,0% | 0,0% | 0,0% | 0,0% | 40,0% | 0,0% |
| | | | Transport sédimentaire général | 2 | -3 | 0,0% | 100,0% | 0,0% | 0,0% | 0,0% | 0,0% | 0,0% |
| | | | Transport transversal | 3 | -2,333 | 33,3% | 33,3% | 0,0% | 0,0% | 33,3% | 0,0% | 0,0% |
| | | | Jet de rive | 1 | -3 | 0,0% | 100,0% | 0,0% | 0,0% | 0,0% | 0,0% | 0,0% |
| | | | Run-up | 1 | -3 | 0,0% | 100,0% | 0,0% | 0,0% | 0,0% | 0,0% | 0,0% |
| | | | Processus dissipation | 13 | 2,8462 | 0,0% | 7,7% | 0,0% | 0,0% | 7,7% | 61,5% | 23,1% |

Identification d'ouvrages de protection côtière

Date : 2021-03-19

Cellule hydrosédimentaire :

version :

Groupe_0003

page : 10

11 Épi imperméable

| | | | | | | | | | | |
|------|------------------------------------|-----|--------|-------|--------|--------|--------|-------|--------|--------|
| | Déferlement | 1 | 3 | 0,0% | 0,0% | 0,0% | 0,0% | 0,0% | 100,0% | 0,0% |
| | Diffraction | 2 | 2 | 0,0% | 0,0% | 0,0% | 0,0% | 50,0% | 50,0% | 0,0% |
| | Énergie des vagues | 3 | 3,6667 | 0,0% | 0,0% | 0,0% | 0,0% | 0,0% | 66,7% | 33,3% |
| | Hauteur de vagues | 5 | 2,6 | 0,0% | 20,0% | 0,0% | 0,0% | 0,0% | 40,0% | 40,0% |
| | Réflexion | 1 | 3 | 0,0% | 0,0% | 0,0% | 0,0% | 0,0% | 100,0% | 0,0% |
| | Transmission | 1 | 3 | 0,0% | 0,0% | 0,0% | 0,0% | 0,0% | 100,0% | 0,0% |
| CInd | Géomorphologique | 36 | -1,611 | 2,8% | 69,4% | 5,6% | 0,0% | 2,8% | 16,7% | 2,8% |
| | Profil topobathymétrique | 11 | -1,545 | 18,2% | 54,5% | 0,0% | 0,0% | 0,0% | 18,2% | 9,1% |
| | Profil de plage | 1 | -3 | 0,0% | 100,0% | 0,0% | 0,0% | 0,0% | 0,0% | 0,0% |
| | Variation bathymétrique généralisé | 4 | 0 | 25,0% | 25,0% | 0,0% | 0,0% | 0,0% | 25,0% | 25,0% |
| | Variation bathymétrique localisée | 6 | -2,333 | 16,7% | 66,7% | 0,0% | 0,0% | 0,0% | 16,7% | 0,0% |
| | Courant | 36 | -1,611 | 2,8% | 69,4% | 5,6% | 0,0% | 2,8% | 16,7% | 2,8% |
| | Circulation | 19 | -1,737 | 0,0% | 73,7% | 5,3% | 0,0% | 5,3% | 15,8% | 0,0% |
| | Courant d'arrachement | 3 | -3 | 0,0% | 100,0% | 0,0% | 0,0% | 0,0% | 0,0% | 0,0% |
| | Courant transversaux | 9 | -0,778 | 11,1% | 44,4% | 11,1% | 0,0% | 0,0% | 22,2% | 11,1% |
| | Dérive littorale | 5 | -1,8 | 0,0% | 80,0% | 0,0% | 0,0% | 0,0% | 20,0% | 0,0% |
| Agr | Géomorphologique | 113 | -0,894 | 8,8% | 47,8% | 4,4% | 7,1% | 1,8% | 24,8% | 5,3% |
| EDir | Géomorphologique | 48 | 0,0833 | 6,3% | 35,4% | 2,1% | 8,3% | 4,2% | 37,5% | 6,3% |
| | Érosion/Accumulation | 48 | 0,0833 | 6,3% | 35,4% | 2,1% | 8,3% | 4,2% | 37,5% | 6,3% |
| | Accumulation sédimentaire | 2 | 4 | 0,0% | 0,0% | 0,0% | 0,0% | 0,0% | 50,0% | 50,0% |
| | Affouillement | 3 | -3 | 0,0% | 100,0% | 0,0% | 0,0% | 0,0% | 0,0% | 0,0% |
| | Bilan sédimentaire | 1 | 0 | 0,0% | 0,0% | 0,0% | 100,0% | 0,0% | 0,0% | 0,0% |
| | Déplacement du trait de côte | 8 | 0,25 | 12,5% | 25,0% | 12,5% | 0,0% | 0,0% | 37,5% | 12,5% |
| | Érosion | 3 | -0,333 | 0,0% | 66,7% | 0,0% | 0,0% | 0,0% | 0,0% | 33,3% |
| | Hauteur de plage | 3 | 1 | 0,0% | 33,3% | 0,0% | 0,0% | 0,0% | 66,7% | 0,0% |
| | Largeur de plage | 4 | 1 | 0,0% | 25,0% | 0,0% | 0,0% | 25,0% | 50,0% | 0,0% |
| | Rétablissement géomorphologique | 3 | 1,3333 | 0,0% | 0,0% | 0,0% | 33,3% | 33,3% | 33,3% | 0,0% |
| | Rétention sédimentaire | 21 | -0,333 | 9,5% | 38,1% | 0,0% | 9,5% | 0,0% | 42,9% | 0,0% |
| CDir | Géomorphologique | 6 | 1,5 | 0,0% | 0,0% | 33,3% | 16,7% | 0,0% | 33,3% | 16,7% |
| | Transport sédimentaire | 8 | 0 | 0,0% | 50,0% | 0,0% | 0,0% | 0,0% | 50,0% | 0,0% |
| | Transport longitudinal | 5 | -0,6 | 0,0% | 60,0% | 0,0% | 0,0% | 0,0% | 40,0% | 0,0% |
| | Transport sédimentaire général | 1 | -3 | 0,0% | 100,0% | 0,0% | 0,0% | 0,0% | 0,0% | 0,0% |
| | Transport transversal | 2 | 3 | 0,0% | 0,0% | 0,0% | 0,0% | 0,0% | 100,0% | 0,0% |
| | Jet de rive | 2 | -3 | 0,0% | 100,0% | 0,0% | 0,0% | 0,0% | 0,0% | 0,0% |
| | Run-up | 2 | -3 | 0,0% | 100,0% | 0,0% | 0,0% | 0,0% | 0,0% | 0,0% |
| | Processus dissipation | 6 | 1,5 | 0,0% | 0,0% | 33,3% | 16,7% | 0,0% | 33,3% | 16,7% |
| | Déferlement | 1 | 3 | 0,0% | 0,0% | 0,0% | 0,0% | 0,0% | 100,0% | 0,0% |
| | Diffraction | 1 | 3 | 0,0% | 0,0% | 0,0% | 0,0% | 0,0% | 100,0% | 0,0% |
| | Énergie des vagues | 1 | 0 | 0,0% | 0,0% | 0,0% | 100,0% | 0,0% | 0,0% | 0,0% |
| | Hauteur de vagues | 2 | 2 | 0,0% | 0,0% | 50,0% | 0,0% | 0,0% | 0,0% | 50,0% |
| | Réflexion | 1 | -1 | 0,0% | 0,0% | 100,0% | 0,0% | 0,0% | 0,0% | 0,0% |
| CInd | Géomorphologique | 1 | 3 | 0,0% | 0,0% | 0,0% | 0,0% | 0,0% | 100,0% | 0,0% |
| | Profil topobathymétrique | 4 | 1,75 | 0,0% | 25,0% | 0,0% | 25,0% | 0,0% | 0,0% | 50,0% |
| | Profil de plage | 2 | 2,5 | 0,0% | 0,0% | 0,0% | 50,0% | 0,0% | 0,0% | 50,0% |
| | Système de barres | 1 | -3 | 0,0% | 100,0% | 0,0% | 0,0% | 0,0% | 0,0% | 0,0% |
| | Variation bathymétrique généralisé | 1 | 5 | 0,0% | 0,0% | 0,0% | 0,0% | 0,0% | 0,0% | 100,0% |
| | Courant | 44 | -2,682 | 15,9% | 68,2% | 4,5% | 4,5% | 0,0% | 6,8% | 0,0% |
| | Circulation | 16 | -3,5 | 25,0% | 75,0% | 0,0% | 0,0% | 0,0% | 0,0% | 0,0% |
| | Courant d'arrachement | 12 | -3 | 16,7% | 66,7% | 16,7% | 0,0% | 0,0% | 0,0% | 0,0% |

Identification d'ouvrages de protection côtière

Date : 2021-03-19

Cellule hydrosédimentaire :

version :

Groupe_0003

page :

11

| | | | | | | | | | | | |
|----|-------------------|------------------------------------|-----|--------|-------|--------|--------|--------|-------|--------|------|
| | | Courant transversaux | 5 | -1,2 | 0,0% | 60,0% | 0,0% | 20,0% | 0,0% | 20,0% | 0,0% |
| | | Dérive littorale | 11 | -1,818 | 9,1% | 63,6% | 0,0% | 9,1% | 0,0% | 18,2% | 0,0% |
| | | Processus dissipation | 1 | 3 | 0,0% | 0,0% | 0,0% | 0,0% | 0,0% | 100,0% | 0,0% |
| | | Réfraction | 1 | 3 | 0,0% | 0,0% | 0,0% | 0,0% | 0,0% | 100,0% | 0,0% |
| 12 | Rip-rap | Agr Géomorphologique | 7 | -1 | 0,0% | 42,9% | 14,3% | 28,6% | 0,0% | 14,3% | 0,0% |
| | | EDir Géomorphologique | 2 | 1,5 | 0,0% | 0,0% | 0,0% | 50,0% | 0,0% | 50,0% | 0,0% |
| | | Érosion/Accumulation | 2 | 1,5 | 0,0% | 0,0% | 0,0% | 50,0% | 0,0% | 50,0% | 0,0% |
| | | Érosion | 1 | 0 | 0,0% | 0,0% | 0,0% | 100,0% | 0,0% | 0,0% | 0,0% |
| | | Rétablissement géomorphologique | 1 | 3 | 0,0% | 0,0% | 0,0% | 0,0% | 0,0% | 100,0% | 0,0% |
| | | Clnd Géomorphologique | 5 | -2 | 0,0% | 60,0% | 20,0% | 20,0% | 0,0% | 0,0% | 0,0% |
| | | Profil topobathymétrique | 5 | -2 | 0,0% | 60,0% | 20,0% | 20,0% | 0,0% | 0,0% | 0,0% |
| | | Profil de plage | 5 | -2 | 0,0% | 60,0% | 20,0% | 20,0% | 0,0% | 0,0% | 0,0% |
| 13 | Mur de protection | Agr Géomorphologique | 135 | -2,4 | 14,1% | 60,0% | 8,9% | 9,6% | 2,2% | 4,4% | 0,7% |
| | | EDir Géomorphologique | 84 | -2,417 | 17,9% | 53,6% | 9,5% | 13,1% | 1,2% | 3,6% | 1,2% |
| | | Érosion/Accumulation | 84 | -2,417 | 17,9% | 53,6% | 9,5% | 13,1% | 1,2% | 3,6% | 1,2% |
| | | Accumulation sédimentaire | 5 | -0,4 | 20,0% | 20,0% | 0,0% | 20,0% | 0,0% | 40,0% | 0,0% |
| | | Affouillement | 14 | -1,5 | 7,1% | 57,1% | 7,1% | 7,1% | 7,1% | 7,1% | 7,1% |
| | | Bilan sédimentaire | 10 | -2,2 | 20,0% | 30,0% | 30,0% | 20,0% | 0,0% | 0,0% | 0,0% |
| | | Déplacement du trait de côte | 4 | -1,25 | 25,0% | 0,0% | 0,0% | 75,0% | 0,0% | 0,0% | 0,0% |
| | | Effet de bout | 4 | -3,5 | 25,0% | 75,0% | 0,0% | 0,0% | 0,0% | 0,0% | 0,0% |
| | | Érosion | 9 | -2,111 | 0,0% | 66,7% | 11,1% | 22,2% | 0,0% | 0,0% | 0,0% |
| | | Hauteur de plage | 11 | -3,182 | 18,2% | 72,7% | 9,1% | 0,0% | 0,0% | 0,0% | 0,0% |
| | | Largeur de plage | 20 | -3,5 | 35,0% | 55,0% | 10,0% | 0,0% | 0,0% | 0,0% | 0,0% |
| | | Rétablissement géomorphologique | 6 | -2 | 0,0% | 66,7% | 0,0% | 33,3% | 0,0% | 0,0% | 0,0% |
| | | Rétention sédimentaire | 1 | -3 | 0,0% | 100,0% | 0,0% | 0,0% | 0,0% | 0,0% | 0,0% |
| | | CDir Géomorphologique | 13 | -3,154 | 15,4% | 76,9% | 7,7% | 0,0% | 0,0% | 0,0% | 0,0% |
| | | Transport sédimentaire | 11 | -2,636 | 0,0% | 81,8% | 18,2% | 0,0% | 0,0% | 0,0% | 0,0% |
| | | Transport longitudinal | 6 | -2,667 | 0,0% | 83,3% | 16,7% | 0,0% | 0,0% | 0,0% | 0,0% |
| | | Transport sédimentaire général | 1 | -1 | 0,0% | 0,0% | 100,0% | 0,0% | 0,0% | 0,0% | 0,0% |
| | | Transport transversal | 4 | -3 | 0,0% | 100,0% | 0,0% | 0,0% | 0,0% | 0,0% | 0,0% |
| | | Eaux souterraines | 1 | -3 | 0,0% | 100,0% | 0,0% | 0,0% | 0,0% | 0,0% | 0,0% |
| | | Niveau de la nappe | 1 | -3 | 0,0% | 100,0% | 0,0% | 0,0% | 0,0% | 0,0% | 0,0% |
| | | Jet de rive | 9 | -2,556 | 11,1% | 77,8% | 0,0% | 0,0% | 0,0% | 11,1% | 0,0% |
| | | Backwash/Swash | 7 | -2,429 | 14,3% | 71,4% | 0,0% | 0,0% | 0,0% | 14,3% | 0,0% |
| | | Franchissement | 2 | -3 | 0,0% | 100,0% | 0,0% | 0,0% | 0,0% | 0,0% | 0,0% |
| | | Processus dissipation | 13 | -3,154 | 15,4% | 76,9% | 7,7% | 0,0% | 0,0% | 0,0% | 0,0% |
| | | Déferlement | 3 | -3,667 | 33,3% | 66,7% | 0,0% | 0,0% | 0,0% | 0,0% | 0,0% |
| | | Réflexion | 10 | -3 | 10,0% | 80,0% | 10,0% | 0,0% | 0,0% | 0,0% | 0,0% |
| | | Clnd Géomorphologique | 1 | -3 | 0,0% | 100,0% | 0,0% | 0,0% | 0,0% | 0,0% | 0,0% |
| | | Profil topobathymétrique | 16 | -1,375 | 6,3% | 50,0% | 6,3% | 12,5% | 12,5% | 12,5% | 0,0% |
| | | Profil de plage | 8 | -1,875 | 12,5% | 50,0% | 12,5% | 12,5% | 0,0% | 12,5% | 0,0% |
| | | Système de barres | 4 | 0,25 | 0,0% | 25,0% | 0,0% | 25,0% | 25,0% | 25,0% | 0,0% |
| | | Variation bathymétrique généralisé | 1 | -3 | 0,0% | 100,0% | 0,0% | 0,0% | 0,0% | 0,0% | 0,0% |
| | | Variation bathymétrique localisée | 3 | -1,667 | 0,0% | 66,7% | 0,0% | 0,0% | 33,3% | 0,0% | 0,0% |
| | | Courant | 1 | -3 | 0,0% | 100,0% | 0,0% | 0,0% | 0,0% | 0,0% | 0,0% |
| | | Dérive littorale | 1 | -3 | 0,0% | 100,0% | 0,0% | 0,0% | 0,0% | 0,0% | 0,0% |
| 14 | Enrochement | Agr Géomorphologique | 32 | -3,219 | 25,0% | 65,6% | 0,0% | 9,4% | 0,0% | 0,0% | 0,0% |
| | | EDir Géomorphologique | 26 | -3,192 | 26,9% | 61,5% | 0,0% | 11,5% | 0,0% | 0,0% | 0,0% |
| | | Érosion/Accumulation | 26 | -3,192 | 26,9% | 61,5% | 0,0% | 11,5% | 0,0% | 0,0% | 0,0% |

Identification d'ouvrages de protection côtière

Date : 2021-03-19

Cellule hydrosédimentaire :

version :

Groupe_0003

page :

12

| | | | | | | | | | | |
|------|------------------------------------|----|--------|--------|--------|------|-------|------|------|------|
| | Bilan sédimentaire | 1 | -3 | 0,0% | 100,0% | 0,0% | 0,0% | 0,0% | 0,0% | 0,0% |
| | Effet de bout | 2 | -4 | 50,0% | 50,0% | 0,0% | 0,0% | 0,0% | 0,0% | 0,0% |
| | Érosion | 4 | -2,25 | 0,0% | 75,0% | 0,0% | 25,0% | 0,0% | 0,0% | 0,0% |
| | Hauteur de plage | 4 | -3,5 | 25,0% | 75,0% | 0,0% | 0,0% | 0,0% | 0,0% | 0,0% |
| | Largeur de plage | 15 | -3,267 | 33,3% | 53,3% | 0,0% | 13,3% | 0,0% | 0,0% | 0,0% |
| CDir | Géomorphologique | 1 | -3 | 0,0% | 100,0% | 0,0% | 0,0% | 0,0% | 0,0% | 0,0% |
| | Transport sédimentaire | 1 | -3 | 0,0% | 100,0% | 0,0% | 0,0% | 0,0% | 0,0% | 0,0% |
| | Transport transversal | 1 | -3 | 0,0% | 100,0% | 0,0% | 0,0% | 0,0% | 0,0% | 0,0% |
| CInd | Géomorphologique | 5 | -3,4 | 20,0% | 80,0% | 0,0% | 0,0% | 0,0% | 0,0% | 0,0% |
| | Profil topobathymétrique | 5 | -3,4 | 20,0% | 80,0% | 0,0% | 0,0% | 0,0% | 0,0% | 0,0% |
| | Profil de plage | 2 | -3 | 0,0% | 100,0% | 0,0% | 0,0% | 0,0% | 0,0% | 0,0% |
| | Système de barres | 1 | -3 | 0,0% | 100,0% | 0,0% | 0,0% | 0,0% | 0,0% | 0,0% |
| | Variation bathymétrique généralisé | 1 | -3 | 0,0% | 100,0% | 0,0% | 0,0% | 0,0% | 0,0% | 0,0% |
| | Variation bathymétrique localisée | 1 | -5 | 100,0% | 0,0% | 0,0% | 0,0% | 0,0% | 0,0% | 0,0% |

Résultats détaillés

| Pos. | OPC | Niv. | observé (effet écosystémique glr) | N | Moy | -5 | -3 | -1 | 0 | 1 | 3 | 5 |
|------|------------------------------------|------|-----------------------------------|-----|---------------|-------|--------|-------|-------|------|--------|--------|
| 1 | Végétalisation | Agr | Écosystémique | 20 | 3,1 | 0,0% | 0,0% | 0,0% | 0,0% | 5,0% | 85,0% | 10,0% |
| | | CDir | Écosystémique | 4 | 3 | 0,0% | 0,0% | 0,0% | 0,0% | 0,0% | 100,0% | 0,0% |
| | | | Érosion/Accumulation | 15 | 3,1333 | 0,0% | 0,0% | 0,0% | 0,0% | 6,7% | 80,0% | 13,3% |
| | | | Accumulation sédimentaire | 11 | 3,1818 | 0,0% | 0,0% | 0,0% | 0,0% | 9,1% | 72,7% | 18,2% |
| | | | Érosion | 1 | 3 | 0,0% | 0,0% | 0,0% | 0,0% | 0,0% | 100,0% | 0,0% |
| | | | Hauteur de plage | 1 | 3 | 0,0% | 0,0% | 0,0% | 0,0% | 0,0% | 100,0% | 0,0% |
| | | | Largeur de plage | 1 | 3 | 0,0% | 0,0% | 0,0% | 0,0% | 0,0% | 100,0% | 0,0% |
| | | | Rétablissement géomorphologique | 1 | 3 | 0,0% | 0,0% | 0,0% | 0,0% | 0,0% | 100,0% | 0,0% |
| | | | Profil topobathymétrique | 1 | 3 | 0,0% | 0,0% | 0,0% | 0,0% | 0,0% | 100,0% | 0,0% |
| | | | Profil de plage | 1 | 3 | 0,0% | 0,0% | 0,0% | 0,0% | 0,0% | 100,0% | 0,0% |
| | | | Transport sédimentaire | 4 | 3 | 0,0% | 0,0% | 0,0% | 0,0% | 0,0% | 100,0% | 0,0% |
| | | | Transport sédimentaire général | 3 | 3 | 0,0% | 0,0% | 0,0% | 0,0% | 0,0% | 100,0% | 0,0% |
| | | | Transport transversal | 1 | 3 | 0,0% | 0,0% | 0,0% | 0,0% | 0,0% | 100,0% | 0,0% |
| | | 2 | Épi perméable | Agr | Écosystémique | 26 | 2,1538 | 3,8% | 7,7% | 3,8% | 7,7% | 0,0% |
| CDir | Écosystémique | | | 3 | 3 | 0,0% | 0,0% | 0,0% | 0,0% | 0,0% | 100,0% | 0,0% |
| | Érosion/Accumulation | | | 14 | 2,7143 | 0,0% | 7,1% | 0,0% | 14,3% | 0,0% | 50,0% | 28,6% |
| | Bilan sédimentaire | | | 1 | 3 | 0,0% | 0,0% | 0,0% | 0,0% | 0,0% | 100,0% | 0,0% |
| | Érosion | | | 4 | 0,75 | 0,0% | 25,0% | 0,0% | 25,0% | 0,0% | 50,0% | 0,0% |
| | Hauteur de plage | | | 1 | 5 | 0,0% | 0,0% | 0,0% | 0,0% | 0,0% | 0,0% | 100,0% |
| | Largeur de plage | | | 1 | 5 | 0,0% | 0,0% | 0,0% | 0,0% | 0,0% | 0,0% | 100,0% |
| | Rétablissement géomorphologique | | | 1 | 5 | 0,0% | 0,0% | 0,0% | 0,0% | 0,0% | 0,0% | 100,0% |
| | Rétention sédimentaire | | | 6 | 2,8333 | 0,0% | 0,0% | 0,0% | 16,7% | 0,0% | 66,7% | 16,7% |
| | Profil topobathymétrique | | | 4 | 2 | 0,0% | 0,0% | 25,0% | 0,0% | 0,0% | 75,0% | 0,0% |
| | Profil de plage | | | 1 | 3 | 0,0% | 0,0% | 0,0% | 0,0% | 0,0% | 100,0% | 0,0% |
| | Système de barres | | | 2 | 1 | 0,0% | 0,0% | 50,0% | 0,0% | 0,0% | 50,0% | 0,0% |
| | Variation bathymétrique généralisé | | | 1 | 3 | 0,0% | 0,0% | 0,0% | 0,0% | 0,0% | 100,0% | 0,0% |
| | Transport sédimentaire | | | 1 | 3 | 0,0% | 0,0% | 0,0% | 0,0% | 0,0% | 100,0% | 0,0% |
| | Transport longitudinal | | | 1 | 3 | 0,0% | 0,0% | 0,0% | 0,0% | 0,0% | 100,0% | 0,0% |
| | Courant | | | 4 | -0,5 | 25,0% | 25,0% | 0,0% | 0,0% | 0,0% | 50,0% | 0,0% |
| | Circulation | | | 1 | 3 | 0,0% | 0,0% | 0,0% | 0,0% | 0,0% | 100,0% | 0,0% |
| | Courant d'arrachement | | | 2 | -4 | 50,0% | 50,0% | 0,0% | 0,0% | 0,0% | 0,0% | 0,0% |
| | Dérive littorale | | | 1 | 3 | 0,0% | 0,0% | 0,0% | 0,0% | 0,0% | 100,0% | 0,0% |
| | Processus dissipation | | | 3 | 3 | 0,0% | 0,0% | 0,0% | 0,0% | 0,0% | 100,0% | 0,0% |

Identification d'ouvrages de protection côtière

Date : 2021-03-19

Cellule hydrosédimentaire :

version :

Groupe_0003

page :

13

| | | | | | | | | | | | | | | | |
|------------------------|------------------------|-------------------|------------------------------------|----------------------|------------------------------|------------------------------|--------|--------|--------|--------|--------|--------|--------|--------|-------|
| 3 | Recharge d'avant-plage | Agr | Écosystémique | 31 | 1,9032 | 0,0% | 6,5% | 0,0% | 25,8% | 6,5% | 51,6% | 9,7% | | | |
| | | | CDir | Écosystémique | 1 | 3 | 0,0% | 0,0% | 0,0% | 0,0% | 0,0% | 100,0% | 0,0% | | |
| | | | | Érosion/Accumulation | 18 | 2,0556 | 0,0% | 5,6% | 0,0% | 27,8% | 5,6% | 44,4% | 16,7% | | |
| | | | | | Accumulation sédimentaire | 6 | 3,3333 | 0,0% | 0,0% | 0,0% | 0,0% | 83,3% | 16,7% | | |
| | | | | | Bilan sédimentaire | 9 | 1,5556 | 0,0% | 11,1% | 0,0% | 33,3% | 11,1% | 22,2% | 22,2% | |
| | | | | | Déplacement du trait de côte | 3 | 1 | 0,0% | 0,0% | 0,0% | 66,7% | 0,0% | 33,3% | 0,0% | |
| | | | | | Profil topobathymétrique | 11 | 1,4545 | 0,0% | 9,1% | 0,0% | 27,3% | 9,1% | 54,5% | 0,0% | |
| | | | | | Profil de plage | 2 | -1,5 | 0,0% | 50,0% | 0,0% | 50,0% | 0,0% | 0,0% | 0,0% | |
| | | | | | Système de barres | 9 | 2,1111 | 0,0% | 0,0% | 0,0% | 22,2% | 11,1% | 66,7% | 0,0% | |
| | | | | | Transport sédimentaire | 1 | 3 | 0,0% | 0,0% | 0,0% | 0,0% | 0,0% | 100,0% | 0,0% | |
| | | | | | Transport longitudinal | 1 | 3 | 0,0% | 0,0% | 0,0% | 0,0% | 0,0% | 100,0% | 0,0% | |
| | | | | | Processus dissipation | 1 | 3 | 0,0% | 0,0% | 0,0% | 0,0% | 0,0% | 100,0% | 0,0% | |
| | | | | | Déferlement | 1 | 3 | 0,0% | 0,0% | 0,0% | 0,0% | 0,0% | 100,0% | 0,0% | |
| | | 4 | Système horizontal de drainage | Agr | Écosystémique | 21 | 1,5238 | 0,0% | 9,5% | 0,0% | 23,8% | 19,0% | 38,1% | 9,5% | |
| | | | | | EDir | Écosystémique | 1 | 0 | 0,0% | 0,0% | 0,0% | 100,0% | 0,0% | 0,0% | 0,0% |
| Biocénose | 1 | | | | | 0 | 0,0% | 0,0% | 0,0% | 100,0% | 0,0% | 0,0% | 0,0% | | |
| Biocénose quantitative | 1 | | | 0 | | 0,0% | 0,0% | 0,0% | 100,0% | 0,0% | 0,0% | 0,0% | | | |
| CDir | Écosystémique | | | 2 | 3 | 0,0% | 0,0% | 0,0% | 0,0% | 0,0% | 100,0% | 0,0% | | | |
| | Érosion/Accumulation | | | 16 | 1,8125 | 0,0% | 6,3% | 0,0% | 18,8% | 25,0% | 37,5% | 12,5% | | | |
| | | | | | | Accumulation sédimentaire | 5 | 1,6 | 0,0% | 0,0% | 0,0% | 60,0% | 0,0% | 20,0% | 20,0% |
| | | | | | | Bilan sédimentaire | 6 | 2 | 0,0% | 0,0% | 0,0% | 0,0% | 50,0% | 50,0% | 0,0% |
| | | | | | | Déplacement du trait de côte | 3 | 3,6667 | 0,0% | 0,0% | 0,0% | 0,0% | 0,0% | 66,7% | 33,3% |
| | | | | | | Érosion | 1 | -3 | 0,0% | 100,0% | 0,0% | 0,0% | 0,0% | 0,0% | 0,0% |
| | | | | | | Hauteur de plage | 1 | 1 | 0,0% | 0,0% | 0,0% | 0,0% | 100,0% | 0,0% | 0,0% |
| | | | | | | Profil topobathymétrique | 2 | -1,5 | 0,0% | 50,0% | 0,0% | 50,0% | 0,0% | 0,0% | 0,0% |
| | | | | | | Profil de plage | 2 | -1,5 | 0,0% | 50,0% | 0,0% | 50,0% | 0,0% | 0,0% | 0,0% |
| | | | | | | Transport sédimentaire | 2 | 3 | 0,0% | 0,0% | 0,0% | 0,0% | 0,0% | 100,0% | 0,0% |
| | | | | | | Transport transversal | 2 | 3 | 0,0% | 0,0% | 0,0% | 0,0% | 0,0% | 100,0% | 0,0% |
| | 5 | Recharge de plage | Agr | Écosystémique | 118 | 1,3136 | 0,8% | 11,9% | 4,2% | 24,6% | 9,3% | 39,8% | 9,3% | | |
| EDir | | | | Écosystémique | 5 | -1,4 | 0,0% | 60,0% | 20,0% | 0,0% | 0,0% | 20,0% | 0,0% | | |
| | | | | Biocénose | 5 | -1,4 | 0,0% | 60,0% | 20,0% | 0,0% | 0,0% | 20,0% | 0,0% | | |
| | | | Biocénose qualitative | 5 | -1,4 | 0,0% | 60,0% | 20,0% | 0,0% | 0,0% | 20,0% | 0,0% | | | |
| CDir | | | Écosystémique | 7 | 0 | 0,0% | 14,3% | 0,0% | 71,4% | 0,0% | 14,3% | 0,0% | | | |
| | | | Érosion/Accumulation | 58 | 2,3793 | 0,0% | 0,0% | 0,0% | 24,1% | 12,1% | 46,6% | 17,2% | | | |
| | | | | | | Accumulation sédimentaire | 5 | 3,8 | 0,0% | 0,0% | 0,0% | 0,0% | 60,0% | 40,0% | |
| | | | | | | Bilan sédimentaire | 22 | 3,0909 | 0,0% | 0,0% | 0,0% | 9,1% | 13,6% | 45,5% | 31,8% |
| | | | | | | Déplacement du trait de côte | 16 | 1,5 | 0,0% | 0,0% | 0,0% | 37,5% | 18,8% | 43,8% | 0,0% |
| | | | | | | Érosion | 7 | 1,1429 | 0,0% | 0,0% | 0,0% | 71,4% | 0,0% | 14,3% | 14,3% |
| | | | | | | Hauteur de plage | 2 | 2 | 0,0% | 0,0% | 0,0% | 0,0% | 50,0% | 50,0% | 0,0% |
| | | | | | | Largeur de plage | 6 | 2,5 | 0,0% | 0,0% | 0,0% | 16,7% | 0,0% | 83,3% | 0,0% |
| | | | | | | Profil topobathymétrique | 31 | 0,5806 | 3,2% | 16,1% | 3,2% | 29,0% | 12,9% | 32,3% | 3,2% |
| | | | | | | Profil de plage | 10 | -0,7 | 0,0% | 40,0% | 10,0% | 30,0% | 0,0% | 20,0% | 0,0% |
| | | | | | | Système de barres | 18 | 0,9444 | 5,6% | 5,6% | 0,0% | 27,8% | 22,2% | 38,9% | 0,0% |
| | | | | Topographie | 1 | 3 | 0,0% | 0,0% | 0,0% | 0,0% | 0,0% | 100,0% | 0,0% | | |
| | | | Variation bathymétrique généralisé | 2 | 2,5 | 0,0% | 0,0% | 0,0% | 50,0% | 0,0% | 0,0% | 50,0% | | | |
| | | | Sédiments | 7 | -2,143 | 0,0% | 57,1% | 42,9% | 0,0% | 0,0% | 0,0% | 0,0% | | | |

Identification d'ouvrages de protection côtière

Date : 2021-03-19

Cellule hydrosédimentaire :

version :

Groupe_0003

page :

14

| | | | | | | | | | | | |
|---|------------------------------|---------------------------------|----|--------|------|--------|--------|--------|--------|--------|--------|
| | | Taille granulométrique | 7 | -2,143 | 0,0% | 57,1% | 42,9% | 0,0% | 0,0% | 0,0% | 0,0% |
| | | Transport sédimentaire | 9 | 2,6667 | 0,0% | 0,0% | 0,0% | 11,1% | 0,0% | 88,9% | 0,0% |
| | | Transport longitudinal | 5 | 3 | 0,0% | 0,0% | 0,0% | 0,0% | 0,0% | 100,0% | 0,0% |
| | | Transport sédimentaire général | 2 | 3 | 0,0% | 0,0% | 0,0% | 0,0% | 0,0% | 100,0% | 0,0% |
| | | Transport transversal | 2 | 1,5 | 0,0% | 0,0% | 0,0% | 50,0% | 0,0% | 50,0% | 0,0% |
| | | Courant | 1 | -3 | 0,0% | 100,0% | 0,0% | 0,0% | 0,0% | 0,0% | 0,0% |
| | | Courant transversaux | 1 | -3 | 0,0% | 100,0% | 0,0% | 0,0% | 0,0% | 0,0% | 0,0% |
| | | Processus dissipation | 7 | 0 | 0,0% | 14,3% | 0,0% | 71,4% | 0,0% | 14,3% | 0,0% |
| | | Énergie des vagues | 3 | -1 | 0,0% | 33,3% | 0,0% | 66,7% | 0,0% | 0,0% | 0,0% |
| | | Hauteur de vagues | 4 | 0,75 | 0,0% | 0,0% | 0,0% | 75,0% | 0,0% | 25,0% | 0,0% |
| 6 | Brise-lame émergé | Agr Écosystémique | 11 | 0,0909 | 0,0% | 36,4% | 0,0% | 18,2% | 9,1% | 36,4% | 0,0% |
| | | EDir Écosystémique | 2 | -3 | 0,0% | 100,0% | 0,0% | 0,0% | 0,0% | 0,0% | 0,0% |
| | | Biocénose | 2 | -3 | 0,0% | 100,0% | 0,0% | 0,0% | 0,0% | 0,0% | 0,0% |
| | | Biocénose qualitative | 2 | -3 | 0,0% | 100,0% | 0,0% | 0,0% | 0,0% | 0,0% | 0,0% |
| | | CDir Écosystémique | 2 | -1,5 | 0,0% | 50,0% | 0,0% | 50,0% | 0,0% | 0,0% | 0,0% |
| | | Érosion/Accumulation | 7 | 1,4286 | 0,0% | 14,3% | 0,0% | 14,3% | 14,3% | 57,1% | 0,0% |
| | | Accumulation sédimentaire | 6 | 1,5 | 0,0% | 16,7% | 0,0% | 16,7% | 0,0% | 66,7% | 0,0% |
| | | Rétablissement géomorphologique | 1 | 1 | 0,0% | 0,0% | 0,0% | 0,0% | 100,0% | 0,0% | 0,0% |
| | | Transport sédimentaire | 2 | -1,5 | 0,0% | 50,0% | 0,0% | 50,0% | 0,0% | 0,0% | 0,0% |
| | | Transport longitudinal | 1 | -3 | 0,0% | 100,0% | 0,0% | 0,0% | 0,0% | 0,0% | 0,0% |
| | | Transport sédimentaire général | 1 | 0 | 0,0% | 0,0% | 0,0% | 100,0% | 0,0% | 0,0% | 0,0% |
| 7 | Système vertical de drainage | Agr Écosystémique | 5 | 0 | 0,0% | 40,0% | 0,0% | 20,0% | 20,0% | 0,0% | 20,0% |
| | | CDir Écosystémique | 2 | -3 | 0,0% | 100,0% | 0,0% | 0,0% | 0,0% | 0,0% | 0,0% |
| | | Érosion/Accumulation | 3 | 2 | 0,0% | 0,0% | 0,0% | 33,3% | 33,3% | 0,0% | 33,3% |
| | | Bilan sédimentaire | 3 | 2 | 0,0% | 0,0% | 0,0% | 33,3% | 33,3% | 0,0% | 33,3% |
| | | Sédiments | 2 | -3 | 0,0% | 100,0% | 0,0% | 0,0% | 0,0% | 0,0% | 0,0% |
| | | Taille granulométrique | 2 | -3 | 0,0% | 100,0% | 0,0% | 0,0% | 0,0% | 0,0% | 0,0% |
| 8 | Épi imperméable | Agr Écosystémique | 49 | -0,02 | 0,0% | 40,8% | 8,2% | 12,2% | 4,1% | 24,5% | 10,2% |
| | | EDir Écosystémique | 2 | -2 | 0,0% | 50,0% | 50,0% | 0,0% | 0,0% | 0,0% | 0,0% |
| | | Biocénose | 2 | -2 | 0,0% | 50,0% | 50,0% | 0,0% | 0,0% | 0,0% | 0,0% |
| | | Biocénose qualitative | 1 | -3 | 0,0% | 100,0% | 0,0% | 0,0% | 0,0% | 0,0% | 0,0% |
| | | Biocénose quantitative | 1 | -1 | 0,0% | 0,0% | 100,0% | 0,0% | 0,0% | 0,0% | 0,0% |
| | | CDir Écosystémique | 6 | 1,5 | 0,0% | 0,0% | 33,3% | 16,7% | 0,0% | 33,3% | 16,7% |
| | | Érosion/Accumulation | 22 | 0,4545 | 0,0% | 36,4% | 4,5% | 9,1% | 9,1% | 27,3% | 13,6% |
| | | Accumulation sédimentaire | 2 | 4 | 0,0% | 0,0% | 0,0% | 0,0% | 0,0% | 50,0% | 50,0% |
| | | Affouillement | 1 | -3 | 0,0% | 100,0% | 0,0% | 0,0% | 0,0% | 0,0% | 0,0% |
| | | Bilan sédimentaire | 1 | 0 | 0,0% | 0,0% | 0,0% | 100,0% | 0,0% | 0,0% | 0,0% |
| | | Déplacement du trait de côte | 5 | 0,2 | 0,0% | 40,0% | 20,0% | 0,0% | 0,0% | 20,0% | 20,0% |
| | | Érosion | 1 | 5 | 0,0% | 0,0% | 0,0% | 0,0% | 0,0% | 0,0% | 100,0% |
| | | Hauteur de plage | 1 | 3 | 0,0% | 0,0% | 0,0% | 0,0% | 0,0% | 100,0% | 0,0% |
| | | Largeur de plage | 3 | 0,3333 | 0,0% | 33,3% | 0,0% | 0,0% | 33,3% | 33,3% | 0,0% |
| | | Rétablissement géomorphologique | 1 | 1 | 0,0% | 0,0% | 0,0% | 0,0% | 100,0% | 0,0% | 0,0% |
| | | Rétention sédimentaire | 7 | -0,857 | 0,0% | 57,1% | 0,0% | 14,3% | 0,0% | 28,6% | 0,0% |
| | | Profil topobathymétrique | 1 | 0 | 0,0% | 0,0% | 0,0% | 100,0% | 0,0% | 0,0% | 0,0% |
| | | Profil de plage | 1 | 0 | 0,0% | 0,0% | 0,0% | 100,0% | 0,0% | 0,0% | 0,0% |
| | | Transport sédimentaire | 4 | 0 | 0,0% | 50,0% | 0,0% | 0,0% | 0,0% | 50,0% | 0,0% |
| | | Transport longitudinal | 4 | 0 | 0,0% | 50,0% | 0,0% | 0,0% | 0,0% | 50,0% | 0,0% |
| | | Courant | 13 | -1,615 | 0,0% | 69,2% | 0,0% | 15,4% | 0,0% | 15,4% | 0,0% |
| | | Circulation | 3 | -3 | 0,0% | 100,0% | 0,0% | 0,0% | 0,0% | 0,0% | 0,0% |

Identification d'ouvrages de protection côtière

Date : 2021-03-19

Cellule hydrosédimentaire :

version :

Groupe_0003

page : 15

| | | | | | | | | | | | | |
|----|--------------------------|---------------------------|------------------------------------|------|--------|--------|--------|--------|--------|--------|--------|-------|
| | | Courant d'arrachement | 3 | -3 | 0,0% | 100,0% | 0,0% | 0,0% | 0,0% | 0,0% | 0,0% | |
| | | Courant transversaux | 3 | -2 | 0,0% | 66,7% | 0,0% | 33,3% | 0,0% | 0,0% | 0,0% | |
| | | Dérive littorale | 4 | 0,75 | 0,0% | 25,0% | 0,0% | 25,0% | 0,0% | 50,0% | 0,0% | |
| | | Processus dissipation | 6 | 1,5 | 0,0% | 0,0% | 33,3% | 16,7% | 0,0% | 33,3% | 16,7% | |
| | | Diffraction | 1 | 3 | 0,0% | 0,0% | 0,0% | 0,0% | 0,0% | 100,0% | 0,0% | |
| | | Énergie des vagues | 1 | 0 | 0,0% | 0,0% | 0,0% | 100,0% | 0,0% | 0,0% | 0,0% | |
| | | Hauteur de vagues | 2 | 2 | 0,0% | 0,0% | 50,0% | 0,0% | 0,0% | 0,0% | 50,0% | |
| | | Réflexion | 1 | -1 | 0,0% | 0,0% | 100,0% | 0,0% | 0,0% | 0,0% | 0,0% | |
| | | Réfraction | 1 | 3 | 0,0% | 0,0% | 0,0% | 0,0% | 0,0% | 100,0% | 0,0% | |
| | CInd | Écosystémique | 1 | 5 | 0,0% | 0,0% | 0,0% | 0,0% | 0,0% | 0,0% | 100,0% | |
| | | Biotope | 1 | 5 | 0,0% | 0,0% | 0,0% | 0,0% | 0,0% | 0,0% | 100,0% | |
| | | Modification structurelle | 1 | 5 | 0,0% | 0,0% | 0,0% | 0,0% | 0,0% | 0,0% | 100,0% | |
| 9 | Brise-lame à crête basse | Agr | Écosystémique | 48 | -0,583 | 12,5% | 39,6% | 4,2% | 4,2% | 4,2% | 27,1% | 8,3% |
| | | EDir | Écosystémique | 4 | -2,25 | 25,0% | 25,0% | 25,0% | 25,0% | 0,0% | 0,0% | 0,0% |
| | | | Biocénose | 4 | -2,25 | 25,0% | 25,0% | 25,0% | 25,0% | 0,0% | 0,0% | 0,0% |
| | | | Biocénose qualitative | 4 | -2,25 | 25,0% | 25,0% | 25,0% | 25,0% | 0,0% | 0,0% | 0,0% |
| | | CDir | Écosystémique | 4 | 3,5 | 0,0% | 0,0% | 0,0% | 0,0% | 0,0% | 75,0% | 25,0% |
| | | | Érosion/Accumulation | 11 | 0,3636 | 18,2% | 18,2% | 0,0% | 9,1% | 9,1% | 27,3% | 18,2% |
| | | | Accumulation sédimentaire | 6 | 1,6667 | 0,0% | 33,3% | 0,0% | 0,0% | 0,0% | 33,3% | 33,3% |
| | | | Bilan sédimentaire | 1 | 0 | 0,0% | 0,0% | 0,0% | 100,0% | 0,0% | 0,0% | 0,0% |
| | | | Déplacement du trait de côte | 2 | -2 | 50,0% | 0,0% | 0,0% | 0,0% | 50,0% | 0,0% | 0,0% |
| | | | Érosion | 2 | -1 | 50,0% | 0,0% | 0,0% | 0,0% | 0,0% | 50,0% | 0,0% |
| | | | Profil topobathymétrique | 6 | 0 | 16,7% | 33,3% | 0,0% | 0,0% | 0,0% | 33,3% | 16,7% |
| | | | Variation bathymétrique généralisé | 2 | 4 | 0,0% | 0,0% | 0,0% | 0,0% | 0,0% | 50,0% | 50,0% |
| | | | Variation bathymétrique localisée | 4 | -2 | 25,0% | 50,0% | 0,0% | 0,0% | 0,0% | 25,0% | 0,0% |
| | | | Transport sédimentaire | 1 | 3 | 0,0% | 0,0% | 0,0% | 0,0% | 0,0% | 100,0% | 0,0% |
| | | | Transport longitudinal | 1 | 3 | 0,0% | 0,0% | 0,0% | 0,0% | 0,0% | 100,0% | 0,0% |
| | | | Courant | 20 | -1,6 | 5,0% | 65,0% | 5,0% | 0,0% | 5,0% | 20,0% | 0,0% |
| | | | Circulation | 11 | -1,545 | 0,0% | 72,7% | 0,0% | 0,0% | 9,1% | 18,2% | 0,0% |
| | | | Courant d'arrachement | 1 | -3 | 0,0% | 100,0% | 0,0% | 0,0% | 0,0% | 0,0% | 0,0% |
| | | | Courant transversaux | 6 | -2 | 16,7% | 50,0% | 16,7% | 0,0% | 0,0% | 16,7% | 0,0% |
| | | | Dérive littorale | 2 | 0 | 0,0% | 50,0% | 0,0% | 0,0% | 0,0% | 50,0% | 0,0% |
| | | | Processus dissipation | 4 | 3,5 | 0,0% | 0,0% | 0,0% | 0,0% | 0,0% | 75,0% | 25,0% |
| | | | Diffraction | 1 | 3 | 0,0% | 0,0% | 0,0% | 0,0% | 0,0% | 100,0% | 0,0% |
| | | | Énergie des vagues | 1 | 3 | 0,0% | 0,0% | 0,0% | 0,0% | 0,0% | 100,0% | 0,0% |
| | | | Hauteur de vagues | 2 | 4 | 0,0% | 0,0% | 0,0% | 0,0% | 0,0% | 50,0% | 50,0% |
| | | CInd | Écosystémique | 2 | -4 | 50,0% | 50,0% | 0,0% | 0,0% | 0,0% | 0,0% | 0,0% |
| | | | Biotope | 2 | -4 | 50,0% | 50,0% | 0,0% | 0,0% | 0,0% | 0,0% | 0,0% |
| | | | Modification physico-chimique | 2 | -4 | 50,0% | 50,0% | 0,0% | 0,0% | 0,0% | 0,0% | 0,0% |
| 10 | Brise-lame submergé | Agr | Écosystémique | 49 | -0,633 | 16,3% | 38,8% | 0,0% | 0,0% | 6,1% | 32,7% | 6,1% |
| | | EDir | Écosystémique | 1 | 3 | 0,0% | 0,0% | 0,0% | 0,0% | 0,0% | 100,0% | 0,0% |
| | | | Biocénose | 1 | 3 | 0,0% | 0,0% | 0,0% | 0,0% | 0,0% | 100,0% | 0,0% |
| | | | Biocénose qualitative | 1 | 3 | 0,0% | 0,0% | 0,0% | 0,0% | 0,0% | 100,0% | 0,0% |
| | | CDir | Écosystémique | 10 | 2 | 10,0% | 0,0% | 0,0% | 0,0% | 10,0% | 80,0% | 0,0% |
| | | | Érosion/Accumulation | 18 | -1,667 | 22,2% | 50,0% | 0,0% | 0,0% | 5,6% | 11,1% | 11,1% |
| | | | Accumulation sédimentaire | 2 | 2 | 0,0% | 0,0% | 0,0% | 0,0% | 50,0% | 50,0% | 0,0% |
| | | | Affouillement | 5 | -3 | 0,0% | 100,0% | 0,0% | 0,0% | 0,0% | 0,0% | 0,0% |
| | | | Bilan sédimentaire | 4 | -2,5 | 50,0% | 25,0% | 0,0% | 0,0% | 0,0% | 25,0% | 0,0% |
| | | | Déplacement du trait de côte | 2 | -3 | 0,0% | 100,0% | 0,0% | 0,0% | 0,0% | 0,0% | 0,0% |

Identification d'ouvrages de protection côtière

Date : 2021-03-19

Cellule hydrosédimentaire :

version :

Groupe_0003

page :

17

| | | | | | | | | | | | |
|----|-------------|---------------------------|---|--------|--------|--------|------|--------|------|------|------|
| 12 | Enrochement | Modification structurelle | 1 | -5 | 100,0% | 0,0% | 0,0% | 0,0% | 0,0% | 0,0% | 0,0% |
| | | Agr Écosystémique | 9 | -2,889 | 11,1% | 77,8% | 0,0% | 11,1% | 0,0% | 0,0% | 0,0% |
| | | EDir Écosystémique | 2 | -1,5 | 0,0% | 50,0% | 0,0% | 50,0% | 0,0% | 0,0% | 0,0% |
| | | Biocénose | 2 | -1,5 | 0,0% | 50,0% | 0,0% | 50,0% | 0,0% | 0,0% | 0,0% |
| | | Biocénose qualitative | 1 | 0 | 0,0% | 0,0% | 0,0% | 100,0% | 0,0% | 0,0% | 0,0% |
| | | Biocénose quantitative | 1 | -3 | 0,0% | 100,0% | 0,0% | 0,0% | 0,0% | 0,0% | 0,0% |
| | | CDir Écosystémique | 1 | -3 | 0,0% | 100,0% | 0,0% | 0,0% | 0,0% | 0,0% | 0,0% |
| | | Érosion/Accumulation | 6 | -3,333 | 16,7% | 83,3% | 0,0% | 0,0% | 0,0% | 0,0% | 0,0% |
| | | Érosion | 1 | -3 | 0,0% | 100,0% | 0,0% | 0,0% | 0,0% | 0,0% | 0,0% |
| | | Hauteur de plage | 1 | -3 | 0,0% | 100,0% | 0,0% | 0,0% | 0,0% | 0,0% | 0,0% |
| | | Largeur de plage | 4 | -3,5 | 25,0% | 75,0% | 0,0% | 0,0% | 0,0% | 0,0% | 0,0% |
| | | Sédiments | 1 | -3 | 0,0% | 100,0% | 0,0% | 0,0% | 0,0% | 0,0% | 0,0% |
| | | Taille granulométrique | 1 | -3 | 0,0% | 100,0% | 0,0% | 0,0% | 0,0% | 0,0% | 0,0% |

Résultats détaillés

| Pos. | OPC | Niv. | Effet observé (effet social global) | N | Moy | -5 | -3 | -1 | 0 | 1 | 3 | 5 |
|----------------------|----------------|--------------------------------|-------------------------------------|--------|-------|--------|-------|--------|-------|--------|-------|-------|
| 1 | Végétalisation | Agr | Services écologiques | 138 | 2,413 | 1,4% | 5,8% | 2,2% | 5,1% | 6,5% | 66,7% | 12,3% |
| | | Fins alimentaires | 58 | 2,1724 | 3,4% | 8,6% | 3,4% | 3,4% | 6,9% | 56,9% | 17,2% | |
| | | Profil topobathymétrique | 1 | 3 | 0,0% | 0,0% | 0,0% | 0,0% | 0,0% | 100,0% | 0,0% | |
| | | Profil de plage | 1 | 3 | 0,0% | 0,0% | 0,0% | 0,0% | 0,0% | 100,0% | 0,0% | |
| | | Sédiments | 1 | 0 | 0,0% | 0,0% | 0,0% | 100,0% | 0,0% | 0,0% | 0,0% | |
| | | Redistribution granulométrique | 1 | 0 | 0,0% | 0,0% | 0,0% | 100,0% | 0,0% | 0,0% | 0,0% | |
| | | Processus dissipation | 37 | 3,0811 | 0,0% | 2,7% | 0,0% | 2,7% | 5,4% | 67,6% | 21,6% | |
| | | Énergie des vagues | 28 | 2,9643 | 0,0% | 3,6% | 0,0% | 3,6% | 7,1% | 64,3% | 21,4% | |
| | | Hauteur de vagues | 9 | 3,4444 | 0,0% | 0,0% | 0,0% | 0,0% | 0,0% | 77,8% | 22,2% | |
| | | Biocénose | 19 | 0,4737 | 10,5% | 21,1% | 10,5% | 0,0% | 10,5% | 36,8% | 10,5% | |
| | | Autres | 1 | -3 | 0,0% | 100,0% | 0,0% | 0,0% | 0,0% | 0,0% | 0,0% | |
| | | Biocénose qualitative | 4 | 0 | 0,0% | 25,0% | 25,0% | 0,0% | 25,0% | 25,0% | 0,0% | |
| | | Biocénose quantitative | 14 | 0,8571 | 14,3% | 14,3% | 7,1% | 0,0% | 7,1% | 42,9% | 14,3% | |
| | | Maintenance du cycle de vie | 58 | 2,1724 | 3,4% | 8,6% | 3,4% | 3,4% | 6,9% | 56,9% | 17,2% | |
| | | Profil topobathymétrique | 1 | 3 | 0,0% | 0,0% | 0,0% | 0,0% | 0,0% | 100,0% | 0,0% | |
| | | Profil de plage | 1 | 3 | 0,0% | 0,0% | 0,0% | 0,0% | 0,0% | 100,0% | 0,0% | |
| | | Sédiments | 1 | 0 | 0,0% | 0,0% | 0,0% | 100,0% | 0,0% | 0,0% | 0,0% | |
| | | Redistribution granulométrique | 1 | 0 | 0,0% | 0,0% | 0,0% | 100,0% | 0,0% | 0,0% | 0,0% | |
| | | Processus dissipation | 37 | 3,0811 | 0,0% | 2,7% | 0,0% | 2,7% | 5,4% | 67,6% | 21,6% | |
| | | Énergie des vagues | 28 | 2,9643 | 0,0% | 3,6% | 0,0% | 3,6% | 7,1% | 64,3% | 21,4% | |
| | | Hauteur de vagues | 9 | 3,4444 | 0,0% | 0,0% | 0,0% | 0,0% | 0,0% | 77,8% | 22,2% | |
| | | Biocénose | 19 | 0,4737 | 10,5% | 21,1% | 10,5% | 0,0% | 10,5% | 36,8% | 10,5% | |
| | | Autres | 1 | -3 | 0,0% | 100,0% | 0,0% | 0,0% | 0,0% | 0,0% | 0,0% | |
| | | Biocénose qualitative | 4 | 0 | 0,0% | 25,0% | 25,0% | 0,0% | 25,0% | 25,0% | 0,0% | |
| | | Biocénose quantitative | 14 | 0,8571 | 14,3% | 14,3% | 7,1% | 0,0% | 7,1% | 42,9% | 14,3% | |
| | | Purification de l'eau | 44 | 2,8864 | 0,0% | 4,5% | 2,3% | 2,3% | 4,5% | 65,9% | 20,5% | |
| | | Courant | 7 | 1,8571 | 0,0% | 14,3% | 14,3% | 0,0% | 0,0% | 57,1% | 14,3% | |
| | | Circulation | 6 | 1,6667 | 0,0% | 16,7% | 16,7% | 0,0% | 0,0% | 50,0% | 16,7% | |
| | | Courant transversaux | 1 | 3 | 0,0% | 0,0% | 0,0% | 0,0% | 0,0% | 100,0% | 0,0% | |
| | | Processus dissipation | 37 | 3,0811 | 0,0% | 2,7% | 0,0% | 2,7% | 5,4% | 67,6% | 21,6% | |
| | | Énergie des vagues | 28 | 2,9643 | 0,0% | 3,6% | 0,0% | 3,6% | 7,1% | 64,3% | 21,4% | |
| | | Hauteur de vagues | 9 | 3,4444 | 0,0% | 0,0% | 0,0% | 0,0% | 0,0% | 77,8% | 22,2% | |
| Protection côtière | 119 | 2,7227 | 0,0% | 3,4% | 0,8% | 5,9% | 5,9% | 71,4% | 12,6% | | | |
| Érosion/Accumulation | 50 | 2,7 | 0,0% | 2,0% | 0,0% | 6,0% | 10,0% | 72,0% | 10,0% | | | |

Identification d'ouvrages de protection côtière

Date : 2021-03-19

Cellule hydrosédimentaire :

version :

Groupe_0003

page :

18

| | | | | | | | | | |
|---|-----|--------|------|-------|-------|--------|-------|--------|-------|
| Accumulation sédimentaire | 19 | 2,8421 | 0,0% | 0,0% | 0,0% | 5,3% | 10,5% | 73,7% | 10,5% |
| Bilan sédimentaire | 2 | 3 | 0,0% | 0,0% | 0,0% | 0,0% | 0,0% | 100,0% | 0,0% |
| Érosion | 25 | 2,52 | 0,0% | 4,0% | 0,0% | 8,0% | 12,0% | 64,0% | 12,0% |
| Largeur de plage | 1 | 3 | 0,0% | 0,0% | 0,0% | 0,0% | 0,0% | 100,0% | 0,0% |
| Rétablissement géomorphologique | 2 | 3 | 0,0% | 0,0% | 0,0% | 0,0% | 0,0% | 100,0% | 0,0% |
| Rétention sédimentaire | 1 | 3 | 0,0% | 0,0% | 0,0% | 0,0% | 0,0% | 100,0% | 0,0% |
| Profil topobathymétrique | 1 | 3 | 0,0% | 0,0% | 0,0% | 0,0% | 0,0% | 100,0% | 0,0% |
| Profil de plage | 1 | 3 | 0,0% | 0,0% | 0,0% | 0,0% | 0,0% | 100,0% | 0,0% |
| Transport sédimentaire | 6 | 2 | 0,0% | 16,7% | 0,0% | 0,0% | 0,0% | 83,3% | 0,0% |
| Transport sédimentaire général | 4 | 3 | 0,0% | 0,0% | 0,0% | 0,0% | 0,0% | 100,0% | 0,0% |
| Transport transversal | 2 | 0 | 0,0% | 50,0% | 0,0% | 0,0% | 0,0% | 50,0% | 0,0% |
| Courant | 7 | 1,8571 | 0,0% | 14,3% | 14,3% | 0,0% | 0,0% | 57,1% | 14,3% |
| Circulation | 6 | 1,6667 | 0,0% | 16,7% | 16,7% | 0,0% | 0,0% | 50,0% | 16,7% |
| Courant transversaux | 1 | 3 | 0,0% | 0,0% | 0,0% | 0,0% | 0,0% | 100,0% | 0,0% |
| Jet de rive | 17 | 2,7647 | 0,0% | 0,0% | 0,0% | 11,8% | 0,0% | 82,4% | 5,9% |
| Backwash/Swash | 3 | 3 | 0,0% | 0,0% | 0,0% | 0,0% | 0,0% | 100,0% | 0,0% |
| Franchissement | 10 | 2,4 | 0,0% | 0,0% | 0,0% | 20,0% | 0,0% | 80,0% | 0,0% |
| Run-up | 4 | 3,5 | 0,0% | 0,0% | 0,0% | 0,0% | 0,0% | 75,0% | 25,0% |
| Processus dissipation | 37 | 3,0811 | 0,0% | 2,7% | 0,0% | 2,7% | 5,4% | 67,6% | 21,6% |
| Énergie des vagues | 28 | 2,9643 | 0,0% | 3,6% | 0,0% | 3,6% | 7,1% | 64,3% | 21,4% |
| Hauteur de vagues | 9 | 3,4444 | 0,0% | 0,0% | 0,0% | 0,0% | 0,0% | 77,8% | 22,2% |
| Sédiments | 1 | 0 | 0,0% | 0,0% | 0,0% | 100,0% | 0,0% | 0,0% | 0,0% |
| Redistribution granulométrique | 1 | 0 | 0,0% | 0,0% | 0,0% | 100,0% | 0,0% | 0,0% | 0,0% |
| Fins récréatives ou de loisirs | 118 | 2,7458 | 0,0% | 3,4% | 0,8% | 5,1% | 5,9% | 72,0% | 12,7% |
| Érosion/Accumulation | 50 | 2,7 | 0,0% | 2,0% | 0,0% | 6,0% | 10,0% | 72,0% | 10,0% |
| Accumulation sédimentaire | 19 | 2,8421 | 0,0% | 0,0% | 0,0% | 5,3% | 10,5% | 73,7% | 10,5% |
| Bilan sédimentaire | 2 | 3 | 0,0% | 0,0% | 0,0% | 0,0% | 0,0% | 100,0% | 0,0% |
| Érosion | 25 | 2,52 | 0,0% | 4,0% | 0,0% | 8,0% | 12,0% | 64,0% | 12,0% |
| Largeur de plage | 1 | 3 | 0,0% | 0,0% | 0,0% | 0,0% | 0,0% | 100,0% | 0,0% |
| Rétablissement géomorphologique | 2 | 3 | 0,0% | 0,0% | 0,0% | 0,0% | 0,0% | 100,0% | 0,0% |
| Rétention sédimentaire | 1 | 3 | 0,0% | 0,0% | 0,0% | 0,0% | 0,0% | 100,0% | 0,0% |
| Profil topobathymétrique | 1 | 3 | 0,0% | 0,0% | 0,0% | 0,0% | 0,0% | 100,0% | 0,0% |
| Profil de plage | 1 | 3 | 0,0% | 0,0% | 0,0% | 0,0% | 0,0% | 100,0% | 0,0% |
| Transport sédimentaire | 6 | 2 | 0,0% | 16,7% | 0,0% | 0,0% | 0,0% | 83,3% | 0,0% |
| Transport sédimentaire général | 4 | 3 | 0,0% | 0,0% | 0,0% | 0,0% | 0,0% | 100,0% | 0,0% |
| Transport transversal | 2 | 0 | 0,0% | 50,0% | 0,0% | 0,0% | 0,0% | 50,0% | 0,0% |
| Courant | 7 | 1,8571 | 0,0% | 14,3% | 14,3% | 0,0% | 0,0% | 57,1% | 14,3% |
| Circulation | 6 | 1,6667 | 0,0% | 16,7% | 16,7% | 0,0% | 0,0% | 50,0% | 16,7% |
| Courant transversaux | 1 | 3 | 0,0% | 0,0% | 0,0% | 0,0% | 0,0% | 100,0% | 0,0% |
| Jet de rive | 17 | 2,7647 | 0,0% | 0,0% | 0,0% | 11,8% | 0,0% | 82,4% | 5,9% |
| Backwash/Swash | 3 | 3 | 0,0% | 0,0% | 0,0% | 0,0% | 0,0% | 100,0% | 0,0% |
| Franchissement | 10 | 2,4 | 0,0% | 0,0% | 0,0% | 20,0% | 0,0% | 80,0% | 0,0% |
| Run-up | 4 | 3,5 | 0,0% | 0,0% | 0,0% | 0,0% | 0,0% | 75,0% | 25,0% |
| Processus dissipation | 37 | 3,0811 | 0,0% | 2,7% | 0,0% | 2,7% | 5,4% | 67,6% | 21,6% |
| Énergie des vagues | 28 | 2,9643 | 0,0% | 3,6% | 0,0% | 3,6% | 7,1% | 64,3% | 21,4% |
| Hauteur de vagues | 9 | 3,4444 | 0,0% | 0,0% | 0,0% | 0,0% | 0,0% | 77,8% | 22,2% |
| Fins patrimoniales, symboliques, sacrée | 81 | 2,5926 | 0,0% | 3,7% | 1,2% | 6,2% | 6,2% | 74,1% | 8,6% |
| Érosion/Accumulation | 50 | 2,7 | 0,0% | 2,0% | 0,0% | 6,0% | 10,0% | 72,0% | 10,0% |
| Accumulation sédimentaire | 19 | 2,8421 | 0,0% | 0,0% | 0,0% | 5,3% | 10,5% | 73,7% | 10,5% |

Identification d'ouvrages de protection côtière

Date : 2021-03-19

Cellule hydrosédimentaire :

version :

Groupe_0003

page :

19

| | | | | | | | | | | | |
|---|--------------------------------|---|-----|--------|------|-------|-------|--------|-------|--------|-------|
| | | Bilan sédimentaire | 2 | 3 | 0,0% | 0,0% | 0,0% | 0,0% | 0,0% | 100,0% | 0,0% |
| | | Érosion | 25 | 2,52 | 0,0% | 4,0% | 0,0% | 8,0% | 12,0% | 64,0% | 12,0% |
| | | Largeur de plage | 1 | 3 | 0,0% | 0,0% | 0,0% | 0,0% | 0,0% | 100,0% | 0,0% |
| | | Rétablissement géomorphologique | 2 | 3 | 0,0% | 0,0% | 0,0% | 0,0% | 0,0% | 100,0% | 0,0% |
| | | Rétention sédimentaire | 1 | 3 | 0,0% | 0,0% | 0,0% | 0,0% | 0,0% | 100,0% | 0,0% |
| | | Profil topobathymétrique | 1 | 3 | 0,0% | 0,0% | 0,0% | 0,0% | 0,0% | 100,0% | 0,0% |
| | | Profil de plage | 1 | 3 | 0,0% | 0,0% | 0,0% | 0,0% | 0,0% | 100,0% | 0,0% |
| | | Transport sédimentaire | 6 | 2 | 0,0% | 16,7% | 0,0% | 0,0% | 0,0% | 83,3% | 0,0% |
| | | Transport sédimentaire général | 4 | 3 | 0,0% | 0,0% | 0,0% | 0,0% | 0,0% | 100,0% | 0,0% |
| | | Transport transversal | 2 | 0 | 0,0% | 50,0% | 0,0% | 0,0% | 0,0% | 50,0% | 0,0% |
| | | Courant | 7 | 1,8571 | 0,0% | 14,3% | 14,3% | 0,0% | 0,0% | 57,1% | 14,3% |
| | | Circulation | 6 | 1,6667 | 0,0% | 16,7% | 16,7% | 0,0% | 0,0% | 50,0% | 16,7% |
| | | Courant transversaux | 1 | 3 | 0,0% | 0,0% | 0,0% | 0,0% | 0,0% | 100,0% | 0,0% |
| | | Jet de rive | 17 | 2,7647 | 0,0% | 0,0% | 0,0% | 11,8% | 0,0% | 82,4% | 5,9% |
| | | Backwash/Swash | 3 | 3 | 0,0% | 0,0% | 0,0% | 0,0% | 0,0% | 100,0% | 0,0% |
| | | Franchissement | 10 | 2,4 | 0,0% | 0,0% | 0,0% | 20,0% | 0,0% | 80,0% | 0,0% |
| | | Run-up | 4 | 3,5 | 0,0% | 0,0% | 0,0% | 0,0% | 0,0% | 75,0% | 25,0% |
| 2 | Couches perméables de drainage | Agr Services écologiques | 9 | 2 | 0,0% | 11,1% | 0,0% | 11,1% | 0,0% | 77,8% | 0,0% |
| | | Protection côtière | 9 | 2 | 0,0% | 11,1% | 0,0% | 11,1% | 0,0% | 77,8% | 0,0% |
| | | Érosion/Accumulation | 5 | 2,4 | 0,0% | 0,0% | 0,0% | 20,0% | 0,0% | 80,0% | 0,0% |
| | | Accumulation sédimentaire | 3 | 3 | 0,0% | 0,0% | 0,0% | 0,0% | 0,0% | 100,0% | 0,0% |
| | | Érosion | 1 | 0 | 0,0% | 0,0% | 0,0% | 100,0% | 0,0% | 0,0% | 0,0% |
| | | Rétablissement géomorphologique | 1 | 3 | 0,0% | 0,0% | 0,0% | 0,0% | 0,0% | 100,0% | 0,0% |
| | | Transport sédimentaire | 2 | 0 | 0,0% | 50,0% | 0,0% | 0,0% | 0,0% | 50,0% | 0,0% |
| | | Transport transversal | 2 | 0 | 0,0% | 50,0% | 0,0% | 0,0% | 0,0% | 50,0% | 0,0% |
| | | Jet de rive | 2 | 3 | 0,0% | 0,0% | 0,0% | 0,0% | 0,0% | 100,0% | 0,0% |
| | | Backwash/Swash | 2 | 3 | 0,0% | 0,0% | 0,0% | 0,0% | 0,0% | 100,0% | 0,0% |
| | | Fins récréatives ou de loisirs | 9 | 2 | 0,0% | 11,1% | 0,0% | 11,1% | 0,0% | 77,8% | 0,0% |
| | | Érosion/Accumulation | 5 | 2,4 | 0,0% | 0,0% | 0,0% | 20,0% | 0,0% | 80,0% | 0,0% |
| | | Accumulation sédimentaire | 3 | 3 | 0,0% | 0,0% | 0,0% | 0,0% | 0,0% | 100,0% | 0,0% |
| | | Érosion | 1 | 0 | 0,0% | 0,0% | 0,0% | 100,0% | 0,0% | 0,0% | 0,0% |
| | | Rétablissement géomorphologique | 1 | 3 | 0,0% | 0,0% | 0,0% | 0,0% | 0,0% | 100,0% | 0,0% |
| | | Transport sédimentaire | 2 | 0 | 0,0% | 50,0% | 0,0% | 0,0% | 0,0% | 50,0% | 0,0% |
| | | Transport transversal | 2 | 0 | 0,0% | 50,0% | 0,0% | 0,0% | 0,0% | 50,0% | 0,0% |
| | | Jet de rive | 2 | 3 | 0,0% | 0,0% | 0,0% | 0,0% | 0,0% | 100,0% | 0,0% |
| | | Backwash/Swash | 2 | 3 | 0,0% | 0,0% | 0,0% | 0,0% | 0,0% | 100,0% | 0,0% |
| | | Fins patrimoniales, symboliques, sacrée | 9 | 2 | 0,0% | 11,1% | 0,0% | 11,1% | 0,0% | 77,8% | 0,0% |
| | | Érosion/Accumulation | 5 | 2,4 | 0,0% | 0,0% | 0,0% | 20,0% | 0,0% | 80,0% | 0,0% |
| | | Accumulation sédimentaire | 3 | 3 | 0,0% | 0,0% | 0,0% | 0,0% | 0,0% | 100,0% | 0,0% |
| | | Érosion | 1 | 0 | 0,0% | 0,0% | 0,0% | 100,0% | 0,0% | 0,0% | 0,0% |
| | | Rétablissement géomorphologique | 1 | 3 | 0,0% | 0,0% | 0,0% | 0,0% | 0,0% | 100,0% | 0,0% |
| | | Transport sédimentaire | 2 | 0 | 0,0% | 50,0% | 0,0% | 0,0% | 0,0% | 50,0% | 0,0% |
| | | Transport transversal | 2 | 0 | 0,0% | 50,0% | 0,0% | 0,0% | 0,0% | 50,0% | 0,0% |
| | | Jet de rive | 2 | 3 | 0,0% | 0,0% | 0,0% | 0,0% | 0,0% | 100,0% | 0,0% |
| | | Backwash/Swash | 2 | 3 | 0,0% | 0,0% | 0,0% | 0,0% | 0,0% | 100,0% | 0,0% |
| 3 | Recharge d'avant-plage | Agr Services écologiques | 117 | 1,4017 | 1,7% | 17,1% | 0,9% | 12,8% | 9,4% | 49,6% | 8,5% |
| | | Fins alimentaires | 51 | 0,3922 | 3,9% | 27,5% | 0,0% | 13,7% | 11,8% | 43,1% | 0,0% |
| | | Profil topobathymétrique | 36 | 0,8333 | 0,0% | 22,2% | 0,0% | 16,7% | 16,7% | 44,4% | 0,0% |
| | | Profil de plage | 16 | 0,25 | 0,0% | 37,5% | 0,0% | 12,5% | 6,3% | 43,8% | 0,0% |

Identification d'ouvrages de protection côtière

Date : 2021-03-19

Cellule hydrosédimentaire :

version :

Groupe_0003

page :

20

| | | | | | | | | | |
|------------------------------------|-----|--------|--------|--------|------|-------|-------|--------|-------|
| Système de barres | 19 | 1,5263 | 0,0% | 5,3% | 0,0% | 21,1% | 26,3% | 47,4% | 0,0% |
| Variation bathymétrique généralisé | 1 | -3 | 0,0% | 100,0% | 0,0% | 0,0% | 0,0% | 0,0% | 0,0% |
| Sédiments | 2 | -1,5 | 0,0% | 50,0% | 0,0% | 50,0% | 0,0% | 0,0% | 0,0% |
| Taille granulométrique | 2 | -1,5 | 0,0% | 50,0% | 0,0% | 50,0% | 0,0% | 0,0% | 0,0% |
| Processus dissipation | 3 | 3 | 0,0% | 0,0% | 0,0% | 0,0% | 0,0% | 100,0% | 0,0% |
| Énergie des vagues | 2 | 3 | 0,0% | 0,0% | 0,0% | 0,0% | 0,0% | 100,0% | 0,0% |
| Hauteur de vagues | 1 | 3 | 0,0% | 0,0% | 0,0% | 0,0% | 0,0% | 100,0% | 0,0% |
| Biocénose | 9 | -1,222 | 11,1% | 55,6% | 0,0% | 0,0% | 0,0% | 33,3% | 0,0% |
| Biocénose qualitative | 3 | -3 | 0,0% | 100,0% | 0,0% | 0,0% | 0,0% | 0,0% | 0,0% |
| Biocénose quantitative | 6 | -0,333 | 16,7% | 33,3% | 0,0% | 0,0% | 0,0% | 50,0% | 0,0% |
| Biotope | 1 | -5 | 100,0% | 0,0% | 0,0% | 0,0% | 0,0% | 0,0% | 0,0% |
| Modification physico-chimique | 1 | -5 | 100,0% | 0,0% | 0,0% | 0,0% | 0,0% | 0,0% | 0,0% |
| Maintenance du cycle de vie | 51 | 0,3922 | 3,9% | 27,5% | 0,0% | 13,7% | 11,8% | 43,1% | 0,0% |
| Profil topobathymétrique | 36 | 0,8333 | 0,0% | 22,2% | 0,0% | 16,7% | 16,7% | 44,4% | 0,0% |
| Profil de plage | 16 | 0,25 | 0,0% | 37,5% | 0,0% | 12,5% | 6,3% | 43,8% | 0,0% |
| Système de barres | 19 | 1,5263 | 0,0% | 5,3% | 0,0% | 21,1% | 26,3% | 47,4% | 0,0% |
| Variation bathymétrique généralisé | 1 | -3 | 0,0% | 100,0% | 0,0% | 0,0% | 0,0% | 0,0% | 0,0% |
| Sédiments | 2 | -1,5 | 0,0% | 50,0% | 0,0% | 50,0% | 0,0% | 0,0% | 0,0% |
| Taille granulométrique | 2 | -1,5 | 0,0% | 50,0% | 0,0% | 50,0% | 0,0% | 0,0% | 0,0% |
| Processus dissipation | 3 | 3 | 0,0% | 0,0% | 0,0% | 0,0% | 0,0% | 100,0% | 0,0% |
| Énergie des vagues | 2 | 3 | 0,0% | 0,0% | 0,0% | 0,0% | 0,0% | 100,0% | 0,0% |
| Hauteur de vagues | 1 | 3 | 0,0% | 0,0% | 0,0% | 0,0% | 0,0% | 100,0% | 0,0% |
| Biocénose | 9 | -1,222 | 11,1% | 55,6% | 0,0% | 0,0% | 0,0% | 33,3% | 0,0% |
| Biocénose qualitative | 3 | -3 | 0,0% | 100,0% | 0,0% | 0,0% | 0,0% | 0,0% | 0,0% |
| Biocénose quantitative | 6 | -0,333 | 16,7% | 33,3% | 0,0% | 0,0% | 0,0% | 50,0% | 0,0% |
| Biotope | 1 | -5 | 100,0% | 0,0% | 0,0% | 0,0% | 0,0% | 0,0% | 0,0% |
| Modification physico-chimique | 1 | -5 | 100,0% | 0,0% | 0,0% | 0,0% | 0,0% | 0,0% | 0,0% |
| Purification de l'eau | 8 | 1,5 | 0,0% | 25,0% | 0,0% | 0,0% | 0,0% | 75,0% | 0,0% |
| Courant | 3 | -1 | 0,0% | 66,7% | 0,0% | 0,0% | 0,0% | 33,3% | 0,0% |
| Courant d'arrachement | 2 | -3 | 0,0% | 100,0% | 0,0% | 0,0% | 0,0% | 0,0% | 0,0% |
| Dérive littorale | 1 | 3 | 0,0% | 0,0% | 0,0% | 0,0% | 0,0% | 100,0% | 0,0% |
| Processus dissipation | 5 | 3 | 0,0% | 0,0% | 0,0% | 0,0% | 0,0% | 100,0% | 0,0% |
| Déferlement | 2 | 3 | 0,0% | 0,0% | 0,0% | 0,0% | 0,0% | 100,0% | 0,0% |
| Énergie des vagues | 2 | 3 | 0,0% | 0,0% | 0,0% | 0,0% | 0,0% | 100,0% | 0,0% |
| Hauteur de vagues | 1 | 3 | 0,0% | 0,0% | 0,0% | 0,0% | 0,0% | 100,0% | 0,0% |
| Protection côtière | 105 | 1,6571 | 0,0% | 14,3% | 1,0% | 14,3% | 9,5% | 52,4% | 8,6% |
| Érosion/Accumulation | 54 | 2,3333 | 0,0% | 5,6% | 1,9% | 14,8% | 7,4% | 53,7% | 16,7% |
| Accumulation sédimentaire | 12 | 3,1667 | 0,0% | 0,0% | 0,0% | 0,0% | 8,3% | 75,0% | 16,7% |
| Bilan sédimentaire | 26 | 2,3077 | 0,0% | 3,8% | 3,8% | 15,4% | 11,5% | 46,2% | 19,2% |
| Déplacement du trait de côte | 7 | 2,4286 | 0,0% | 0,0% | 0,0% | 28,6% | 0,0% | 57,1% | 14,3% |
| Érosion | 5 | -0,6 | 0,0% | 40,0% | 0,0% | 40,0% | 0,0% | 20,0% | 0,0% |
| Largeur de plage | 4 | 3,5 | 0,0% | 0,0% | 0,0% | 0,0% | 0,0% | 75,0% | 25,0% |
| Profil topobathymétrique | 36 | 0,8333 | 0,0% | 22,2% | 0,0% | 16,7% | 16,7% | 44,4% | 0,0% |
| Profil de plage | 16 | 0,25 | 0,0% | 37,5% | 0,0% | 12,5% | 6,3% | 43,8% | 0,0% |
| Système de barres | 19 | 1,5263 | 0,0% | 5,3% | 0,0% | 21,1% | 26,3% | 47,4% | 0,0% |
| Variation bathymétrique généralisé | 1 | -3 | 0,0% | 100,0% | 0,0% | 0,0% | 0,0% | 0,0% | 0,0% |
| Transport sédimentaire | 5 | 1,8 | 0,0% | 20,0% | 0,0% | 0,0% | 0,0% | 80,0% | 0,0% |
| Transport longitudinal | 2 | 3 | 0,0% | 0,0% | 0,0% | 0,0% | 0,0% | 100,0% | 0,0% |
| Transport sédimentaire général | 1 | -3 | 0,0% | 100,0% | 0,0% | 0,0% | 0,0% | 0,0% | 0,0% |

Identification d'ouvrages de protection côtière

Date : 2021-03-19

Cellule hydrosédimentaire :

version :

Groupe_0003

page :

21

| | | | | | | | | | |
|---|-----|--------|------|--------|------|-------|--------|--------|--------|
| Transport transversal | 2 | 3 | 0,0% | 0,0% | 0,0% | 0,0% | 0,0% | 100,0% | 0,0% |
| Courant | 3 | -1 | 0,0% | 66,7% | 0,0% | 0,0% | 0,0% | 33,3% | 0,0% |
| Courant d'arrachement | 2 | -3 | 0,0% | 100,0% | 0,0% | 0,0% | 0,0% | 0,0% | 0,0% |
| Dérive littorale | 1 | 3 | 0,0% | 0,0% | 0,0% | 0,0% | 0,0% | 100,0% | 0,0% |
| Processus dissipation | 5 | 3 | 0,0% | 0,0% | 0,0% | 0,0% | 0,0% | 100,0% | 0,0% |
| Déferlement | 2 | 3 | 0,0% | 0,0% | 0,0% | 0,0% | 0,0% | 100,0% | 0,0% |
| Énergie des vagues | 2 | 3 | 0,0% | 0,0% | 0,0% | 0,0% | 0,0% | 100,0% | 0,0% |
| Hauteur de vagues | 1 | 3 | 0,0% | 0,0% | 0,0% | 0,0% | 0,0% | 100,0% | 0,0% |
| Sédiments | 2 | -1,5 | 0,0% | 50,0% | 0,0% | 50,0% | 0,0% | 0,0% | 0,0% |
| Taille granulométrique | 2 | -1,5 | 0,0% | 50,0% | 0,0% | 50,0% | 0,0% | 0,0% | 0,0% |
| Fins récréatives ou de loisirs | 105 | 1,7429 | 0,0% | 13,3% | 1,0% | 13,3% | 10,5% | 52,4% | 9,5% |
| Érosion/Accumulation | 54 | 2,3333 | 0,0% | 5,6% | 1,9% | 14,8% | 7,4% | 53,7% | 16,7% |
| Accumulation sédimentaire | 12 | 3,1667 | 0,0% | 0,0% | 0,0% | 0,0% | 8,3% | 75,0% | 16,7% |
| Bilan sédimentaire | 26 | 2,3077 | 0,0% | 3,8% | 3,8% | 15,4% | 11,5% | 46,2% | 19,2% |
| Déplacement du trait de côte | 7 | 2,4286 | 0,0% | 0,0% | 0,0% | 28,6% | 0,0% | 57,1% | 14,3% |
| Érosion | 5 | -0,6 | 0,0% | 40,0% | 0,0% | 40,0% | 0,0% | 20,0% | 0,0% |
| Largeur de plage | 4 | 3,5 | 0,0% | 0,0% | 0,0% | 0,0% | 0,0% | 75,0% | 25,0% |
| Profil topobathymétrique | 36 | 0,8333 | 0,0% | 22,2% | 0,0% | 16,7% | 16,7% | 44,4% | 0,0% |
| Profil de plage | 16 | 0,25 | 0,0% | 37,5% | 0,0% | 12,5% | 6,3% | 43,8% | 0,0% |
| Système de barres | 19 | 1,5263 | 0,0% | 5,3% | 0,0% | 21,1% | 26,3% | 47,4% | 0,0% |
| Variation bathymétrique généralisé | 1 | -3 | 0,0% | 100,0% | 0,0% | 0,0% | 0,0% | 0,0% | 0,0% |
| Transport sédimentaire | 5 | 1,8 | 0,0% | 20,0% | 0,0% | 0,0% | 0,0% | 80,0% | 0,0% |
| Transport longitudinal | 2 | 3 | 0,0% | 0,0% | 0,0% | 0,0% | 0,0% | 100,0% | 0,0% |
| Transport sédimentaire général | 1 | -3 | 0,0% | 100,0% | 0,0% | 0,0% | 0,0% | 0,0% | 0,0% |
| Transport transversal | 2 | 3 | 0,0% | 0,0% | 0,0% | 0,0% | 0,0% | 100,0% | 0,0% |
| Courant | 3 | -1 | 0,0% | 66,7% | 0,0% | 0,0% | 0,0% | 33,3% | 0,0% |
| Courant d'arrachement | 2 | -3 | 0,0% | 100,0% | 0,0% | 0,0% | 0,0% | 0,0% | 0,0% |
| Dérive littorale | 1 | 3 | 0,0% | 0,0% | 0,0% | 0,0% | 0,0% | 100,0% | 0,0% |
| Pratique de loisirs | 2 | 3 | 0,0% | 0,0% | 0,0% | 0,0% | 50,0% | 0,0% | 50,0% |
| Loisirs aquatiques côtiers | 1 | 1 | 0,0% | 0,0% | 0,0% | 0,0% | 100,0% | 0,0% | 0,0% |
| Loisirs terrestres | 1 | 5 | 0,0% | 0,0% | 0,0% | 0,0% | 0,0% | 0,0% | 100,0% |
| Processus dissipation | 5 | 3 | 0,0% | 0,0% | 0,0% | 0,0% | 0,0% | 100,0% | 0,0% |
| Déferlement | 2 | 3 | 0,0% | 0,0% | 0,0% | 0,0% | 0,0% | 100,0% | 0,0% |
| Énergie des vagues | 2 | 3 | 0,0% | 0,0% | 0,0% | 0,0% | 0,0% | 100,0% | 0,0% |
| Hauteur de vagues | 1 | 3 | 0,0% | 0,0% | 0,0% | 0,0% | 0,0% | 100,0% | 0,0% |
| Fins patrimoniales, symboliques, sacrée | 98 | 1,6531 | 0,0% | 14,3% | 1,0% | 14,3% | 10,2% | 51,0% | 9,2% |
| Érosion/Accumulation | 54 | 2,3333 | 0,0% | 5,6% | 1,9% | 14,8% | 7,4% | 53,7% | 16,7% |
| Accumulation sédimentaire | 12 | 3,1667 | 0,0% | 0,0% | 0,0% | 0,0% | 8,3% | 75,0% | 16,7% |
| Bilan sédimentaire | 26 | 2,3077 | 0,0% | 3,8% | 3,8% | 15,4% | 11,5% | 46,2% | 19,2% |
| Déplacement du trait de côte | 7 | 2,4286 | 0,0% | 0,0% | 0,0% | 28,6% | 0,0% | 57,1% | 14,3% |
| Érosion | 5 | -0,6 | 0,0% | 40,0% | 0,0% | 40,0% | 0,0% | 20,0% | 0,0% |
| Largeur de plage | 4 | 3,5 | 0,0% | 0,0% | 0,0% | 0,0% | 0,0% | 75,0% | 25,0% |
| Profil topobathymétrique | 36 | 0,8333 | 0,0% | 22,2% | 0,0% | 16,7% | 16,7% | 44,4% | 0,0% |
| Profil de plage | 16 | 0,25 | 0,0% | 37,5% | 0,0% | 12,5% | 6,3% | 43,8% | 0,0% |
| Système de barres | 19 | 1,5263 | 0,0% | 5,3% | 0,0% | 21,1% | 26,3% | 47,4% | 0,0% |
| Variation bathymétrique généralisé | 1 | -3 | 0,0% | 100,0% | 0,0% | 0,0% | 0,0% | 0,0% | 0,0% |
| Transport sédimentaire | 5 | 1,8 | 0,0% | 20,0% | 0,0% | 0,0% | 0,0% | 80,0% | 0,0% |
| Transport longitudinal | 2 | 3 | 0,0% | 0,0% | 0,0% | 0,0% | 0,0% | 100,0% | 0,0% |
| Transport sédimentaire général | 1 | -3 | 0,0% | 100,0% | 0,0% | 0,0% | 0,0% | 0,0% | 0,0% |

Identification d'ouvrages de protection côtière

Date : 2021-03-19

Cellule hydrosédimentaire :

version :

Groupe_0003

page :

22

4 Épi perméable

| | | | | | | | | | | |
|-----|------------------------------------|----|--------|-------|--------|--------|-------|-------|--------|--------|
| | Transport transversal | 2 | 3 | 0,0% | 0,0% | 0,0% | 0,0% | 0,0% | 100,0% | 0,0% |
| | Courant | 3 | -1 | 0,0% | 66,7% | 0,0% | 0,0% | 0,0% | 33,3% | 0,0% |
| | Courant d'arrachement | 2 | -3 | 0,0% | 100,0% | 0,0% | 0,0% | 0,0% | 0,0% | 0,0% |
| | Dérive littorale | 1 | 3 | 0,0% | 0,0% | 0,0% | 0,0% | 0,0% | 100,0% | 0,0% |
| Agr | Services écologiques | 93 | 0,9892 | 5,4% | 19,4% | 6,5% | 7,5% | 9,7% | 38,7% | 12,9% |
| | Fins alimentaires | 12 | 1 | 0,0% | 25,0% | 16,7% | 0,0% | 0,0% | 50,0% | 8,3% |
| | Profil topobathymétrique | 6 | 2,6667 | 0,0% | 0,0% | 16,7% | 0,0% | 0,0% | 66,7% | 16,7% |
| | Profil de plage | 1 | 3 | 0,0% | 0,0% | 0,0% | 0,0% | 0,0% | 100,0% | 0,0% |
| | Système de barres | 3 | 2,3333 | 0,0% | 0,0% | 33,3% | 0,0% | 0,0% | 33,3% | 33,3% |
| | Variation bathymétrique généralisé | 2 | 3 | 0,0% | 0,0% | 0,0% | 0,0% | 0,0% | 100,0% | 0,0% |
| | Sédiments | 1 | -1 | 0,0% | 0,0% | 100,0% | 0,0% | 0,0% | 0,0% | 0,0% |
| | Taille granulométrique | 1 | -1 | 0,0% | 0,0% | 100,0% | 0,0% | 0,0% | 0,0% | 0,0% |
| | Processus dissipation | 2 | 3 | 0,0% | 0,0% | 0,0% | 0,0% | 0,0% | 100,0% | 0,0% |
| | Énergie des vagues | 1 | 3 | 0,0% | 0,0% | 0,0% | 0,0% | 0,0% | 100,0% | 0,0% |
| | Réfraction | 1 | 3 | 0,0% | 0,0% | 0,0% | 0,0% | 0,0% | 100,0% | 0,0% |
| | Biocénose | 3 | -3 | 0,0% | 100,0% | 0,0% | 0,0% | 0,0% | 0,0% | 0,0% |
| | Autres | 1 | -3 | 0,0% | 100,0% | 0,0% | 0,0% | 0,0% | 0,0% | 0,0% |
| | Biocénose qualitative | 2 | -3 | 0,0% | 100,0% | 0,0% | 0,0% | 0,0% | 0,0% | 0,0% |
| | Maintenance du cycle de vie | 12 | 1 | 0,0% | 25,0% | 16,7% | 0,0% | 0,0% | 50,0% | 8,3% |
| | Profil topobathymétrique | 6 | 2,6667 | 0,0% | 0,0% | 16,7% | 0,0% | 0,0% | 66,7% | 16,7% |
| | Profil de plage | 1 | 3 | 0,0% | 0,0% | 0,0% | 0,0% | 0,0% | 100,0% | 0,0% |
| | Système de barres | 3 | 2,3333 | 0,0% | 0,0% | 33,3% | 0,0% | 0,0% | 33,3% | 33,3% |
| | Variation bathymétrique généralisé | 2 | 3 | 0,0% | 0,0% | 0,0% | 0,0% | 0,0% | 100,0% | 0,0% |
| | Sédiments | 1 | -1 | 0,0% | 0,0% | 100,0% | 0,0% | 0,0% | 0,0% | 0,0% |
| | Taille granulométrique | 1 | -1 | 0,0% | 0,0% | 100,0% | 0,0% | 0,0% | 0,0% | 0,0% |
| | Processus dissipation | 2 | 3 | 0,0% | 0,0% | 0,0% | 0,0% | 0,0% | 100,0% | 0,0% |
| | Énergie des vagues | 1 | 3 | 0,0% | 0,0% | 0,0% | 0,0% | 0,0% | 100,0% | 0,0% |
| | Réfraction | 1 | 3 | 0,0% | 0,0% | 0,0% | 0,0% | 0,0% | 100,0% | 0,0% |
| | Biocénose | 3 | -3 | 0,0% | 100,0% | 0,0% | 0,0% | 0,0% | 0,0% | 0,0% |
| | Autres | 1 | -3 | 0,0% | 100,0% | 0,0% | 0,0% | 0,0% | 0,0% | 0,0% |
| | Biocénose qualitative | 2 | -3 | 0,0% | 100,0% | 0,0% | 0,0% | 0,0% | 0,0% | 0,0% |
| | Purification de l'eau | 34 | 0,3235 | 5,9% | 29,4% | 5,9% | 2,9% | 8,8% | 44,1% | 2,9% |
| | Courant | 31 | 0,0645 | 6,5% | 32,3% | 6,5% | 3,2% | 9,7% | 38,7% | 3,2% |
| | Circulation | 3 | 0,3333 | 0,0% | 33,3% | 0,0% | 0,0% | 33,3% | 33,3% | 0,0% |
| | Courant d'arrachement | 6 | -2,167 | 16,7% | 33,3% | 33,3% | 16,7% | 0,0% | 0,0% | 0,0% |
| | Courant transversaux | 5 | -0,6 | 0,0% | 60,0% | 0,0% | 0,0% | 0,0% | 40,0% | 0,0% |
| | Dérive littorale | 17 | 1 | 5,9% | 23,5% | 0,0% | 0,0% | 11,8% | 52,9% | 5,9% |
| | Processus dissipation | 3 | 3 | 0,0% | 0,0% | 0,0% | 0,0% | 0,0% | 100,0% | 0,0% |
| | Déferlement | 1 | 3 | 0,0% | 0,0% | 0,0% | 0,0% | 0,0% | 100,0% | 0,0% |
| | Énergie des vagues | 1 | 3 | 0,0% | 0,0% | 0,0% | 0,0% | 0,0% | 100,0% | 0,0% |
| | Réfraction | 1 | 3 | 0,0% | 0,0% | 0,0% | 0,0% | 0,0% | 100,0% | 0,0% |
| | Protection côtière | 89 | 1,0787 | 5,6% | 16,9% | 6,7% | 7,9% | 10,1% | 40,4% | 12,4% |
| | Érosion/Accumulation | 36 | 1,1667 | 5,6% | 13,9% | 5,6% | 16,7% | 8,3% | 33,3% | 16,7% |
| | Accumulation sédimentaire | 2 | 0 | 0,0% | 50,0% | 0,0% | 0,0% | 0,0% | 50,0% | 0,0% |
| | Bilan sédimentaire | 2 | 1,5 | 0,0% | 0,0% | 0,0% | 50,0% | 0,0% | 50,0% | 0,0% |
| | Déplacement du trait de côte | 5 | -0,2 | 20,0% | 0,0% | 0,0% | 40,0% | 20,0% | 20,0% | 0,0% |
| | Érosion | 5 | 0 | 0,0% | 40,0% | 0,0% | 20,0% | 0,0% | 40,0% | 0,0% |
| | Largeur de plage | 1 | 5 | 0,0% | 0,0% | 0,0% | 0,0% | 0,0% | 0,0% | 100,0% |
| | Rétablissement géomorphologique | 2 | 2,5 | 0,0% | 0,0% | 0,0% | 50,0% | 0,0% | 0,0% | 50,0% |

Identification d'ouvrages de protection côtière

Date : 2021-03-19

Cellule hydrosédimentaire :

version :

Groupe_0003

page :

23

| | | | | | | | | | |
|---|----|--------|-------|-------|--------|-------|--------|--------|--------|
| Rétention sédimentaire | 19 | 1,5789 | 5,3% | 10,5% | 10,5% | 5,3% | 10,5% | 36,8% | 21,1% |
| Profil topobathymétrique | 6 | 2,6667 | 0,0% | 0,0% | 16,7% | 0,0% | 0,0% | 66,7% | 16,7% |
| Profil de plage | 1 | 3 | 0,0% | 0,0% | 0,0% | 0,0% | 0,0% | 100,0% | 0,0% |
| Système de barres | 3 | 2,3333 | 0,0% | 0,0% | 33,3% | 0,0% | 0,0% | 33,3% | 33,3% |
| Variation bathymétrique généralisé | 2 | 3 | 0,0% | 0,0% | 0,0% | 0,0% | 0,0% | 100,0% | 0,0% |
| Transport sédimentaire | 12 | 2,3333 | 8,3% | 0,0% | 0,0% | 0,0% | 25,0% | 41,7% | 25,0% |
| Transport longitudinal | 11 | 2,4545 | 9,1% | 0,0% | 0,0% | 0,0% | 18,2% | 45,5% | 27,3% |
| Transport transversal | 1 | 1 | 0,0% | 0,0% | 0,0% | 0,0% | 100,0% | 0,0% | 0,0% |
| Courant | 31 | 0,0645 | 6,5% | 32,3% | 6,5% | 3,2% | 9,7% | 38,7% | 3,2% |
| Circulation | 3 | 0,3333 | 0,0% | 33,3% | 0,0% | 0,0% | 33,3% | 33,3% | 0,0% |
| Courant d'arrachement | 6 | -2,167 | 16,7% | 33,3% | 33,3% | 16,7% | 0,0% | 0,0% | 0,0% |
| Courant transversaux | 5 | -0,6 | 0,0% | 60,0% | 0,0% | 0,0% | 0,0% | 40,0% | 0,0% |
| Dérive littorale | 17 | 1 | 5,9% | 23,5% | 0,0% | 0,0% | 11,8% | 52,9% | 5,9% |
| Processus dissipation | 3 | 3 | 0,0% | 0,0% | 0,0% | 0,0% | 0,0% | 100,0% | 0,0% |
| Déferlement | 1 | 3 | 0,0% | 0,0% | 0,0% | 0,0% | 0,0% | 100,0% | 0,0% |
| Énergie des vagues | 1 | 3 | 0,0% | 0,0% | 0,0% | 0,0% | 0,0% | 100,0% | 0,0% |
| Réfraction | 1 | 3 | 0,0% | 0,0% | 0,0% | 0,0% | 0,0% | 100,0% | 0,0% |
| Sédiments | 1 | -1 | 0,0% | 0,0% | 100,0% | 0,0% | 0,0% | 0,0% | 0,0% |
| Taille granulométrique | 1 | -1 | 0,0% | 0,0% | 100,0% | 0,0% | 0,0% | 0,0% | 0,0% |
| Fins récréatives ou de loisirs | 89 | 1,1461 | 5,6% | 16,9% | 5,6% | 7,9% | 10,1% | 40,4% | 13,5% |
| Érosion/Accumulation | 36 | 1,1667 | 5,6% | 13,9% | 5,6% | 16,7% | 8,3% | 33,3% | 16,7% |
| Accumulation sédimentaire | 2 | 0 | 0,0% | 50,0% | 0,0% | 0,0% | 0,0% | 50,0% | 0,0% |
| Bilan sédimentaire | 2 | 1,5 | 0,0% | 0,0% | 0,0% | 50,0% | 0,0% | 50,0% | 0,0% |
| Déplacement du trait de côte | 5 | -0,2 | 20,0% | 0,0% | 0,0% | 40,0% | 20,0% | 20,0% | 0,0% |
| Érosion | 5 | 0 | 0,0% | 40,0% | 0,0% | 20,0% | 0,0% | 40,0% | 0,0% |
| Largeur de plage | 1 | 5 | 0,0% | 0,0% | 0,0% | 0,0% | 0,0% | 0,0% | 100,0% |
| Rétablissement géomorphologique | 2 | 2,5 | 0,0% | 0,0% | 0,0% | 50,0% | 0,0% | 0,0% | 50,0% |
| Rétention sédimentaire | 19 | 1,5789 | 5,3% | 10,5% | 10,5% | 5,3% | 10,5% | 36,8% | 21,1% |
| Profil topobathymétrique | 6 | 2,6667 | 0,0% | 0,0% | 16,7% | 0,0% | 0,0% | 66,7% | 16,7% |
| Profil de plage | 1 | 3 | 0,0% | 0,0% | 0,0% | 0,0% | 0,0% | 100,0% | 0,0% |
| Système de barres | 3 | 2,3333 | 0,0% | 0,0% | 33,3% | 0,0% | 0,0% | 33,3% | 33,3% |
| Variation bathymétrique généralisé | 2 | 3 | 0,0% | 0,0% | 0,0% | 0,0% | 0,0% | 100,0% | 0,0% |
| Transport sédimentaire | 12 | 2,3333 | 8,3% | 0,0% | 0,0% | 0,0% | 25,0% | 41,7% | 25,0% |
| Transport longitudinal | 11 | 2,4545 | 9,1% | 0,0% | 0,0% | 0,0% | 18,2% | 45,5% | 27,3% |
| Transport transversal | 1 | 1 | 0,0% | 0,0% | 0,0% | 0,0% | 100,0% | 0,0% | 0,0% |
| Courant | 31 | 0,0645 | 6,5% | 32,3% | 6,5% | 3,2% | 9,7% | 38,7% | 3,2% |
| Circulation | 3 | 0,3333 | 0,0% | 33,3% | 0,0% | 0,0% | 33,3% | 33,3% | 0,0% |
| Courant d'arrachement | 6 | -2,167 | 16,7% | 33,3% | 33,3% | 16,7% | 0,0% | 0,0% | 0,0% |
| Courant transversaux | 5 | -0,6 | 0,0% | 60,0% | 0,0% | 0,0% | 0,0% | 40,0% | 0,0% |
| Dérive littorale | 17 | 1 | 5,9% | 23,5% | 0,0% | 0,0% | 11,8% | 52,9% | 5,9% |
| Pratique de loisirs | 1 | 5 | 0,0% | 0,0% | 0,0% | 0,0% | 0,0% | 0,0% | 100,0% |
| Loisirs terrestres | 1 | 5 | 0,0% | 0,0% | 0,0% | 0,0% | 0,0% | 0,0% | 100,0% |
| Processus dissipation | 3 | 3 | 0,0% | 0,0% | 0,0% | 0,0% | 0,0% | 100,0% | 0,0% |
| Déferlement | 1 | 3 | 0,0% | 0,0% | 0,0% | 0,0% | 0,0% | 100,0% | 0,0% |
| Énergie des vagues | 1 | 3 | 0,0% | 0,0% | 0,0% | 0,0% | 0,0% | 100,0% | 0,0% |
| Réfraction | 1 | 3 | 0,0% | 0,0% | 0,0% | 0,0% | 0,0% | 100,0% | 0,0% |
| Fins patrimoniales, symboliques, sacrée | 85 | 1,0353 | 5,9% | 17,6% | 5,9% | 8,2% | 10,6% | 38,8% | 12,9% |
| Érosion/Accumulation | 36 | 1,1667 | 5,6% | 13,9% | 5,6% | 16,7% | 8,3% | 33,3% | 16,7% |
| Accumulation sédimentaire | 2 | 0 | 0,0% | 50,0% | 0,0% | 0,0% | 0,0% | 50,0% | 0,0% |

Identification d'ouvrages de protection côtière

Date : 2021-03-19

Cellule hydrosédimentaire :

version :

Groupe_0003

page :

24

| | | | | | | | | | | | |
|---|------------------------------|------------------------------------|----|--------|-------|--------|-------|--------|--------|--------|--------|
| | | Bilan sédimentaire | 2 | 1,5 | 0,0% | 0,0% | 0,0% | 50,0% | 0,0% | 50,0% | 0,0% |
| | | Déplacement du trait de côte | 5 | -0,2 | 20,0% | 0,0% | 0,0% | 40,0% | 20,0% | 20,0% | 0,0% |
| | | Érosion | 5 | 0 | 0,0% | 40,0% | 0,0% | 20,0% | 0,0% | 40,0% | 0,0% |
| | | Largeur de plage | 1 | 5 | 0,0% | 0,0% | 0,0% | 0,0% | 0,0% | 0,0% | 100,0% |
| | | Rétablissement géomorphologique | 2 | 2,5 | 0,0% | 0,0% | 0,0% | 50,0% | 0,0% | 0,0% | 50,0% |
| | | Rétention sédimentaire | 19 | 1,5789 | 5,3% | 10,5% | 10,5% | 5,3% | 10,5% | 36,8% | 21,1% |
| | | Profil topobathymétrique | 6 | 2,6667 | 0,0% | 0,0% | 16,7% | 0,0% | 0,0% | 66,7% | 16,7% |
| | | Profil de plage | 1 | 3 | 0,0% | 0,0% | 0,0% | 0,0% | 0,0% | 100,0% | 0,0% |
| | | Système de barres | 3 | 2,3333 | 0,0% | 0,0% | 33,3% | 0,0% | 0,0% | 33,3% | 33,3% |
| | | Variation bathymétrique généralisé | 2 | 3 | 0,0% | 0,0% | 0,0% | 0,0% | 0,0% | 100,0% | 0,0% |
| | | Transport sédimentaire | 12 | 2,3333 | 8,3% | 0,0% | 0,0% | 0,0% | 25,0% | 41,7% | 25,0% |
| | | Transport longitudinal | 11 | 2,4545 | 9,1% | 0,0% | 0,0% | 0,0% | 18,2% | 45,5% | 27,3% |
| | | Transport transversal | 1 | 1 | 0,0% | 0,0% | 0,0% | 0,0% | 100,0% | 0,0% | 0,0% |
| | | Courant | 31 | 0,0645 | 6,5% | 32,3% | 6,5% | 3,2% | 9,7% | 38,7% | 3,2% |
| | | Circulation | 3 | 0,3333 | 0,0% | 33,3% | 0,0% | 0,0% | 33,3% | 33,3% | 0,0% |
| | | Courant d'arrachement | 6 | -2,167 | 16,7% | 33,3% | 33,3% | 16,7% | 0,0% | 0,0% | 0,0% |
| | | Courant transversaux | 5 | -0,6 | 0,0% | 60,0% | 0,0% | 0,0% | 0,0% | 40,0% | 0,0% |
| | | Dérive littorale | 17 | 1 | 5,9% | 23,5% | 0,0% | 0,0% | 11,8% | 52,9% | 5,9% |
| 5 | Système vertical de drainage | Agr Services écologiques | 17 | 0,8235 | 0,0% | 11,8% | 0,0% | 41,2% | 17,6% | 23,5% | 5,9% |
| | | Fins alimentaires | 4 | -1,5 | 0,0% | 50,0% | 0,0% | 50,0% | 0,0% | 0,0% | 0,0% |
| | | Sédiments | 2 | -3 | 0,0% | 100,0% | 0,0% | 0,0% | 0,0% | 0,0% | 0,0% |
| | | Taille granulométrique | 2 | -3 | 0,0% | 100,0% | 0,0% | 0,0% | 0,0% | 0,0% | 0,0% |
| | | Biocénose | 2 | 0 | 0,0% | 0,0% | 0,0% | 100,0% | 0,0% | 0,0% | 0,0% |
| | | Biocénose qualitative | 2 | 0 | 0,0% | 0,0% | 0,0% | 100,0% | 0,0% | 0,0% | 0,0% |
| | | Maintenance du cycle de vie | 4 | -1,5 | 0,0% | 50,0% | 0,0% | 50,0% | 0,0% | 0,0% | 0,0% |
| | | Sédiments | 2 | -3 | 0,0% | 100,0% | 0,0% | 0,0% | 0,0% | 0,0% | 0,0% |
| | | Taille granulométrique | 2 | -3 | 0,0% | 100,0% | 0,0% | 0,0% | 0,0% | 0,0% | 0,0% |
| | | Biocénose | 2 | 0 | 0,0% | 0,0% | 0,0% | 100,0% | 0,0% | 0,0% | 0,0% |
| | | Biocénose qualitative | 2 | 0 | 0,0% | 0,0% | 0,0% | 100,0% | 0,0% | 0,0% | 0,0% |
| | | Protection côtière | 15 | 0,9333 | 0,0% | 13,3% | 0,0% | 33,3% | 20,0% | 26,7% | 6,7% |
| | | Érosion/Accumulation | 11 | 1,4545 | 0,0% | 0,0% | 0,0% | 45,5% | 18,2% | 27,3% | 9,1% |
| | | Accumulation sédimentaire | 2 | 0 | 0,0% | 0,0% | 0,0% | 100,0% | 0,0% | 0,0% | 0,0% |
| | | Bilan sédimentaire | 6 | 2,1667 | 0,0% | 0,0% | 0,0% | 16,7% | 33,3% | 33,3% | 16,7% |
| | | Déplacement du trait de côte | 1 | 3 | 0,0% | 0,0% | 0,0% | 0,0% | 0,0% | 100,0% | 0,0% |
| | | Érosion | 2 | 0 | 0,0% | 0,0% | 0,0% | 100,0% | 0,0% | 0,0% | 0,0% |
| | | Transport sédimentaire | 1 | 3 | 0,0% | 0,0% | 0,0% | 0,0% | 0,0% | 100,0% | 0,0% |
| | | Transport transversal | 1 | 3 | 0,0% | 0,0% | 0,0% | 0,0% | 0,0% | 100,0% | 0,0% |
| | | Jet de rive | 1 | 1 | 0,0% | 0,0% | 0,0% | 0,0% | 100,0% | 0,0% | 0,0% |
| | | Backwash/Swash | 1 | 1 | 0,0% | 0,0% | 0,0% | 0,0% | 100,0% | 0,0% | 0,0% |
| | | Sédiments | 2 | -3 | 0,0% | 100,0% | 0,0% | 0,0% | 0,0% | 0,0% | 0,0% |
| | | Taille granulométrique | 2 | -3 | 0,0% | 100,0% | 0,0% | 0,0% | 0,0% | 0,0% | 0,0% |
| | | Fins récréatives ou de loisirs | 13 | 1,5385 | 0,0% | 0,0% | 0,0% | 38,5% | 23,1% | 30,8% | 7,7% |
| | | Érosion/Accumulation | 11 | 1,4545 | 0,0% | 0,0% | 0,0% | 45,5% | 18,2% | 27,3% | 9,1% |
| | | Accumulation sédimentaire | 2 | 0 | 0,0% | 0,0% | 0,0% | 100,0% | 0,0% | 0,0% | 0,0% |
| | | Bilan sédimentaire | 6 | 2,1667 | 0,0% | 0,0% | 0,0% | 16,7% | 33,3% | 33,3% | 16,7% |
| | | Déplacement du trait de côte | 1 | 3 | 0,0% | 0,0% | 0,0% | 0,0% | 0,0% | 100,0% | 0,0% |
| | | Érosion | 2 | 0 | 0,0% | 0,0% | 0,0% | 100,0% | 0,0% | 0,0% | 0,0% |
| | | Transport sédimentaire | 1 | 3 | 0,0% | 0,0% | 0,0% | 0,0% | 0,0% | 100,0% | 0,0% |
| | | Transport transversal | 1 | 3 | 0,0% | 0,0% | 0,0% | 0,0% | 0,0% | 100,0% | 0,0% |

Identification d'ouvrages de protection côtière

Date : 2021-03-19

Cellule hydrosédimentaire :

version :

Groupe_0003

page : 25

6 Recharge de plage

| | | | | | | | | | | |
|-----|---|-----|--------|--------|-------|-------|--------|--------|--------|-------|
| | Jet de rive | 1 | 1 | 0,0% | 0,0% | 0,0% | 0,0% | 100,0% | 0,0% | 0,0% |
| | Backwash/Swash | 1 | 1 | 0,0% | 0,0% | 0,0% | 0,0% | 100,0% | 0,0% | 0,0% |
| | Fins patrimoniales, symboliques, sacrée | 13 | 1,5385 | 0,0% | 0,0% | 0,0% | 38,5% | 23,1% | 30,8% | 7,7% |
| | Érosion/Accumulation | 11 | 1,4545 | 0,0% | 0,0% | 0,0% | 45,5% | 18,2% | 27,3% | 9,1% |
| | Accumulation sédimentaire | 2 | 0 | 0,0% | 0,0% | 0,0% | 100,0% | 0,0% | 0,0% | 0,0% |
| | Bilan sédimentaire | 6 | 2,1667 | 0,0% | 0,0% | 0,0% | 16,7% | 33,3% | 33,3% | 16,7% |
| | Déplacement du trait de côte | 1 | 3 | 0,0% | 0,0% | 0,0% | 0,0% | 0,0% | 100,0% | 0,0% |
| | Érosion | 2 | 0 | 0,0% | 0,0% | 0,0% | 100,0% | 0,0% | 0,0% | 0,0% |
| | Transport sédimentaire | 1 | 3 | 0,0% | 0,0% | 0,0% | 0,0% | 0,0% | 100,0% | 0,0% |
| | Transport transversal | 1 | 3 | 0,0% | 0,0% | 0,0% | 0,0% | 0,0% | 100,0% | 0,0% |
| | Jet de rive | 1 | 1 | 0,0% | 0,0% | 0,0% | 0,0% | 100,0% | 0,0% | 0,0% |
| | Backwash/Swash | 1 | 1 | 0,0% | 0,0% | 0,0% | 0,0% | 100,0% | 0,0% | 0,0% |
| Agr | Services écologiques | 485 | 0,6784 | 6,6% | 17,9% | 4,7% | 17,3% | 9,5% | 34,8% | 9,1% |
| | Fins alimentaires | 235 | -1,043 | 12,8% | 33,2% | 9,4% | 19,6% | 6,0% | 16,6% | 2,6% |
| | Profil topobathymétrique | 75 | 0,8667 | 2,7% | 17,3% | 4,0% | 21,3% | 10,7% | 37,3% | 6,7% |
| | Profil de plage | 30 | -0,433 | 3,3% | 33,3% | 10,0% | 23,3% | 6,7% | 20,0% | 3,3% |
| | Système de barres | 36 | 1,3889 | 2,8% | 8,3% | 0,0% | 22,2% | 16,7% | 44,4% | 5,6% |
| | Topographie | 1 | 3 | 0,0% | 0,0% | 0,0% | 0,0% | 0,0% | 100,0% | 0,0% |
| | Variation bathymétrique généralisé | 4 | 2,75 | 0,0% | 0,0% | 0,0% | 25,0% | 0,0% | 50,0% | 25,0% |
| | Variation bathymétrique localisée | 4 | 3,5 | 0,0% | 0,0% | 0,0% | 0,0% | 0,0% | 75,0% | 25,0% |
| | Sédiments | 44 | -2,318 | 11,4% | 54,5% | 18,2% | 13,6% | 0,0% | 2,3% | 0,0% |
| | Redistribution granulométrique | 8 | -2,625 | 0,0% | 87,5% | 0,0% | 12,5% | 0,0% | 0,0% | 0,0% |
| | Taille granulométrique | 36 | -2,25 | 13,9% | 47,2% | 22,2% | 13,9% | 0,0% | 2,8% | 0,0% |
| | Processus dissipation | 12 | 0,9167 | 0,0% | 8,3% | 0,0% | 41,7% | 16,7% | 33,3% | 0,0% |
| | Énergie des vagues | 8 | 1 | 0,0% | 12,5% | 0,0% | 25,0% | 25,0% | 37,5% | 0,0% |
| | Hauteur de vagues | 4 | 0,75 | 0,0% | 0,0% | 0,0% | 75,0% | 0,0% | 25,0% | 0,0% |
| | Biocénose | 85 | -1,824 | 16,5% | 40,0% | 11,8% | 18,8% | 4,7% | 7,1% | 1,2% |
| | Autres | 1 | 3 | 0,0% | 0,0% | 0,0% | 0,0% | 0,0% | 100,0% | 0,0% |
| | Biocénose qualitative | 29 | -1,483 | 3,4% | 41,4% | 24,1% | 20,7% | 6,9% | 3,4% | 0,0% |
| | Biocénose quantitative | 55 | -2,091 | 23,6% | 40,0% | 5,5% | 18,2% | 3,6% | 7,3% | 1,8% |
| | Biotope | 19 | -3,368 | 47,4% | 31,6% | 5,3% | 15,8% | 0,0% | 0,0% | 0,0% |
| | Modification physico-chimique | 13 | -3,538 | 46,2% | 38,5% | 7,7% | 7,7% | 0,0% | 0,0% | 0,0% |
| | Modification structurelle | 1 | -5 | 100,0% | 0,0% | 0,0% | 0,0% | 0,0% | 0,0% | 0,0% |
| | Quantité et qualité de la ressource | 5 | -2,6 | 40,0% | 20,0% | 0,0% | 40,0% | 0,0% | 0,0% | 0,0% |
| | Maintenance du cycle de vie | 235 | -1,043 | 12,8% | 33,2% | 9,4% | 19,6% | 6,0% | 16,6% | 2,6% |
| | Profil topobathymétrique | 75 | 0,8667 | 2,7% | 17,3% | 4,0% | 21,3% | 10,7% | 37,3% | 6,7% |
| | Profil de plage | 30 | -0,433 | 3,3% | 33,3% | 10,0% | 23,3% | 6,7% | 20,0% | 3,3% |
| | Système de barres | 36 | 1,3889 | 2,8% | 8,3% | 0,0% | 22,2% | 16,7% | 44,4% | 5,6% |
| | Topographie | 1 | 3 | 0,0% | 0,0% | 0,0% | 0,0% | 0,0% | 100,0% | 0,0% |
| | Variation bathymétrique généralisé | 4 | 2,75 | 0,0% | 0,0% | 0,0% | 25,0% | 0,0% | 50,0% | 25,0% |
| | Variation bathymétrique localisée | 4 | 3,5 | 0,0% | 0,0% | 0,0% | 0,0% | 0,0% | 75,0% | 25,0% |
| | Sédiments | 44 | -2,318 | 11,4% | 54,5% | 18,2% | 13,6% | 0,0% | 2,3% | 0,0% |
| | Redistribution granulométrique | 8 | -2,625 | 0,0% | 87,5% | 0,0% | 12,5% | 0,0% | 0,0% | 0,0% |
| | Taille granulométrique | 36 | -2,25 | 13,9% | 47,2% | 22,2% | 13,9% | 0,0% | 2,8% | 0,0% |
| | Processus dissipation | 12 | 0,9167 | 0,0% | 8,3% | 0,0% | 41,7% | 16,7% | 33,3% | 0,0% |
| | Énergie des vagues | 8 | 1 | 0,0% | 12,5% | 0,0% | 25,0% | 25,0% | 37,5% | 0,0% |
| | Hauteur de vagues | 4 | 0,75 | 0,0% | 0,0% | 0,0% | 75,0% | 0,0% | 25,0% | 0,0% |
| | Biocénose | 85 | -1,824 | 16,5% | 40,0% | 11,8% | 18,8% | 4,7% | 7,1% | 1,2% |
| | Autres | 1 | 3 | 0,0% | 0,0% | 0,0% | 0,0% | 0,0% | 100,0% | 0,0% |

Identification d'ouvrages de protection côtière

Date : 2021-03-19

Cellule hydrosédimentaire :

version :

Groupe_0003

page :

26

| | | | | | | | | | |
|-------------------------------------|-----|--------|--------|--------|-------|-------|-------|--------|-------|
| Biocénose qualitative | 29 | -1,483 | 3,4% | 41,4% | 24,1% | 20,7% | 6,9% | 3,4% | 0,0% |
| Biocénose quantitative | 55 | -2,091 | 23,6% | 40,0% | 5,5% | 18,2% | 3,6% | 7,3% | 1,8% |
| Biotope | 19 | -3,368 | 47,4% | 31,6% | 5,3% | 15,8% | 0,0% | 0,0% | 0,0% |
| Modification physico-chimique | 13 | -3,538 | 46,2% | 38,5% | 7,7% | 7,7% | 0,0% | 0,0% | 0,0% |
| Modification structurelle | 1 | -5 | 100,0% | 0,0% | 0,0% | 0,0% | 0,0% | 0,0% | 0,0% |
| Quantité et qualité de la ressource | 5 | -2,6 | 40,0% | 20,0% | 0,0% | 40,0% | 0,0% | 0,0% | 0,0% |
| Purification de l'eau | 15 | 0,9333 | 0,0% | 13,3% | 0,0% | 33,3% | 13,3% | 40,0% | 0,0% |
| Courant | 2 | 0 | 0,0% | 50,0% | 0,0% | 0,0% | 0,0% | 50,0% | 0,0% |
| Circulation | 1 | 3 | 0,0% | 0,0% | 0,0% | 0,0% | 0,0% | 100,0% | 0,0% |
| Courant transversaux | 1 | -3 | 0,0% | 100,0% | 0,0% | 0,0% | 0,0% | 0,0% | 0,0% |
| Processus dissipation | 13 | 1,0769 | 0,0% | 7,7% | 0,0% | 38,5% | 15,4% | 38,5% | 0,0% |
| Déferlement | 1 | 3 | 0,0% | 0,0% | 0,0% | 0,0% | 0,0% | 100,0% | 0,0% |
| Énergie des vagues | 8 | 1 | 0,0% | 12,5% | 0,0% | 25,0% | 25,0% | 37,5% | 0,0% |
| Hauteur de vagues | 4 | 0,75 | 0,0% | 0,0% | 0,0% | 75,0% | 0,0% | 25,0% | 0,0% |
| Protection côtière | 367 | 1,4605 | 2,2% | 12,0% | 3,3% | 17,2% | 11,4% | 42,5% | 11,4% |
| Érosion/Accumulation | 207 | 2,5121 | 0,0% | 1,0% | 0,5% | 15,9% | 14,0% | 51,2% | 17,4% |
| Accumulation sédimentaire | 40 | 3,15 | 0,0% | 2,5% | 0,0% | 0,0% | 5,0% | 72,5% | 20,0% |
| Bilan sédimentaire | 66 | 2,9848 | 0,0% | 0,0% | 0,0% | 7,6% | 15,2% | 51,5% | 25,8% |
| Déplacement du trait de côte | 50 | 1,72 | 0,0% | 2,0% | 0,0% | 24,0% | 24,0% | 48,0% | 2,0% |
| Érosion | 24 | 2 | 0,0% | 0,0% | 4,2% | 41,7% | 0,0% | 33,3% | 20,8% |
| Largeur de plage | 26 | 2,3077 | 0,0% | 0,0% | 0,0% | 23,1% | 19,2% | 38,5% | 19,2% |
| Rétablissement géomorphologique | 1 | 3 | 0,0% | 0,0% | 0,0% | 0,0% | 0,0% | 100,0% | 0,0% |
| Profil topobathymétrique | 75 | 0,8667 | 2,7% | 17,3% | 4,0% | 21,3% | 10,7% | 37,3% | 6,7% |
| Profil de plage | 30 | -0,433 | 3,3% | 33,3% | 10,0% | 23,3% | 6,7% | 20,0% | 3,3% |
| Système de barres | 36 | 1,3889 | 2,8% | 8,3% | 0,0% | 22,2% | 16,7% | 44,4% | 5,6% |
| Topographie | 1 | 3 | 0,0% | 0,0% | 0,0% | 0,0% | 0,0% | 100,0% | 0,0% |
| Variation bathymétrique généralisé | 4 | 2,75 | 0,0% | 0,0% | 0,0% | 25,0% | 0,0% | 50,0% | 25,0% |
| Variation bathymétrique localisée | 4 | 3,5 | 0,0% | 0,0% | 0,0% | 0,0% | 0,0% | 75,0% | 25,0% |
| Transport sédimentaire | 25 | 1,68 | 4,0% | 8,0% | 0,0% | 12,0% | 12,0% | 60,0% | 4,0% |
| Transport longitudinal | 11 | 1,9091 | 0,0% | 0,0% | 0,0% | 18,2% | 27,3% | 54,5% | 0,0% |
| Transport sédimentaire général | 4 | 3,5 | 0,0% | 0,0% | 0,0% | 0,0% | 0,0% | 75,0% | 25,0% |
| Transport transversal | 10 | 0,7 | 10,0% | 20,0% | 0,0% | 10,0% | 0,0% | 60,0% | 0,0% |
| Courant | 2 | 0 | 0,0% | 50,0% | 0,0% | 0,0% | 0,0% | 50,0% | 0,0% |
| Circulation | 1 | 3 | 0,0% | 0,0% | 0,0% | 0,0% | 0,0% | 100,0% | 0,0% |
| Courant transversaux | 1 | -3 | 0,0% | 100,0% | 0,0% | 0,0% | 0,0% | 0,0% | 0,0% |
| Jet de rive | 1 | -3 | 0,0% | 100,0% | 0,0% | 0,0% | 0,0% | 0,0% | 0,0% |
| Run-up | 1 | -3 | 0,0% | 100,0% | 0,0% | 0,0% | 0,0% | 0,0% | 0,0% |
| Processus dissipation | 13 | 1,0769 | 0,0% | 7,7% | 0,0% | 38,5% | 15,4% | 38,5% | 0,0% |
| Déferlement | 1 | 3 | 0,0% | 0,0% | 0,0% | 0,0% | 0,0% | 100,0% | 0,0% |
| Énergie des vagues | 8 | 1 | 0,0% | 12,5% | 0,0% | 25,0% | 25,0% | 37,5% | 0,0% |
| Hauteur de vagues | 4 | 0,75 | 0,0% | 0,0% | 0,0% | 75,0% | 0,0% | 25,0% | 0,0% |
| Sédiments | 44 | -2,318 | 11,4% | 54,5% | 18,2% | 13,6% | 0,0% | 2,3% | 0,0% |
| Redistribution granulométrique | 8 | -2,625 | 0,0% | 87,5% | 0,0% | 12,5% | 0,0% | 0,0% | 0,0% |
| Taille granulométrique | 36 | -2,25 | 13,9% | 47,2% | 22,2% | 13,9% | 0,0% | 2,8% | 0,0% |
| Fins récréatives ou de loisirs | 337 | 1,9288 | 1,2% | 6,8% | 1,2% | 17,5% | 12,5% | 48,1% | 12,8% |
| Érosion/Accumulation | 207 | 2,5121 | 0,0% | 1,0% | 0,5% | 15,9% | 14,0% | 51,2% | 17,4% |
| Accumulation sédimentaire | 40 | 3,15 | 0,0% | 2,5% | 0,0% | 0,0% | 5,0% | 72,5% | 20,0% |
| Bilan sédimentaire | 66 | 2,9848 | 0,0% | 0,0% | 0,0% | 7,6% | 15,2% | 51,5% | 25,8% |
| Déplacement du trait de côte | 50 | 1,72 | 0,0% | 2,0% | 0,0% | 24,0% | 24,0% | 48,0% | 2,0% |

Identification d'ouvrages de protection côtière

Date : 2021-03-19

Cellule hydrosédimentaire :

version :

Groupe_0003

page :

27

| | | | | | | | | | |
|---|-----|--------|-------|--------|-------|-------|-------|--------|-------|
| Érosion | 24 | 2 | 0,0% | 0,0% | 4,2% | 41,7% | 0,0% | 33,3% | 20,8% |
| Largeur de plage | 26 | 2,3077 | 0,0% | 0,0% | 0,0% | 23,1% | 19,2% | 38,5% | 19,2% |
| Rétablissement géomorphologique | 1 | 3 | 0,0% | 0,0% | 0,0% | 0,0% | 0,0% | 100,0% | 0,0% |
| Profil topobathymétrique | 75 | 0,8667 | 2,7% | 17,3% | 4,0% | 21,3% | 10,7% | 37,3% | 6,7% |
| Profil de plage | 30 | -0,433 | 3,3% | 33,3% | 10,0% | 23,3% | 6,7% | 20,0% | 3,3% |
| Système de barres | 36 | 1,3889 | 2,8% | 8,3% | 0,0% | 22,2% | 16,7% | 44,4% | 5,6% |
| Topographie | 1 | 3 | 0,0% | 0,0% | 0,0% | 0,0% | 0,0% | 100,0% | 0,0% |
| Variation bathymétrique généralisé | 4 | 2,75 | 0,0% | 0,0% | 0,0% | 25,0% | 0,0% | 50,0% | 25,0% |
| Variation bathymétrique localisée | 4 | 3,5 | 0,0% | 0,0% | 0,0% | 0,0% | 0,0% | 75,0% | 25,0% |
| Transport sédimentaire | 25 | 1,68 | 4,0% | 8,0% | 0,0% | 12,0% | 12,0% | 60,0% | 4,0% |
| Transport longitudinal | 11 | 1,9091 | 0,0% | 0,0% | 0,0% | 18,2% | 27,3% | 54,5% | 0,0% |
| Transport sédimentaire général | 4 | 3,5 | 0,0% | 0,0% | 0,0% | 0,0% | 0,0% | 75,0% | 25,0% |
| Transport transversal | 10 | 0,7 | 10,0% | 20,0% | 0,0% | 10,0% | 0,0% | 60,0% | 0,0% |
| Courant | 2 | 0 | 0,0% | 50,0% | 0,0% | 0,0% | 0,0% | 50,0% | 0,0% |
| Circulation | 1 | 3 | 0,0% | 0,0% | 0,0% | 0,0% | 0,0% | 100,0% | 0,0% |
| Courant transversaux | 1 | -3 | 0,0% | 100,0% | 0,0% | 0,0% | 0,0% | 0,0% | 0,0% |
| Jet de rive | 1 | -3 | 0,0% | 100,0% | 0,0% | 0,0% | 0,0% | 0,0% | 0,0% |
| Run-up | 1 | -3 | 0,0% | 100,0% | 0,0% | 0,0% | 0,0% | 0,0% | 0,0% |
| Pratique de loisirs | 14 | 0,8571 | 7,1% | 21,4% | 0,0% | 14,3% | 0,0% | 50,0% | 7,1% |
| Loisirs aquatiques côtiers | 3 | -1 | 0,0% | 33,3% | 0,0% | 66,7% | 0,0% | 0,0% | 0,0% |
| Loisirs terrestres | 11 | 1,3636 | 9,1% | 18,2% | 0,0% | 0,0% | 0,0% | 63,6% | 9,1% |
| Processus dissipation | 13 | 1,0769 | 0,0% | 7,7% | 0,0% | 38,5% | 15,4% | 38,5% | 0,0% |
| Déferlement | 1 | 3 | 0,0% | 0,0% | 0,0% | 0,0% | 0,0% | 100,0% | 0,0% |
| Énergie des vagues | 8 | 1 | 0,0% | 12,5% | 0,0% | 25,0% | 25,0% | 37,5% | 0,0% |
| Hauteur de vagues | 4 | 0,75 | 0,0% | 0,0% | 0,0% | 75,0% | 0,0% | 25,0% | 0,0% |
| Fins patrimoniales, symboliques, sacrée | 310 | 2,0129 | 1,0% | 6,1% | 1,3% | 16,8% | 12,9% | 48,4% | 13,5% |
| Érosion/Accumulation | 207 | 2,5121 | 0,0% | 1,0% | 0,5% | 15,9% | 14,0% | 51,2% | 17,4% |
| Accumulation sédimentaire | 40 | 3,15 | 0,0% | 2,5% | 0,0% | 0,0% | 5,0% | 72,5% | 20,0% |
| Bilan sédimentaire | 66 | 2,9848 | 0,0% | 0,0% | 0,0% | 7,6% | 15,2% | 51,5% | 25,8% |
| Déplacement du trait de côte | 50 | 1,72 | 0,0% | 2,0% | 0,0% | 24,0% | 24,0% | 48,0% | 2,0% |
| Érosion | 24 | 2 | 0,0% | 0,0% | 4,2% | 41,7% | 0,0% | 33,3% | 20,8% |
| Largeur de plage | 26 | 2,3077 | 0,0% | 0,0% | 0,0% | 23,1% | 19,2% | 38,5% | 19,2% |
| Rétablissement géomorphologique | 1 | 3 | 0,0% | 0,0% | 0,0% | 0,0% | 0,0% | 100,0% | 0,0% |
| Profil topobathymétrique | 75 | 0,8667 | 2,7% | 17,3% | 4,0% | 21,3% | 10,7% | 37,3% | 6,7% |
| Profil de plage | 30 | -0,433 | 3,3% | 33,3% | 10,0% | 23,3% | 6,7% | 20,0% | 3,3% |
| Système de barres | 36 | 1,3889 | 2,8% | 8,3% | 0,0% | 22,2% | 16,7% | 44,4% | 5,6% |
| Topographie | 1 | 3 | 0,0% | 0,0% | 0,0% | 0,0% | 0,0% | 100,0% | 0,0% |
| Variation bathymétrique généralisé | 4 | 2,75 | 0,0% | 0,0% | 0,0% | 25,0% | 0,0% | 50,0% | 25,0% |
| Variation bathymétrique localisée | 4 | 3,5 | 0,0% | 0,0% | 0,0% | 0,0% | 0,0% | 75,0% | 25,0% |
| Transport sédimentaire | 25 | 1,68 | 4,0% | 8,0% | 0,0% | 12,0% | 12,0% | 60,0% | 4,0% |
| Transport longitudinal | 11 | 1,9091 | 0,0% | 0,0% | 0,0% | 18,2% | 27,3% | 54,5% | 0,0% |
| Transport sédimentaire général | 4 | 3,5 | 0,0% | 0,0% | 0,0% | 0,0% | 0,0% | 75,0% | 25,0% |
| Transport transversal | 10 | 0,7 | 10,0% | 20,0% | 0,0% | 10,0% | 0,0% | 60,0% | 0,0% |
| Courant | 2 | 0 | 0,0% | 50,0% | 0,0% | 0,0% | 0,0% | 50,0% | 0,0% |
| Circulation | 1 | 3 | 0,0% | 0,0% | 0,0% | 0,0% | 0,0% | 100,0% | 0,0% |
| Courant transversaux | 1 | -3 | 0,0% | 100,0% | 0,0% | 0,0% | 0,0% | 0,0% | 0,0% |
| Jet de rive | 1 | -3 | 0,0% | 100,0% | 0,0% | 0,0% | 0,0% | 0,0% | 0,0% |
| Run-up | 1 | -3 | 0,0% | 100,0% | 0,0% | 0,0% | 0,0% | 0,0% | 0,0% |
| Système horizontal de drainage Agr Services écologiques | 89 | 0,5843 | 1,1% | 18,0% | 3,4% | 32,6% | 11,2% | 29,2% | 4,5% |

Identification d'ouvrages de protection côtière

Date : 2021-03-19

Cellule hydrosédimentaire :

version :

Groupe_0003

page : 28

| | | | | | | | | | |
|---------------------------------|----|--------|-------|-------|-------|--------|--------|--------|-------|
| Fins alimentaires | 28 | -0,071 | 0,0% | 14,3% | 0,0% | 71,4% | 3,6% | 10,7% | 0,0% |
| Profil topobathymétrique | 9 | -1 | 0,0% | 44,4% | 0,0% | 44,4% | 0,0% | 11,1% | 0,0% |
| Profil de plage | 9 | -1 | 0,0% | 44,4% | 0,0% | 44,4% | 0,0% | 11,1% | 0,0% |
| Processus dissipation | 3 | 2,3333 | 0,0% | 0,0% | 0,0% | 0,0% | 33,3% | 66,7% | 0,0% |
| Énergie des vagues | 1 | 1 | 0,0% | 0,0% | 0,0% | 0,0% | 100,0% | 0,0% | 0,0% |
| Réflexion | 2 | 3 | 0,0% | 0,0% | 0,0% | 0,0% | 0,0% | 100,0% | 0,0% |
| Biocénose | 10 | 0 | 0,0% | 0,0% | 0,0% | 100,0% | 0,0% | 0,0% | 0,0% |
| Biocénose qualitative | 6 | 0 | 0,0% | 0,0% | 0,0% | 100,0% | 0,0% | 0,0% | 0,0% |
| Biocénose quantitative | 4 | 0 | 0,0% | 0,0% | 0,0% | 100,0% | 0,0% | 0,0% | 0,0% |
| Biotope | 6 | 0 | 0,0% | 0,0% | 0,0% | 100,0% | 0,0% | 0,0% | 0,0% |
| Modification physico-chimique | 6 | 0 | 0,0% | 0,0% | 0,0% | 100,0% | 0,0% | 0,0% | 0,0% |
| Maintenance du cycle de vie | 28 | -0,071 | 0,0% | 14,3% | 0,0% | 71,4% | 3,6% | 10,7% | 0,0% |
| Profil topobathymétrique | 9 | -1 | 0,0% | 44,4% | 0,0% | 44,4% | 0,0% | 11,1% | 0,0% |
| Profil de plage | 9 | -1 | 0,0% | 44,4% | 0,0% | 44,4% | 0,0% | 11,1% | 0,0% |
| Processus dissipation | 3 | 2,3333 | 0,0% | 0,0% | 0,0% | 0,0% | 33,3% | 66,7% | 0,0% |
| Énergie des vagues | 1 | 1 | 0,0% | 0,0% | 0,0% | 0,0% | 100,0% | 0,0% | 0,0% |
| Réflexion | 2 | 3 | 0,0% | 0,0% | 0,0% | 0,0% | 0,0% | 100,0% | 0,0% |
| Biocénose | 10 | 0 | 0,0% | 0,0% | 0,0% | 100,0% | 0,0% | 0,0% | 0,0% |
| Biocénose qualitative | 6 | 0 | 0,0% | 0,0% | 0,0% | 100,0% | 0,0% | 0,0% | 0,0% |
| Biocénose quantitative | 4 | 0 | 0,0% | 0,0% | 0,0% | 100,0% | 0,0% | 0,0% | 0,0% |
| Biotope | 6 | 0 | 0,0% | 0,0% | 0,0% | 100,0% | 0,0% | 0,0% | 0,0% |
| Modification physico-chimique | 6 | 0 | 0,0% | 0,0% | 0,0% | 100,0% | 0,0% | 0,0% | 0,0% |
| Purification de l'eau | 4 | 2,5 | 0,0% | 0,0% | 0,0% | 0,0% | 25,0% | 75,0% | 0,0% |
| Courant | 1 | 3 | 0,0% | 0,0% | 0,0% | 0,0% | 0,0% | 100,0% | 0,0% |
| Courant transversaux | 1 | 3 | 0,0% | 0,0% | 0,0% | 0,0% | 0,0% | 100,0% | 0,0% |
| Processus dissipation | 3 | 2,3333 | 0,0% | 0,0% | 0,0% | 0,0% | 33,3% | 66,7% | 0,0% |
| Énergie des vagues | 1 | 1 | 0,0% | 0,0% | 0,0% | 0,0% | 100,0% | 0,0% | 0,0% |
| Réflexion | 2 | 3 | 0,0% | 0,0% | 0,0% | 0,0% | 0,0% | 100,0% | 0,0% |
| Protection côtière | 72 | 0,7639 | 1,4% | 20,8% | 4,2% | 18,1% | 13,9% | 36,1% | 5,6% |
| Érosion/Accumulation | 52 | 0,6731 | 1,9% | 21,2% | 5,8% | 17,3% | 15,4% | 30,8% | 7,7% |
| Accumulation sédimentaire | 13 | 1,9231 | 0,0% | 0,0% | 0,0% | 30,8% | 23,1% | 30,8% | 15,4% |
| Bilan sédimentaire | 10 | 0,9 | 0,0% | 20,0% | 0,0% | 10,0% | 30,0% | 40,0% | 0,0% |
| Déplacement du trait de côte | 17 | 1 | 0,0% | 23,5% | 5,9% | 11,8% | 11,8% | 35,3% | 11,8% |
| Érosion | 9 | -2,444 | 11,1% | 55,6% | 22,2% | 11,1% | 0,0% | 0,0% | 0,0% |
| Rétablissement géomorphologique | 3 | 2 | 0,0% | 0,0% | 0,0% | 33,3% | 0,0% | 66,7% | 0,0% |
| Profil topobathymétrique | 9 | -1 | 0,0% | 44,4% | 0,0% | 44,4% | 0,0% | 11,1% | 0,0% |
| Profil de plage | 9 | -1 | 0,0% | 44,4% | 0,0% | 44,4% | 0,0% | 11,1% | 0,0% |
| Transport sédimentaire | 3 | 3 | 0,0% | 0,0% | 0,0% | 0,0% | 0,0% | 100,0% | 0,0% |
| Transport sédimentaire général | 1 | 3 | 0,0% | 0,0% | 0,0% | 0,0% | 0,0% | 100,0% | 0,0% |
| Transport transversal | 2 | 3 | 0,0% | 0,0% | 0,0% | 0,0% | 0,0% | 100,0% | 0,0% |
| Courant | 1 | 3 | 0,0% | 0,0% | 0,0% | 0,0% | 0,0% | 100,0% | 0,0% |
| Courant transversaux | 1 | 3 | 0,0% | 0,0% | 0,0% | 0,0% | 0,0% | 100,0% | 0,0% |
| Jet de rive | 4 | 2,5 | 0,0% | 0,0% | 0,0% | 0,0% | 25,0% | 75,0% | 0,0% |
| Backwash/Swash | 3 | 2,3333 | 0,0% | 0,0% | 0,0% | 0,0% | 33,3% | 66,7% | 0,0% |
| Run-up | 1 | 3 | 0,0% | 0,0% | 0,0% | 0,0% | 0,0% | 100,0% | 0,0% |
| Processus dissipation | 3 | 2,3333 | 0,0% | 0,0% | 0,0% | 0,0% | 33,3% | 66,7% | 0,0% |
| Énergie des vagues | 1 | 1 | 0,0% | 0,0% | 0,0% | 0,0% | 100,0% | 0,0% | 0,0% |
| Réflexion | 2 | 3 | 0,0% | 0,0% | 0,0% | 0,0% | 0,0% | 100,0% | 0,0% |
| Fins récréatives ou de loisirs | 73 | 0,7123 | 1,4% | 21,9% | 4,1% | 17,8% | 13,7% | 35,6% | 5,5% |

Identification d'ouvrages de protection côtière

Date : 2021-03-19

Cellule hydrosédimentaire :

version :

Groupe_0003

page :

29

| | | | | | | | | | |
|--|-----|--------|-------|--------|-------|--------|--------|--------|-------|
| Érosion/Accumulation | 52 | 0,6731 | 1,9% | 21,2% | 5,8% | 17,3% | 15,4% | 30,8% | 7,7% |
| Accumulation sédimentaire | 13 | 1,9231 | 0,0% | 0,0% | 0,0% | 30,8% | 23,1% | 30,8% | 15,4% |
| Bilan sédimentaire | 10 | 0,9 | 0,0% | 20,0% | 0,0% | 10,0% | 30,0% | 40,0% | 0,0% |
| Déplacement du trait de côte | 17 | 1 | 0,0% | 23,5% | 5,9% | 11,8% | 11,8% | 35,3% | 11,8% |
| Érosion | 9 | -2,444 | 11,1% | 55,6% | 22,2% | 11,1% | 0,0% | 0,0% | 0,0% |
| Rétablissement géomorphologique | 3 | 2 | 0,0% | 0,0% | 0,0% | 33,3% | 0,0% | 66,7% | 0,0% |
| Profil topobathymétrique | 9 | -1 | 0,0% | 44,4% | 0,0% | 44,4% | 0,0% | 11,1% | 0,0% |
| Profil de plage | 9 | -1 | 0,0% | 44,4% | 0,0% | 44,4% | 0,0% | 11,1% | 0,0% |
| Transport sédimentaire | 3 | 3 | 0,0% | 0,0% | 0,0% | 0,0% | 0,0% | 100,0% | 0,0% |
| Transport sédimentaire général | 1 | 3 | 0,0% | 0,0% | 0,0% | 0,0% | 0,0% | 100,0% | 0,0% |
| Transport transversal | 2 | 3 | 0,0% | 0,0% | 0,0% | 0,0% | 0,0% | 100,0% | 0,0% |
| Courant | 1 | 3 | 0,0% | 0,0% | 0,0% | 0,0% | 0,0% | 100,0% | 0,0% |
| Courant transversaux | 1 | 3 | 0,0% | 0,0% | 0,0% | 0,0% | 0,0% | 100,0% | 0,0% |
| Jet de rive | 4 | 2,5 | 0,0% | 0,0% | 0,0% | 0,0% | 25,0% | 75,0% | 0,0% |
| Backwash/Swash | 3 | 2,3333 | 0,0% | 0,0% | 0,0% | 0,0% | 33,3% | 66,7% | 0,0% |
| Run-up | 1 | 3 | 0,0% | 0,0% | 0,0% | 0,0% | 0,0% | 100,0% | 0,0% |
| Pratique de loisirs | 1 | -3 | 0,0% | 100,0% | 0,0% | 0,0% | 0,0% | 0,0% | 0,0% |
| Loisirs terrestres | 1 | -3 | 0,0% | 100,0% | 0,0% | 0,0% | 0,0% | 0,0% | 0,0% |
| Processus dissipation | 3 | 2,3333 | 0,0% | 0,0% | 0,0% | 0,0% | 33,3% | 66,7% | 0,0% |
| Énergie des vagues | 1 | 1 | 0,0% | 0,0% | 0,0% | 0,0% | 100,0% | 0,0% | 0,0% |
| Réflexion | 2 | 3 | 0,0% | 0,0% | 0,0% | 0,0% | 0,0% | 100,0% | 0,0% |
| Fins patrimoniales, symboliques, sacrée | 69 | 0,6957 | 1,4% | 21,7% | 4,3% | 18,8% | 13,0% | 34,8% | 5,8% |
| Érosion/Accumulation | 52 | 0,6731 | 1,9% | 21,2% | 5,8% | 17,3% | 15,4% | 30,8% | 7,7% |
| Accumulation sédimentaire | 13 | 1,9231 | 0,0% | 0,0% | 0,0% | 30,8% | 23,1% | 30,8% | 15,4% |
| Bilan sédimentaire | 10 | 0,9 | 0,0% | 20,0% | 0,0% | 10,0% | 30,0% | 40,0% | 0,0% |
| Déplacement du trait de côte | 17 | 1 | 0,0% | 23,5% | 5,9% | 11,8% | 11,8% | 35,3% | 11,8% |
| Érosion | 9 | -2,444 | 11,1% | 55,6% | 22,2% | 11,1% | 0,0% | 0,0% | 0,0% |
| Rétablissement géomorphologique | 3 | 2 | 0,0% | 0,0% | 0,0% | 33,3% | 0,0% | 66,7% | 0,0% |
| Profil topobathymétrique | 9 | -1 | 0,0% | 44,4% | 0,0% | 44,4% | 0,0% | 11,1% | 0,0% |
| Profil de plage | 9 | -1 | 0,0% | 44,4% | 0,0% | 44,4% | 0,0% | 11,1% | 0,0% |
| Transport sédimentaire | 3 | 3 | 0,0% | 0,0% | 0,0% | 0,0% | 0,0% | 100,0% | 0,0% |
| Transport sédimentaire général | 1 | 3 | 0,0% | 0,0% | 0,0% | 0,0% | 0,0% | 100,0% | 0,0% |
| Transport transversal | 2 | 3 | 0,0% | 0,0% | 0,0% | 0,0% | 0,0% | 100,0% | 0,0% |
| Courant | 1 | 3 | 0,0% | 0,0% | 0,0% | 0,0% | 0,0% | 100,0% | 0,0% |
| Courant transversaux | 1 | 3 | 0,0% | 0,0% | 0,0% | 0,0% | 0,0% | 100,0% | 0,0% |
| Jet de rive | 4 | 2,5 | 0,0% | 0,0% | 0,0% | 0,0% | 25,0% | 75,0% | 0,0% |
| Backwash/Swash | 3 | 2,3333 | 0,0% | 0,0% | 0,0% | 0,0% | 33,3% | 66,7% | 0,0% |
| Run-up | 1 | 3 | 0,0% | 0,0% | 0,0% | 0,0% | 0,0% | 100,0% | 0,0% |
| 8 Brise-lame submergé Agr Services écologiques | 158 | -0,127 | 8,2% | 36,1% | 3,2% | 6,3% | 7,6% | 30,4% | 8,2% |
| Fins alimentaires | 52 | 0,5577 | 5,8% | 26,9% | 3,8% | 5,8% | 11,5% | 36,5% | 9,6% |
| Profil topobathymétrique | 22 | -0,591 | 9,1% | 45,5% | 0,0% | 4,5% | 4,5% | 31,8% | 4,5% |
| Profil de plage | 5 | -0,6 | 0,0% | 60,0% | 0,0% | 0,0% | 0,0% | 40,0% | 0,0% |
| Système de barres | 11 | -0,909 | 9,1% | 45,5% | 0,0% | 9,1% | 9,1% | 27,3% | 0,0% |
| Variation bathymétrique généralisé | 2 | 3 | 0,0% | 0,0% | 0,0% | 0,0% | 0,0% | 100,0% | 0,0% |
| Variation bathymétrique localisée | 4 | -1,5 | 25,0% | 50,0% | 0,0% | 0,0% | 0,0% | 0,0% | 25,0% |
| Sédiments | 1 | 0 | 0,0% | 0,0% | 0,0% | 100,0% | 0,0% | 0,0% | 0,0% |
| Taille granulométrique | 1 | 0 | 0,0% | 0,0% | 0,0% | 100,0% | 0,0% | 0,0% | 0,0% |
| Caractéristiques des vagues | 1 | 3 | 0,0% | 0,0% | 0,0% | 0,0% | 0,0% | 100,0% | 0,0% |
| Régime de vagues | 1 | 3 | 0,0% | 0,0% | 0,0% | 0,0% | 0,0% | 100,0% | 0,0% |

Identification d'ouvrages de protection côtière

Date : 2021-03-19

Cellule hydrosédimentaire :

version :

Groupe_0003

page : 30

| | | | | | | | | | |
|------------------------------------|-----|--------|-------|--------|-------|--------|-------|--------|-------|
| Processus dissipation | 21 | 2,3333 | 4,8% | 0,0% | 4,8% | 0,0% | 23,8% | 47,6% | 19,0% |
| Énergie des vagues | 14 | 1,7143 | 7,1% | 0,0% | 7,1% | 0,0% | 28,6% | 50,0% | 7,1% |
| Hauteur de vagues | 7 | 3,5714 | 0,0% | 0,0% | 0,0% | 0,0% | 14,3% | 42,9% | 42,9% |
| Biocénose | 7 | -1,429 | 0,0% | 57,1% | 14,3% | 14,3% | 0,0% | 14,3% | 0,0% |
| Biocénose qualitative | 5 | -0,8 | 0,0% | 40,0% | 20,0% | 20,0% | 0,0% | 20,0% | 0,0% |
| Biocénose quantitative | 2 | -3 | 0,0% | 100,0% | 0,0% | 0,0% | 0,0% | 0,0% | 0,0% |
| Maintenance du cycle de vie | 52 | 0,5577 | 5,8% | 26,9% | 3,8% | 5,8% | 11,5% | 36,5% | 9,6% |
| Profil topobathymétrique | 22 | -0,591 | 9,1% | 45,5% | 0,0% | 4,5% | 4,5% | 31,8% | 4,5% |
| Profil de plage | 5 | -0,6 | 0,0% | 60,0% | 0,0% | 0,0% | 0,0% | 40,0% | 0,0% |
| Système de barres | 11 | -0,909 | 9,1% | 45,5% | 0,0% | 9,1% | 9,1% | 27,3% | 0,0% |
| Variation bathymétrique généralisé | 2 | 3 | 0,0% | 0,0% | 0,0% | 0,0% | 0,0% | 100,0% | 0,0% |
| Variation bathymétrique localisée | 4 | -1,5 | 25,0% | 50,0% | 0,0% | 0,0% | 0,0% | 0,0% | 25,0% |
| Sédiments | 1 | 0 | 0,0% | 0,0% | 0,0% | 100,0% | 0,0% | 0,0% | 0,0% |
| Taille granulométrique | 1 | 0 | 0,0% | 0,0% | 0,0% | 100,0% | 0,0% | 0,0% | 0,0% |
| Caractéristiques des vagues | 1 | 3 | 0,0% | 0,0% | 0,0% | 0,0% | 0,0% | 100,0% | 0,0% |
| Régime de vagues | 1 | 3 | 0,0% | 0,0% | 0,0% | 0,0% | 0,0% | 100,0% | 0,0% |
| Processus dissipation | 21 | 2,3333 | 4,8% | 0,0% | 4,8% | 0,0% | 23,8% | 47,6% | 19,0% |
| Énergie des vagues | 14 | 1,7143 | 7,1% | 0,0% | 7,1% | 0,0% | 28,6% | 50,0% | 7,1% |
| Hauteur de vagues | 7 | 3,5714 | 0,0% | 0,0% | 0,0% | 0,0% | 14,3% | 42,9% | 42,9% |
| Biocénose | 7 | -1,429 | 0,0% | 57,1% | 14,3% | 14,3% | 0,0% | 14,3% | 0,0% |
| Biocénose qualitative | 5 | -0,8 | 0,0% | 40,0% | 20,0% | 20,0% | 0,0% | 20,0% | 0,0% |
| Biocénose quantitative | 2 | -3 | 0,0% | 100,0% | 0,0% | 0,0% | 0,0% | 0,0% | 0,0% |
| Purification de l'eau | 61 | 0,459 | 3,3% | 31,1% | 3,3% | 8,2% | 9,8% | 36,1% | 8,2% |
| Caractéristiques des vagues | 1 | 3 | 0,0% | 0,0% | 0,0% | 0,0% | 0,0% | 100,0% | 0,0% |
| Régime de vagues | 1 | 3 | 0,0% | 0,0% | 0,0% | 0,0% | 0,0% | 100,0% | 0,0% |
| Courant | 30 | -1,433 | 3,3% | 60,0% | 3,3% | 16,7% | 0,0% | 13,3% | 3,3% |
| Circulation | 18 | -1,167 | 5,6% | 50,0% | 0,0% | 27,8% | 0,0% | 11,1% | 5,6% |
| Courant d'arrachement | 4 | -3 | 0,0% | 100,0% | 0,0% | 0,0% | 0,0% | 0,0% | 0,0% |
| Courant de marée | 1 | -3 | 0,0% | 100,0% | 0,0% | 0,0% | 0,0% | 0,0% | 0,0% |
| Courant transversaux | 1 | -3 | 0,0% | 100,0% | 0,0% | 0,0% | 0,0% | 0,0% | 0,0% |
| Dérive littorale | 6 | -0,667 | 0,0% | 50,0% | 16,7% | 0,0% | 0,0% | 33,3% | 0,0% |
| Processus dissipation | 30 | 2,2667 | 3,3% | 3,3% | 3,3% | 0,0% | 20,0% | 56,7% | 13,3% |
| Déferlement | 4 | 3 | 0,0% | 0,0% | 0,0% | 0,0% | 0,0% | 100,0% | 0,0% |
| Diffraction | 2 | 0 | 0,0% | 50,0% | 0,0% | 0,0% | 0,0% | 50,0% | 0,0% |
| Énergie des vagues | 14 | 1,7143 | 7,1% | 0,0% | 7,1% | 0,0% | 28,6% | 50,0% | 7,1% |
| Hauteur de vagues | 7 | 3,5714 | 0,0% | 0,0% | 0,0% | 0,0% | 14,3% | 42,9% | 42,9% |
| Transmission | 3 | 2,3333 | 0,0% | 0,0% | 0,0% | 0,0% | 33,3% | 66,7% | 0,0% |
| Protection côtière | 151 | -0,066 | 8,6% | 35,1% | 2,6% | 6,0% | 7,9% | 31,1% | 8,6% |
| Érosion/Accumulation | 43 | -0,395 | 16,3% | 34,9% | 0,0% | 4,7% | 7,0% | 23,3% | 14,0% |
| Accumulation sédimentaire | 12 | 1,5 | 8,3% | 8,3% | 0,0% | 0,0% | 16,7% | 66,7% | 0,0% |
| Bilan sédimentaire | 4 | -2,5 | 50,0% | 25,0% | 0,0% | 0,0% | 0,0% | 25,0% | 0,0% |
| Déplacement du trait de côte | 4 | -3 | 0,0% | 100,0% | 0,0% | 0,0% | 0,0% | 0,0% | 0,0% |
| Érosion | 18 | -1,778 | 22,2% | 50,0% | 0,0% | 11,1% | 0,0% | 0,0% | 16,7% |
| Largeur de plage | 3 | 4,3333 | 0,0% | 0,0% | 0,0% | 0,0% | 0,0% | 33,3% | 66,7% |
| Rétention sédimentaire | 2 | 3 | 0,0% | 0,0% | 0,0% | 0,0% | 50,0% | 0,0% | 50,0% |
| Profil topobathymétrique | 22 | -0,591 | 9,1% | 45,5% | 0,0% | 4,5% | 4,5% | 31,8% | 4,5% |
| Profil de plage | 5 | -0,6 | 0,0% | 60,0% | 0,0% | 0,0% | 0,0% | 40,0% | 0,0% |
| Système de barres | 11 | -0,909 | 9,1% | 45,5% | 0,0% | 9,1% | 9,1% | 27,3% | 0,0% |
| Variation bathymétrique généralisé | 2 | 3 | 0,0% | 0,0% | 0,0% | 0,0% | 0,0% | 100,0% | 0,0% |

Identification d'ouvrages de protection côtière

Date : 2021-03-19

Cellule hydrosédimentaire :

version :

Groupe_0003

page :

31

| | | | | | | | | | |
|------------------------------------|-----|--------|-------|--------|-------|--------|-------|--------|-------|
| Variation bathymétrique localisée | 4 | -1,5 | 25,0% | 50,0% | 0,0% | 0,0% | 0,0% | 0,0% | 25,0% |
| Transport sédimentaire | 15 | -0,467 | 13,3% | 33,3% | 6,7% | 0,0% | 13,3% | 26,7% | 6,7% |
| Transport longitudinal | 2 | -4 | 50,0% | 50,0% | 0,0% | 0,0% | 0,0% | 0,0% | 0,0% |
| Transport sédimentaire général | 3 | -1 | 0,0% | 66,7% | 0,0% | 0,0% | 0,0% | 33,3% | 0,0% |
| Transport transversal | 10 | 0,4 | 10,0% | 20,0% | 10,0% | 0,0% | 20,0% | 30,0% | 10,0% |
| Caractéristiques des vagues | 1 | 3 | 0,0% | 0,0% | 0,0% | 0,0% | 0,0% | 100,0% | 0,0% |
| Régime de vagues | 1 | 3 | 0,0% | 0,0% | 0,0% | 0,0% | 0,0% | 100,0% | 0,0% |
| Courant | 30 | -1,433 | 3,3% | 60,0% | 3,3% | 16,7% | 0,0% | 13,3% | 3,3% |
| Circulation | 18 | -1,167 | 5,6% | 50,0% | 0,0% | 27,8% | 0,0% | 11,1% | 5,6% |
| Courant d'arrachement | 4 | -3 | 0,0% | 100,0% | 0,0% | 0,0% | 0,0% | 0,0% | 0,0% |
| Courant de marée | 1 | -3 | 0,0% | 100,0% | 0,0% | 0,0% | 0,0% | 0,0% | 0,0% |
| Courant transversaux | 1 | -3 | 0,0% | 100,0% | 0,0% | 0,0% | 0,0% | 0,0% | 0,0% |
| Dérive littorale | 6 | -0,667 | 0,0% | 50,0% | 16,7% | 0,0% | 0,0% | 33,3% | 0,0% |
| Jet de rive | 9 | -0,111 | 0,0% | 44,4% | 11,1% | 0,0% | 0,0% | 44,4% | 0,0% |
| Franchissement | 4 | 0,5 | 0,0% | 25,0% | 25,0% | 0,0% | 0,0% | 50,0% | 0,0% |
| Run-up | 5 | -0,6 | 0,0% | 60,0% | 0,0% | 0,0% | 0,0% | 40,0% | 0,0% |
| Processus dissipation | 30 | 2,2667 | 3,3% | 3,3% | 3,3% | 0,0% | 20,0% | 56,7% | 13,3% |
| Déferlement | 4 | 3 | 0,0% | 0,0% | 0,0% | 0,0% | 0,0% | 100,0% | 0,0% |
| Diffraction | 2 | 0 | 0,0% | 50,0% | 0,0% | 0,0% | 0,0% | 50,0% | 0,0% |
| Énergie des vagues | 14 | 1,7143 | 7,1% | 0,0% | 7,1% | 0,0% | 28,6% | 50,0% | 7,1% |
| Hauteur de vagues | 7 | 3,5714 | 0,0% | 0,0% | 0,0% | 0,0% | 14,3% | 42,9% | 42,9% |
| Transmission | 3 | 2,3333 | 0,0% | 0,0% | 0,0% | 0,0% | 33,3% | 66,7% | 0,0% |
| Sédiments | 1 | 0 | 0,0% | 0,0% | 0,0% | 100,0% | 0,0% | 0,0% | 0,0% |
| Taille granulométrique | 1 | 0 | 0,0% | 0,0% | 0,0% | 100,0% | 0,0% | 0,0% | 0,0% |
| Fins récréatives ou de loisirs | 150 | -0,067 | 8,7% | 35,3% | 2,7% | 5,3% | 8,0% | 31,3% | 8,7% |
| Érosion/Accumulation | 43 | -0,395 | 16,3% | 34,9% | 0,0% | 4,7% | 7,0% | 23,3% | 14,0% |
| Accumulation sédimentaire | 12 | 1,5 | 8,3% | 8,3% | 0,0% | 0,0% | 16,7% | 66,7% | 0,0% |
| Bilan sédimentaire | 4 | -2,5 | 50,0% | 25,0% | 0,0% | 0,0% | 0,0% | 25,0% | 0,0% |
| Déplacement du trait de côte | 4 | -3 | 0,0% | 100,0% | 0,0% | 0,0% | 0,0% | 0,0% | 0,0% |
| Érosion | 18 | -1,778 | 22,2% | 50,0% | 0,0% | 11,1% | 0,0% | 0,0% | 16,7% |
| Largeur de plage | 3 | 4,3333 | 0,0% | 0,0% | 0,0% | 0,0% | 0,0% | 33,3% | 66,7% |
| Rétention sédimentaire | 2 | 3 | 0,0% | 0,0% | 0,0% | 0,0% | 50,0% | 0,0% | 50,0% |
| Profil topobathymétrique | 22 | -0,591 | 9,1% | 45,5% | 0,0% | 4,5% | 4,5% | 31,8% | 4,5% |
| Profil de plage | 5 | -0,6 | 0,0% | 60,0% | 0,0% | 0,0% | 0,0% | 40,0% | 0,0% |
| Système de barres | 11 | -0,909 | 9,1% | 45,5% | 0,0% | 9,1% | 9,1% | 27,3% | 0,0% |
| Variation bathymétrique généralisé | 2 | 3 | 0,0% | 0,0% | 0,0% | 0,0% | 0,0% | 100,0% | 0,0% |
| Variation bathymétrique localisée | 4 | -1,5 | 25,0% | 50,0% | 0,0% | 0,0% | 0,0% | 0,0% | 25,0% |
| Transport sédimentaire | 15 | -0,467 | 13,3% | 33,3% | 6,7% | 0,0% | 13,3% | 26,7% | 6,7% |
| Transport longitudinal | 2 | -4 | 50,0% | 50,0% | 0,0% | 0,0% | 0,0% | 0,0% | 0,0% |
| Transport sédimentaire général | 3 | -1 | 0,0% | 66,7% | 0,0% | 0,0% | 0,0% | 33,3% | 0,0% |
| Transport transversal | 10 | 0,4 | 10,0% | 20,0% | 10,0% | 0,0% | 20,0% | 30,0% | 10,0% |
| Caractéristiques des vagues | 1 | 3 | 0,0% | 0,0% | 0,0% | 0,0% | 0,0% | 100,0% | 0,0% |
| Régime de vagues | 1 | 3 | 0,0% | 0,0% | 0,0% | 0,0% | 0,0% | 100,0% | 0,0% |
| Courant | 30 | -1,433 | 3,3% | 60,0% | 3,3% | 16,7% | 0,0% | 13,3% | 3,3% |
| Circulation | 18 | -1,167 | 5,6% | 50,0% | 0,0% | 27,8% | 0,0% | 11,1% | 5,6% |
| Courant d'arrachement | 4 | -3 | 0,0% | 100,0% | 0,0% | 0,0% | 0,0% | 0,0% | 0,0% |
| Courant de marée | 1 | -3 | 0,0% | 100,0% | 0,0% | 0,0% | 0,0% | 0,0% | 0,0% |
| Courant transversaux | 1 | -3 | 0,0% | 100,0% | 0,0% | 0,0% | 0,0% | 0,0% | 0,0% |
| Dérive littorale | 6 | -0,667 | 0,0% | 50,0% | 16,7% | 0,0% | 0,0% | 33,3% | 0,0% |

Identification d'ouvrages de protection côtière

Date : 2021-03-19

Cellule hydrosédimentaire :

version :

Groupe_0003

page :

32

| | | | | | | | | | | | | |
|---|---|-----|----------------------|-------|--------|-------|-------|-------|--------|-------|-------|------|
| | Jet de rive | 9 | -0,111 | 0,0% | 44,4% | 11,1% | 0,0% | 0,0% | 44,4% | 0,0% | | |
| | Franchissement | 4 | 0,5 | 0,0% | 25,0% | 25,0% | 0,0% | 0,0% | 50,0% | 0,0% | | |
| | Run-up | 5 | -0,6 | 0,0% | 60,0% | 0,0% | 0,0% | 0,0% | 40,0% | 0,0% | | |
| | Processus dissipation | 30 | 2,2667 | 3,3% | 3,3% | 3,3% | 0,0% | 20,0% | 56,7% | 13,3% | | |
| | Déferlement | 4 | 3 | 0,0% | 0,0% | 0,0% | 0,0% | 0,0% | 100,0% | 0,0% | | |
| | Diffraction | 2 | 0 | 0,0% | 50,0% | 0,0% | 0,0% | 0,0% | 50,0% | 0,0% | | |
| | Énergie des vagues | 14 | 1,7143 | 7,1% | 0,0% | 7,1% | 0,0% | 28,6% | 50,0% | 7,1% | | |
| | Hauteur de vagues | 7 | 3,5714 | 0,0% | 0,0% | 0,0% | 0,0% | 14,3% | 42,9% | 42,9% | | |
| | Transmission | 3 | 2,3333 | 0,0% | 0,0% | 0,0% | 0,0% | 33,3% | 66,7% | 0,0% | | |
| | Fins patrimoniales, symboliques, sacrée | 120 | -0,65 | 10,0% | 43,3% | 2,5% | 6,7% | 5,0% | 25,0% | 7,5% | | |
| | Érosion/Accumulation | 43 | -0,395 | 16,3% | 34,9% | 0,0% | 4,7% | 7,0% | 23,3% | 14,0% | | |
| | Accumulation sédimentaire | 12 | 1,5 | 8,3% | 8,3% | 0,0% | 0,0% | 16,7% | 66,7% | 0,0% | | |
| | Bilan sédimentaire | 4 | -2,5 | 50,0% | 25,0% | 0,0% | 0,0% | 0,0% | 25,0% | 0,0% | | |
| | Déplacement du trait de côte | 4 | -3 | 0,0% | 100,0% | 0,0% | 0,0% | 0,0% | 0,0% | 0,0% | | |
| | Érosion | 18 | -1,778 | 22,2% | 50,0% | 0,0% | 11,1% | 0,0% | 0,0% | 16,7% | | |
| | Largeur de plage | 3 | 4,3333 | 0,0% | 0,0% | 0,0% | 0,0% | 0,0% | 33,3% | 66,7% | | |
| | Rétention sédimentaire | 2 | 3 | 0,0% | 0,0% | 0,0% | 0,0% | 50,0% | 0,0% | 50,0% | | |
| | Profil topobathymétrique | 22 | -0,591 | 9,1% | 45,5% | 0,0% | 4,5% | 4,5% | 31,8% | 4,5% | | |
| | Profil de plage | 5 | -0,6 | 0,0% | 60,0% | 0,0% | 0,0% | 0,0% | 40,0% | 0,0% | | |
| | Système de barres | 11 | -0,909 | 9,1% | 45,5% | 0,0% | 9,1% | 9,1% | 27,3% | 0,0% | | |
| | Variation bathymétrique généralisé | 2 | 3 | 0,0% | 0,0% | 0,0% | 0,0% | 0,0% | 100,0% | 0,0% | | |
| | Variation bathymétrique localisée | 4 | -1,5 | 25,0% | 50,0% | 0,0% | 0,0% | 0,0% | 0,0% | 25,0% | | |
| | Transport sédimentaire | 15 | -0,467 | 13,3% | 33,3% | 6,7% | 0,0% | 13,3% | 26,7% | 6,7% | | |
| | Transport longitudinal | 2 | -4 | 50,0% | 50,0% | 0,0% | 0,0% | 0,0% | 0,0% | 0,0% | | |
| | Transport sédimentaire général | 3 | -1 | 0,0% | 66,7% | 0,0% | 0,0% | 0,0% | 33,3% | 0,0% | | |
| | Transport transversal | 10 | 0,4 | 10,0% | 20,0% | 10,0% | 0,0% | 20,0% | 30,0% | 10,0% | | |
| | Caractéristiques des vagues | 1 | 3 | 0,0% | 0,0% | 0,0% | 0,0% | 0,0% | 100,0% | 0,0% | | |
| | Régime de vagues | 1 | 3 | 0,0% | 0,0% | 0,0% | 0,0% | 0,0% | 100,0% | 0,0% | | |
| | Courant | 30 | -1,433 | 3,3% | 60,0% | 3,3% | 16,7% | 0,0% | 13,3% | 3,3% | | |
| | Circulation | 18 | -1,167 | 5,6% | 50,0% | 0,0% | 27,8% | 0,0% | 11,1% | 5,6% | | |
| | Courant d'arrachement | 4 | -3 | 0,0% | 100,0% | 0,0% | 0,0% | 0,0% | 0,0% | 0,0% | | |
| | Courant de marée | 1 | -3 | 0,0% | 100,0% | 0,0% | 0,0% | 0,0% | 0,0% | 0,0% | | |
| | Courant transversaux | 1 | -3 | 0,0% | 100,0% | 0,0% | 0,0% | 0,0% | 0,0% | 0,0% | | |
| | Dérive littorale | 6 | -0,667 | 0,0% | 50,0% | 16,7% | 0,0% | 0,0% | 33,3% | 0,0% | | |
| | Jet de rive | 9 | -0,111 | 0,0% | 44,4% | 11,1% | 0,0% | 0,0% | 44,4% | 0,0% | | |
| | Franchissement | 4 | 0,5 | 0,0% | 25,0% | 25,0% | 0,0% | 0,0% | 50,0% | 0,0% | | |
| | Run-up | 5 | -0,6 | 0,0% | 60,0% | 0,0% | 0,0% | 0,0% | 40,0% | 0,0% | | |
| 9 | Brise-lame émergé | Agr | Services écologiques | 90 | -0,433 | 7,8% | 43,3% | 2,2% | 5,6% | 2,2% | 34,4% | 4,4% |
| | Fins alimentaires | 22 | 0,4091 | 0,0% | 40,9% | 0,0% | 4,5% | 4,5% | 45,5% | 4,5% | | |
| | Profil topobathymétrique | 11 | 1,1818 | 0,0% | 27,3% | 0,0% | 0,0% | 9,1% | 63,6% | 0,0% | | |
| | Profil de plage | 4 | -0,5 | 0,0% | 50,0% | 0,0% | 0,0% | 25,0% | 25,0% | 0,0% | | |
| | Système de barres | 5 | 1,8 | 0,0% | 20,0% | 0,0% | 0,0% | 0,0% | 80,0% | 0,0% | | |
| | Variation bathymétrique généralisé | 1 | 3 | 0,0% | 0,0% | 0,0% | 0,0% | 0,0% | 100,0% | 0,0% | | |
| | Variation bathymétrique localisée | 1 | 3 | 0,0% | 0,0% | 0,0% | 0,0% | 0,0% | 100,0% | 0,0% | | |
| | Processus dissipation | 3 | 3 | 0,0% | 0,0% | 0,0% | 0,0% | 0,0% | 100,0% | 0,0% | | |
| | Énergie des vagues | 3 | 3 | 0,0% | 0,0% | 0,0% | 0,0% | 0,0% | 100,0% | 0,0% | | |
| | Biocénose | 7 | -1,429 | 0,0% | 71,4% | 0,0% | 14,3% | 0,0% | 0,0% | 14,3% | | |
| | Biocénose qualitative | 4 | -3 | 0,0% | 100,0% | 0,0% | 0,0% | 0,0% | 0,0% | 0,0% | | |
| | Biocénose quantitative | 3 | 0,6667 | 0,0% | 33,3% | 0,0% | 33,3% | 0,0% | 0,0% | 33,3% | | |

Identification d'ouvrages de protection côtière

Date : 2021-03-19

Cellule hydrosédimentaire :

version :

Groupe_0003

page :

34

| | | | | | | | | | |
|---|----|--------|--------|--------|-------|-------|-------|--------|-------|
| Courant transversaux | 1 | -3 | 0,0% | 100,0% | 0,0% | 0,0% | 0,0% | 0,0% | 0,0% |
| Dérive littorale | 2 | -3 | 0,0% | 100,0% | 0,0% | 0,0% | 0,0% | 0,0% | 0,0% |
| Processus dissipation | 4 | 3 | 0,0% | 0,0% | 0,0% | 0,0% | 0,0% | 100,0% | 0,0% |
| Diffraction | 1 | 3 | 0,0% | 0,0% | 0,0% | 0,0% | 0,0% | 100,0% | 0,0% |
| Énergie des vagues | 3 | 3 | 0,0% | 0,0% | 0,0% | 0,0% | 0,0% | 100,0% | 0,0% |
| Fins récréatives ou de loisirs | 82 | -0,317 | 8,5% | 40,2% | 2,4% | 4,9% | 2,4% | 37,8% | 3,7% |
| Érosion/Accumulation | 36 | 0,3333 | 5,6% | 36,1% | 0,0% | 5,6% | 2,8% | 41,7% | 8,3% |
| Accumulation sédimentaire | 17 | 1,0588 | 5,9% | 23,5% | 0,0% | 5,9% | 0,0% | 58,8% | 5,9% |
| Bilan sédimentaire | 2 | 0 | 0,0% | 50,0% | 0,0% | 0,0% | 0,0% | 50,0% | 0,0% |
| Déplacement du trait de côte | 1 | 3 | 0,0% | 0,0% | 0,0% | 0,0% | 0,0% | 100,0% | 0,0% |
| Érosion | 5 | -3 | 0,0% | 100,0% | 0,0% | 0,0% | 0,0% | 0,0% | 0,0% |
| Largeur de plage | 4 | 0,5 | 0,0% | 50,0% | 0,0% | 0,0% | 0,0% | 25,0% | 25,0% |
| Rétablissement géomorphologique | 2 | 0,5 | 0,0% | 0,0% | 0,0% | 50,0% | 50,0% | 0,0% | 0,0% |
| Rétention sédimentaire | 5 | 0,6 | 20,0% | 20,0% | 0,0% | 0,0% | 0,0% | 40,0% | 20,0% |
| Profil topobathymétrique | 11 | 1,1818 | 0,0% | 27,3% | 0,0% | 0,0% | 9,1% | 63,6% | 0,0% |
| Profil de plage | 4 | -0,5 | 0,0% | 50,0% | 0,0% | 0,0% | 25,0% | 25,0% | 0,0% |
| Système de barres | 5 | 1,8 | 0,0% | 20,0% | 0,0% | 0,0% | 0,0% | 80,0% | 0,0% |
| Variation bathymétrique généralisé | 1 | 3 | 0,0% | 0,0% | 0,0% | 0,0% | 0,0% | 100,0% | 0,0% |
| Variation bathymétrique localisée | 1 | 3 | 0,0% | 0,0% | 0,0% | 0,0% | 0,0% | 100,0% | 0,0% |
| Transport sédimentaire | 12 | -0,333 | 16,7% | 25,0% | 0,0% | 16,7% | 0,0% | 41,7% | 0,0% |
| Transport longitudinal | 3 | 1 | 0,0% | 33,3% | 0,0% | 0,0% | 0,0% | 66,7% | 0,0% |
| Transport sédimentaire général | 7 | -1 | 28,6% | 14,3% | 0,0% | 28,6% | 0,0% | 28,6% | 0,0% |
| Transport transversal | 2 | 0 | 0,0% | 50,0% | 0,0% | 0,0% | 0,0% | 50,0% | 0,0% |
| Caractéristiques des vagues | 1 | -3 | 0,0% | 100,0% | 0,0% | 0,0% | 0,0% | 0,0% | 0,0% |
| Angle des vagues | 1 | -3 | 0,0% | 100,0% | 0,0% | 0,0% | 0,0% | 0,0% | 0,0% |
| Courant | 13 | -2,846 | 7,7% | 76,9% | 15,4% | 0,0% | 0,0% | 0,0% | 0,0% |
| Circulation | 9 | -2,556 | 0,0% | 77,8% | 22,2% | 0,0% | 0,0% | 0,0% | 0,0% |
| Courant d'arrachement | 1 | -5 | 100,0% | 0,0% | 0,0% | 0,0% | 0,0% | 0,0% | 0,0% |
| Courant transversaux | 1 | -3 | 0,0% | 100,0% | 0,0% | 0,0% | 0,0% | 0,0% | 0,0% |
| Dérive littorale | 2 | -3 | 0,0% | 100,0% | 0,0% | 0,0% | 0,0% | 0,0% | 0,0% |
| Pratique de loisirs | 3 | -3,667 | 33,3% | 66,7% | 0,0% | 0,0% | 0,0% | 0,0% | 0,0% |
| Loisirs aquatiques côtiers | 3 | -3,667 | 33,3% | 66,7% | 0,0% | 0,0% | 0,0% | 0,0% | 0,0% |
| Qualité socio-culturelle | 2 | -4 | 50,0% | 50,0% | 0,0% | 0,0% | 0,0% | 0,0% | 0,0% |
| Qualité de vie | 2 | -4 | 50,0% | 50,0% | 0,0% | 0,0% | 0,0% | 0,0% | 0,0% |
| Processus dissipation | 4 | 3 | 0,0% | 0,0% | 0,0% | 0,0% | 0,0% | 100,0% | 0,0% |
| Diffraction | 1 | 3 | 0,0% | 0,0% | 0,0% | 0,0% | 0,0% | 100,0% | 0,0% |
| Énergie des vagues | 3 | 3 | 0,0% | 0,0% | 0,0% | 0,0% | 0,0% | 100,0% | 0,0% |
| Fins patrimoniales, symboliques, sacrée | 75 | -0,36 | 8,0% | 41,3% | 2,7% | 5,3% | 2,7% | 36,0% | 4,0% |
| Érosion/Accumulation | 36 | 0,3333 | 5,6% | 36,1% | 0,0% | 5,6% | 2,8% | 41,7% | 8,3% |
| Accumulation sédimentaire | 17 | 1,0588 | 5,9% | 23,5% | 0,0% | 5,9% | 0,0% | 58,8% | 5,9% |
| Bilan sédimentaire | 2 | 0 | 0,0% | 50,0% | 0,0% | 0,0% | 0,0% | 50,0% | 0,0% |
| Déplacement du trait de côte | 1 | 3 | 0,0% | 0,0% | 0,0% | 0,0% | 0,0% | 100,0% | 0,0% |
| Érosion | 5 | -3 | 0,0% | 100,0% | 0,0% | 0,0% | 0,0% | 0,0% | 0,0% |
| Largeur de plage | 4 | 0,5 | 0,0% | 50,0% | 0,0% | 0,0% | 0,0% | 25,0% | 25,0% |
| Rétablissement géomorphologique | 2 | 0,5 | 0,0% | 0,0% | 0,0% | 50,0% | 50,0% | 0,0% | 0,0% |
| Rétention sédimentaire | 5 | 0,6 | 20,0% | 20,0% | 0,0% | 0,0% | 0,0% | 40,0% | 20,0% |
| Profil topobathymétrique | 11 | 1,1818 | 0,0% | 27,3% | 0,0% | 0,0% | 9,1% | 63,6% | 0,0% |
| Profil de plage | 4 | -0,5 | 0,0% | 50,0% | 0,0% | 0,0% | 25,0% | 25,0% | 0,0% |
| Système de barres | 5 | 1,8 | 0,0% | 20,0% | 0,0% | 0,0% | 0,0% | 80,0% | 0,0% |

Identification d'ouvrages de protection côtière

Date : 2021-03-19

Cellule hydrosédimentaire :

version :

Groupe_0003

page :

35

10 Brise-lame à crête basse

| | | | | | | | | | |
|------------------------------------|-----|--------|--------|--------|-------|-------|------|--------|-------|
| Variation bathymétrique généralisé | 1 | 3 | 0,0% | 0,0% | 0,0% | 0,0% | 0,0% | 100,0% | 0,0% |
| Variation bathymétrique localisée | 1 | 3 | 0,0% | 0,0% | 0,0% | 0,0% | 0,0% | 100,0% | 0,0% |
| Transport sédimentaire | 12 | -0,333 | 16,7% | 25,0% | 0,0% | 16,7% | 0,0% | 41,7% | 0,0% |
| Transport longitudinal | 3 | 1 | 0,0% | 33,3% | 0,0% | 0,0% | 0,0% | 66,7% | 0,0% |
| Transport sédimentaire général | 7 | -1 | 28,6% | 14,3% | 0,0% | 28,6% | 0,0% | 28,6% | 0,0% |
| Transport transversal | 2 | 0 | 0,0% | 50,0% | 0,0% | 0,0% | 0,0% | 50,0% | 0,0% |
| Caractéristiques des vagues | 1 | -3 | 0,0% | 100,0% | 0,0% | 0,0% | 0,0% | 0,0% | 0,0% |
| Angle des vagues | 1 | -3 | 0,0% | 100,0% | 0,0% | 0,0% | 0,0% | 0,0% | 0,0% |
| Courant | 13 | -2,846 | 7,7% | 76,9% | 15,4% | 0,0% | 0,0% | 0,0% | 0,0% |
| Circulation | 9 | -2,556 | 0,0% | 77,8% | 22,2% | 0,0% | 0,0% | 0,0% | 0,0% |
| Courant d'arrachement | 1 | -5 | 100,0% | 0,0% | 0,0% | 0,0% | 0,0% | 0,0% | 0,0% |
| Courant transversaux | 1 | -3 | 0,0% | 100,0% | 0,0% | 0,0% | 0,0% | 0,0% | 0,0% |
| Dérive littorale | 2 | -3 | 0,0% | 100,0% | 0,0% | 0,0% | 0,0% | 0,0% | 0,0% |
| Qualité socio-culturelle | 2 | -4 | 50,0% | 50,0% | 0,0% | 0,0% | 0,0% | 0,0% | 0,0% |
| Qualité de vie | 2 | -4 | 50,0% | 50,0% | 0,0% | 0,0% | 0,0% | 0,0% | 0,0% |
| Agr Services écologiques | 118 | -0,788 | 10,2% | 45,8% | 3,4% | 4,2% | 4,2% | 26,3% | 5,9% |
| Fins alimentaires | 39 | -0,821 | 10,3% | 48,7% | 5,1% | 2,6% | 0,0% | 23,1% | 10,3% |
| Profil topobathymétrique | 11 | -1,545 | 18,2% | 54,5% | 0,0% | 0,0% | 0,0% | 18,2% | 9,1% |
| Profil de plage | 1 | -3 | 0,0% | 100,0% | 0,0% | 0,0% | 0,0% | 0,0% | 0,0% |
| Variation bathymétrique généralisé | 4 | 0 | 25,0% | 25,0% | 0,0% | 0,0% | 0,0% | 25,0% | 25,0% |
| Variation bathymétrique localisée | 6 | -2,333 | 16,7% | 66,7% | 0,0% | 0,0% | 0,0% | 16,7% | 0,0% |
| Sédiments | 3 | -3 | 0,0% | 100,0% | 0,0% | 0,0% | 0,0% | 0,0% | 0,0% |
| Taille granulométrique | 3 | -3 | 0,0% | 100,0% | 0,0% | 0,0% | 0,0% | 0,0% | 0,0% |
| Processus dissipation | 9 | 3 | 0,0% | 11,1% | 0,0% | 0,0% | 0,0% | 55,6% | 33,3% |
| Énergie des vagues | 3 | 3,6667 | 0,0% | 0,0% | 0,0% | 0,0% | 0,0% | 66,7% | 33,3% |
| Hauteur de vagues | 5 | 2,6 | 0,0% | 20,0% | 0,0% | 0,0% | 0,0% | 40,0% | 40,0% |
| Réflexion | 1 | 3 | 0,0% | 0,0% | 0,0% | 0,0% | 0,0% | 100,0% | 0,0% |
| Biocénose | 12 | -1,75 | 8,3% | 58,3% | 8,3% | 8,3% | 0,0% | 16,7% | 0,0% |
| Biocénose qualitative | 10 | -2,7 | 10,0% | 70,0% | 10,0% | 10,0% | 0,0% | 0,0% | 0,0% |
| Biocénose quantitative | 2 | 3 | 0,0% | 0,0% | 0,0% | 0,0% | 0,0% | 100,0% | 0,0% |
| Biotope | 4 | -3 | 25,0% | 50,0% | 25,0% | 0,0% | 0,0% | 0,0% | 0,0% |
| Modification physico-chimique | 2 | -4 | 50,0% | 50,0% | 0,0% | 0,0% | 0,0% | 0,0% | 0,0% |
| Modification structurelle | 2 | -2 | 0,0% | 50,0% | 50,0% | 0,0% | 0,0% | 0,0% | 0,0% |
| Maintenance du cycle de vie | 39 | -0,821 | 10,3% | 48,7% | 5,1% | 2,6% | 0,0% | 23,1% | 10,3% |
| Profil topobathymétrique | 11 | -1,545 | 18,2% | 54,5% | 0,0% | 0,0% | 0,0% | 18,2% | 9,1% |
| Profil de plage | 1 | -3 | 0,0% | 100,0% | 0,0% | 0,0% | 0,0% | 0,0% | 0,0% |
| Variation bathymétrique généralisé | 4 | 0 | 25,0% | 25,0% | 0,0% | 0,0% | 0,0% | 25,0% | 25,0% |
| Variation bathymétrique localisée | 6 | -2,333 | 16,7% | 66,7% | 0,0% | 0,0% | 0,0% | 16,7% | 0,0% |
| Sédiments | 3 | -3 | 0,0% | 100,0% | 0,0% | 0,0% | 0,0% | 0,0% | 0,0% |
| Taille granulométrique | 3 | -3 | 0,0% | 100,0% | 0,0% | 0,0% | 0,0% | 0,0% | 0,0% |
| Processus dissipation | 9 | 3 | 0,0% | 11,1% | 0,0% | 0,0% | 0,0% | 55,6% | 33,3% |
| Énergie des vagues | 3 | 3,6667 | 0,0% | 0,0% | 0,0% | 0,0% | 0,0% | 66,7% | 33,3% |
| Hauteur de vagues | 5 | 2,6 | 0,0% | 20,0% | 0,0% | 0,0% | 0,0% | 40,0% | 40,0% |
| Réflexion | 1 | 3 | 0,0% | 0,0% | 0,0% | 0,0% | 0,0% | 100,0% | 0,0% |
| Biocénose | 12 | -1,75 | 8,3% | 58,3% | 8,3% | 8,3% | 0,0% | 16,7% | 0,0% |
| Biocénose qualitative | 10 | -2,7 | 10,0% | 70,0% | 10,0% | 10,0% | 0,0% | 0,0% | 0,0% |
| Biocénose quantitative | 2 | 3 | 0,0% | 0,0% | 0,0% | 0,0% | 0,0% | 100,0% | 0,0% |
| Biotope | 4 | -3 | 25,0% | 50,0% | 25,0% | 0,0% | 0,0% | 0,0% | 0,0% |
| Modification physico-chimique | 2 | -4 | 50,0% | 50,0% | 0,0% | 0,0% | 0,0% | 0,0% | 0,0% |

Identification d'ouvrages de protection côtière

Date : 2021-03-19

Cellule hydrosédimentaire :

version :

Groupe_0003

page :

36

| | | | | | | | | | |
|---------------------------------------|------------|---------------|--------------|---------------|-------------|--------------|--------------|--------------|--------------|
| Modification structurelle | 2 | -2 | 0,0% | 50,0% | 50,0% | 0,0% | 0,0% | 0,0% | 0,0% |
| Purification de l'eau | 49 | -0,429 | 2,0% | 53,1% | 4,1% | 0,0% | 4,1% | 28,6% | 8,2% |
| Courant | 36 | -1,611 | 2,8% | 69,4% | 5,6% | 0,0% | 2,8% | 16,7% | 2,8% |
| Circulation | 19 | -1,737 | 0,0% | 73,7% | 5,3% | 0,0% | 5,3% | 15,8% | 0,0% |
| Courant d'arrachement | 3 | -3 | 0,0% | 100,0% | 0,0% | 0,0% | 0,0% | 0,0% | 0,0% |
| Courant transversaux | 9 | -0,778 | 11,1% | 44,4% | 11,1% | 0,0% | 0,0% | 22,2% | 11,1% |
| Dérive littorale | 5 | -1,8 | 0,0% | 80,0% | 0,0% | 0,0% | 0,0% | 20,0% | 0,0% |
| Processus dissipation | 13 | 2,8462 | 0,0% | 7,7% | 0,0% | 0,0% | 7,7% | 61,5% | 23,1% |
| Déferlement | 1 | 3 | 0,0% | 0,0% | 0,0% | 0,0% | 0,0% | 100,0% | 0,0% |
| Diffraction | 2 | 2 | 0,0% | 0,0% | 0,0% | 0,0% | 50,0% | 50,0% | 0,0% |
| Énergie des vagues | 3 | 3,6667 | 0,0% | 0,0% | 0,0% | 0,0% | 0,0% | 66,7% | 33,3% |
| Hauteur de vagues | 5 | 2,6 | 0,0% | 20,0% | 0,0% | 0,0% | 0,0% | 40,0% | 40,0% |
| Réflexion | 1 | 3 | 0,0% | 0,0% | 0,0% | 0,0% | 0,0% | 100,0% | 0,0% |
| Transmission | 1 | 3 | 0,0% | 0,0% | 0,0% | 0,0% | 0,0% | 100,0% | 0,0% |
| Protection côtière | 100 | -0,63 | 10,0% | 45,0% | 2,0% | 3,0% | 5,0% | 28,0% | 7,0% |
| Érosion/Accumulation | 26 | 0,3462 | 11,5% | 23,1% | 0,0% | 11,5% | 7,7% | 38,5% | 7,7% |
| Accumulation sédimentaire | 11 | 2 | 0,0% | 18,2% | 0,0% | 9,1% | 0,0% | 54,5% | 18,2% |
| Bilan sédimentaire | 4 | 0 | 0,0% | 25,0% | 0,0% | 50,0% | 0,0% | 25,0% | 0,0% |
| Déplacement du trait de côte | 5 | -1,4 | 20,0% | 40,0% | 0,0% | 0,0% | 20,0% | 20,0% | 0,0% |
| Érosion | 4 | -2,5 | 50,0% | 25,0% | 0,0% | 0,0% | 0,0% | 25,0% | 0,0% |
| Largeur de plage | 1 | 3 | 0,0% | 0,0% | 0,0% | 0,0% | 0,0% | 100,0% | 0,0% |
| Rétention sédimentaire | 1 | 1 | 0,0% | 0,0% | 0,0% | 0,0% | 100,0% | 0,0% | 0,0% |
| Profil topobathymétrique | 11 | -1,545 | 18,2% | 54,5% | 0,0% | 0,0% | 0,0% | 18,2% | 9,1% |
| Profil de plage | 1 | -3 | 0,0% | 100,0% | 0,0% | 0,0% | 0,0% | 0,0% | 0,0% |
| Variation bathymétrique généralisé | 4 | 0 | 25,0% | 25,0% | 0,0% | 0,0% | 0,0% | 25,0% | 25,0% |
| Variation bathymétrique localisée | 6 | -2,333 | 16,7% | 66,7% | 0,0% | 0,0% | 0,0% | 16,7% | 0,0% |
| Transport sédimentaire | 10 | -2,2 | 40,0% | 30,0% | 0,0% | 0,0% | 10,0% | 20,0% | 0,0% |
| Transport longitudinal | 5 | -1,8 | 60,0% | 0,0% | 0,0% | 0,0% | 0,0% | 40,0% | 0,0% |
| Transport sédimentaire général | 2 | -3 | 0,0% | 100,0% | 0,0% | 0,0% | 0,0% | 0,0% | 0,0% |
| Transport transversal | 3 | -2,333 | 33,3% | 33,3% | 0,0% | 0,0% | 33,3% | 0,0% | 0,0% |
| Courant | 36 | -1,611 | 2,8% | 69,4% | 5,6% | 0,0% | 2,8% | 16,7% | 2,8% |
| Circulation | 19 | -1,737 | 0,0% | 73,7% | 5,3% | 0,0% | 5,3% | 15,8% | 0,0% |
| Courant d'arrachement | 3 | -3 | 0,0% | 100,0% | 0,0% | 0,0% | 0,0% | 0,0% | 0,0% |
| Courant transversaux | 9 | -0,778 | 11,1% | 44,4% | 11,1% | 0,0% | 0,0% | 22,2% | 11,1% |
| Dérive littorale | 5 | -1,8 | 0,0% | 80,0% | 0,0% | 0,0% | 0,0% | 20,0% | 0,0% |
| Jet de rive | 1 | -3 | 0,0% | 100,0% | 0,0% | 0,0% | 0,0% | 0,0% | 0,0% |
| Run-up | 1 | -3 | 0,0% | 100,0% | 0,0% | 0,0% | 0,0% | 0,0% | 0,0% |
| Processus dissipation | 13 | 2,8462 | 0,0% | 7,7% | 0,0% | 0,0% | 7,7% | 61,5% | 23,1% |
| Déferlement | 1 | 3 | 0,0% | 0,0% | 0,0% | 0,0% | 0,0% | 100,0% | 0,0% |
| Diffraction | 2 | 2 | 0,0% | 0,0% | 0,0% | 0,0% | 50,0% | 50,0% | 0,0% |
| Énergie des vagues | 3 | 3,6667 | 0,0% | 0,0% | 0,0% | 0,0% | 0,0% | 66,7% | 33,3% |
| Hauteur de vagues | 5 | 2,6 | 0,0% | 20,0% | 0,0% | 0,0% | 0,0% | 40,0% | 40,0% |
| Réflexion | 1 | 3 | 0,0% | 0,0% | 0,0% | 0,0% | 0,0% | 100,0% | 0,0% |
| Transmission | 1 | 3 | 0,0% | 0,0% | 0,0% | 0,0% | 0,0% | 100,0% | 0,0% |
| Sédiments | 3 | -3 | 0,0% | 100,0% | 0,0% | 0,0% | 0,0% | 0,0% | 0,0% |
| Taille granulométrique | 3 | -3 | 0,0% | 100,0% | 0,0% | 0,0% | 0,0% | 0,0% | 0,0% |
| Fins récréatives ou de loisirs | 99 | -0,515 | 10,1% | 42,4% | 2,0% | 4,0% | 5,1% | 29,3% | 7,1% |
| Érosion/Accumulation | 26 | 0,3462 | 11,5% | 23,1% | 0,0% | 11,5% | 7,7% | 38,5% | 7,7% |
| Accumulation sédimentaire | 11 | 2 | 0,0% | 18,2% | 0,0% | 9,1% | 0,0% | 54,5% | 18,2% |

Identification d'ouvrages de protection côtière

Date : 2021-03-19

Cellule hydrosédimentaire :

version :

Groupe_0003

page :

37

| | | | | | | | | | |
|---|----|--------|-------|--------|-------|--------|--------|--------|-------|
| Bilan sédimentaire | 4 | 0 | 0,0% | 25,0% | 0,0% | 50,0% | 0,0% | 25,0% | 0,0% |
| Déplacement du trait de côte | 5 | -1,4 | 20,0% | 40,0% | 0,0% | 0,0% | 20,0% | 20,0% | 0,0% |
| Érosion | 4 | -2,5 | 50,0% | 25,0% | 0,0% | 0,0% | 0,0% | 25,0% | 0,0% |
| Largeur de plage | 1 | 3 | 0,0% | 0,0% | 0,0% | 0,0% | 0,0% | 100,0% | 0,0% |
| Rétention sédimentaire | 1 | 1 | 0,0% | 0,0% | 0,0% | 0,0% | 100,0% | 0,0% | 0,0% |
| Profil topobathymétrique | 11 | -1,545 | 18,2% | 54,5% | 0,0% | 0,0% | 0,0% | 18,2% | 9,1% |
| Profil de plage | 1 | -3 | 0,0% | 100,0% | 0,0% | 0,0% | 0,0% | 0,0% | 0,0% |
| Variation bathymétrique généralisé | 4 | 0 | 25,0% | 25,0% | 0,0% | 0,0% | 0,0% | 25,0% | 25,0% |
| Variation bathymétrique localisée | 6 | -2,333 | 16,7% | 66,7% | 0,0% | 0,0% | 0,0% | 16,7% | 0,0% |
| Transport sédimentaire | 10 | -2,2 | 40,0% | 30,0% | 0,0% | 0,0% | 10,0% | 20,0% | 0,0% |
| Transport longitudinal | 5 | -1,8 | 60,0% | 0,0% | 0,0% | 0,0% | 0,0% | 40,0% | 0,0% |
| Transport sédimentaire général | 2 | -3 | 0,0% | 100,0% | 0,0% | 0,0% | 0,0% | 0,0% | 0,0% |
| Transport transversal | 3 | -2,333 | 33,3% | 33,3% | 0,0% | 0,0% | 33,3% | 0,0% | 0,0% |
| Courant | 36 | -1,611 | 2,8% | 69,4% | 5,6% | 0,0% | 2,8% | 16,7% | 2,8% |
| Circulation | 19 | -1,737 | 0,0% | 73,7% | 5,3% | 0,0% | 5,3% | 15,8% | 0,0% |
| Courant d'arrachement | 3 | -3 | 0,0% | 100,0% | 0,0% | 0,0% | 0,0% | 0,0% | 0,0% |
| Courant transversaux | 9 | -0,778 | 11,1% | 44,4% | 11,1% | 0,0% | 0,0% | 22,2% | 11,1% |
| Dérive littorale | 5 | -1,8 | 0,0% | 80,0% | 0,0% | 0,0% | 0,0% | 20,0% | 0,0% |
| Jet de rive | 1 | -3 | 0,0% | 100,0% | 0,0% | 0,0% | 0,0% | 0,0% | 0,0% |
| Run-up | 1 | -3 | 0,0% | 100,0% | 0,0% | 0,0% | 0,0% | 0,0% | 0,0% |
| Pratique de loisirs | 2 | 1,5 | 0,0% | 0,0% | 0,0% | 50,0% | 0,0% | 50,0% | 0,0% |
| Loisirs aquatiques côtiers | 1 | 0 | 0,0% | 0,0% | 0,0% | 100,0% | 0,0% | 0,0% | 0,0% |
| Loisirs terrestres | 1 | 3 | 0,0% | 0,0% | 0,0% | 0,0% | 0,0% | 100,0% | 0,0% |
| Processus dissipation | 13 | 2,8462 | 0,0% | 7,7% | 0,0% | 0,0% | 7,7% | 61,5% | 23,1% |
| Déferlement | 1 | 3 | 0,0% | 0,0% | 0,0% | 0,0% | 0,0% | 100,0% | 0,0% |
| Diffraction | 2 | 2 | 0,0% | 0,0% | 0,0% | 0,0% | 50,0% | 50,0% | 0,0% |
| Énergie des vagues | 3 | 3,6667 | 0,0% | 0,0% | 0,0% | 0,0% | 0,0% | 66,7% | 33,3% |
| Hauteur de vagues | 5 | 2,6 | 0,0% | 20,0% | 0,0% | 0,0% | 0,0% | 40,0% | 40,0% |
| Réflexion | 1 | 3 | 0,0% | 0,0% | 0,0% | 0,0% | 0,0% | 100,0% | 0,0% |
| Transmission | 1 | 3 | 0,0% | 0,0% | 0,0% | 0,0% | 0,0% | 100,0% | 0,0% |
| Fins patrimoniales, symboliques, sacrée | 84 | -1,083 | 11,9% | 48,8% | 2,4% | 3,6% | 4,8% | 23,8% | 4,8% |
| Érosion/Accumulation | 26 | 0,3462 | 11,5% | 23,1% | 0,0% | 11,5% | 7,7% | 38,5% | 7,7% |
| Accumulation sédimentaire | 11 | 2 | 0,0% | 18,2% | 0,0% | 9,1% | 0,0% | 54,5% | 18,2% |
| Bilan sédimentaire | 4 | 0 | 0,0% | 25,0% | 0,0% | 50,0% | 0,0% | 25,0% | 0,0% |
| Déplacement du trait de côte | 5 | -1,4 | 20,0% | 40,0% | 0,0% | 0,0% | 20,0% | 20,0% | 0,0% |
| Érosion | 4 | -2,5 | 50,0% | 25,0% | 0,0% | 0,0% | 0,0% | 25,0% | 0,0% |
| Largeur de plage | 1 | 3 | 0,0% | 0,0% | 0,0% | 0,0% | 0,0% | 100,0% | 0,0% |
| Rétention sédimentaire | 1 | 1 | 0,0% | 0,0% | 0,0% | 0,0% | 100,0% | 0,0% | 0,0% |
| Profil topobathymétrique | 11 | -1,545 | 18,2% | 54,5% | 0,0% | 0,0% | 0,0% | 18,2% | 9,1% |
| Profil de plage | 1 | -3 | 0,0% | 100,0% | 0,0% | 0,0% | 0,0% | 0,0% | 0,0% |
| Variation bathymétrique généralisé | 4 | 0 | 25,0% | 25,0% | 0,0% | 0,0% | 0,0% | 25,0% | 25,0% |
| Variation bathymétrique localisée | 6 | -2,333 | 16,7% | 66,7% | 0,0% | 0,0% | 0,0% | 16,7% | 0,0% |
| Transport sédimentaire | 10 | -2,2 | 40,0% | 30,0% | 0,0% | 0,0% | 10,0% | 20,0% | 0,0% |
| Transport longitudinal | 5 | -1,8 | 60,0% | 0,0% | 0,0% | 0,0% | 0,0% | 40,0% | 0,0% |
| Transport sédimentaire général | 2 | -3 | 0,0% | 100,0% | 0,0% | 0,0% | 0,0% | 0,0% | 0,0% |
| Transport transversal | 3 | -2,333 | 33,3% | 33,3% | 0,0% | 0,0% | 33,3% | 0,0% | 0,0% |
| Courant | 36 | -1,611 | 2,8% | 69,4% | 5,6% | 0,0% | 2,8% | 16,7% | 2,8% |
| Circulation | 19 | -1,737 | 0,0% | 73,7% | 5,3% | 0,0% | 5,3% | 15,8% | 0,0% |
| Courant d'arrachement | 3 | -3 | 0,0% | 100,0% | 0,0% | 0,0% | 0,0% | 0,0% | 0,0% |

Identification d'ouvrages de protection côtière

Date : 2021-03-19

Cellule hydrosédimentaire :

version :

Groupe_0003

page :

38

11 Épi imperméable

| | | | | | | | | | | |
|-----|------------------------------------|-----|--------|-------|--------|--------|--------|------|--------|--------|
| | Courant transversaux | 9 | -0,778 | 11,1% | 44,4% | 11,1% | 0,0% | 0,0% | 22,2% | 11,1% |
| | Dérive littorale | 5 | -1,8 | 0,0% | 80,0% | 0,0% | 0,0% | 0,0% | 20,0% | 0,0% |
| | Jet de rive | 1 | -3 | 0,0% | 100,0% | 0,0% | 0,0% | 0,0% | 0,0% | 0,0% |
| | Run-up | 1 | -3 | 0,0% | 100,0% | 0,0% | 0,0% | 0,0% | 0,0% | 0,0% |
| Agr | Services écologiques | 122 | -0,836 | 9,8% | 44,3% | 5,7% | 8,2% | 1,6% | 24,6% | 5,7% |
| | Fins alimentaires | 22 | 0,3636 | 4,5% | 22,7% | 18,2% | 18,2% | 0,0% | 18,2% | 18,2% |
| | Profil topobathymétrique | 4 | 1,75 | 0,0% | 25,0% | 0,0% | 25,0% | 0,0% | 0,0% | 50,0% |
| | Profil de plage | 2 | 2,5 | 0,0% | 0,0% | 0,0% | 50,0% | 0,0% | 0,0% | 50,0% |
| | Système de barres | 1 | -3 | 0,0% | 100,0% | 0,0% | 0,0% | 0,0% | 0,0% | 0,0% |
| | Variation bathymétrique généralisé | 1 | 5 | 0,0% | 0,0% | 0,0% | 0,0% | 0,0% | 0,0% | 100,0% |
| | Sédiments | 2 | -4 | 50,0% | 50,0% | 0,0% | 0,0% | 0,0% | 0,0% | 0,0% |
| | Taille granulométrique | 2 | -4 | 50,0% | 50,0% | 0,0% | 0,0% | 0,0% | 0,0% | 0,0% |
| | Processus dissipation | 5 | 1,2 | 0,0% | 0,0% | 40,0% | 20,0% | 0,0% | 20,0% | 20,0% |
| | Énergie des vagues | 1 | 0 | 0,0% | 0,0% | 0,0% | 100,0% | 0,0% | 0,0% | 0,0% |
| | Hauteur de vagues | 2 | 2 | 0,0% | 0,0% | 50,0% | 0,0% | 0,0% | 0,0% | 50,0% |
| | Réflexion | 1 | -1 | 0,0% | 0,0% | 100,0% | 0,0% | 0,0% | 0,0% | 0,0% |
| | Réfraction | 1 | 3 | 0,0% | 0,0% | 0,0% | 0,0% | 0,0% | 100,0% | 0,0% |
| | Biocénose | 10 | -0,2 | 0,0% | 30,0% | 20,0% | 20,0% | 0,0% | 30,0% | 0,0% |
| | Biocénose qualitative | 7 | -1 | 0,0% | 42,9% | 14,3% | 28,6% | 0,0% | 14,3% | 0,0% |
| | Biocénose quantitative | 3 | 1,6667 | 0,0% | 0,0% | 33,3% | 0,0% | 0,0% | 66,7% | 0,0% |
| | Biotope | 1 | 5 | 0,0% | 0,0% | 0,0% | 0,0% | 0,0% | 0,0% | 100,0% |
| | Modification structurelle | 1 | 5 | 0,0% | 0,0% | 0,0% | 0,0% | 0,0% | 0,0% | 100,0% |
| | Maintenance du cycle de vie | 22 | 0,3636 | 4,5% | 22,7% | 18,2% | 18,2% | 0,0% | 18,2% | 18,2% |
| | Profil topobathymétrique | 4 | 1,75 | 0,0% | 25,0% | 0,0% | 25,0% | 0,0% | 0,0% | 50,0% |
| | Profil de plage | 2 | 2,5 | 0,0% | 0,0% | 0,0% | 50,0% | 0,0% | 0,0% | 50,0% |
| | Système de barres | 1 | -3 | 0,0% | 100,0% | 0,0% | 0,0% | 0,0% | 0,0% | 0,0% |
| | Variation bathymétrique généralisé | 1 | 5 | 0,0% | 0,0% | 0,0% | 0,0% | 0,0% | 0,0% | 100,0% |
| | Sédiments | 2 | -4 | 50,0% | 50,0% | 0,0% | 0,0% | 0,0% | 0,0% | 0,0% |
| | Taille granulométrique | 2 | -4 | 50,0% | 50,0% | 0,0% | 0,0% | 0,0% | 0,0% | 0,0% |
| | Processus dissipation | 5 | 1,2 | 0,0% | 0,0% | 40,0% | 20,0% | 0,0% | 20,0% | 20,0% |
| | Énergie des vagues | 1 | 0 | 0,0% | 0,0% | 0,0% | 100,0% | 0,0% | 0,0% | 0,0% |
| | Hauteur de vagues | 2 | 2 | 0,0% | 0,0% | 50,0% | 0,0% | 0,0% | 0,0% | 50,0% |
| | Réflexion | 1 | -1 | 0,0% | 0,0% | 100,0% | 0,0% | 0,0% | 0,0% | 0,0% |
| | Réfraction | 1 | 3 | 0,0% | 0,0% | 0,0% | 0,0% | 0,0% | 100,0% | 0,0% |
| | Biocénose | 10 | -0,2 | 0,0% | 30,0% | 20,0% | 20,0% | 0,0% | 30,0% | 0,0% |
| | Biocénose qualitative | 7 | -1 | 0,0% | 42,9% | 14,3% | 28,6% | 0,0% | 14,3% | 0,0% |
| | Biocénose quantitative | 3 | 1,6667 | 0,0% | 0,0% | 33,3% | 0,0% | 0,0% | 66,7% | 0,0% |
| | Biotope | 1 | 5 | 0,0% | 0,0% | 0,0% | 0,0% | 0,0% | 0,0% | 100,0% |
| | Modification structurelle | 1 | 5 | 0,0% | 0,0% | 0,0% | 0,0% | 0,0% | 0,0% | 100,0% |
| | Purification de l'eau | 51 | -2,078 | 13,7% | 58,8% | 7,8% | 5,9% | 0,0% | 11,8% | 2,0% |
| | Courant | 44 | -2,682 | 15,9% | 68,2% | 4,5% | 4,5% | 0,0% | 6,8% | 0,0% |
| | Circulation | 16 | -3,5 | 25,0% | 75,0% | 0,0% | 0,0% | 0,0% | 0,0% | 0,0% |
| | Courant d'arrachement | 12 | -3 | 16,7% | 66,7% | 16,7% | 0,0% | 0,0% | 0,0% | 0,0% |
| | Courant transversaux | 5 | -1,2 | 0,0% | 60,0% | 0,0% | 20,0% | 0,0% | 20,0% | 0,0% |
| | Dérive littorale | 11 | -1,818 | 9,1% | 63,6% | 0,0% | 9,1% | 0,0% | 18,2% | 0,0% |
| | Processus dissipation | 7 | 1,7143 | 0,0% | 0,0% | 28,6% | 14,3% | 0,0% | 42,9% | 14,3% |
| | Déferlement | 1 | 3 | 0,0% | 0,0% | 0,0% | 0,0% | 0,0% | 100,0% | 0,0% |
| | Diffraction | 1 | 3 | 0,0% | 0,0% | 0,0% | 0,0% | 0,0% | 100,0% | 0,0% |
| | Énergie des vagues | 1 | 0 | 0,0% | 0,0% | 0,0% | 100,0% | 0,0% | 0,0% | 0,0% |

Identification d'ouvrages de protection côtière

Date : 2021-03-19

Cellule hydrosédimentaire :

version :

Groupe_0003

page :

40

| | | | | | | | | | |
|---|-----|--------|-------|--------|--------|--------|-------|--------|--------|
| Transport sédimentaire | 8 | 0 | 0,0% | 50,0% | 0,0% | 0,0% | 0,0% | 50,0% | 0,0% |
| Transport longitudinal | 5 | -0,6 | 0,0% | 60,0% | 0,0% | 0,0% | 0,0% | 40,0% | 0,0% |
| Transport sédimentaire général | 1 | -3 | 0,0% | 100,0% | 0,0% | 0,0% | 0,0% | 0,0% | 0,0% |
| Transport transversal | 2 | 3 | 0,0% | 0,0% | 0,0% | 0,0% | 0,0% | 100,0% | 0,0% |
| Courant | 44 | -2,682 | 15,9% | 68,2% | 4,5% | 4,5% | 0,0% | 6,8% | 0,0% |
| Circulation | 16 | -3,5 | 25,0% | 75,0% | 0,0% | 0,0% | 0,0% | 0,0% | 0,0% |
| Courant d'arrachement | 12 | -3 | 16,7% | 66,7% | 16,7% | 0,0% | 0,0% | 0,0% | 0,0% |
| Courant transversaux | 5 | -1,2 | 0,0% | 60,0% | 0,0% | 20,0% | 0,0% | 20,0% | 0,0% |
| Dérive littorale | 11 | -1,818 | 9,1% | 63,6% | 0,0% | 9,1% | 0,0% | 18,2% | 0,0% |
| Jet de rive | 2 | -3 | 0,0% | 100,0% | 0,0% | 0,0% | 0,0% | 0,0% | 0,0% |
| Run-up | 2 | -3 | 0,0% | 100,0% | 0,0% | 0,0% | 0,0% | 0,0% | 0,0% |
| Pratique de loisirs | 2 | -1 | 50,0% | 0,0% | 0,0% | 0,0% | 0,0% | 50,0% | 0,0% |
| Loisirs aquatiques côtiers | 2 | -1 | 50,0% | 0,0% | 0,0% | 0,0% | 0,0% | 50,0% | 0,0% |
| Processus dissipation | 7 | 1,7143 | 0,0% | 0,0% | 28,6% | 14,3% | 0,0% | 42,9% | 14,3% |
| Déferlement | 1 | 3 | 0,0% | 0,0% | 0,0% | 0,0% | 0,0% | 100,0% | 0,0% |
| Diffraction | 1 | 3 | 0,0% | 0,0% | 0,0% | 0,0% | 0,0% | 100,0% | 0,0% |
| Énergie des vagues | 1 | 0 | 0,0% | 0,0% | 0,0% | 100,0% | 0,0% | 0,0% | 0,0% |
| Hauteur de vagues | 2 | 2 | 0,0% | 0,0% | 50,0% | 0,0% | 0,0% | 0,0% | 50,0% |
| Réflexion | 1 | -1 | 0,0% | 0,0% | 100,0% | 0,0% | 0,0% | 0,0% | 0,0% |
| Réfraction | 1 | 3 | 0,0% | 0,0% | 0,0% | 0,0% | 0,0% | 100,0% | 0,0% |
| Fins patrimoniales, symboliques, sacrée | 100 | -1,07 | 10,0% | 50,0% | 3,0% | 7,0% | 2,0% | 23,0% | 5,0% |
| Érosion/Accumulation | 42 | 0,2381 | 7,1% | 31,0% | 2,4% | 9,5% | 4,8% | 38,1% | 7,1% |
| Accumulation sédimentaire | 2 | 4 | 0,0% | 0,0% | 0,0% | 0,0% | 0,0% | 50,0% | 50,0% |
| Bilan sédimentaire | 1 | 0 | 0,0% | 0,0% | 0,0% | 100,0% | 0,0% | 0,0% | 0,0% |
| Déplacement du trait de côte | 8 | 0,25 | 12,5% | 25,0% | 12,5% | 0,0% | 0,0% | 37,5% | 12,5% |
| Érosion | 3 | -0,333 | 0,0% | 66,7% | 0,0% | 0,0% | 0,0% | 0,0% | 33,3% |
| Largeur de plage | 4 | 1 | 0,0% | 25,0% | 0,0% | 0,0% | 25,0% | 50,0% | 0,0% |
| Rétablissement géomorphologique | 3 | 1,3333 | 0,0% | 0,0% | 0,0% | 33,3% | 33,3% | 33,3% | 0,0% |
| Rétention sédimentaire | 21 | -0,333 | 9,5% | 38,1% | 0,0% | 9,5% | 0,0% | 42,9% | 0,0% |
| Profil topobathymétrique | 4 | 1,75 | 0,0% | 25,0% | 0,0% | 25,0% | 0,0% | 0,0% | 50,0% |
| Profil de plage | 2 | 2,5 | 0,0% | 0,0% | 0,0% | 50,0% | 0,0% | 0,0% | 50,0% |
| Système de barres | 1 | -3 | 0,0% | 100,0% | 0,0% | 0,0% | 0,0% | 0,0% | 0,0% |
| Variation bathymétrique généralisé | 1 | 5 | 0,0% | 0,0% | 0,0% | 0,0% | 0,0% | 0,0% | 100,0% |
| Transport sédimentaire | 8 | 0 | 0,0% | 50,0% | 0,0% | 0,0% | 0,0% | 50,0% | 0,0% |
| Transport longitudinal | 5 | -0,6 | 0,0% | 60,0% | 0,0% | 0,0% | 0,0% | 40,0% | 0,0% |
| Transport sédimentaire général | 1 | -3 | 0,0% | 100,0% | 0,0% | 0,0% | 0,0% | 0,0% | 0,0% |
| Transport transversal | 2 | 3 | 0,0% | 0,0% | 0,0% | 0,0% | 0,0% | 100,0% | 0,0% |
| Courant | 44 | -2,682 | 15,9% | 68,2% | 4,5% | 4,5% | 0,0% | 6,8% | 0,0% |
| Circulation | 16 | -3,5 | 25,0% | 75,0% | 0,0% | 0,0% | 0,0% | 0,0% | 0,0% |
| Courant d'arrachement | 12 | -3 | 16,7% | 66,7% | 16,7% | 0,0% | 0,0% | 0,0% | 0,0% |
| Courant transversaux | 5 | -1,2 | 0,0% | 60,0% | 0,0% | 20,0% | 0,0% | 20,0% | 0,0% |
| Dérive littorale | 11 | -1,818 | 9,1% | 63,6% | 0,0% | 9,1% | 0,0% | 18,2% | 0,0% |
| Jet de rive | 2 | -3 | 0,0% | 100,0% | 0,0% | 0,0% | 0,0% | 0,0% | 0,0% |
| Run-up | 2 | -3 | 0,0% | 100,0% | 0,0% | 0,0% | 0,0% | 0,0% | 0,0% |
| Agr Services écologiques | 168 | -2,589 | 18,5% | 57,7% | 7,1% | 11,3% | 1,2% | 4,2% | 0,0% |
| Fins alimentaires | 89 | -2,652 | 20,2% | 58,4% | 4,5% | 10,1% | 2,2% | 4,5% | 0,0% |
| Profil topobathymétrique | 16 | -1,375 | 6,3% | 50,0% | 6,3% | 12,5% | 12,5% | 12,5% | 0,0% |
| Profil de plage | 8 | -1,875 | 12,5% | 50,0% | 12,5% | 12,5% | 0,0% | 12,5% | 0,0% |
| Système de barres | 4 | 0,25 | 0,0% | 25,0% | 0,0% | 25,0% | 25,0% | 25,0% | 0,0% |

Identification d'ouvrages de protection côtière

Date : 2021-03-19

Cellule hydrosédimentaire :

version :

Groupe_0003

page :

41

| | | | | | | | | | |
|-------------------------------------|-----|--------|-------|--------|-------|-------|-------|-------|------|
| Variation bathymétrique généralisé | 1 | -3 | 0,0% | 100,0% | 0,0% | 0,0% | 0,0% | 0,0% | 0,0% |
| Variation bathymétrique localisée | 3 | -1,667 | 0,0% | 66,7% | 0,0% | 0,0% | 33,3% | 0,0% | 0,0% |
| Sédiments | 5 | -1,8 | 0,0% | 60,0% | 0,0% | 40,0% | 0,0% | 0,0% | 0,0% |
| Taille granulométrique | 5 | -1,8 | 0,0% | 60,0% | 0,0% | 40,0% | 0,0% | 0,0% | 0,0% |
| Processus dissipation | 10 | -3 | 10,0% | 80,0% | 10,0% | 0,0% | 0,0% | 0,0% | 0,0% |
| Réflexion | 10 | -3 | 10,0% | 80,0% | 10,0% | 0,0% | 0,0% | 0,0% | 0,0% |
| Biocénose | 41 | -2,927 | 26,8% | 56,1% | 4,9% | 7,3% | 0,0% | 4,9% | 0,0% |
| Biocénose qualitative | 11 | -2,818 | 27,3% | 45,5% | 9,1% | 18,2% | 0,0% | 0,0% | 0,0% |
| Biocénose quantitative | 30 | -2,967 | 26,7% | 60,0% | 3,3% | 3,3% | 0,0% | 6,7% | 0,0% |
| Biotope | 17 | -3,235 | 29,4% | 58,8% | 0,0% | 11,8% | 0,0% | 0,0% | 0,0% |
| Modification physico-chimique | 5 | -2,8 | 20,0% | 60,0% | 0,0% | 20,0% | 0,0% | 0,0% | 0,0% |
| Modification structurelle | 6 | -3,167 | 33,3% | 50,0% | 0,0% | 16,7% | 0,0% | 0,0% | 0,0% |
| Quantité et qualité de la ressource | 6 | -3,667 | 33,3% | 66,7% | 0,0% | 0,0% | 0,0% | 0,0% | 0,0% |
| Maintenance du cycle de vie | 89 | -2,652 | 20,2% | 58,4% | 4,5% | 10,1% | 2,2% | 4,5% | 0,0% |
| Profil topobathymétrique | 16 | -1,375 | 6,3% | 50,0% | 6,3% | 12,5% | 12,5% | 12,5% | 0,0% |
| Profil de plage | 8 | -1,875 | 12,5% | 50,0% | 12,5% | 12,5% | 0,0% | 12,5% | 0,0% |
| Système de barres | 4 | 0,25 | 0,0% | 25,0% | 0,0% | 25,0% | 25,0% | 25,0% | 0,0% |
| Variation bathymétrique généralisé | 1 | -3 | 0,0% | 100,0% | 0,0% | 0,0% | 0,0% | 0,0% | 0,0% |
| Variation bathymétrique localisée | 3 | -1,667 | 0,0% | 66,7% | 0,0% | 0,0% | 33,3% | 0,0% | 0,0% |
| Sédiments | 5 | -1,8 | 0,0% | 60,0% | 0,0% | 40,0% | 0,0% | 0,0% | 0,0% |
| Taille granulométrique | 5 | -1,8 | 0,0% | 60,0% | 0,0% | 40,0% | 0,0% | 0,0% | 0,0% |
| Processus dissipation | 10 | -3 | 10,0% | 80,0% | 10,0% | 0,0% | 0,0% | 0,0% | 0,0% |
| Réflexion | 10 | -3 | 10,0% | 80,0% | 10,0% | 0,0% | 0,0% | 0,0% | 0,0% |
| Biocénose | 41 | -2,927 | 26,8% | 56,1% | 4,9% | 7,3% | 0,0% | 4,9% | 0,0% |
| Biocénose qualitative | 11 | -2,818 | 27,3% | 45,5% | 9,1% | 18,2% | 0,0% | 0,0% | 0,0% |
| Biocénose quantitative | 30 | -2,967 | 26,7% | 60,0% | 3,3% | 3,3% | 0,0% | 6,7% | 0,0% |
| Biotope | 17 | -3,235 | 29,4% | 58,8% | 0,0% | 11,8% | 0,0% | 0,0% | 0,0% |
| Modification physico-chimique | 5 | -2,8 | 20,0% | 60,0% | 0,0% | 20,0% | 0,0% | 0,0% | 0,0% |
| Modification structurelle | 6 | -3,167 | 33,3% | 50,0% | 0,0% | 16,7% | 0,0% | 0,0% | 0,0% |
| Quantité et qualité de la ressource | 6 | -3,667 | 33,3% | 66,7% | 0,0% | 0,0% | 0,0% | 0,0% | 0,0% |
| Purification de l'eau | 14 | -3,143 | 14,3% | 78,6% | 7,1% | 0,0% | 0,0% | 0,0% | 0,0% |
| Courant | 1 | -3 | 0,0% | 100,0% | 0,0% | 0,0% | 0,0% | 0,0% | 0,0% |
| Dérive littorale | 1 | -3 | 0,0% | 100,0% | 0,0% | 0,0% | 0,0% | 0,0% | 0,0% |
| Processus dissipation | 13 | -3,154 | 15,4% | 76,9% | 7,7% | 0,0% | 0,0% | 0,0% | 0,0% |
| Déferlement | 3 | -3,667 | 33,3% | 66,7% | 0,0% | 0,0% | 0,0% | 0,0% | 0,0% |
| Réflexion | 10 | -3 | 10,0% | 80,0% | 10,0% | 0,0% | 0,0% | 0,0% | 0,0% |
| Protection côtière | 110 | -2,364 | 13,6% | 58,2% | 9,1% | 12,7% | 1,8% | 4,5% | 0,0% |
| Érosion/Accumulation | 55 | -2,418 | 20,0% | 47,3% | 10,9% | 18,2% | 0,0% | 3,6% | 0,0% |
| Accumulation sédimentaire | 5 | -0,4 | 20,0% | 20,0% | 0,0% | 20,0% | 0,0% | 40,0% | 0,0% |
| Bilan sédimentaire | 10 | -2,2 | 20,0% | 30,0% | 30,0% | 20,0% | 0,0% | 0,0% | 0,0% |
| Déplacement du trait de côte | 4 | -1,25 | 25,0% | 0,0% | 0,0% | 75,0% | 0,0% | 0,0% | 0,0% |
| Érosion | 9 | -2,111 | 0,0% | 66,7% | 11,1% | 22,2% | 0,0% | 0,0% | 0,0% |
| Largeur de plage | 20 | -3,5 | 35,0% | 55,0% | 10,0% | 0,0% | 0,0% | 0,0% | 0,0% |
| Rétablissement géomorphologique | 6 | -2 | 0,0% | 66,7% | 0,0% | 33,3% | 0,0% | 0,0% | 0,0% |
| Rétention sédimentaire | 1 | -3 | 0,0% | 100,0% | 0,0% | 0,0% | 0,0% | 0,0% | 0,0% |
| Profil topobathymétrique | 16 | -1,375 | 6,3% | 50,0% | 6,3% | 12,5% | 12,5% | 12,5% | 0,0% |
| Profil de plage | 8 | -1,875 | 12,5% | 50,0% | 12,5% | 12,5% | 0,0% | 12,5% | 0,0% |
| Système de barres | 4 | 0,25 | 0,0% | 25,0% | 0,0% | 25,0% | 25,0% | 25,0% | 0,0% |
| Variation bathymétrique généralisé | 1 | -3 | 0,0% | 100,0% | 0,0% | 0,0% | 0,0% | 0,0% | 0,0% |

Identification d'ouvrages de protection côtière

Date : 2021-03-19

Cellule hydrosédimentaire :

version :

Groupe_0003

page :

42

| | | | | | | | | | |
|---|-----|--------|-------|--------|--------|-------|-------|-------|------|
| Variation bathymétrique localisée | 3 | -1,667 | 0,0% | 66,7% | 0,0% | 0,0% | 33,3% | 0,0% | 0,0% |
| Transport sédimentaire | 11 | -2,636 | 0,0% | 81,8% | 18,2% | 0,0% | 0,0% | 0,0% | 0,0% |
| Transport longitudinal | 6 | -2,667 | 0,0% | 83,3% | 16,7% | 0,0% | 0,0% | 0,0% | 0,0% |
| Transport sédimentaire général | 1 | -1 | 0,0% | 0,0% | 100,0% | 0,0% | 0,0% | 0,0% | 0,0% |
| Transport transversal | 4 | -3 | 0,0% | 100,0% | 0,0% | 0,0% | 0,0% | 0,0% | 0,0% |
| Courant | 1 | -3 | 0,0% | 100,0% | 0,0% | 0,0% | 0,0% | 0,0% | 0,0% |
| Dérive littorale | 1 | -3 | 0,0% | 100,0% | 0,0% | 0,0% | 0,0% | 0,0% | 0,0% |
| Jet de rive | 9 | -2,556 | 11,1% | 77,8% | 0,0% | 0,0% | 0,0% | 11,1% | 0,0% |
| Backwash/Swash | 7 | -2,429 | 14,3% | 71,4% | 0,0% | 0,0% | 0,0% | 14,3% | 0,0% |
| Franchissement | 2 | -3 | 0,0% | 100,0% | 0,0% | 0,0% | 0,0% | 0,0% | 0,0% |
| Processus dissipation | 13 | -3,154 | 15,4% | 76,9% | 7,7% | 0,0% | 0,0% | 0,0% | 0,0% |
| Déferlement | 3 | -3,667 | 33,3% | 66,7% | 0,0% | 0,0% | 0,0% | 0,0% | 0,0% |
| Réflexion | 10 | -3 | 10,0% | 80,0% | 10,0% | 0,0% | 0,0% | 0,0% | 0,0% |
| Sédiments | 5 | -1,8 | 0,0% | 60,0% | 0,0% | 40,0% | 0,0% | 0,0% | 0,0% |
| Taille granulométrique | 5 | -1,8 | 0,0% | 60,0% | 0,0% | 40,0% | 0,0% | 0,0% | 0,0% |
| Fins récréatives ou de loisirs | 105 | -2,39 | 14,3% | 58,1% | 9,5% | 11,4% | 1,9% | 4,8% | 0,0% |
| Érosion/Accumulation | 55 | -2,418 | 20,0% | 47,3% | 10,9% | 18,2% | 0,0% | 3,6% | 0,0% |
| Accumulation sédimentaire | 5 | -0,4 | 20,0% | 20,0% | 0,0% | 20,0% | 0,0% | 40,0% | 0,0% |
| Bilan sédimentaire | 10 | -2,2 | 20,0% | 30,0% | 30,0% | 20,0% | 0,0% | 0,0% | 0,0% |
| Déplacement du trait de côte | 4 | -1,25 | 25,0% | 0,0% | 0,0% | 75,0% | 0,0% | 0,0% | 0,0% |
| Érosion | 9 | -2,111 | 0,0% | 66,7% | 11,1% | 22,2% | 0,0% | 0,0% | 0,0% |
| Largeur de plage | 20 | -3,5 | 35,0% | 55,0% | 10,0% | 0,0% | 0,0% | 0,0% | 0,0% |
| Rétablissement géomorphologique | 6 | -2 | 0,0% | 66,7% | 0,0% | 33,3% | 0,0% | 0,0% | 0,0% |
| Rétention sédimentaire | 1 | -3 | 0,0% | 100,0% | 0,0% | 0,0% | 0,0% | 0,0% | 0,0% |
| Profil topobathymétrique | 16 | -1,375 | 6,3% | 50,0% | 6,3% | 12,5% | 12,5% | 12,5% | 0,0% |
| Profil de plage | 8 | -1,875 | 12,5% | 50,0% | 12,5% | 12,5% | 0,0% | 12,5% | 0,0% |
| Système de barres | 4 | 0,25 | 0,0% | 25,0% | 0,0% | 25,0% | 25,0% | 25,0% | 0,0% |
| Variation bathymétrique généralisé | 1 | -3 | 0,0% | 100,0% | 0,0% | 0,0% | 0,0% | 0,0% | 0,0% |
| Variation bathymétrique localisée | 3 | -1,667 | 0,0% | 66,7% | 0,0% | 0,0% | 33,3% | 0,0% | 0,0% |
| Transport sédimentaire | 11 | -2,636 | 0,0% | 81,8% | 18,2% | 0,0% | 0,0% | 0,0% | 0,0% |
| Transport longitudinal | 6 | -2,667 | 0,0% | 83,3% | 16,7% | 0,0% | 0,0% | 0,0% | 0,0% |
| Transport sédimentaire général | 1 | -1 | 0,0% | 0,0% | 100,0% | 0,0% | 0,0% | 0,0% | 0,0% |
| Transport transversal | 4 | -3 | 0,0% | 100,0% | 0,0% | 0,0% | 0,0% | 0,0% | 0,0% |
| Courant | 1 | -3 | 0,0% | 100,0% | 0,0% | 0,0% | 0,0% | 0,0% | 0,0% |
| Dérive littorale | 1 | -3 | 0,0% | 100,0% | 0,0% | 0,0% | 0,0% | 0,0% | 0,0% |
| Jet de rive | 9 | -2,556 | 11,1% | 77,8% | 0,0% | 0,0% | 0,0% | 11,1% | 0,0% |
| Backwash/Swash | 7 | -2,429 | 14,3% | 71,4% | 0,0% | 0,0% | 0,0% | 14,3% | 0,0% |
| Franchissement | 2 | -3 | 0,0% | 100,0% | 0,0% | 0,0% | 0,0% | 0,0% | 0,0% |
| Processus dissipation | 13 | -3,154 | 15,4% | 76,9% | 7,7% | 0,0% | 0,0% | 0,0% | 0,0% |
| Déferlement | 3 | -3,667 | 33,3% | 66,7% | 0,0% | 0,0% | 0,0% | 0,0% | 0,0% |
| Réflexion | 10 | -3 | 10,0% | 80,0% | 10,0% | 0,0% | 0,0% | 0,0% | 0,0% |
| Fins patrimoniales, symboliques, sacrée | 92 | -2,283 | 14,1% | 55,4% | 9,8% | 13,0% | 2,2% | 5,4% | 0,0% |
| Érosion/Accumulation | 55 | -2,418 | 20,0% | 47,3% | 10,9% | 18,2% | 0,0% | 3,6% | 0,0% |
| Accumulation sédimentaire | 5 | -0,4 | 20,0% | 20,0% | 0,0% | 20,0% | 0,0% | 40,0% | 0,0% |
| Bilan sédimentaire | 10 | -2,2 | 20,0% | 30,0% | 30,0% | 20,0% | 0,0% | 0,0% | 0,0% |
| Déplacement du trait de côte | 4 | -1,25 | 25,0% | 0,0% | 0,0% | 75,0% | 0,0% | 0,0% | 0,0% |
| Érosion | 9 | -2,111 | 0,0% | 66,7% | 11,1% | 22,2% | 0,0% | 0,0% | 0,0% |
| Largeur de plage | 20 | -3,5 | 35,0% | 55,0% | 10,0% | 0,0% | 0,0% | 0,0% | 0,0% |
| Rétablissement géomorphologique | 6 | -2 | 0,0% | 66,7% | 0,0% | 33,3% | 0,0% | 0,0% | 0,0% |

Identification d'ouvrages de protection côtière

Date : 2021-03-19

Cellule hydrosédimentaire :

version :

Groupe_0003

page :

43

13 Enrochement

| | | | | | | | | | |
|-------------------------------------|-----------|---------------|--------------|--------------|-------------|--------------|-------------|-------------|-------------|
| Rétention sédimentaire | 1 | -3 | 0,0% | 100,0% | 0,0% | 0,0% | 0,0% | 0,0% | 0,0% |
| Profil topobathymétrique | 16 | -1,375 | 6,3% | 50,0% | 6,3% | 12,5% | 12,5% | 12,5% | 0,0% |
| Profil de plage | 8 | -1,875 | 12,5% | 50,0% | 12,5% | 12,5% | 0,0% | 12,5% | 0,0% |
| Système de barres | 4 | 0,25 | 0,0% | 25,0% | 0,0% | 25,0% | 25,0% | 25,0% | 0,0% |
| Variation bathymétrique généralisé | 1 | -3 | 0,0% | 100,0% | 0,0% | 0,0% | 0,0% | 0,0% | 0,0% |
| Variation bathymétrique localisée | 3 | -1,667 | 0,0% | 66,7% | 0,0% | 0,0% | 33,3% | 0,0% | 0,0% |
| Transport sédimentaire | 11 | -2,636 | 0,0% | 81,8% | 18,2% | 0,0% | 0,0% | 0,0% | 0,0% |
| Transport longitudinal | 6 | -2,667 | 0,0% | 83,3% | 16,7% | 0,0% | 0,0% | 0,0% | 0,0% |
| Transport sédimentaire général | 1 | -1 | 0,0% | 0,0% | 100,0% | 0,0% | 0,0% | 0,0% | 0,0% |
| Transport transversal | 4 | -3 | 0,0% | 100,0% | 0,0% | 0,0% | 0,0% | 0,0% | 0,0% |
| Courant | 1 | -3 | 0,0% | 100,0% | 0,0% | 0,0% | 0,0% | 0,0% | 0,0% |
| Dérive littorale | 1 | -3 | 0,0% | 100,0% | 0,0% | 0,0% | 0,0% | 0,0% | 0,0% |
| Jet de rive | 9 | -2,556 | 11,1% | 77,8% | 0,0% | 0,0% | 0,0% | 11,1% | 0,0% |
| Backwash/Swash | 7 | -2,429 | 14,3% | 71,4% | 0,0% | 0,0% | 0,0% | 14,3% | 0,0% |
| Franchissement | 2 | -3 | 0,0% | 100,0% | 0,0% | 0,0% | 0,0% | 0,0% | 0,0% |
| Agr Services écologiques | 80 | -3,375 | 36,3% | 53,8% | 2,5% | 5,0% | 0,0% | 2,5% | 0,0% |
| Fins alimentaires | 59 | -3,492 | 40,7% | 50,8% | 3,4% | 1,7% | 0,0% | 3,4% | 0,0% |
| Profil topobathymétrique | 5 | -3,4 | 20,0% | 80,0% | 0,0% | 0,0% | 0,0% | 0,0% | 0,0% |
| Profil de plage | 2 | -3 | 0,0% | 100,0% | 0,0% | 0,0% | 0,0% | 0,0% | 0,0% |
| Système de barres | 1 | -3 | 0,0% | 100,0% | 0,0% | 0,0% | 0,0% | 0,0% | 0,0% |
| Variation bathymétrique généralisé | 1 | -3 | 0,0% | 100,0% | 0,0% | 0,0% | 0,0% | 0,0% | 0,0% |
| Variation bathymétrique localisée | 1 | -5 | 100,0% | 0,0% | 0,0% | 0,0% | 0,0% | 0,0% | 0,0% |
| Sédiments | 2 | -3 | 0,0% | 100,0% | 0,0% | 0,0% | 0,0% | 0,0% | 0,0% |
| Taille granulométrique | 2 | -3 | 0,0% | 100,0% | 0,0% | 0,0% | 0,0% | 0,0% | 0,0% |
| Biocénose | 38 | -3,5 | 42,1% | 47,4% | 5,3% | 2,6% | 0,0% | 2,6% | 0,0% |
| Biocénose qualitative | 16 | -3,688 | 50,0% | 37,5% | 6,3% | 6,3% | 0,0% | 0,0% | 0,0% |
| Biocénose quantitative | 22 | -3,364 | 36,4% | 54,5% | 4,5% | 0,0% | 0,0% | 4,5% | 0,0% |
| Biotope | 14 | -3,571 | 50,0% | 42,9% | 0,0% | 0,0% | 0,0% | 7,1% | 0,0% |
| Modification physico-chimique | 2 | -3 | 0,0% | 100,0% | 0,0% | 0,0% | 0,0% | 0,0% | 0,0% |
| Modification structurelle | 8 | -3,75 | 75,0% | 12,5% | 0,0% | 0,0% | 0,0% | 12,5% | 0,0% |
| Quantité et qualité de la ressource | 4 | -3,5 | 25,0% | 75,0% | 0,0% | 0,0% | 0,0% | 0,0% | 0,0% |
| Maintenance du cycle de vie | 59 | -3,492 | 40,7% | 50,8% | 3,4% | 1,7% | 0,0% | 3,4% | 0,0% |
| Profil topobathymétrique | 5 | -3,4 | 20,0% | 80,0% | 0,0% | 0,0% | 0,0% | 0,0% | 0,0% |
| Profil de plage | 2 | -3 | 0,0% | 100,0% | 0,0% | 0,0% | 0,0% | 0,0% | 0,0% |
| Système de barres | 1 | -3 | 0,0% | 100,0% | 0,0% | 0,0% | 0,0% | 0,0% | 0,0% |
| Variation bathymétrique généralisé | 1 | -3 | 0,0% | 100,0% | 0,0% | 0,0% | 0,0% | 0,0% | 0,0% |
| Variation bathymétrique localisée | 1 | -5 | 100,0% | 0,0% | 0,0% | 0,0% | 0,0% | 0,0% | 0,0% |
| Sédiments | 2 | -3 | 0,0% | 100,0% | 0,0% | 0,0% | 0,0% | 0,0% | 0,0% |
| Taille granulométrique | 2 | -3 | 0,0% | 100,0% | 0,0% | 0,0% | 0,0% | 0,0% | 0,0% |
| Biocénose | 38 | -3,5 | 42,1% | 47,4% | 5,3% | 2,6% | 0,0% | 2,6% | 0,0% |
| Biocénose qualitative | 16 | -3,688 | 50,0% | 37,5% | 6,3% | 6,3% | 0,0% | 0,0% | 0,0% |
| Biocénose quantitative | 22 | -3,364 | 36,4% | 54,5% | 4,5% | 0,0% | 0,0% | 4,5% | 0,0% |
| Biotope | 14 | -3,571 | 50,0% | 42,9% | 0,0% | 0,0% | 0,0% | 7,1% | 0,0% |
| Modification physico-chimique | 2 | -3 | 0,0% | 100,0% | 0,0% | 0,0% | 0,0% | 0,0% | 0,0% |
| Modification structurelle | 8 | -3,75 | 75,0% | 12,5% | 0,0% | 0,0% | 0,0% | 12,5% | 0,0% |
| Quantité et qualité de la ressource | 4 | -3,5 | 25,0% | 75,0% | 0,0% | 0,0% | 0,0% | 0,0% | 0,0% |
| Protection côtière | 28 | -3,107 | 21,4% | 67,9% | 0,0% | 10,7% | 0,0% | 0,0% | 0,0% |
| Érosion/Accumulation | 20 | -3,05 | 25,0% | 60,0% | 0,0% | 15,0% | 0,0% | 0,0% | 0,0% |
| Bilan sédimentaire | 1 | -3 | 0,0% | 100,0% | 0,0% | 0,0% | 0,0% | 0,0% | 0,0% |

Identification d'ouvrages de protection côtière

Date : 2021-03-19

Cellule hydrosédimentaire :

version :

Groupe_0003

page : 44

| | | | | | | | | | |
|---|----|--------|--------|--------|------|-------|------|------|------|
| Érosion | 4 | -2,25 | 0,0% | 75,0% | 0,0% | 25,0% | 0,0% | 0,0% | 0,0% |
| Largeur de plage | 15 | -3,267 | 33,3% | 53,3% | 0,0% | 13,3% | 0,0% | 0,0% | 0,0% |
| Profil topobathymétrique | 5 | -3,4 | 20,0% | 80,0% | 0,0% | 0,0% | 0,0% | 0,0% | 0,0% |
| Profil de plage | 2 | -3 | 0,0% | 100,0% | 0,0% | 0,0% | 0,0% | 0,0% | 0,0% |
| Système de barres | 1 | -3 | 0,0% | 100,0% | 0,0% | 0,0% | 0,0% | 0,0% | 0,0% |
| Variation bathymétrique généralisé | 1 | -3 | 0,0% | 100,0% | 0,0% | 0,0% | 0,0% | 0,0% | 0,0% |
| Variation bathymétrique localisée | 1 | -5 | 100,0% | 0,0% | 0,0% | 0,0% | 0,0% | 0,0% | 0,0% |
| Transport sédimentaire | 1 | -3 | 0,0% | 100,0% | 0,0% | 0,0% | 0,0% | 0,0% | 0,0% |
| Transport transversal | 1 | -3 | 0,0% | 100,0% | 0,0% | 0,0% | 0,0% | 0,0% | 0,0% |
| Sédiments | 2 | -3 | 0,0% | 100,0% | 0,0% | 0,0% | 0,0% | 0,0% | 0,0% |
| Taille granulométrique | 2 | -3 | 0,0% | 100,0% | 0,0% | 0,0% | 0,0% | 0,0% | 0,0% |
| Fins récréatives ou de loisirs | 26 | -3,115 | 23,1% | 65,4% | 0,0% | 11,5% | 0,0% | 0,0% | 0,0% |
| Érosion/Accumulation | 20 | -3,05 | 25,0% | 60,0% | 0,0% | 15,0% | 0,0% | 0,0% | 0,0% |
| Bilan sédimentaire | 1 | -3 | 0,0% | 100,0% | 0,0% | 0,0% | 0,0% | 0,0% | 0,0% |
| Érosion | 4 | -2,25 | 0,0% | 75,0% | 0,0% | 25,0% | 0,0% | 0,0% | 0,0% |
| Largeur de plage | 15 | -3,267 | 33,3% | 53,3% | 0,0% | 13,3% | 0,0% | 0,0% | 0,0% |
| Profil topobathymétrique | 5 | -3,4 | 20,0% | 80,0% | 0,0% | 0,0% | 0,0% | 0,0% | 0,0% |
| Profil de plage | 2 | -3 | 0,0% | 100,0% | 0,0% | 0,0% | 0,0% | 0,0% | 0,0% |
| Système de barres | 1 | -3 | 0,0% | 100,0% | 0,0% | 0,0% | 0,0% | 0,0% | 0,0% |
| Variation bathymétrique généralisé | 1 | -3 | 0,0% | 100,0% | 0,0% | 0,0% | 0,0% | 0,0% | 0,0% |
| Variation bathymétrique localisée | 1 | -5 | 100,0% | 0,0% | 0,0% | 0,0% | 0,0% | 0,0% | 0,0% |
| Transport sédimentaire | 1 | -3 | 0,0% | 100,0% | 0,0% | 0,0% | 0,0% | 0,0% | 0,0% |
| Transport transversal | 1 | -3 | 0,0% | 100,0% | 0,0% | 0,0% | 0,0% | 0,0% | 0,0% |
| Fins patrimoniales, symboliques, sacrée | 26 | -3,115 | 23,1% | 65,4% | 0,0% | 11,5% | 0,0% | 0,0% | 0,0% |
| Érosion/Accumulation | 20 | -3,05 | 25,0% | 60,0% | 0,0% | 15,0% | 0,0% | 0,0% | 0,0% |
| Bilan sédimentaire | 1 | -3 | 0,0% | 100,0% | 0,0% | 0,0% | 0,0% | 0,0% | 0,0% |
| Érosion | 4 | -2,25 | 0,0% | 75,0% | 0,0% | 25,0% | 0,0% | 0,0% | 0,0% |
| Largeur de plage | 15 | -3,267 | 33,3% | 53,3% | 0,0% | 13,3% | 0,0% | 0,0% | 0,0% |
| Profil topobathymétrique | 5 | -3,4 | 20,0% | 80,0% | 0,0% | 0,0% | 0,0% | 0,0% | 0,0% |
| Profil de plage | 2 | -3 | 0,0% | 100,0% | 0,0% | 0,0% | 0,0% | 0,0% | 0,0% |
| Système de barres | 1 | -3 | 0,0% | 100,0% | 0,0% | 0,0% | 0,0% | 0,0% | 0,0% |
| Variation bathymétrique généralisé | 1 | -3 | 0,0% | 100,0% | 0,0% | 0,0% | 0,0% | 0,0% | 0,0% |
| Variation bathymétrique localisée | 1 | -5 | 100,0% | 0,0% | 0,0% | 0,0% | 0,0% | 0,0% | 0,0% |
| Transport sédimentaire | 1 | -3 | 0,0% | 100,0% | 0,0% | 0,0% | 0,0% | 0,0% | 0,0% |
| Transport transversal | 1 | -3 | 0,0% | 100,0% | 0,0% | 0,0% | 0,0% | 0,0% | 0,0% |

Identification d'ouvrages de protection côtière

Date : 2021-03-19

Cellule hydrosédimentaire :

version :

Groupe_0004

page :

45

Sommaire principal

| Caractéristiques environnementales | Évolution côtière | Portrait des services écologiques |
|------------------------------------|--|--|
| type de côte : Flèche littorale | Présence d'artificialité (%) : 0 | Fins alimentaires : 21 |
| type de sol : Sable (0,063 - 2 mm) | Taux de déplacement moyen (m/an) : -1,692 | Maintenance du cycle de vie : 4 |
| marnage : Mesotidal (2 - 4 m) | Hauteur moyenne (m) : 1 | Purification de l'eau : 1 |
| vague : Faible (Hs < 1,0 m) | Sens de la dérive littorale : 180 | Protection côtière : 1 |
| | Apport sédimentaire potentiel (m3/an) : 2024,837 | Fins récréatives ou de loisirs : 18 |
| | | boliques, sacrées, spirituelles ou religieuses : 2 |

Classement des ouvrages de protection côtière (effet géomorphologique global)

| Pos. | OPC | % seuil | Moy | IC | N | -5 | -3 | -1 | 0 | 1 | 3 | 5 |
|------|--------------------------------|---------|--------|-------|-----|-------|-------|-------|-------|-------|-------|-------|
| 1 | Végétalisation | 3 | 2,748 | 0,375 | 119 | 0,0% | 3,4% | 0,8% | 5,0% | 5,9% | 72,3% | 12,6% |
| 2 | Ganivelle | 3 | 2,529 | 0,859 | 17 | 0,0% | 11,8% | 0,0% | 0,0% | 5,9% | 64,7% | 17,6% |
| 3 | Recharge de dune | 3 | 2,25 | 0,859 | 4 | 0,0% | 0,0% | 0,0% | 25,0% | 0,0% | 75,0% | 0,0% |
| 4 | Couches perméables de drainage | 3 | 2,182 | 0,375 | 11 | 0,0% | 9,1% | 0,0% | 9,1% | 0,0% | 81,8% | 0,0% |
| 5 | Recharge d'avant-plage | 3 | 2,032 | 0,697 | 31 | 0,0% | 6,5% | 0,0% | 19,4% | 9,7% | 54,8% | 9,7% |
| 6 | Système vertical de drainage | 1 | 1,833 | 0,859 | 6 | 0,0% | 0,0% | 0,0% | 16,7% | 33,3% | 50,0% | 0,0% |
| 7 | Recharge de plage | 1 | 1,793 | 0,859 | 111 | 0,9% | 6,3% | 0,9% | 25,2% | 10,8% | 43,2% | 12,6% |
| 8 | Système horizontal de drainage | 1 | 1,405 | 0,697 | 42 | 0,0% | 16,7% | 0,0% | 16,7% | 16,7% | 38,1% | 11,9% |
| 9 | Épi perméable | 1 | 1,00 | 0,697 | 36 | 8,3% | 16,7% | 2,8% | 11,1% | 2,8% | 50,0% | 8,3% |
| 10 | Épi imperméable | -3 | 0,043 | 0,697 | 47 | 4,3% | 36,2% | 4,3% | 10,6% | 4,3% | 34,0% | 6,4% |
| 11 | Brise-lame émergé | -3 | -0,125 | 0,375 | 80 | 7,5% | 38,8% | 2,5% | 5,0% | 2,5% | 38,8% | 5,0% |
| 12 | Brise-lame à crête basse | -3 | -0,588 | 0,859 | 51 | 11,8% | 43,1% | 2,0% | 2,0% | 3,9% | 29,4% | 7,8% |
| 13 | Brise-lame submergé | -3 | -0,676 | 0,859 | 68 | 11,8% | 44,1% | 1,5% | 2,9% | 4,4% | 27,9% | 7,4% |
| 14 | Rip-rap | -3 | -1,00 | 0,375 | 7 | 0,0% | 42,9% | 14,3% | 28,6% | 0,0% | 14,3% | 0,0% |
| 15 | Mur de protection | -3 | -2,586 | 0,697 | 58 | 13,8% | 62,1% | 8,6% | 13,8% | 0,0% | 1,7% | 0,0% |
| 16 | Enrochement | -3 | -3,30 | 0,697 | 20 | 30,0% | 60,0% | 0,0% | 10,0% | 0,0% | 0,0% | 0,0% |

Classement des ouvrages de protection côtière (effet écosystémique global)

| Pos. | OPC | % seuil | Moy | IC | N | -5 | -3 | -1 | 0 | 1 | 3 | 5 |
|------|--------------------------------|---------|--------|-------|-----|-------|-------|------|-------|-------|-------|-------|
| 1 | Végétalisation | 3 | 3,10 | 0,899 | 20 | 0,0% | 0,0% | 0,0% | 0,0% | 5,0% | 85,0% | 10,0% |
| 2 | Ganivelle | 3 | 2,579 | 0,922 | 19 | 0,0% | 10,5% | 0,0% | 0,0% | 5,3% | 68,4% | 15,8% |
| 3 | Recharge de dune | 3 | 2,25 | 0,375 | 4 | 0,0% | 0,0% | 0,0% | 25,0% | 0,0% | 75,0% | 0,0% |
| 4 | Épi perméable | 3 | 2,154 | 0,922 | 26 | 3,8% | 7,7% | 3,8% | 7,7% | 0,0% | 61,5% | 15,4% |
| 5 | Recharge d'avant-plage | 3 | 1,903 | 0,937 | 31 | 0,0% | 6,5% | 0,0% | 25,8% | 6,5% | 51,6% | 9,7% |
| 6 | Système horizontal de drainage | 1 | 1,524 | 0,899 | 21 | 0,0% | 9,5% | 0,0% | 23,8% | 19,0% | 38,1% | 9,5% |
| 7 | Recharge de plage | 0 | 1,314 | 0,937 | 118 | 0,8% | 11,9% | 4,2% | 24,6% | 9,3% | 39,8% | 9,3% |
| 8 | Brise-lame émergé | 0 | 0,091 | 0,899 | 11 | 0,0% | 36,4% | 0,0% | 18,2% | 9,1% | 36,4% | 0,0% |
| 9 | Système vertical de drainage | 0 | 0,00 | 0,375 | 5 | 0,0% | 40,0% | 0,0% | 20,0% | 20,0% | 0,0% | 20,0% |
| 10 | Épi imperméable | -3 | -0,02 | 0,922 | 49 | 0,0% | 40,8% | 8,2% | 12,2% | 4,1% | 24,5% | 10,2% |
| 11 | Brise-lame à crête basse | -3 | -0,583 | 0,937 | 48 | 12,5% | 39,6% | 4,2% | 4,2% | 4,2% | 27,1% | 8,3% |
| 12 | Brise-lame submergé | -3 | -0,633 | 0,937 | 49 | 16,3% | 38,8% | 0,0% | 0,0% | 6,1% | 32,7% | 6,1% |
| 13 | Mur de protection | -3 | -2,714 | 0,922 | 49 | 22,4% | 59,2% | 4,1% | 8,2% | 0,0% | 4,1% | 2,0% |
| 14 | Enrochement | -3 | -2,889 | 0,899 | 9 | 11,1% | 77,8% | 0,0% | 11,1% | 0,0% | 0,0% | 0,0% |

Classement des ouvrages de protection côtière (effet social global)

| Pos. | OPC | % seuil | Moy | N | -5 | -3 | -1 | 0 | 1 | 3 | 5 |
|------|--------------------------------|---------|-------|-----|------|-------|------|-------|------|--------|-------|
| 1 | Couches perméables de drainage | 3 | 3 | 1 | 0,0% | 0,0% | 0,0% | 0,0% | 0,0% | 100,0% | 0,0% |
| 2 | Ganivelle | 3 | 2,529 | 17 | 0,0% | 11,8% | 0,0% | 0,0% | 5,9% | 64,7% | 17,6% |
| 3 | Végétalisation | 3 | 2,413 | 138 | 1,4% | 5,8% | 2,2% | 5,1% | 6,5% | 66,7% | 12,3% |
| 4 | Recharge de dune | 3 | 2,25 | 4 | 0,0% | 0,0% | 0,0% | 25,0% | 0,0% | 75,0% | 0,0% |

Identification d'ouvrages de protection côtière

Date : 2021-03-19

Cellule hydrosédimentaire :

version :

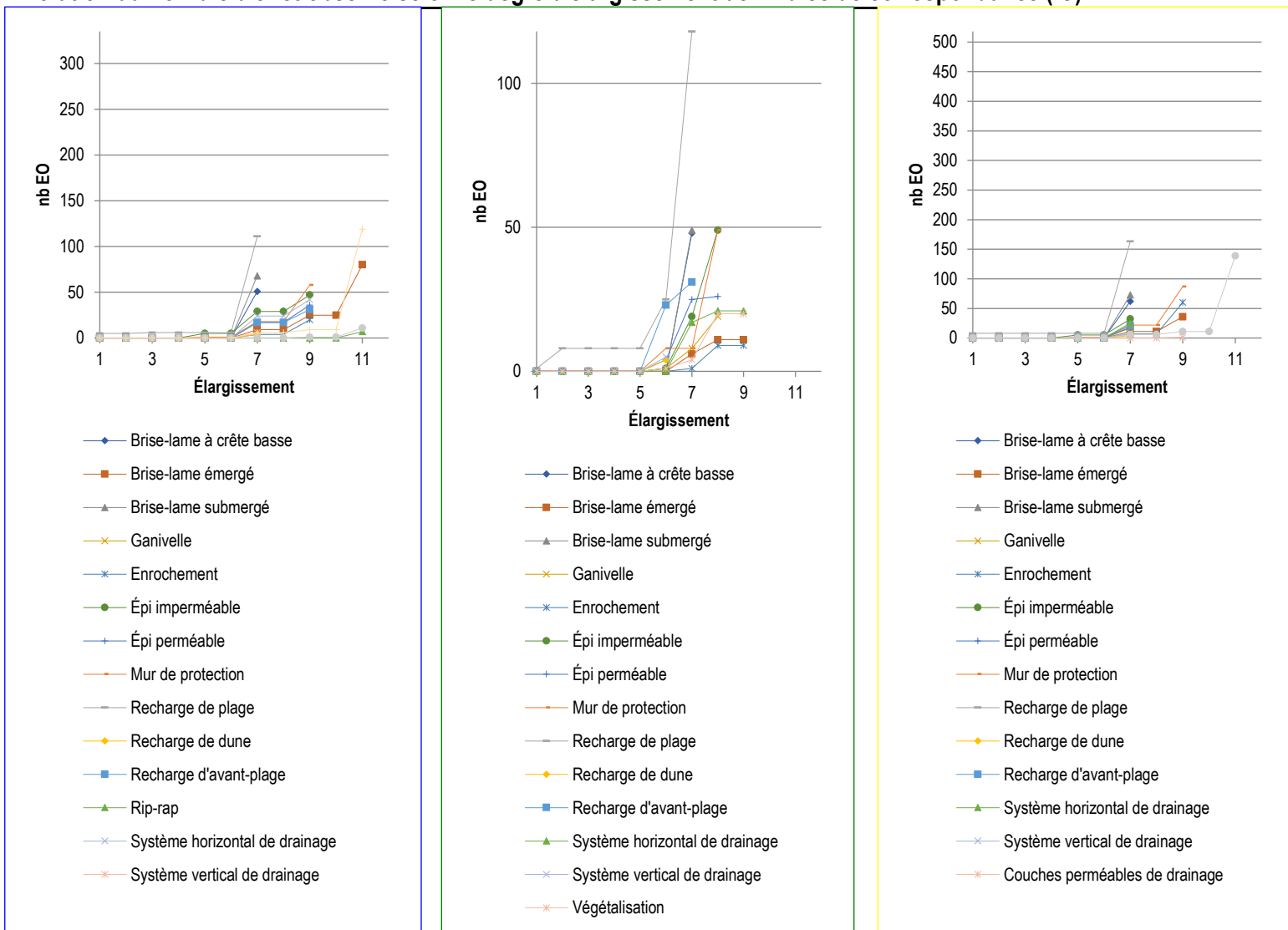
Groupe_0004

page :

46

| | | | | | | | | | | | |
|----|--------------------------------|----|--------|-----|-------|--------------|-------------|--------------|--------------|--------------|-------|
| 5 | Recharge d'avant-plage | 3 | 1,952 | 21 | 0,0% | 4,8% | 0,0% | 19,0% | 14,3% | 57,1% | 4,8% |
| 6 | Épi perméable | 3 | 1,722 | 18 | 5,6% | 11,1% | 5,6% | 5,6% | 0,0% | 61,1% | 11,1% |
| 7 | Système horizontal de drainage | 1 | 1,444 | 18 | 0,0% | 11,1% | 0,0% | 22,2% | 22,2% | 33,3% | 11,1% |
| 8 | Système vertical de drainage | 0 | 1,429 | 7 | 0,0% | 0,0% | 0,0% | 42,9% | 14,3% | 42,9% | 0,0% |
| 9 | Recharge de plage | 0 | 0,63 | 154 | 5,8% | 18,2% | 4,5% | 22,7% | 7,1% | 31,8% | 9,7% |
| 10 | Épi imperméable | -1 | 0,267 | 30 | 0,0% | 36,7% | 6,7% | 13,3% | 6,7% | 23,3% | 13,3% |
| 11 | Brise-lame submergé | -3 | -0,507 | 67 | 11,9% | 40,3% | 1,5% | 4,5% | 4,5% | 29,9% | 7,5% |
| 12 | Brise-lame émergé | -3 | -0,8 | 35 | 8,6% | 45,7% | 2,9% | 8,6% | 2,9% | 28,6% | 2,9% |
| 13 | Brise-lame à crête basse | -3 | -1 | 62 | 12,9% | 46,8% | 3,2% | 3,2% | 3,2% | 24,2% | 6,5% |
| 14 | Mur de protection | -3 | -2,711 | 76 | 14,5% | 65,8% | 5,3% | 13,2% | 0,0% | 1,3% | 0,0% |
| 15 | Enrochement | -3 | -3,389 | 54 | 37,0% | 51,9% | 3,7% | 5,6% | 0,0% | 1,9% | 0,0% |

Évolution du nombre d'effet observé selon le degré d'élargissement de l'indice de correspondance (IC)



Rapport d'analyse

Rapport : Effets géomorphologiques

Brise-lame à crête basse :

- Seuil de 60% atteint à -3 sur l'échelle en étant basé sur 51 effets observés avec un indice de correspondance de .859.
- Présente une moyenne de 1,5 pour le bilan sédimentaire.

Brise-lame émergé :

- Seuil de 60% atteint à -3 sur l'échelle en étant basé sur 80 effets observés avec un indice de correspondance de .375.
- Présente une moyenne de 0,6 pour la rétention sédimentaire et de 0 pour le bilan sédimentaire.

| | |
|----------------------------------|--|
| Brise-lame submergé : | - Seuil de 60% atteint à -3 sur l'échelle en étant basé sur 68 effets observés avec un indice de correspondance de .859. - Présente une moyenne de -2,5 pour le bilan sédimentaire. Une réduction de l'apport sédimentaire aux regroupements adjacents doit être considérée. |
| Seuil : | - Aucun effet n'a été répertorié dans un contexte similaire aux caractéristiques environnementales de ce regroupement. |
| Ganivelle : | - Seuil de 60% atteint à 3 sur l'échelle en étant basé sur 17 effets observés avec un indice de correspondance de .859. - Présente une moyenne de 1 pour la rétention sédimentaire. |
| Digue : | - Aucun effet n'a été répertorié dans un contexte similaire aux caractéristiques environnementales de ce regroupement. |
| Enrochement : | - Seuil de 60% atteint à -3 sur l'échelle en étant basé sur 20 effets observés avec un indice de correspondance de .697. |
| Épi imperméable : | - Seuil de 60% atteint à -3 sur l'échelle en étant basé sur 47 effets observés avec un indice de correspondance de .697. - Présente une moyenne de 0,091 pour la rétention sédimentaire et de 0 pour le bilan sédimentaire. |
| Épi perméable : | - Seuil de 60% atteint à 1 sur l'échelle en étant basé sur 36 effets observés avec un indice de correspondance de .697. - Présente une moyenne de 3,25 pour la rétention sédimentaire et de 3 pour le bilan sédimentaire. |
| Jetée : | - Aucun effet n'a été répertorié dans un contexte similaire aux caractéristiques environnementales de ce regroupement. |
| Génie végétal : | - Aucun effet n'a été répertorié dans un contexte similaire aux caractéristiques environnementales de ce regroupement. |
| Mur de protection : | - Seuil de 60% atteint à -3 sur l'échelle en étant basé sur 58 effets observés avec un indice de correspondance de .697. - Présente une moyenne de -3 pour la rétention sédimentaire et de -1,5 pour le bilan sédimentaire. Une réduction de l'apport sédimentaire aux regroupements adjacents doit être considérée. |
| Recharge de plage : | - Seuil de 60% atteint à 1 sur l'échelle en étant basé sur 111 effets observés avec un indice de correspondance de .859. - Présente une moyenne de 3,083333333333333 pour le bilan sédimentaire. |
| Recharge de dune : | - Seuil de 60% atteint à 3 sur l'échelle en étant basé sur 4 effets observés avec un indice de correspondance de .859. - Présente une moyenne de 3 pour le bilan sédimentaire. |
| Recharge d'avant-plage : | - Seuil de 60% atteint à 3 sur l'échelle en étant basé sur 31 effets observés avec un indice de correspondance de .697. - Présente une moyenne de 1,666666666666667 pour le bilan sédimentaire. |
| Rip-rap : | - Seuil de 60% atteint à -3 sur l'échelle en étant basé sur 7 effets observés avec un indice de correspondance de .375. |
| Système horizontal de drainage : | - Seuil de 60% atteint à 1 sur l'échelle en étant basé sur 42 effets observés avec un indice de correspondance de .697. - Présente une moyenne de 0,666666666666667 pour le bilan sédimentaire. |
| Système vertical de drainage : | - Seuil de 60% atteint à 1 sur l'échelle en étant basé sur 6 effets observés avec un indice de correspondance de .859. - Présente une moyenne de 2,333333333333333 pour le bilan sédimentaire. |
| Couches perméables de drainage : | - Seuil de 60% atteint à 3 sur l'échelle en étant basé sur 11 effets observés avec un indice de correspondance de .375. |
| Végétalisation : | - Seuil de 60% atteint à 3 sur l'échelle en étant basé sur 119 effets observés avec un indice de correspondance de .375. - Présente une moyenne de 3 pour la rétention sédimentaire et de 3 pour le bilan sédimentaire. |

Rapport : Effets écosystémiques

| | |
|----------------------------|---|
| Brise-lame à crête basse : | - Attention, élargissement de l'indice de correspondance élevé. - Seuil de 60% atteint à -3 sur l'échelle en étant basé sur 48 effets observés avec un indice de correspondance de .937. |
| Brise-lame émergé : | - Attention, élargissement de l'indice de correspondance élevé. - Seuil de 60% atteint à 0 sur l'échelle en étant basé sur 11 effets observés avec un indice de correspondance de .899. |
| Brise-lame submergé : | - Attention, élargissement de l'indice de correspondance élevé. - Seuil de 60% atteint à -3 sur l'échelle en étant basé sur 49 effets observés avec un indice de correspondance de .937. |
| Ganivelle : | - Attention, élargissement de l'indice de correspondance élevé. - Seuil de 60% atteint à 3 sur l'échelle en étant basé sur 19 effets observés avec un indice de correspondance de .922. |
| Enrochement : | - Attention, élargissement de l'indice de correspondance élevé. - Seuil de 60% atteint à -3 sur l'échelle en étant basé sur 9 effets observés avec un indice de correspondance de .899. |
| Épi imperméable : | - Attention, élargissement de l'indice de correspondance élevé. - Seuil de 60% atteint à -3 sur l'échelle en étant basé sur 49 effets observés avec un indice de correspondance de .922. |
| Épi perméable : | - Attention, élargissement de l'indice de correspondance élevé. - Seuil de 60% atteint à 3 sur l'échelle en étant basé sur 26 effets observés avec un indice de correspondance de .922. |
| Mur de protection : | - Attention, élargissement de l'indice de correspondance élevé. - Seuil de 60% atteint à -3 sur l'échelle en étant basé sur 49 effets observés avec un indice de correspondance de .922. |
| Recharge de plage : | - Attention, élargissement de l'indice de correspondance élevé. |

Identification d'ouvrages de protection côtière

Date : 2021-03-19

Cellule hydrosédimentaire :

version :

Groupe_0004

page :

48

- Seuil de 60% atteint à 0 sur l'échelle en étant basé sur 118 effets observés avec un indice de correspondance de .937.

- Seuil de 60% atteint à 3 sur l'échelle en étant basé sur 4 effets observés avec un indice de correspondance de .375.

Recharge d'avant-plage :

- Attention, élargissement de l'indice de correspondance élevé.

- Seuil de 60% atteint à 3 sur l'échelle en étant basé sur 31 effets observés avec un indice de correspondance de .937.

Système horizontal de drainage :

- Attention, élargissement de l'indice de correspondance élevé.

- Seuil de 60% atteint à 1 sur l'échelle en étant basé sur 21 effets observés avec un indice de correspondance de .899.

- Seuil de 60% atteint à 0 sur l'échelle en étant basé sur 5 effets observés avec un indice de correspondance de .375.

Végétalisation :

- Attention, élargissement de l'indice de correspondance élevé.

- Seuil de 60% atteint à 3 sur l'échelle en étant basé sur 20 effets observés avec un indice de correspondance de .899.

Rapport : Effets sociaux

Résultats détaillés

| Pos. | OPC | Niv. | Observé (effet géomorphologique) | N | Moy | -5 | -3 | -1 | 0 | 1 | 3 | 5 | |
|------|--------------------------|------------------|----------------------------------|------------------|--------|--------|-------|-------|-------|-------|--------|-------|-------|
| 1 | Végétalisation | Agr | Géomorphologique | 119 | 2,7479 | 0,0% | 3,4% | 0,8% | 5,0% | 5,9% | 72,3% | 12,6% | |
| | | EDir | Géomorphologique | 51 | 2,7059 | 0,0% | 2,0% | 0,0% | 5,9% | 9,8% | 72,5% | 9,8% | |
| | | | Érosion/Accumulation | 51 | 2,7059 | 0,0% | 2,0% | 0,0% | 5,9% | 9,8% | 72,5% | 9,8% | |
| | | | Accumulation sédimentaire | 19 | 2,8421 | 0,0% | 0,0% | 0,0% | 5,3% | 10,5% | 73,7% | 10,5% | |
| | | | Bilan sédimentaire | 2 | 3 | 0,0% | 0,0% | 0,0% | 0,0% | 0,0% | 100,0% | 0,0% | |
| | | | Érosion | 25 | 2,52 | 0,0% | 4,0% | 0,0% | 8,0% | 12,0% | 64,0% | 12,0% | |
| | | | Hauteur de plage | 1 | 3 | 0,0% | 0,0% | 0,0% | 0,0% | 0,0% | 100,0% | 0,0% | |
| | | | Largeur de plage | 1 | 3 | 0,0% | 0,0% | 0,0% | 0,0% | 0,0% | 100,0% | 0,0% | |
| | | | Rétablissement géomorphologique | 2 | 3 | 0,0% | 0,0% | 0,0% | 0,0% | 0,0% | 100,0% | 0,0% | |
| | | | Rétention sédimentaire | 1 | 3 | 0,0% | 0,0% | 0,0% | 0,0% | 0,0% | 100,0% | 0,0% | |
| | | | CDir | Géomorphologique | 37 | 3,0811 | 0,0% | 2,7% | 0,0% | 2,7% | 5,4% | 67,6% | 21,6% |
| | | | Transport sédimentaire | 6 | 2 | 0,0% | 16,7% | 0,0% | 0,0% | 0,0% | 83,3% | 0,0% | |
| | | | Transport sédimentaire général | 4 | 3 | 0,0% | 0,0% | 0,0% | 0,0% | 0,0% | 100,0% | 0,0% | |
| | | | Transport transversal | 2 | 0 | 0,0% | 50,0% | 0,0% | 0,0% | 0,0% | 50,0% | 0,0% | |
| | | | Jet de rive | 17 | 2,7647 | 0,0% | 0,0% | 0,0% | 11,8% | 0,0% | 82,4% | 5,9% | |
| | | | Backwash/Swash | 3 | 3 | 0,0% | 0,0% | 0,0% | 0,0% | 0,0% | 100,0% | 0,0% | |
| | | | Franchissement | 10 | 2,4 | 0,0% | 0,0% | 0,0% | 20,0% | 0,0% | 80,0% | 0,0% | |
| | | | Run-up | 4 | 3,5 | 0,0% | 0,0% | 0,0% | 0,0% | 0,0% | 75,0% | 25,0% | |
| | | | Processus dissipation | 37 | 3,0811 | 0,0% | 2,7% | 0,0% | 2,7% | 5,4% | 67,6% | 21,6% | |
| | | | Énergie des vagues | 28 | 2,9643 | 0,0% | 3,6% | 0,0% | 3,6% | 7,1% | 64,3% | 21,4% | |
| | Hauteur de vagues | 9 | 3,4444 | 0,0% | 0,0% | 0,0% | 0,0% | 0,0% | 77,8% | 22,2% | | | |
| 1 | Ganivelle | CInd | Géomorphologique | 7 | 1,8571 | 0,0% | 14,3% | 14,3% | 0,0% | 0,0% | 57,1% | 14,3% | |
| | | | Profil topobathymétrique | 1 | 3 | 0,0% | 0,0% | 0,0% | 0,0% | 0,0% | 100,0% | 0,0% | |
| | | | Profil de plage | 1 | 3 | 0,0% | 0,0% | 0,0% | 0,0% | 0,0% | 100,0% | 0,0% | |
| | | | Courant | 7 | 1,8571 | 0,0% | 14,3% | 14,3% | 0,0% | 0,0% | 57,1% | 14,3% | |
| | | | Circulation | 6 | 1,6667 | 0,0% | 16,7% | 16,7% | 0,0% | 0,0% | 50,0% | 16,7% | |
| | | | Courant transversaux | 1 | 3 | 0,0% | 0,0% | 0,0% | 0,0% | 0,0% | 100,0% | 0,0% | |
| | | | Agr | Géomorphologique | 17 | 2,5294 | 0,0% | 11,8% | 0,0% | 0,0% | 5,9% | 64,7% | 17,6% |
| | | | EDir | Géomorphologique | 15 | 2,8667 | 0,0% | 6,7% | 0,0% | 0,0% | 6,7% | 66,7% | 20,0% |
| | | | Érosion/Accumulation | 15 | 2,8667 | 0,0% | 6,7% | 0,0% | 0,0% | 6,7% | 66,7% | 20,0% | |
| | | | Accumulation sédimentaire | 10 | 3,2 | 0,0% | 0,0% | 0,0% | 0,0% | 10,0% | 70,0% | 20,0% | |
| | Largeur de plage | 2 | 4 | 0,0% | 0,0% | 0,0% | 0,0% | 0,0% | 50,0% | 50,0% | | | |
| | Rétention sédimentaire | 3 | 1 | 0,0% | 33,3% | 0,0% | 0,0% | 0,0% | 66,7% | 0,0% | | | |
| | CInd | Géomorphologique | 2 | 0 | 0,0% | 50,0% | 0,0% | 0,0% | 0,0% | 50,0% | 0,0% | | |
| | Profil topobathymétrique | 2 | 0 | 0,0% | 50,0% | 0,0% | 0,0% | 0,0% | 50,0% | 0,0% | | | |
| | Topographie | 2 | 0 | 0,0% | 50,0% | 0,0% | 0,0% | 0,0% | 50,0% | 0,0% | | | |

Identification d'ouvrages de protection côtière

Date : 2021-03-19

Cellule hydrosédimentaire :

version :

Groupe_0004

page :

49

| | | | | | | | | | | | | | | |
|------|---------------------------------|------|------------------------------------|------|------------------|------|--------|------|--------|--------|--------|-------|-------|-------|
| 3 | Recharge de dune | Agr | Géomorphologique | 4 | 2,25 | 0,0% | 0,0% | 0,0% | 25,0% | 0,0% | 75,0% | 0,0% | | |
| | | EDir | Géomorphologique | 2 | 1,5 | 0,0% | 0,0% | 0,0% | 50,0% | 0,0% | 50,0% | 0,0% | | |
| | | | Érosion/Accumulation | 2 | 1,5 | 0,0% | 0,0% | 0,0% | 50,0% | 0,0% | 50,0% | 0,0% | | |
| | | | Bilan sédimentaire | 1 | 3 | 0,0% | 0,0% | 0,0% | 0,0% | 0,0% | 100,0% | 0,0% | | |
| | | | Érosion | 1 | 0 | 0,0% | 0,0% | 0,0% | 100,0% | 0,0% | 0,0% | 0,0% | | |
| | | CInd | Géomorphologique | 2 | 3 | 0,0% | 0,0% | 0,0% | 0,0% | 0,0% | 100,0% | 0,0% | | |
| | | | Profil topobathymétrique | 2 | 3 | 0,0% | 0,0% | 0,0% | 0,0% | 0,0% | 100,0% | 0,0% | | |
| | | | Profil de plage | 2 | 3 | 0,0% | 0,0% | 0,0% | 0,0% | 0,0% | 100,0% | 0,0% | | |
| | | 4 | Couches perméables de drainage | Agr | Géomorphologique | 11 | 2,1818 | 0,0% | 9,1% | 0,0% | 9,1% | 0,0% | 81,8% | 0,0% |
| | | | | EDir | Géomorphologique | 6 | 2,5 | 0,0% | 0,0% | 0,0% | 16,7% | 0,0% | 83,3% | 0,0% |
| | Érosion/Accumulation | | | 6 | 2,5 | 0,0% | 0,0% | 0,0% | 16,7% | 0,0% | 83,3% | 0,0% | | |
| | Accumulation sédimentaire | | | 3 | 3 | 0,0% | 0,0% | 0,0% | 0,0% | 0,0% | 100,0% | 0,0% | | |
| | Érosion | | | 1 | 0 | 0,0% | 0,0% | 0,0% | 100,0% | 0,0% | 0,0% | 0,0% | | |
| | Hauteur de plage | | | 1 | 3 | 0,0% | 0,0% | 0,0% | 0,0% | 0,0% | 100,0% | 0,0% | | |
| | Rétablissement géomorphologique | | | 1 | 3 | 0,0% | 0,0% | 0,0% | 0,0% | 0,0% | 100,0% | 0,0% | | |
| CDir | Géomorphologique | | | 2 | 3 | 0,0% | 0,0% | 0,0% | 0,0% | 0,0% | 100,0% | 0,0% | | |
| | Transport sédimentaire | | | 2 | 0 | 0,0% | 50,0% | 0,0% | 0,0% | 0,0% | 50,0% | 0,0% | | |
| | Transport transversal | | | 2 | 0 | 0,0% | 50,0% | 0,0% | 0,0% | 0,0% | 50,0% | 0,0% | | |
| | Eaux souterraines | | | 1 | 3 | 0,0% | 0,0% | 0,0% | 0,0% | 0,0% | 100,0% | 0,0% | | |
| | Niveau de la nappe | | | 1 | 3 | 0,0% | 0,0% | 0,0% | 0,0% | 0,0% | 100,0% | 0,0% | | |
| | Jet de rive | | | 2 | 3 | 0,0% | 0,0% | 0,0% | 0,0% | 0,0% | 100,0% | 0,0% | | |
| | Backwash/Swash | | | 2 | 3 | 0,0% | 0,0% | 0,0% | 0,0% | 0,0% | 100,0% | 0,0% | | |
| 5 | Recharge d'avant-plage | | | Agr | Géomorphologique | 31 | 2,0323 | 0,0% | 6,5% | 0,0% | 19,4% | 9,7% | 54,8% | 9,7% |
| | | | | EDir | Géomorphologique | 22 | 2,5455 | 0,0% | 0,0% | 0,0% | 18,2% | 9,1% | 59,1% | 13,6% |
| | | | Érosion/Accumulation | 22 | 2,5455 | 0,0% | 0,0% | 0,0% | 18,2% | 9,1% | 59,1% | 13,6% | | |
| | | | Accumulation sédimentaire | 9 | 3,2222 | 0,0% | 0,0% | 0,0% | 0,0% | 11,1% | 66,7% | 22,2% | | |
| | | | Bilan sédimentaire | 6 | 1,6667 | 0,0% | 0,0% | 0,0% | 33,3% | 16,7% | 50,0% | 0,0% | | |
| | | | Déplacement du trait de côte | 4 | 1,5 | 0,0% | 0,0% | 0,0% | 50,0% | 0,0% | 50,0% | 0,0% | | |
| | | | Largeur de plage | 3 | 3,6667 | 0,0% | 0,0% | 0,0% | 0,0% | 0,0% | 66,7% | 33,3% | | |
| | | CDir | Géomorphologique | 2 | 3 | 0,0% | 0,0% | 0,0% | 0,0% | 0,0% | 100,0% | 0,0% | | |
| | | | Transport sédimentaire | 1 | 3 | 0,0% | 0,0% | 0,0% | 0,0% | 0,0% | 100,0% | 0,0% | | |
| | | | Transport longitudinal | 1 | 3 | 0,0% | 0,0% | 0,0% | 0,0% | 0,0% | 100,0% | 0,0% | | |
| | | | Processus dissipation | 2 | 3 | 0,0% | 0,0% | 0,0% | 0,0% | 0,0% | 100,0% | 0,0% | | |
| | | | Déferlement | 2 | 3 | 0,0% | 0,0% | 0,0% | 0,0% | 0,0% | 100,0% | 0,0% | | |
| | | CInd | Géomorphologique | 6 | -0,333 | 0,0% | 33,3% | 0,0% | 33,3% | 16,7% | 16,7% | 0,0% | | |
| | | | Profil topobathymétrique | 6 | -0,333 | 0,0% | 33,3% | 0,0% | 33,3% | 16,7% | 16,7% | 0,0% | | |
| | | | Profil de plage | 3 | -0,667 | 0,0% | 33,3% | 0,0% | 33,3% | 33,3% | 0,0% | 0,0% | | |
| | | | Système de barres | 2 | 1,5 | 0,0% | 0,0% | 0,0% | 50,0% | 0,0% | 50,0% | 0,0% | | |
| | | | Variation bathymétrique généralisé | 1 | -3 | 0,0% | 100,0% | 0,0% | 0,0% | 0,0% | 0,0% | 0,0% | | |
| | | 6 | Système vertical de drainage | Agr | Géomorphologique | 6 | 1,8333 | 0,0% | 0,0% | 0,0% | 16,7% | 33,3% | 50,0% | 0,0% |
| EDir | Géomorphologique | | | 6 | 1,8333 | 0,0% | 0,0% | 0,0% | 16,7% | 33,3% | 50,0% | 0,0% | | |
| | Érosion/Accumulation | | | 6 | 1,8333 | 0,0% | 0,0% | 0,0% | 16,7% | 33,3% | 50,0% | 0,0% | | |
| | Bilan sédimentaire | | | 3 | 2,3333 | 0,0% | 0,0% | 0,0% | 0,0% | 33,3% | 66,7% | 0,0% | | |
| | Déplacement du trait de côte | | | 1 | 3 | 0,0% | 0,0% | 0,0% | 0,0% | 0,0% | 100,0% | 0,0% | | |
| | Érosion | | | 1 | 0 | 0,0% | 0,0% | 0,0% | 100,0% | 0,0% | 0,0% | 0,0% | | |
| | Hauteur de plage | | | 1 | 1 | 0,0% | 0,0% | 0,0% | 0,0% | 100,0% | 0,0% | 0,0% | | |
| 7 | Recharge de plage | | | Agr | Géomorphologique | 111 | 1,7928 | 0,9% | 6,3% | 0,9% | 25,2% | 10,8% | 43,2% | 12,6% |
| | | EDir | Géomorphologique | 67 | 2,5224 | 0,0% | 0,0% | 0,0% | 20,9% | 11,9% | 47,8% | 19,4% | | |
| | | | Érosion/Accumulation | 67 | 2,5224 | 0,0% | 0,0% | 0,0% | 20,9% | 11,9% | 47,8% | 19,4% | | |

Identification d'ouvrages de protection côtière

Date : 2021-03-19

Cellule hydrosédimentaire :

version :

Groupe_0004

page :

51

10 Épi imperméable

| | | | | | | | | | | |
|------|------------------------------------|----|--------|-------|--------|-------|--------|--------|--------|--------|
| | Bilan sédimentaire | 1 | 3 | 0,0% | 0,0% | 0,0% | 0,0% | 0,0% | 100,0% | 0,0% |
| | Déplacement du trait de côte | 1 | 0 | 0,0% | 0,0% | 0,0% | 100,0% | 0,0% | 0,0% | 0,0% |
| | Érosion | 3 | -2 | 0,0% | 66,7% | 0,0% | 33,3% | 0,0% | 0,0% | 0,0% |
| | Hauteur de plage | 2 | -2,5 | 50,0% | 0,0% | 0,0% | 50,0% | 0,0% | 0,0% | 0,0% |
| | Largeur de plage | 1 | 5 | 0,0% | 0,0% | 0,0% | 0,0% | 0,0% | 0,0% | 100,0% |
| | Rétablissement géomorphologique | 1 | 0 | 0,0% | 0,0% | 0,0% | 100,0% | 0,0% | 0,0% | 0,0% |
| | Rétention sédimentaire | 8 | 3,25 | 0,0% | 0,0% | 0,0% | 0,0% | 12,5% | 62,5% | 25,0% |
| CDir | Géomorphologique | 2 | 3 | 0,0% | 0,0% | 0,0% | 0,0% | 0,0% | 100,0% | 0,0% |
| | Transport sédimentaire | 3 | 3 | 0,0% | 0,0% | 0,0% | 0,0% | 0,0% | 100,0% | 0,0% |
| | Transport longitudinal | 3 | 3 | 0,0% | 0,0% | 0,0% | 0,0% | 0,0% | 100,0% | 0,0% |
| | Processus dissipation | 2 | 3 | 0,0% | 0,0% | 0,0% | 0,0% | 0,0% | 100,0% | 0,0% |
| | Déferlement | 1 | 3 | 0,0% | 0,0% | 0,0% | 0,0% | 0,0% | 100,0% | 0,0% |
| | Énergie des vagues | 1 | 3 | 0,0% | 0,0% | 0,0% | 0,0% | 0,0% | 100,0% | 0,0% |
| CInd | Géomorphologique | 1 | 3 | 0,0% | 0,0% | 0,0% | 0,0% | 0,0% | 100,0% | 0,0% |
| | Profil topobathymétrique | 3 | 1,6667 | 0,0% | 0,0% | 33,3% | 0,0% | 0,0% | 66,7% | 0,0% |
| | Système de barres | 2 | 1 | 0,0% | 0,0% | 50,0% | 0,0% | 0,0% | 50,0% | 0,0% |
| | Variation bathymétrique généralisé | 1 | 3 | 0,0% | 0,0% | 0,0% | 0,0% | 0,0% | 100,0% | 0,0% |
| | Courant | 7 | -0,714 | 14,3% | 42,9% | 0,0% | 0,0% | 0,0% | 42,9% | 0,0% |
| | Circulation | 1 | -3 | 0,0% | 100,0% | 0,0% | 0,0% | 0,0% | 0,0% | 0,0% |
| | Courant d'arrachement | 2 | -4 | 50,0% | 50,0% | 0,0% | 0,0% | 0,0% | 0,0% | 0,0% |
| | Courant transversaux | 3 | 1 | 0,0% | 33,3% | 0,0% | 0,0% | 0,0% | 66,7% | 0,0% |
| | Dérive littorale | 1 | 3 | 0,0% | 0,0% | 0,0% | 0,0% | 0,0% | 100,0% | 0,0% |
| | Processus dissipation | 1 | 3 | 0,0% | 0,0% | 0,0% | 0,0% | 0,0% | 100,0% | 0,0% |
| | Réfraction | 1 | 3 | 0,0% | 0,0% | 0,0% | 0,0% | 0,0% | 100,0% | 0,0% |
| Agr | Géomorphologique | 47 | 0,0426 | 4,3% | 36,2% | 4,3% | 10,6% | 4,3% | 34,0% | 6,4% |
| EDir | Géomorphologique | 32 | 0,2813 | 6,3% | 31,3% | 3,1% | 9,4% | 6,3% | 34,4% | 9,4% |
| | Érosion/Accumulation | 32 | 0,2813 | 6,3% | 31,3% | 3,1% | 9,4% | 6,3% | 34,4% | 9,4% |
| | Accumulation sédimentaire | 2 | 4 | 0,0% | 0,0% | 0,0% | 0,0% | 0,0% | 50,0% | 50,0% |
| | Affouillement | 1 | -3 | 0,0% | 100,0% | 0,0% | 0,0% | 0,0% | 0,0% | 0,0% |
| | Bilan sédimentaire | 1 | 0 | 0,0% | 0,0% | 0,0% | 100,0% | 0,0% | 0,0% | 0,0% |
| | Déplacement du trait de côte | 6 | -0,667 | 16,7% | 33,3% | 16,7% | 0,0% | 0,0% | 16,7% | 16,7% |
| | Érosion | 3 | -0,333 | 0,0% | 66,7% | 0,0% | 0,0% | 0,0% | 0,0% | 33,3% |
| | Hauteur de plage | 3 | 1 | 0,0% | 33,3% | 0,0% | 0,0% | 0,0% | 66,7% | 0,0% |
| | Largeur de plage | 4 | 1 | 0,0% | 25,0% | 0,0% | 0,0% | 25,0% | 50,0% | 0,0% |
| | Rétablissement géomorphologique | 1 | 1 | 0,0% | 0,0% | 0,0% | 0,0% | 100,0% | 0,0% | 0,0% |
| | Rétention sédimentaire | 11 | 0,0909 | 9,1% | 27,3% | 0,0% | 18,2% | 0,0% | 45,5% | 0,0% |
| CDir | Géomorphologique | 1 | 0 | 0,0% | 0,0% | 0,0% | 100,0% | 0,0% | 0,0% | 0,0% |
| | Transport sédimentaire | 8 | 0 | 0,0% | 50,0% | 0,0% | 0,0% | 0,0% | 50,0% | 0,0% |
| | Transport longitudinal | 5 | -0,6 | 0,0% | 60,0% | 0,0% | 0,0% | 0,0% | 40,0% | 0,0% |
| | Transport sédimentaire général | 1 | -3 | 0,0% | 100,0% | 0,0% | 0,0% | 0,0% | 0,0% | 0,0% |
| | Transport transversal | 2 | 3 | 0,0% | 0,0% | 0,0% | 0,0% | 0,0% | 100,0% | 0,0% |
| | Jet de rive | 1 | -3 | 0,0% | 100,0% | 0,0% | 0,0% | 0,0% | 0,0% | 0,0% |
| | Run-up | 1 | -3 | 0,0% | 100,0% | 0,0% | 0,0% | 0,0% | 0,0% | 0,0% |
| | Processus dissipation | 1 | 0 | 0,0% | 0,0% | 0,0% | 100,0% | 0,0% | 0,0% | 0,0% |
| | Énergie des vagues | 1 | 0 | 0,0% | 0,0% | 0,0% | 100,0% | 0,0% | 0,0% | 0,0% |
| CInd | Géomorphologique | 4 | -1 | 0,0% | 50,0% | 25,0% | 0,0% | 0,0% | 25,0% | 0,0% |
| | Profil topobathymétrique | 1 | 0 | 0,0% | 0,0% | 0,0% | 100,0% | 0,0% | 0,0% | 0,0% |
| | Profil de plage | 1 | 0 | 0,0% | 0,0% | 0,0% | 100,0% | 0,0% | 0,0% | 0,0% |
| | Courant | 4 | -1 | 0,0% | 50,0% | 25,0% | 0,0% | 0,0% | 25,0% | 0,0% |

Identification d'ouvrages de protection côtière

Date : 2021-03-19

Cellule hydrosédimentaire :

version :

Groupe_0004

page :

52

| | | | | | | | | | | | | |
|----|--------------------------|------|------------------------------------|----|--------|--------|--------|--------|-------|--------|--------|-------|
| | | | | | | 35,9% | | | | | | |
| | | | | | | 100,0% | 0,0% | 0,0% | 0,0% | 0,0% | | |
| | | | | | | 0,0% | 0,0% | 100,0% | 0,0% | 0,0% | | |
| | | | | | | 0,0% | 0,0% | 0,0% | 0,0% | 100,0% | | |
| 11 | Brise-lame émergé | Agr | Géomorphologique | 80 | -0,125 | 7,5% | 38,8% | 2,5% | 5,0% | 2,5% | 38,8% | 5,0% |
| | | EDir | Géomorphologique | 39 | 0,2308 | 7,7% | 35,9% | 0,0% | 5,1% | 2,6% | 38,5% | 10,3% |
| | | | Érosion/Accumulation | 39 | 0,2308 | 7,7% | 35,9% | 0,0% | 5,1% | 2,6% | 38,5% | 10,3% |
| | | | Accumulation sédimentaire | 17 | 1,0588 | 5,9% | 23,5% | 0,0% | 5,9% | 0,0% | 58,8% | 5,9% |
| | | | Affouillement | 1 | -5 | 100,0% | 0,0% | 0,0% | 0,0% | 0,0% | 0,0% | 0,0% |
| | | | Bilan sédimentaire | 2 | 0 | 0,0% | 50,0% | 0,0% | 0,0% | 0,0% | 50,0% | 0,0% |
| | | | Déplacement du trait de côte | 1 | 3 | 0,0% | 0,0% | 0,0% | 0,0% | 0,0% | 100,0% | 0,0% |
| | | | Érosion | 5 | -3 | 0,0% | 100,0% | 0,0% | 0,0% | 0,0% | 0,0% | 0,0% |
| | | | Hauteur de plage | 2 | 1 | 0,0% | 50,0% | 0,0% | 0,0% | 0,0% | 0,0% | 50,0% |
| | | | Largeur de plage | 4 | 0,5 | 0,0% | 50,0% | 0,0% | 0,0% | 0,0% | 25,0% | 25,0% |
| | | | Rétablissement géomorphologique | 2 | 0,5 | 0,0% | 0,0% | 0,0% | 50,0% | 50,0% | 0,0% | 0,0% |
| | | | Rétention sédimentaire | 5 | 0,6 | 20,0% | 20,0% | 0,0% | 0,0% | 0,0% | 40,0% | 20,0% |
| | | CDir | Géomorphologique | 4 | 3 | 0,0% | 0,0% | 0,0% | 0,0% | 0,0% | 100,0% | 0,0% |
| | | | Transport sédimentaire | 12 | -0,333 | 16,7% | 25,0% | 0,0% | 16,7% | 0,0% | 41,7% | 0,0% |
| | | | Transport longitudinal | 3 | 1 | 0,0% | 33,3% | 0,0% | 0,0% | 0,0% | 66,7% | 0,0% |
| | | | Transport sédimentaire général | 7 | -1 | 28,6% | 14,3% | 0,0% | 28,6% | 0,0% | 28,6% | 0,0% |
| | | | Transport transversal | 2 | 0 | 0,0% | 50,0% | 0,0% | 0,0% | 0,0% | 50,0% | 0,0% |
| | | | Caractéristiques des vagues | 1 | -3 | 0,0% | 100,0% | 0,0% | 0,0% | 0,0% | 0,0% | 0,0% |
| | | | Angle des vagues | 1 | -3 | 0,0% | 100,0% | 0,0% | 0,0% | 0,0% | 0,0% | 0,0% |
| | | | Processus dissipation | 4 | 3 | 0,0% | 0,0% | 0,0% | 0,0% | 0,0% | 100,0% | 0,0% |
| | | | Diffraction | 1 | 3 | 0,0% | 0,0% | 0,0% | 0,0% | 0,0% | 100,0% | 0,0% |
| | | | Énergie des vagues | 3 | 3 | 0,0% | 0,0% | 0,0% | 0,0% | 0,0% | 100,0% | 0,0% |
| | | CInd | Géomorphologique | 13 | -2,846 | 7,7% | 76,9% | 15,4% | 0,0% | 0,0% | 0,0% | 0,0% |
| | | | Profil topobathymétrique | 11 | 1,1818 | 0,0% | 27,3% | 0,0% | 0,0% | 9,1% | 63,6% | 0,0% |
| | | | Profil de plage | 4 | -0,5 | 0,0% | 50,0% | 0,0% | 0,0% | 25,0% | 25,0% | 0,0% |
| | | | Système de barres | 5 | 1,8 | 0,0% | 20,0% | 0,0% | 0,0% | 0,0% | 80,0% | 0,0% |
| | | | Variation bathymétrique généralisé | 1 | 3 | 0,0% | 0,0% | 0,0% | 0,0% | 0,0% | 100,0% | 0,0% |
| | | | Variation bathymétrique localisée | 1 | 3 | 0,0% | 0,0% | 0,0% | 0,0% | 0,0% | 100,0% | 0,0% |
| | | | Courant | 13 | -2,846 | 7,7% | 76,9% | 15,4% | 0,0% | 0,0% | 0,0% | 0,0% |
| | | | Circulation | 9 | -2,556 | 0,0% | 77,8% | 22,2% | 0,0% | 0,0% | 0,0% | 0,0% |
| | | | Courant d'arrachement | 1 | -5 | 100,0% | 0,0% | 0,0% | 0,0% | 0,0% | 0,0% | 0,0% |
| | | | Courant transversaux | 1 | -3 | 0,0% | 100,0% | 0,0% | 0,0% | 0,0% | 0,0% | 0,0% |
| | | | Dérive littorale | 2 | -3 | 0,0% | 100,0% | 0,0% | 0,0% | 0,0% | 0,0% | 0,0% |
| 12 | Brise-lame à crête basse | Agr | Géomorphologique | 51 | -0,588 | 11,8% | 43,1% | 2,0% | 2,0% | 3,9% | 29,4% | 7,8% |
| | | EDir | Géomorphologique | 13 | 0,7692 | 15,4% | 15,4% | 0,0% | 7,7% | 7,7% | 38,5% | 15,4% |
| | | | Érosion/Accumulation | 13 | 0,7692 | 15,4% | 15,4% | 0,0% | 7,7% | 7,7% | 38,5% | 15,4% |
| | | | Accumulation sédimentaire | 7 | 2,7143 | 0,0% | 14,3% | 0,0% | 0,0% | 0,0% | 57,1% | 28,6% |
| | | | Bilan sédimentaire | 2 | 1,5 | 0,0% | 0,0% | 0,0% | 50,0% | 0,0% | 50,0% | 0,0% |
| | | | Déplacement du trait de côte | 2 | -2 | 50,0% | 0,0% | 0,0% | 0,0% | 50,0% | 0,0% | 0,0% |
| | | | Érosion | 2 | -4 | 50,0% | 50,0% | 0,0% | 0,0% | 0,0% | 0,0% | 0,0% |
| | | CDir | Géomorphologique | 4 | 3,5 | 0,0% | 0,0% | 0,0% | 0,0% | 0,0% | 75,0% | 25,0% |
| | | | Transport sédimentaire | 3 | -1,667 | 33,3% | 33,3% | 0,0% | 0,0% | 0,0% | 33,3% | 0,0% |
| | | | Transport longitudinal | 2 | -1 | 50,0% | 0,0% | 0,0% | 0,0% | 0,0% | 50,0% | 0,0% |
| | | | Transport sédimentaire général | 1 | -3 | 0,0% | 100,0% | 0,0% | 0,0% | 0,0% | 0,0% | 0,0% |
| | | | Jet de rive | 1 | -3 | 0,0% | 100,0% | 0,0% | 0,0% | 0,0% | 0,0% | 0,0% |
| | | | Run-up | 1 | -3 | 0,0% | 100,0% | 0,0% | 0,0% | 0,0% | 0,0% | 0,0% |

Identification d'ouvrages de protection côtière

Date : 2021-03-19

Cellule hydrosédimentaire :

version :

Groupe_0004

page : 54

| | | | | | | | | | | | | | |
|----|------------------------|------------------------|---------------------------------|--------------------------|--------|--------|--------|--------|--------|------|-------|------|------|
| 15 | Mur de protection | CInd | Géomorphologique | 5 | -2 | 0,0% | 60,0% | 20,0% | 20,0% | 0,0% | 0,0% | 0,0% | |
| | | | Profil topobathymétrique | 5 | -2 | 0,0% | 60,0% | 20,0% | 20,0% | 0,0% | 0,0% | 0,0% | |
| | | | Profil de plage | 5 | -2 | 0,0% | 60,0% | 20,0% | 20,0% | 0,0% | 0,0% | 0,0% | |
| | | Agr | Géomorphologique | 58 | -2,586 | 13,8% | 62,1% | 8,6% | 13,8% | 0,0% | 1,7% | 0,0% | |
| | | EDir | Géomorphologique | 40 | -2,55 | 20,0% | 50,0% | 12,5% | 15,0% | 0,0% | 2,5% | 0,0% | |
| | | | Érosion/Accumulation | 40 | -2,55 | 20,0% | 50,0% | 12,5% | 15,0% | 0,0% | 2,5% | 0,0% | |
| | | | Accumulation sédimentaire | 2 | -1 | 50,0% | 0,0% | 0,0% | 0,0% | 0,0% | 50,0% | 0,0% | |
| | | | Affouillement | 1 | 0 | 0,0% | 0,0% | 0,0% | 100,0% | 0,0% | 0,0% | 0,0% | |
| | | | Bilan sédimentaire | 8 | -1,5 | 0,0% | 37,5% | 37,5% | 25,0% | 0,0% | 0,0% | 0,0% | |
| | | | Déplacement du trait de côte | 2 | -2,5 | 50,0% | 0,0% | 0,0% | 50,0% | 0,0% | 0,0% | 0,0% | |
| | | | Effet de bout | 2 | -4 | 50,0% | 50,0% | 0,0% | 0,0% | 0,0% | 0,0% | 0,0% | |
| | | | Érosion | 3 | -2 | 0,0% | 66,7% | 0,0% | 33,3% | 0,0% | 0,0% | 0,0% | |
| | | | Hauteur de plage | 6 | -3 | 16,7% | 66,7% | 16,7% | 0,0% | 0,0% | 0,0% | 0,0% | |
| | | | Largeur de plage | 11 | -3,545 | 36,4% | 54,5% | 9,1% | 0,0% | 0,0% | 0,0% | 0,0% | |
| | | | Rétablissement géomorphologique | 4 | -2,25 | 0,0% | 75,0% | 0,0% | 25,0% | 0,0% | 0,0% | 0,0% | |
| | Rétention sédimentaire | 1 | -3 | 0,0% | 100,0% | 0,0% | 0,0% | 0,0% | 0,0% | 0,0% | | | |
| | CDir | Géomorphologique | 4 | -3 | 0,0% | 100,0% | 0,0% | 0,0% | 0,0% | 0,0% | 0,0% | | |
| | | Transport sédimentaire | 3 | -3 | 0,0% | 100,0% | 0,0% | 0,0% | 0,0% | 0,0% | 0,0% | | |
| | | Transport longitudinal | 2 | -3 | 0,0% | 100,0% | 0,0% | 0,0% | 0,0% | 0,0% | 0,0% | | |
| | | Transport transversal | 1 | -3 | 0,0% | 100,0% | 0,0% | 0,0% | 0,0% | 0,0% | 0,0% | | |
| | | Eaux souterraines | 1 | -3 | 0,0% | 100,0% | 0,0% | 0,0% | 0,0% | 0,0% | 0,0% | | |
| | | Niveau de la nappe | 1 | -3 | 0,0% | 100,0% | 0,0% | 0,0% | 0,0% | 0,0% | 0,0% | | |
| | | Jet de rive | 5 | -3 | 0,0% | 100,0% | 0,0% | 0,0% | 0,0% | 0,0% | 0,0% | | |
| | | Backwash/Swash | 5 | -3 | 0,0% | 100,0% | 0,0% | 0,0% | 0,0% | 0,0% | 0,0% | | |
| | | Processus dissipation | 4 | -3 | 0,0% | 100,0% | 0,0% | 0,0% | 0,0% | 0,0% | 0,0% | | |
| | | Réflexion | 4 | -3 | 0,0% | 100,0% | 0,0% | 0,0% | 0,0% | 0,0% | 0,0% | | |
| | | CInd | Géomorphologique | 1 | -3 | 0,0% | 100,0% | 0,0% | 0,0% | 0,0% | 0,0% | 0,0% | |
| | | | Profil topobathymétrique | 4 | -1,5 | 0,0% | 50,0% | 0,0% | 50,0% | 0,0% | 0,0% | 0,0% | |
| | | | Profil de plage | 3 | -2 | 0,0% | 66,7% | 0,0% | 33,3% | 0,0% | 0,0% | 0,0% | |
| | | | Système de barres | 1 | 0 | 0,0% | 0,0% | 0,0% | 100,0% | 0,0% | 0,0% | 0,0% | |
| | | | Courant | 1 | -3 | 0,0% | 100,0% | 0,0% | 0,0% | 0,0% | 0,0% | 0,0% | |
| | | | Dérive littorale | 1 | -3 | 0,0% | 100,0% | 0,0% | 0,0% | 0,0% | 0,0% | 0,0% | |
| 16 | Enrochement | Agr | Géomorphologique | 20 | -3,3 | 30,0% | 60,0% | 0,0% | 10,0% | 0,0% | 0,0% | 0,0% | |
| | | EDir | Géomorphologique | 17 | -3,353 | 35,3% | 52,9% | 0,0% | 11,8% | 0,0% | 0,0% | 0,0% | |
| | | | Érosion/Accumulation | 17 | -3,353 | 35,3% | 52,9% | 0,0% | 11,8% | 0,0% | 0,0% | 0,0% | |
| | | | Effet de bout | 2 | -4 | 50,0% | 50,0% | 0,0% | 0,0% | 0,0% | 0,0% | 0,0% | |
| | | | Érosion | 2 | -3 | 0,0% | 100,0% | 0,0% | 0,0% | 0,0% | 0,0% | 0,0% | |
| | | | Hauteur de plage | 4 | -3,5 | 25,0% | 75,0% | 0,0% | 0,0% | 0,0% | 0,0% | 0,0% | |
| | | | Largeur de plage | 9 | -3,222 | 44,4% | 33,3% | 0,0% | 22,2% | 0,0% | 0,0% | 0,0% | |
| | | | CInd | Géomorphologique | 3 | -3 | 0,0% | 100,0% | 0,0% | 0,0% | 0,0% | 0,0% | 0,0% |
| | | | | Profil topobathymétrique | 3 | -3 | 0,0% | 100,0% | 0,0% | 0,0% | 0,0% | 0,0% | 0,0% |
| | | | | Profil de plage | 2 | -3 | 0,0% | 100,0% | 0,0% | 0,0% | 0,0% | 0,0% | 0,0% |
| | | | | Système de barres | 1 | -3 | 0,0% | 100,0% | 0,0% | 0,0% | 0,0% | 0,0% | 0,0% |

Résultats détaillés

| Pos. | OPC | Niv. observé (effet écosystémique glc) | N | Moy | -5 | -3 | -1 | 0 | 1 | 3 | 5 | |
|------|----------------|--|---------------------------|-----|--------|------|------|------|------|------|--------|-------|
| 1 | Végétalisation | Agr | Écosystémique | 20 | 3,1 | 0,0% | 0,0% | 0,0% | 0,0% | 5,0% | 85,0% | 10,0% |
| | | CDir | Écosystémique | 4 | 3 | 0,0% | 0,0% | 0,0% | 0,0% | 0,0% | 100,0% | 0,0% |
| | | | Érosion/Accumulation | 15 | 3,1333 | 0,0% | 0,0% | 0,0% | 0,0% | 6,7% | 80,0% | 13,3% |
| | | | Accumulation sédimentaire | 11 | 3,1818 | 0,0% | 0,0% | 0,0% | 0,0% | 9,1% | 72,7% | 18,2% |

Identification d'ouvrages de protection côtière

Date : 2021-03-19

Cellule hydrosédimentaire :

version :

Groupe_0004

page :

55

| | | | | | | | | | | | |
|---|------------------------|------------------------------------|----|--------|-------|-------|-------|--------|------|--------|--------|
| | | Érosion | 1 | 3 | 0,0% | 0,0% | 0,0% | 0,0% | 0,0% | 100,0% | 0,0% |
| | | Hauteur de plage | 1 | 3 | 0,0% | 0,0% | 0,0% | 0,0% | 0,0% | 100,0% | 0,0% |
| | | Largeur de plage | 1 | 3 | 0,0% | 0,0% | 0,0% | 0,0% | 0,0% | 100,0% | 0,0% |
| | | Rétablissement géomorphologique | 1 | 3 | 0,0% | 0,0% | 0,0% | 0,0% | 0,0% | 100,0% | 0,0% |
| | | Profil topobathymétrique | 1 | 3 | 0,0% | 0,0% | 0,0% | 0,0% | 0,0% | 100,0% | 0,0% |
| | | Profil de plage | 1 | 3 | 0,0% | 0,0% | 0,0% | 0,0% | 0,0% | 100,0% | 0,0% |
| | | Transport sédimentaire | 4 | 3 | 0,0% | 0,0% | 0,0% | 0,0% | 0,0% | 100,0% | 0,0% |
| | | Transport sédimentaire général | 3 | 3 | 0,0% | 0,0% | 0,0% | 0,0% | 0,0% | 100,0% | 0,0% |
| | | Transport transversal | 1 | 3 | 0,0% | 0,0% | 0,0% | 0,0% | 0,0% | 100,0% | 0,0% |
| 2 | Ganivelle | Agr Écosystémique | 19 | 2,5789 | 0,0% | 10,5% | 0,0% | 0,0% | 5,3% | 68,4% | 15,8% |
| | | CDir Écosystémique | 2 | 0 | 0,0% | 50,0% | 0,0% | 0,0% | 0,0% | 50,0% | 0,0% |
| | | Érosion/Accumulation | 17 | 2,8824 | 0,0% | 5,9% | 0,0% | 0,0% | 5,9% | 70,6% | 17,6% |
| | | Accumulation sédimentaire | 12 | 3,1667 | 0,0% | 0,0% | 0,0% | 0,0% | 8,3% | 75,0% | 16,7% |
| | | Largeur de plage | 2 | 4 | 0,0% | 0,0% | 0,0% | 0,0% | 0,0% | 50,0% | 50,0% |
| | | Rétention sédimentaire | 3 | 1 | 0,0% | 33,3% | 0,0% | 0,0% | 0,0% | 66,7% | 0,0% |
| | | Profil topobathymétrique | 2 | 0 | 0,0% | 50,0% | 0,0% | 0,0% | 0,0% | 50,0% | 0,0% |
| | | Topographie | 2 | 0 | 0,0% | 50,0% | 0,0% | 0,0% | 0,0% | 50,0% | 0,0% |
| 3 | Recharge de dune | Agr Écosystémique | 4 | 2,25 | 0,0% | 0,0% | 0,0% | 25,0% | 0,0% | 75,0% | 0,0% |
| | | CDir Écosystémique | 2 | 3 | 0,0% | 0,0% | 0,0% | 0,0% | 0,0% | 100,0% | 0,0% |
| | | Érosion/Accumulation | 2 | 1,5 | 0,0% | 0,0% | 0,0% | 50,0% | 0,0% | 50,0% | 0,0% |
| | | Bilan sédimentaire | 1 | 3 | 0,0% | 0,0% | 0,0% | 0,0% | 0,0% | 100,0% | 0,0% |
| | | Érosion | 1 | 0 | 0,0% | 0,0% | 0,0% | 100,0% | 0,0% | 0,0% | 0,0% |
| | | Profil topobathymétrique | 2 | 3 | 0,0% | 0,0% | 0,0% | 0,0% | 0,0% | 100,0% | 0,0% |
| | | Profil de plage | 2 | 3 | 0,0% | 0,0% | 0,0% | 0,0% | 0,0% | 100,0% | 0,0% |
| 4 | Épi perméable | Agr Écosystémique | 26 | 2,1538 | 3,8% | 7,7% | 3,8% | 7,7% | 0,0% | 61,5% | 15,4% |
| | | CDir Écosystémique | 3 | 3 | 0,0% | 0,0% | 0,0% | 0,0% | 0,0% | 100,0% | 0,0% |
| | | Érosion/Accumulation | 14 | 2,7143 | 0,0% | 7,1% | 0,0% | 14,3% | 0,0% | 50,0% | 28,6% |
| | | Bilan sédimentaire | 1 | 3 | 0,0% | 0,0% | 0,0% | 0,0% | 0,0% | 100,0% | 0,0% |
| | | Érosion | 4 | 0,75 | 0,0% | 25,0% | 0,0% | 25,0% | 0,0% | 50,0% | 0,0% |
| | | Hauteur de plage | 1 | 5 | 0,0% | 0,0% | 0,0% | 0,0% | 0,0% | 0,0% | 100,0% |
| | | Largeur de plage | 1 | 5 | 0,0% | 0,0% | 0,0% | 0,0% | 0,0% | 0,0% | 100,0% |
| | | Rétablissement géomorphologique | 1 | 5 | 0,0% | 0,0% | 0,0% | 0,0% | 0,0% | 0,0% | 100,0% |
| | | Rétention sédimentaire | 6 | 2,8333 | 0,0% | 0,0% | 0,0% | 16,7% | 0,0% | 66,7% | 16,7% |
| | | Profil topobathymétrique | 4 | 2 | 0,0% | 0,0% | 25,0% | 0,0% | 0,0% | 75,0% | 0,0% |
| | | Profil de plage | 1 | 3 | 0,0% | 0,0% | 0,0% | 0,0% | 0,0% | 100,0% | 0,0% |
| | | Système de barres | 2 | 1 | 0,0% | 0,0% | 50,0% | 0,0% | 0,0% | 50,0% | 0,0% |
| | | Variation bathymétrique généralisé | 1 | 3 | 0,0% | 0,0% | 0,0% | 0,0% | 0,0% | 100,0% | 0,0% |
| | | Transport sédimentaire | 1 | 3 | 0,0% | 0,0% | 0,0% | 0,0% | 0,0% | 100,0% | 0,0% |
| | | Transport longitudinal | 1 | 3 | 0,0% | 0,0% | 0,0% | 0,0% | 0,0% | 100,0% | 0,0% |
| | | Courant | 4 | -0,5 | 25,0% | 25,0% | 0,0% | 0,0% | 0,0% | 50,0% | 0,0% |
| | | Circulation | 1 | 3 | 0,0% | 0,0% | 0,0% | 0,0% | 0,0% | 100,0% | 0,0% |
| | | Courant d'arrachement | 2 | -4 | 50,0% | 50,0% | 0,0% | 0,0% | 0,0% | 0,0% | 0,0% |
| | | Dérive littorale | 1 | 3 | 0,0% | 0,0% | 0,0% | 0,0% | 0,0% | 100,0% | 0,0% |
| | | Processus dissipation | 3 | 3 | 0,0% | 0,0% | 0,0% | 0,0% | 0,0% | 100,0% | 0,0% |
| | | Déferlement | 1 | 3 | 0,0% | 0,0% | 0,0% | 0,0% | 0,0% | 100,0% | 0,0% |
| | | Énergie des vagues | 1 | 3 | 0,0% | 0,0% | 0,0% | 0,0% | 0,0% | 100,0% | 0,0% |
| | | Réfraction | 1 | 3 | 0,0% | 0,0% | 0,0% | 0,0% | 0,0% | 100,0% | 0,0% |
| 5 | Recharge d'avant-plage | Agr Écosystémique | 31 | 1,9032 | 0,0% | 6,5% | 0,0% | 25,8% | 6,5% | 51,6% | 9,7% |
| | | CDir Écosystémique | 1 | 3 | 0,0% | 0,0% | 0,0% | 0,0% | 0,0% | 100,0% | 0,0% |

Identification d'ouvrages de protection cotière

Date : 2021-03-19

Cellule hydrosédimentaire :

version :

Groupe_0004

page :

56

| | | | | | | | | | | | |
|---|--------------------------------|------------------------------------|-----|--------|------|--------|-------|--------|--------|--------|-------|
| | | Érosion/Accumulation | 18 | 2,0556 | 0,0% | 5,6% | 0,0% | 27,8% | 5,6% | 44,4% | 16,7% |
| | | Accumulation sédimentaire | 6 | 3,3333 | 0,0% | 0,0% | 0,0% | 0,0% | 0,0% | 83,3% | 16,7% |
| | | Bilan sédimentaire | 9 | 1,5556 | 0,0% | 11,1% | 0,0% | 33,3% | 11,1% | 22,2% | 22,2% |
| | | Déplacement du trait de côte | 3 | 1 | 0,0% | 0,0% | 0,0% | 66,7% | 0,0% | 33,3% | 0,0% |
| | | Profil topobathymétrique | 11 | 1,4545 | 0,0% | 9,1% | 0,0% | 27,3% | 9,1% | 54,5% | 0,0% |
| | | Profil de plage | 2 | -1,5 | 0,0% | 50,0% | 0,0% | 50,0% | 0,0% | 0,0% | 0,0% |
| | | Système de barres | 9 | 2,1111 | 0,0% | 0,0% | 0,0% | 22,2% | 11,1% | 66,7% | 0,0% |
| | | Transport sédimentaire | 1 | 3 | 0,0% | 0,0% | 0,0% | 0,0% | 0,0% | 100,0% | 0,0% |
| | | Transport longitudinal | 1 | 3 | 0,0% | 0,0% | 0,0% | 0,0% | 0,0% | 100,0% | 0,0% |
| | | Processus dissipation | 1 | 3 | 0,0% | 0,0% | 0,0% | 0,0% | 0,0% | 100,0% | 0,0% |
| | | Déferlement | 1 | 3 | 0,0% | 0,0% | 0,0% | 0,0% | 0,0% | 100,0% | 0,0% |
| 6 | Système horizontal de drainage | Agr Écosystémique | 21 | 1,5238 | 0,0% | 9,5% | 0,0% | 23,8% | 19,0% | 38,1% | 9,5% |
| | | EDir Écosystémique | 1 | 0 | 0,0% | 0,0% | 0,0% | 100,0% | 0,0% | 0,0% | 0,0% |
| | | Biocénose | 1 | 0 | 0,0% | 0,0% | 0,0% | 100,0% | 0,0% | 0,0% | 0,0% |
| | | Biocénose quantitative | 1 | 0 | 0,0% | 0,0% | 0,0% | 100,0% | 0,0% | 0,0% | 0,0% |
| | | CDir Écosystémique | 2 | 3 | 0,0% | 0,0% | 0,0% | 0,0% | 0,0% | 100,0% | 0,0% |
| | | Érosion/Accumulation | 16 | 1,8125 | 0,0% | 6,3% | 0,0% | 18,8% | 25,0% | 37,5% | 12,5% |
| | | Accumulation sédimentaire | 5 | 1,6 | 0,0% | 0,0% | 0,0% | 60,0% | 0,0% | 20,0% | 20,0% |
| | | Bilan sédimentaire | 6 | 2 | 0,0% | 0,0% | 0,0% | 0,0% | 50,0% | 50,0% | 0,0% |
| | | Déplacement du trait de côte | 3 | 3,6667 | 0,0% | 0,0% | 0,0% | 0,0% | 0,0% | 66,7% | 33,3% |
| | | Érosion | 1 | -3 | 0,0% | 100,0% | 0,0% | 0,0% | 0,0% | 0,0% | 0,0% |
| | | Hauteur de plage | 1 | 1 | 0,0% | 0,0% | 0,0% | 0,0% | 100,0% | 0,0% | 0,0% |
| | | Profil topobathymétrique | 2 | -1,5 | 0,0% | 50,0% | 0,0% | 50,0% | 0,0% | 0,0% | 0,0% |
| | | Profil de plage | 2 | -1,5 | 0,0% | 50,0% | 0,0% | 50,0% | 0,0% | 0,0% | 0,0% |
| | | Transport sédimentaire | 2 | 3 | 0,0% | 0,0% | 0,0% | 0,0% | 0,0% | 100,0% | 0,0% |
| | | Transport transversal | 2 | 3 | 0,0% | 0,0% | 0,0% | 0,0% | 0,0% | 100,0% | 0,0% |
| 7 | Recharge de plage | Agr Écosystémique | 118 | 1,3136 | 0,8% | 11,9% | 4,2% | 24,6% | 9,3% | 39,8% | 9,3% |
| | | EDir Écosystémique | 5 | -1,4 | 0,0% | 60,0% | 20,0% | 0,0% | 0,0% | 20,0% | 0,0% |
| | | Biocénose | 5 | -1,4 | 0,0% | 60,0% | 20,0% | 0,0% | 0,0% | 20,0% | 0,0% |
| | | Biocénose qualitative | 5 | -1,4 | 0,0% | 60,0% | 20,0% | 0,0% | 0,0% | 20,0% | 0,0% |
| | | CDir Écosystémique | 7 | 0 | 0,0% | 14,3% | 0,0% | 71,4% | 0,0% | 14,3% | 0,0% |
| | | Érosion/Accumulation | 58 | 2,3793 | 0,0% | 0,0% | 0,0% | 24,1% | 12,1% | 46,6% | 17,2% |
| | | Accumulation sédimentaire | 5 | 3,8 | 0,0% | 0,0% | 0,0% | 0,0% | 0,0% | 60,0% | 40,0% |
| | | Bilan sédimentaire | 22 | 3,0909 | 0,0% | 0,0% | 0,0% | 9,1% | 13,6% | 45,5% | 31,8% |
| | | Déplacement du trait de côte | 16 | 1,5 | 0,0% | 0,0% | 0,0% | 37,5% | 18,8% | 43,8% | 0,0% |
| | | Érosion | 7 | 1,1429 | 0,0% | 0,0% | 0,0% | 71,4% | 0,0% | 14,3% | 14,3% |
| | | Hauteur de plage | 2 | 2 | 0,0% | 0,0% | 0,0% | 0,0% | 50,0% | 50,0% | 0,0% |
| | | Largeur de plage | 6 | 2,5 | 0,0% | 0,0% | 0,0% | 16,7% | 0,0% | 83,3% | 0,0% |
| | | Profil topobathymétrique | 31 | 0,5806 | 3,2% | 16,1% | 3,2% | 29,0% | 12,9% | 32,3% | 3,2% |
| | | Profil de plage | 10 | -0,7 | 0,0% | 40,0% | 10,0% | 30,0% | 0,0% | 20,0% | 0,0% |
| | | Système de barres | 18 | 0,9444 | 5,6% | 5,6% | 0,0% | 27,8% | 22,2% | 38,9% | 0,0% |
| | | Topographie | 1 | 3 | 0,0% | 0,0% | 0,0% | 0,0% | 0,0% | 100,0% | 0,0% |
| | | Variation bathymétrique généralisé | 2 | 2,5 | 0,0% | 0,0% | 0,0% | 50,0% | 0,0% | 0,0% | 50,0% |
| | | Sédiments | 7 | -2,143 | 0,0% | 57,1% | 42,9% | 0,0% | 0,0% | 0,0% | 0,0% |
| | | Taille granulométrique | 7 | -2,143 | 0,0% | 57,1% | 42,9% | 0,0% | 0,0% | 0,0% | 0,0% |
| | | Transport sédimentaire | 9 | 2,6667 | 0,0% | 0,0% | 0,0% | 11,1% | 0,0% | 88,9% | 0,0% |
| | | Transport longitudinal | 5 | 3 | 0,0% | 0,0% | 0,0% | 0,0% | 0,0% | 100,0% | 0,0% |
| | | Transport sédimentaire général | 2 | 3 | 0,0% | 0,0% | 0,0% | 0,0% | 0,0% | 100,0% | 0,0% |
| | | Transport transversal | 2 | 1,5 | 0,0% | 0,0% | 0,0% | 50,0% | 0,0% | 50,0% | 0,0% |

Identification d'ouvrages de protection côtière

Date : 2021-03-19

Cellule hydrosédimentaire :

version :

Groupe_0004

page :

57

| | | | | | | | | | | | |
|----|------------------------------|---------------------------------|----|--------|------|--------|--------|--------|--------|--------|--------|
| | | Courant | 1 | -3 | 0,0% | 100,0% | 0,0% | 0,0% | 0,0% | 0,0% | 0,0% |
| | | Courant transversaux | 1 | -3 | 0,0% | 100,0% | 0,0% | 0,0% | 0,0% | 0,0% | 0,0% |
| | | Processus dissipation | 7 | 0 | 0,0% | 14,3% | 0,0% | 71,4% | 0,0% | 14,3% | 0,0% |
| | | Énergie des vagues | 3 | -1 | 0,0% | 33,3% | 0,0% | 66,7% | 0,0% | 0,0% | 0,0% |
| | | Hauteur de vagues | 4 | 0,75 | 0,0% | 0,0% | 0,0% | 75,0% | 0,0% | 25,0% | 0,0% |
| 8 | Brise-lame émergé | Agr Écosystémique | 11 | 0,0909 | 0,0% | 36,4% | 0,0% | 18,2% | 9,1% | 36,4% | 0,0% |
| | | EDir Écosystémique | 2 | -3 | 0,0% | 100,0% | 0,0% | 0,0% | 0,0% | 0,0% | 0,0% |
| | | Biocénose | 2 | -3 | 0,0% | 100,0% | 0,0% | 0,0% | 0,0% | 0,0% | 0,0% |
| | | Biocénose qualitative | 2 | -3 | 0,0% | 100,0% | 0,0% | 0,0% | 0,0% | 0,0% | 0,0% |
| | | CDir Écosystémique | 2 | -1,5 | 0,0% | 50,0% | 0,0% | 50,0% | 0,0% | 0,0% | 0,0% |
| | | Érosion/Accumulation | 7 | 1,4286 | 0,0% | 14,3% | 0,0% | 14,3% | 14,3% | 57,1% | 0,0% |
| | | Accumulation sédimentaire | 6 | 1,5 | 0,0% | 16,7% | 0,0% | 16,7% | 0,0% | 66,7% | 0,0% |
| | | Rétablissement géomorphologique | 1 | 1 | 0,0% | 0,0% | 0,0% | 0,0% | 100,0% | 0,0% | 0,0% |
| | | Transport sédimentaire | 2 | -1,5 | 0,0% | 50,0% | 0,0% | 50,0% | 0,0% | 0,0% | 0,0% |
| | | Transport longitudinal | 1 | -3 | 0,0% | 100,0% | 0,0% | 0,0% | 0,0% | 0,0% | 0,0% |
| | | Transport sédimentaire général | 1 | 0 | 0,0% | 0,0% | 0,0% | 100,0% | 0,0% | 0,0% | 0,0% |
| 9 | Système vertical de drainage | Agr Écosystémique | 5 | 0 | 0,0% | 40,0% | 0,0% | 20,0% | 20,0% | 0,0% | 20,0% |
| | | CDir Écosystémique | 2 | -3 | 0,0% | 100,0% | 0,0% | 0,0% | 0,0% | 0,0% | 0,0% |
| | | Érosion/Accumulation | 3 | 2 | 0,0% | 0,0% | 0,0% | 33,3% | 33,3% | 0,0% | 33,3% |
| | | Bilan sédimentaire | 3 | 2 | 0,0% | 0,0% | 0,0% | 33,3% | 33,3% | 0,0% | 33,3% |
| | | Sédiments | 2 | -3 | 0,0% | 100,0% | 0,0% | 0,0% | 0,0% | 0,0% | 0,0% |
| | | Taille granulométrique | 2 | -3 | 0,0% | 100,0% | 0,0% | 0,0% | 0,0% | 0,0% | 0,0% |
| 10 | Épi imperméable | Agr Écosystémique | 49 | -0,02 | 0,0% | 40,8% | 8,2% | 12,2% | 4,1% | 24,5% | 10,2% |
| | | EDir Écosystémique | 2 | -2 | 0,0% | 50,0% | 50,0% | 0,0% | 0,0% | 0,0% | 0,0% |
| | | Biocénose | 2 | -2 | 0,0% | 50,0% | 50,0% | 0,0% | 0,0% | 0,0% | 0,0% |
| | | Biocénose qualitative | 1 | -3 | 0,0% | 100,0% | 0,0% | 0,0% | 0,0% | 0,0% | 0,0% |
| | | Biocénose quantitative | 1 | -1 | 0,0% | 0,0% | 100,0% | 0,0% | 0,0% | 0,0% | 0,0% |
| | | CDir Écosystémique | 6 | 1,5 | 0,0% | 0,0% | 33,3% | 16,7% | 0,0% | 33,3% | 16,7% |
| | | Érosion/Accumulation | 22 | 0,4545 | 0,0% | 36,4% | 4,5% | 9,1% | 9,1% | 27,3% | 13,6% |
| | | Accumulation sédimentaire | 2 | 4 | 0,0% | 0,0% | 0,0% | 0,0% | 0,0% | 50,0% | 50,0% |
| | | Affouillement | 1 | -3 | 0,0% | 100,0% | 0,0% | 0,0% | 0,0% | 0,0% | 0,0% |
| | | Bilan sédimentaire | 1 | 0 | 0,0% | 0,0% | 0,0% | 100,0% | 0,0% | 0,0% | 0,0% |
| | | Déplacement du trait de côte | 5 | 0,2 | 0,0% | 40,0% | 20,0% | 0,0% | 0,0% | 20,0% | 20,0% |
| | | Érosion | 1 | 5 | 0,0% | 0,0% | 0,0% | 0,0% | 0,0% | 0,0% | 100,0% |
| | | Hauteur de plage | 1 | 3 | 0,0% | 0,0% | 0,0% | 0,0% | 0,0% | 100,0% | 0,0% |
| | | Largeur de plage | 3 | 0,3333 | 0,0% | 33,3% | 0,0% | 0,0% | 33,3% | 33,3% | 0,0% |
| | | Rétablissement géomorphologique | 1 | 1 | 0,0% | 0,0% | 0,0% | 0,0% | 100,0% | 0,0% | 0,0% |
| | | Rétention sédimentaire | 7 | -0,857 | 0,0% | 57,1% | 0,0% | 14,3% | 0,0% | 28,6% | 0,0% |
| | | Profil topobathymétrique | 1 | 0 | 0,0% | 0,0% | 0,0% | 100,0% | 0,0% | 0,0% | 0,0% |
| | | Profil de plage | 1 | 0 | 0,0% | 0,0% | 0,0% | 100,0% | 0,0% | 0,0% | 0,0% |
| | | Transport sédimentaire | 4 | 0 | 0,0% | 50,0% | 0,0% | 0,0% | 0,0% | 50,0% | 0,0% |
| | | Transport longitudinal | 4 | 0 | 0,0% | 50,0% | 0,0% | 0,0% | 0,0% | 50,0% | 0,0% |
| | | Courant | 13 | -1,615 | 0,0% | 69,2% | 0,0% | 15,4% | 0,0% | 15,4% | 0,0% |
| | | Circulation | 3 | -3 | 0,0% | 100,0% | 0,0% | 0,0% | 0,0% | 0,0% | 0,0% |
| | | Courant d'arrachement | 3 | -3 | 0,0% | 100,0% | 0,0% | 0,0% | 0,0% | 0,0% | 0,0% |
| | | Courant transversaux | 3 | -2 | 0,0% | 66,7% | 0,0% | 33,3% | 0,0% | 0,0% | 0,0% |
| | | Dérive littorale | 4 | 0,75 | 0,0% | 25,0% | 0,0% | 25,0% | 0,0% | 50,0% | 0,0% |
| | | Processus dissipation | 6 | 1,5 | 0,0% | 0,0% | 33,3% | 16,7% | 0,0% | 33,3% | 16,7% |
| | | Diffraction | 1 | 3 | 0,0% | 0,0% | 0,0% | 0,0% | 0,0% | 100,0% | 0,0% |

Identification d'ouvrages de protection côtière

Date : 2021-03-19

Cellule hydrosédimentaire :

version :

Groupe_0004

page : 58

| | | | | | | | | | | | | |
|----|--------------------------|---------------------------|------------------------------------|----|--------|-------|--------|--------|--------|--------|--------|-------|
| | | Énergie des vagues | 1 | 0 | 0,0% | 0,0% | 0,0% | 100,0% | 0,0% | 0,0% | 0,0% | |
| | | Hauteur de vagues | 2 | 2 | 0,0% | 0,0% | 50,0% | 0,0% | 0,0% | 0,0% | 50,0% | |
| | | Réflexion | 1 | -1 | 0,0% | 0,0% | 100,0% | 0,0% | 0,0% | 0,0% | 0,0% | |
| | | Réfraction | 1 | 3 | 0,0% | 0,0% | 0,0% | 0,0% | 0,0% | 100,0% | 0,0% | |
| | CInd | Écosystémique | 1 | 5 | 0,0% | 0,0% | 0,0% | 0,0% | 0,0% | 0,0% | 100,0% | |
| | | Biotope | 1 | 5 | 0,0% | 0,0% | 0,0% | 0,0% | 0,0% | 0,0% | 100,0% | |
| | | Modification structurelle | 1 | 5 | 0,0% | 0,0% | 0,0% | 0,0% | 0,0% | 0,0% | 100,0% | |
| 11 | Brise-lame à crête basse | Agr | Écosystémique | 48 | -0,583 | 12,5% | 39,6% | 4,2% | 4,2% | 4,2% | 27,1% | 8,3% |
| | | EDir | Écosystémique | 4 | -2,25 | 25,0% | 25,0% | 25,0% | 25,0% | 0,0% | 0,0% | 0,0% |
| | | | Biocénose | 4 | -2,25 | 25,0% | 25,0% | 25,0% | 25,0% | 0,0% | 0,0% | 0,0% |
| | | | Biocénose qualitative | 4 | -2,25 | 25,0% | 25,0% | 25,0% | 25,0% | 0,0% | 0,0% | 0,0% |
| | | CDir | Écosystémique | 4 | 3,5 | 0,0% | 0,0% | 0,0% | 0,0% | 0,0% | 75,0% | 25,0% |
| | | | Érosion/Accumulation | 11 | 0,3636 | 18,2% | 18,2% | 0,0% | 9,1% | 9,1% | 27,3% | 18,2% |
| | | | Accumulation sédimentaire | 6 | 1,6667 | 0,0% | 33,3% | 0,0% | 0,0% | 0,0% | 33,3% | 33,3% |
| | | | Bilan sédimentaire | 1 | 0 | 0,0% | 0,0% | 0,0% | 100,0% | 0,0% | 0,0% | 0,0% |
| | | | Déplacement du trait de côte | 2 | -2 | 50,0% | 0,0% | 0,0% | 0,0% | 50,0% | 0,0% | 0,0% |
| | | | Érosion | 2 | -1 | 50,0% | 0,0% | 0,0% | 0,0% | 0,0% | 50,0% | 0,0% |
| | | | Profil topobathymétrique | 6 | 0 | 16,7% | 33,3% | 0,0% | 0,0% | 0,0% | 33,3% | 16,7% |
| | | | Variation bathymétrique généralisé | 2 | 4 | 0,0% | 0,0% | 0,0% | 0,0% | 0,0% | 50,0% | 50,0% |
| | | | Variation bathymétrique localisée | 4 | -2 | 25,0% | 50,0% | 0,0% | 0,0% | 0,0% | 25,0% | 0,0% |
| | | | Transport sédimentaire | 1 | 3 | 0,0% | 0,0% | 0,0% | 0,0% | 0,0% | 100,0% | 0,0% |
| | | | Transport longitudinal | 1 | 3 | 0,0% | 0,0% | 0,0% | 0,0% | 0,0% | 100,0% | 0,0% |
| | | | Courant | 20 | -1,6 | 5,0% | 65,0% | 5,0% | 0,0% | 5,0% | 20,0% | 0,0% |
| | | | Circulation | 11 | -1,545 | 0,0% | 72,7% | 0,0% | 0,0% | 9,1% | 18,2% | 0,0% |
| | | | Courant d'arrachement | 1 | -3 | 0,0% | 100,0% | 0,0% | 0,0% | 0,0% | 0,0% | 0,0% |
| | | | Courant transversaux | 6 | -2 | 16,7% | 50,0% | 16,7% | 0,0% | 0,0% | 16,7% | 0,0% |
| | | | Dérive littorale | 2 | 0 | 0,0% | 50,0% | 0,0% | 0,0% | 0,0% | 50,0% | 0,0% |
| | | | Processus dissipation | 4 | 3,5 | 0,0% | 0,0% | 0,0% | 0,0% | 0,0% | 75,0% | 25,0% |
| | | | Diffraction | 1 | 3 | 0,0% | 0,0% | 0,0% | 0,0% | 0,0% | 100,0% | 0,0% |
| | | | Énergie des vagues | 1 | 3 | 0,0% | 0,0% | 0,0% | 0,0% | 0,0% | 100,0% | 0,0% |
| | | | Hauteur de vagues | 2 | 4 | 0,0% | 0,0% | 0,0% | 0,0% | 0,0% | 50,0% | 50,0% |
| | | CInd | Écosystémique | 2 | -4 | 50,0% | 50,0% | 0,0% | 0,0% | 0,0% | 0,0% | 0,0% |
| | | | Biotope | 2 | -4 | 50,0% | 50,0% | 0,0% | 0,0% | 0,0% | 0,0% | 0,0% |
| | | | Modification physico-chimique | 2 | -4 | 50,0% | 50,0% | 0,0% | 0,0% | 0,0% | 0,0% | 0,0% |
| 12 | Brise-lame submergé | Agr | Écosystémique | 49 | -0,633 | 16,3% | 38,8% | 0,0% | 0,0% | 6,1% | 32,7% | 6,1% |
| | | EDir | Écosystémique | 1 | 3 | 0,0% | 0,0% | 0,0% | 0,0% | 0,0% | 100,0% | 0,0% |
| | | | Biocénose | 1 | 3 | 0,0% | 0,0% | 0,0% | 0,0% | 0,0% | 100,0% | 0,0% |
| | | | Biocénose qualitative | 1 | 3 | 0,0% | 0,0% | 0,0% | 0,0% | 0,0% | 100,0% | 0,0% |
| | | CDir | Écosystémique | 10 | 2 | 10,0% | 0,0% | 0,0% | 0,0% | 10,0% | 80,0% | 0,0% |
| | | | Érosion/Accumulation | 18 | -1,667 | 22,2% | 50,0% | 0,0% | 0,0% | 5,6% | 11,1% | 11,1% |
| | | | Accumulation sédimentaire | 2 | 2 | 0,0% | 0,0% | 0,0% | 0,0% | 50,0% | 50,0% | 0,0% |
| | | | Affouillement | 5 | -3 | 0,0% | 100,0% | 0,0% | 0,0% | 0,0% | 0,0% | 0,0% |
| | | | Bilan sédimentaire | 4 | -2,5 | 50,0% | 25,0% | 0,0% | 0,0% | 0,0% | 25,0% | 0,0% |
| | | | Déplacement du trait de côte | 2 | -3 | 0,0% | 100,0% | 0,0% | 0,0% | 0,0% | 0,0% | 0,0% |
| | | | Érosion | 5 | -0,6 | 40,0% | 20,0% | 0,0% | 0,0% | 0,0% | 0,0% | 40,0% |
| | | | Profil topobathymétrique | 10 | -1 | 10,0% | 50,0% | 0,0% | 0,0% | 10,0% | 30,0% | 0,0% |
| | | | Profil de plage | 1 | -3 | 0,0% | 100,0% | 0,0% | 0,0% | 0,0% | 0,0% | 0,0% |
| | | | Système de barres | 8 | -0,5 | 12,5% | 37,5% | 0,0% | 0,0% | 12,5% | 37,5% | 0,0% |
| | | | Variation bathymétrique localisée | 1 | -3 | 0,0% | 100,0% | 0,0% | 0,0% | 0,0% | 0,0% | 0,0% |

Identification d'ouvrages de protection côtière

Date : 2021-03-19

Cellule hydrosédimentaire :

version :

Groupe_0004

page :

59

| | | | | | | | | | | | |
|----|-------------------|---------------------------------|----|--------|--------|--------|-------|--------|--------|--------|-------|
| | | Transport sédimentaire | 2 | -4 | 50,0% | 50,0% | 0,0% | 0,0% | 0,0% | 0,0% | 0,0% |
| | | Transport longitudinal | 1 | -5 | 100,0% | 0,0% | 0,0% | 0,0% | 0,0% | 0,0% | 0,0% |
| | | Transport sédimentaire général | 1 | -3 | 0,0% | 100,0% | 0,0% | 0,0% | 0,0% | 0,0% | 0,0% |
| | | Courant | 8 | -0,75 | 12,5% | 50,0% | 0,0% | 0,0% | 0,0% | 25,0% | 12,5% |
| | | Circulation | 3 | 1 | 33,3% | 0,0% | 0,0% | 0,0% | 0,0% | 33,3% | 33,3% |
| | | Courant d'arrachement | 2 | -3 | 0,0% | 100,0% | 0,0% | 0,0% | 0,0% | 0,0% | 0,0% |
| | | Dérive littorale | 3 | -1 | 0,0% | 66,7% | 0,0% | 0,0% | 0,0% | 33,3% | 0,0% |
| | | Processus dissipation | 10 | 2 | 10,0% | 0,0% | 0,0% | 0,0% | 10,0% | 80,0% | 0,0% |
| | | Déferlement | 3 | 3 | 0,0% | 0,0% | 0,0% | 0,0% | 0,0% | 100,0% | 0,0% |
| | | Énergie des vagues | 5 | 1,4 | 20,0% | 0,0% | 0,0% | 0,0% | 0,0% | 80,0% | 0,0% |
| | | Hauteur de vagues | 1 | 1 | 0,0% | 0,0% | 0,0% | 0,0% | 100,0% | 0,0% | 0,0% |
| | | Transmission | 1 | 3 | 0,0% | 0,0% | 0,0% | 0,0% | 0,0% | 100,0% | 0,0% |
| 13 | Mur de protection | Agr Écosystémique | 49 | -2,714 | 22,4% | 59,2% | 4,1% | 8,2% | 0,0% | 4,1% | 2,0% |
| | | EDir Écosystémique | 6 | -3,5 | 50,0% | 33,3% | 0,0% | 16,7% | 0,0% | 0,0% | 0,0% |
| | | Biocénose | 6 | -3,5 | 50,0% | 33,3% | 0,0% | 16,7% | 0,0% | 0,0% | 0,0% |
| | | Biocénose qualitative | 2 | -1,5 | 0,0% | 50,0% | 0,0% | 50,0% | 0,0% | 0,0% | 0,0% |
| | | Biocénose quantitative | 4 | -4,5 | 75,0% | 25,0% | 0,0% | 0,0% | 0,0% | 0,0% | 0,0% |
| | | CDir Écosystémique | 7 | -3,571 | 28,6% | 71,4% | 0,0% | 0,0% | 0,0% | 0,0% | 0,0% |
| | | Érosion/Accumulation | 23 | -2,13 | 21,7% | 47,8% | 8,7% | 8,7% | 0,0% | 8,7% | 4,3% |
| | | Accumulation sédimentaire | 3 | 0,3333 | 33,3% | 0,0% | 0,0% | 0,0% | 0,0% | 66,7% | 0,0% |
| | | Affouillement | 3 | 0,6667 | 0,0% | 33,3% | 0,0% | 33,3% | 0,0% | 0,0% | 33,3% |
| | | Bilan sédimentaire | 1 | -5 | 100,0% | 0,0% | 0,0% | 0,0% | 0,0% | 0,0% | 0,0% |
| | | Effet de bout | 1 | -3 | 0,0% | 100,0% | 0,0% | 0,0% | 0,0% | 0,0% | 0,0% |
| | | Érosion | 3 | -2,333 | 0,0% | 66,7% | 33,3% | 0,0% | 0,0% | 0,0% | 0,0% |
| | | Hauteur de plage | 5 | -3,8 | 40,0% | 60,0% | 0,0% | 0,0% | 0,0% | 0,0% | 0,0% |
| | | Largeur de plage | 5 | -3 | 20,0% | 60,0% | 20,0% | 0,0% | 0,0% | 0,0% | 0,0% |
| | | Rétablissement géomorphologique | 1 | 0 | 0,0% | 0,0% | 0,0% | 100,0% | 0,0% | 0,0% | 0,0% |
| | | Rétention sédimentaire | 1 | -3 | 0,0% | 100,0% | 0,0% | 0,0% | 0,0% | 0,0% | 0,0% |
| | | Profil topobathymétrique | 3 | -2 | 0,0% | 66,7% | 0,0% | 33,3% | 0,0% | 0,0% | 0,0% |
| | | Profil de plage | 2 | -3 | 0,0% | 100,0% | 0,0% | 0,0% | 0,0% | 0,0% | 0,0% |
| | | Système de barres | 1 | 0 | 0,0% | 0,0% | 0,0% | 100,0% | 0,0% | 0,0% | 0,0% |
| | | Sédiments | 2 | -3 | 0,0% | 100,0% | 0,0% | 0,0% | 0,0% | 0,0% | 0,0% |
| | | Mise en suspension | 1 | -3 | 0,0% | 100,0% | 0,0% | 0,0% | 0,0% | 0,0% | 0,0% |
| | | Taille granulométrique | 1 | -3 | 0,0% | 100,0% | 0,0% | 0,0% | 0,0% | 0,0% | 0,0% |
| | | Transport sédimentaire | 6 | -3 | 0,0% | 100,0% | 0,0% | 0,0% | 0,0% | 0,0% | 0,0% |
| | | Transport longitudinal | 4 | -3 | 0,0% | 100,0% | 0,0% | 0,0% | 0,0% | 0,0% | 0,0% |
| | | Transport transversal | 2 | -3 | 0,0% | 100,0% | 0,0% | 0,0% | 0,0% | 0,0% | 0,0% |
| | | Courant | 1 | -3 | 0,0% | 100,0% | 0,0% | 0,0% | 0,0% | 0,0% | 0,0% |
| | | Dérive littorale | 1 | -3 | 0,0% | 100,0% | 0,0% | 0,0% | 0,0% | 0,0% | 0,0% |
| | | Processus dissipation | 7 | -3,571 | 28,6% | 71,4% | 0,0% | 0,0% | 0,0% | 0,0% | 0,0% |
| | | Déferlement | 1 | -5 | 100,0% | 0,0% | 0,0% | 0,0% | 0,0% | 0,0% | 0,0% |
| | | Réflexion | 6 | -3,333 | 16,7% | 83,3% | 0,0% | 0,0% | 0,0% | 0,0% | 0,0% |
| | | CInd Écosystémique | 1 | -5 | 100,0% | 0,0% | 0,0% | 0,0% | 0,0% | 0,0% | 0,0% |
| | | Biotope | 1 | -5 | 100,0% | 0,0% | 0,0% | 0,0% | 0,0% | 0,0% | 0,0% |
| | | Modification structurelle | 1 | -5 | 100,0% | 0,0% | 0,0% | 0,0% | 0,0% | 0,0% | 0,0% |
| 14 | Enrochement | Agr Écosystémique | 9 | -2,889 | 11,1% | 77,8% | 0,0% | 11,1% | 0,0% | 0,0% | 0,0% |
| | | EDir Écosystémique | 2 | -1,5 | 0,0% | 50,0% | 0,0% | 50,0% | 0,0% | 0,0% | 0,0% |
| | | Biocénose | 2 | -1,5 | 0,0% | 50,0% | 0,0% | 50,0% | 0,0% | 0,0% | 0,0% |
| | | Biocénose qualitative | 1 | 0 | 0,0% | 0,0% | 0,0% | 100,0% | 0,0% | 0,0% | 0,0% |

Identification d'ouvrages de protection côtière

Date : 2021-03-19

Cellule hydrosédimentaire :

version :

Groupe_0004

page :

60

| | | | | | | | | | | | |
|------|------------------------|---|--------|-------|--------|------|------|------|------|------|------|
| | Biocénose quantitative | 1 | -3 | 0,0% | 100,0% | 0,0% | 0,0% | 0,0% | 0,0% | 0,0% | 0,0% |
| CDir | Écosystémique | 1 | -3 | 0,0% | 100,0% | 0,0% | 0,0% | 0,0% | 0,0% | 0,0% | 0,0% |
| | Érosion/Accumulation | 6 | -3,333 | 16,7% | 83,3% | 0,0% | 0,0% | 0,0% | 0,0% | 0,0% | 0,0% |
| | Érosion | 1 | -3 | 0,0% | 100,0% | 0,0% | 0,0% | 0,0% | 0,0% | 0,0% | 0,0% |
| | Hauteur de plage | 1 | -3 | 0,0% | 100,0% | 0,0% | 0,0% | 0,0% | 0,0% | 0,0% | 0,0% |
| | Largeur de plage | 4 | -3,5 | 25,0% | 75,0% | 0,0% | 0,0% | 0,0% | 0,0% | 0,0% | 0,0% |
| | Sédiments | 1 | -3 | 0,0% | 100,0% | 0,0% | 0,0% | 0,0% | 0,0% | 0,0% | 0,0% |
| | Taille granulométrique | 1 | -3 | 0,0% | 100,0% | 0,0% | 0,0% | 0,0% | 0,0% | 0,0% | 0,0% |

Résultats détaillés

| Pos. | OPC | Niv. | Effet observé (effet social global) | N | Moy | -5 | -3 | -1 | 0 | 1 | 3 | 5 | |
|--------------------------|--------------------------------|------|---|-------|--------|------|-------|------|-------|-------|--------|-------|-------|
| 1 | Couches perméables de drainage | Agr | Services écologiques | 1 | 3 | 0,0% | 0,0% | 0,0% | 0,0% | 0,0% | 100,0% | 0,0% | |
| | | | Protection côtière | 1 | 3 | 0,0% | 0,0% | 0,0% | 0,0% | 0,0% | 100,0% | 0,0% | |
| | | | Érosion/Accumulation | 1 | 3 | 0,0% | 0,0% | 0,0% | 0,0% | 0,0% | 100,0% | 0,0% | |
| | | | Rétablissement géomorphologique | 1 | 3 | 0,0% | 0,0% | 0,0% | 0,0% | 0,0% | 100,0% | 0,0% | |
| | | | Fins récréatives ou de loisirs | 1 | 3 | 0,0% | 0,0% | 0,0% | 0,0% | 0,0% | 100,0% | 0,0% | |
| | | | Érosion/Accumulation | 1 | 3 | 0,0% | 0,0% | 0,0% | 0,0% | 0,0% | 100,0% | 0,0% | |
| | | | Rétablissement géomorphologique | 1 | 3 | 0,0% | 0,0% | 0,0% | 0,0% | 0,0% | 100,0% | 0,0% | |
| | | | Fins patrimoniales, symboliques, sacrée | 1 | 3 | 0,0% | 0,0% | 0,0% | 0,0% | 0,0% | 100,0% | 0,0% | |
| | | | Érosion/Accumulation | 1 | 3 | 0,0% | 0,0% | 0,0% | 0,0% | 0,0% | 100,0% | 0,0% | |
| | | | Rétablissement géomorphologique | 1 | 3 | 0,0% | 0,0% | 0,0% | 0,0% | 0,0% | 100,0% | 0,0% | |
| 2 | Ganivelle | Agr | Services écologiques | 17 | 2,5294 | 0,0% | 11,8% | 0,0% | 0,0% | 5,9% | 64,7% | 17,6% | |
| | | | Fins alimentaires | 2 | 0 | 0,0% | 50,0% | 0,0% | 0,0% | 0,0% | 50,0% | 0,0% | |
| | | | Profil topobathymétrique | 2 | 0 | 0,0% | 50,0% | 0,0% | 0,0% | 0,0% | 50,0% | 0,0% | |
| | | | Topographie | 2 | 0 | 0,0% | 50,0% | 0,0% | 0,0% | 0,0% | 50,0% | 0,0% | |
| | | | Maintenance du cycle de vie | 2 | 0 | 0,0% | 50,0% | 0,0% | 0,0% | 0,0% | 50,0% | 0,0% | |
| | | | Profil topobathymétrique | 2 | 0 | 0,0% | 50,0% | 0,0% | 0,0% | 0,0% | 50,0% | 0,0% | |
| | | | Topographie | 2 | 0 | 0,0% | 50,0% | 0,0% | 0,0% | 0,0% | 50,0% | 0,0% | |
| | | | Protection côtière | 17 | 2,5294 | 0,0% | 11,8% | 0,0% | 0,0% | 0,0% | 5,9% | 64,7% | 17,6% |
| | | | Érosion/Accumulation | 15 | 2,8667 | 0,0% | 6,7% | 0,0% | 0,0% | 0,0% | 6,7% | 66,7% | 20,0% |
| | | | Accumulation sédimentaire | 10 | 3,2 | 0,0% | 0,0% | 0,0% | 0,0% | 0,0% | 10,0% | 70,0% | 20,0% |
| | | | Largeur de plage | 2 | 4 | 0,0% | 0,0% | 0,0% | 0,0% | 0,0% | 0,0% | 50,0% | 50,0% |
| | | | Rétention sédimentaire | 3 | 1 | 0,0% | 33,3% | 0,0% | 0,0% | 0,0% | 0,0% | 66,7% | 0,0% |
| | | | Profil topobathymétrique | 2 | 0 | 0,0% | 50,0% | 0,0% | 0,0% | 0,0% | 0,0% | 50,0% | 0,0% |
| | | | Topographie | 2 | 0 | 0,0% | 50,0% | 0,0% | 0,0% | 0,0% | 0,0% | 50,0% | 0,0% |
| | | | Fins récréatives ou de loisirs | 17 | 2,5294 | 0,0% | 11,8% | 0,0% | 0,0% | 0,0% | 5,9% | 64,7% | 17,6% |
| | | | Érosion/Accumulation | 15 | 2,8667 | 0,0% | 6,7% | 0,0% | 0,0% | 0,0% | 6,7% | 66,7% | 20,0% |
| | | | Accumulation sédimentaire | 10 | 3,2 | 0,0% | 0,0% | 0,0% | 0,0% | 0,0% | 10,0% | 70,0% | 20,0% |
| | | | Largeur de plage | 2 | 4 | 0,0% | 0,0% | 0,0% | 0,0% | 0,0% | 0,0% | 50,0% | 50,0% |
| | | | Rétention sédimentaire | 3 | 1 | 0,0% | 33,3% | 0,0% | 0,0% | 0,0% | 0,0% | 66,7% | 0,0% |
| | | | Profil topobathymétrique | 2 | 0 | 0,0% | 50,0% | 0,0% | 0,0% | 0,0% | 0,0% | 50,0% | 0,0% |
| | | | Topographie | 2 | 0 | 0,0% | 50,0% | 0,0% | 0,0% | 0,0% | 0,0% | 50,0% | 0,0% |
| | | | Fins patrimoniales, symboliques, sacrée | 17 | 2,5294 | 0,0% | 11,8% | 0,0% | 0,0% | 0,0% | 5,9% | 64,7% | 17,6% |
| | | | Érosion/Accumulation | 15 | 2,8667 | 0,0% | 6,7% | 0,0% | 0,0% | 0,0% | 6,7% | 66,7% | 20,0% |
| | | | Accumulation sédimentaire | 10 | 3,2 | 0,0% | 0,0% | 0,0% | 0,0% | 0,0% | 10,0% | 70,0% | 20,0% |
| Largeur de plage | 2 | 4 | 0,0% | 0,0% | 0,0% | 0,0% | 0,0% | 0,0% | 50,0% | 50,0% | | | |
| Rétention sédimentaire | 3 | 1 | 0,0% | 33,3% | 0,0% | 0,0% | 0,0% | 0,0% | 66,7% | 0,0% | | | |
| Profil topobathymétrique | 2 | 0 | 0,0% | 50,0% | 0,0% | 0,0% | 0,0% | 0,0% | 50,0% | 0,0% | | | |
| Topographie | 2 | 0 | 0,0% | 50,0% | 0,0% | 0,0% | 0,0% | 0,0% | 50,0% | 0,0% | | | |
| 3 | Végétalisation | Agr | Services écologiques | 138 | 2,413 | 1,4% | 5,8% | 2,2% | 5,1% | 6,5% | 66,7% | 12,3% | |

Identification d'ouvrages de protection cotiere

Date : 2021-03-19

Cellule hydrosédimentaire :

version :

Groupe_0004

page :

61

| | | | | | | | | | |
|---------------------------------|-----|--------|-------|--------|-------|--------|-------|--------|-------|
| Fins alimentaires | 58 | 2,1724 | 3,4% | 8,6% | 3,4% | 3,4% | 6,9% | 56,9% | 17,2% |
| Profil topobathymétrique | 1 | 3 | 0,0% | 0,0% | 0,0% | 0,0% | 0,0% | 100,0% | 0,0% |
| Profil de plage | 1 | 3 | 0,0% | 0,0% | 0,0% | 0,0% | 0,0% | 100,0% | 0,0% |
| Sédiments | 1 | 0 | 0,0% | 0,0% | 0,0% | 100,0% | 0,0% | 0,0% | 0,0% |
| Redistribution granulométrique | 1 | 0 | 0,0% | 0,0% | 0,0% | 100,0% | 0,0% | 0,0% | 0,0% |
| Processus dissipation | 37 | 3,0811 | 0,0% | 2,7% | 0,0% | 2,7% | 5,4% | 67,6% | 21,6% |
| Énergie des vagues | 28 | 2,9643 | 0,0% | 3,6% | 0,0% | 3,6% | 7,1% | 64,3% | 21,4% |
| Hauteur de vagues | 9 | 3,4444 | 0,0% | 0,0% | 0,0% | 0,0% | 0,0% | 77,8% | 22,2% |
| Biocénose | 19 | 0,4737 | 10,5% | 21,1% | 10,5% | 0,0% | 10,5% | 36,8% | 10,5% |
| Autres | 1 | -3 | 0,0% | 100,0% | 0,0% | 0,0% | 0,0% | 0,0% | 0,0% |
| Biocénose qualitative | 4 | 0 | 0,0% | 25,0% | 25,0% | 0,0% | 25,0% | 25,0% | 0,0% |
| Biocénose quantitative | 14 | 0,8571 | 14,3% | 14,3% | 7,1% | 0,0% | 7,1% | 42,9% | 14,3% |
| Maintenance du cycle de vie | 58 | 2,1724 | 3,4% | 8,6% | 3,4% | 3,4% | 6,9% | 56,9% | 17,2% |
| Profil topobathymétrique | 1 | 3 | 0,0% | 0,0% | 0,0% | 0,0% | 0,0% | 100,0% | 0,0% |
| Profil de plage | 1 | 3 | 0,0% | 0,0% | 0,0% | 0,0% | 0,0% | 100,0% | 0,0% |
| Sédiments | 1 | 0 | 0,0% | 0,0% | 0,0% | 100,0% | 0,0% | 0,0% | 0,0% |
| Redistribution granulométrique | 1 | 0 | 0,0% | 0,0% | 0,0% | 100,0% | 0,0% | 0,0% | 0,0% |
| Processus dissipation | 37 | 3,0811 | 0,0% | 2,7% | 0,0% | 2,7% | 5,4% | 67,6% | 21,6% |
| Énergie des vagues | 28 | 2,9643 | 0,0% | 3,6% | 0,0% | 3,6% | 7,1% | 64,3% | 21,4% |
| Hauteur de vagues | 9 | 3,4444 | 0,0% | 0,0% | 0,0% | 0,0% | 0,0% | 77,8% | 22,2% |
| Biocénose | 19 | 0,4737 | 10,5% | 21,1% | 10,5% | 0,0% | 10,5% | 36,8% | 10,5% |
| Autres | 1 | -3 | 0,0% | 100,0% | 0,0% | 0,0% | 0,0% | 0,0% | 0,0% |
| Biocénose qualitative | 4 | 0 | 0,0% | 25,0% | 25,0% | 0,0% | 25,0% | 25,0% | 0,0% |
| Biocénose quantitative | 14 | 0,8571 | 14,3% | 14,3% | 7,1% | 0,0% | 7,1% | 42,9% | 14,3% |
| Purification de l'eau | 44 | 2,8864 | 0,0% | 4,5% | 2,3% | 2,3% | 4,5% | 65,9% | 20,5% |
| Courant | 7 | 1,8571 | 0,0% | 14,3% | 14,3% | 0,0% | 0,0% | 57,1% | 14,3% |
| Circulation | 6 | 1,6667 | 0,0% | 16,7% | 16,7% | 0,0% | 0,0% | 50,0% | 16,7% |
| Courant transversaux | 1 | 3 | 0,0% | 0,0% | 0,0% | 0,0% | 0,0% | 100,0% | 0,0% |
| Processus dissipation | 37 | 3,0811 | 0,0% | 2,7% | 0,0% | 2,7% | 5,4% | 67,6% | 21,6% |
| Énergie des vagues | 28 | 2,9643 | 0,0% | 3,6% | 0,0% | 3,6% | 7,1% | 64,3% | 21,4% |
| Hauteur de vagues | 9 | 3,4444 | 0,0% | 0,0% | 0,0% | 0,0% | 0,0% | 77,8% | 22,2% |
| Protection côtière | 119 | 2,7227 | 0,0% | 3,4% | 0,8% | 5,9% | 5,9% | 71,4% | 12,6% |
| Érosion/Accumulation | 50 | 2,7 | 0,0% | 2,0% | 0,0% | 6,0% | 10,0% | 72,0% | 10,0% |
| Accumulation sédimentaire | 19 | 2,8421 | 0,0% | 0,0% | 0,0% | 5,3% | 10,5% | 73,7% | 10,5% |
| Bilan sédimentaire | 2 | 3 | 0,0% | 0,0% | 0,0% | 0,0% | 0,0% | 100,0% | 0,0% |
| Érosion | 25 | 2,52 | 0,0% | 4,0% | 0,0% | 8,0% | 12,0% | 64,0% | 12,0% |
| Largeur de plage | 1 | 3 | 0,0% | 0,0% | 0,0% | 0,0% | 0,0% | 100,0% | 0,0% |
| Rétablissement géomorphologique | 2 | 3 | 0,0% | 0,0% | 0,0% | 0,0% | 0,0% | 100,0% | 0,0% |
| Rétention sédimentaire | 1 | 3 | 0,0% | 0,0% | 0,0% | 0,0% | 0,0% | 100,0% | 0,0% |
| Profil topobathymétrique | 1 | 3 | 0,0% | 0,0% | 0,0% | 0,0% | 0,0% | 100,0% | 0,0% |
| Profil de plage | 1 | 3 | 0,0% | 0,0% | 0,0% | 0,0% | 0,0% | 100,0% | 0,0% |
| Transport sédimentaire | 6 | 2 | 0,0% | 16,7% | 0,0% | 0,0% | 0,0% | 83,3% | 0,0% |
| Transport sédimentaire général | 4 | 3 | 0,0% | 0,0% | 0,0% | 0,0% | 0,0% | 100,0% | 0,0% |
| Transport transversal | 2 | 0 | 0,0% | 50,0% | 0,0% | 0,0% | 0,0% | 50,0% | 0,0% |
| Courant | 7 | 1,8571 | 0,0% | 14,3% | 14,3% | 0,0% | 0,0% | 57,1% | 14,3% |
| Circulation | 6 | 1,6667 | 0,0% | 16,7% | 16,7% | 0,0% | 0,0% | 50,0% | 16,7% |
| Courant transversaux | 1 | 3 | 0,0% | 0,0% | 0,0% | 0,0% | 0,0% | 100,0% | 0,0% |
| Jet de rive | 17 | 2,7647 | 0,0% | 0,0% | 0,0% | 11,8% | 0,0% | 82,4% | 5,9% |
| Backwash/Swash | 3 | 3 | 0,0% | 0,0% | 0,0% | 0,0% | 0,0% | 100,0% | 0,0% |

Identification d'ouvrages de protection côtière

Date : 2021-03-19

Cellule hydrosédimentaire :

version :

Groupe_0004

page :

62

| | | | | | | | | | |
|---|-----|--------|------|-------|-------|--------|-------|--------|-------|
| Franchissement | 10 | 2,4 | 0,0% | 0,0% | 0,0% | 20,0% | 0,0% | 80,0% | 0,0% |
| Run-up | 4 | 3,5 | 0,0% | 0,0% | 0,0% | 0,0% | 0,0% | 75,0% | 25,0% |
| Processus dissipation | 37 | 3,0811 | 0,0% | 2,7% | 0,0% | 2,7% | 5,4% | 67,6% | 21,6% |
| Énergie des vagues | 28 | 2,9643 | 0,0% | 3,6% | 0,0% | 3,6% | 7,1% | 64,3% | 21,4% |
| Hauteur de vagues | 9 | 3,4444 | 0,0% | 0,0% | 0,0% | 0,0% | 0,0% | 77,8% | 22,2% |
| Sédiments | 1 | 0 | 0,0% | 0,0% | 0,0% | 100,0% | 0,0% | 0,0% | 0,0% |
| Redistribution granulométrique | 1 | 0 | 0,0% | 0,0% | 0,0% | 100,0% | 0,0% | 0,0% | 0,0% |
| Fins récréatives ou de loisirs | 118 | 2,7458 | 0,0% | 3,4% | 0,8% | 5,1% | 5,9% | 72,0% | 12,7% |
| Érosion/Accumulation | 50 | 2,7 | 0,0% | 2,0% | 0,0% | 6,0% | 10,0% | 72,0% | 10,0% |
| Accumulation sédimentaire | 19 | 2,8421 | 0,0% | 0,0% | 0,0% | 5,3% | 10,5% | 73,7% | 10,5% |
| Bilan sédimentaire | 2 | 3 | 0,0% | 0,0% | 0,0% | 0,0% | 0,0% | 100,0% | 0,0% |
| Érosion | 25 | 2,52 | 0,0% | 4,0% | 0,0% | 8,0% | 12,0% | 64,0% | 12,0% |
| Largeur de plage | 1 | 3 | 0,0% | 0,0% | 0,0% | 0,0% | 0,0% | 100,0% | 0,0% |
| Rétablissement géomorphologique | 2 | 3 | 0,0% | 0,0% | 0,0% | 0,0% | 0,0% | 100,0% | 0,0% |
| Rétention sédimentaire | 1 | 3 | 0,0% | 0,0% | 0,0% | 0,0% | 0,0% | 100,0% | 0,0% |
| Profil topobathymétrique | 1 | 3 | 0,0% | 0,0% | 0,0% | 0,0% | 0,0% | 100,0% | 0,0% |
| Profil de plage | 1 | 3 | 0,0% | 0,0% | 0,0% | 0,0% | 0,0% | 100,0% | 0,0% |
| Transport sédimentaire | 6 | 2 | 0,0% | 16,7% | 0,0% | 0,0% | 0,0% | 83,3% | 0,0% |
| Transport sédimentaire général | 4 | 3 | 0,0% | 0,0% | 0,0% | 0,0% | 0,0% | 100,0% | 0,0% |
| Transport transversal | 2 | 0 | 0,0% | 50,0% | 0,0% | 0,0% | 0,0% | 50,0% | 0,0% |
| Courant | 7 | 1,8571 | 0,0% | 14,3% | 14,3% | 0,0% | 0,0% | 57,1% | 14,3% |
| Circulation | 6 | 1,6667 | 0,0% | 16,7% | 16,7% | 0,0% | 0,0% | 50,0% | 16,7% |
| Courant transversaux | 1 | 3 | 0,0% | 0,0% | 0,0% | 0,0% | 0,0% | 100,0% | 0,0% |
| Jet de rive | 17 | 2,7647 | 0,0% | 0,0% | 0,0% | 11,8% | 0,0% | 82,4% | 5,9% |
| Backwash/Swash | 3 | 3 | 0,0% | 0,0% | 0,0% | 0,0% | 0,0% | 100,0% | 0,0% |
| Franchissement | 10 | 2,4 | 0,0% | 0,0% | 0,0% | 20,0% | 0,0% | 80,0% | 0,0% |
| Run-up | 4 | 3,5 | 0,0% | 0,0% | 0,0% | 0,0% | 0,0% | 75,0% | 25,0% |
| Processus dissipation | 37 | 3,0811 | 0,0% | 2,7% | 0,0% | 2,7% | 5,4% | 67,6% | 21,6% |
| Énergie des vagues | 28 | 2,9643 | 0,0% | 3,6% | 0,0% | 3,6% | 7,1% | 64,3% | 21,4% |
| Hauteur de vagues | 9 | 3,4444 | 0,0% | 0,0% | 0,0% | 0,0% | 0,0% | 77,8% | 22,2% |
| Fins patrimoniales, symboliques, sacrée | 81 | 2,5926 | 0,0% | 3,7% | 1,2% | 6,2% | 6,2% | 74,1% | 8,6% |
| Érosion/Accumulation | 50 | 2,7 | 0,0% | 2,0% | 0,0% | 6,0% | 10,0% | 72,0% | 10,0% |
| Accumulation sédimentaire | 19 | 2,8421 | 0,0% | 0,0% | 0,0% | 5,3% | 10,5% | 73,7% | 10,5% |
| Bilan sédimentaire | 2 | 3 | 0,0% | 0,0% | 0,0% | 0,0% | 0,0% | 100,0% | 0,0% |
| Érosion | 25 | 2,52 | 0,0% | 4,0% | 0,0% | 8,0% | 12,0% | 64,0% | 12,0% |
| Largeur de plage | 1 | 3 | 0,0% | 0,0% | 0,0% | 0,0% | 0,0% | 100,0% | 0,0% |
| Rétablissement géomorphologique | 2 | 3 | 0,0% | 0,0% | 0,0% | 0,0% | 0,0% | 100,0% | 0,0% |
| Rétention sédimentaire | 1 | 3 | 0,0% | 0,0% | 0,0% | 0,0% | 0,0% | 100,0% | 0,0% |
| Profil topobathymétrique | 1 | 3 | 0,0% | 0,0% | 0,0% | 0,0% | 0,0% | 100,0% | 0,0% |
| Profil de plage | 1 | 3 | 0,0% | 0,0% | 0,0% | 0,0% | 0,0% | 100,0% | 0,0% |
| Transport sédimentaire | 6 | 2 | 0,0% | 16,7% | 0,0% | 0,0% | 0,0% | 83,3% | 0,0% |
| Transport sédimentaire général | 4 | 3 | 0,0% | 0,0% | 0,0% | 0,0% | 0,0% | 100,0% | 0,0% |
| Transport transversal | 2 | 0 | 0,0% | 50,0% | 0,0% | 0,0% | 0,0% | 50,0% | 0,0% |
| Courant | 7 | 1,8571 | 0,0% | 14,3% | 14,3% | 0,0% | 0,0% | 57,1% | 14,3% |
| Circulation | 6 | 1,6667 | 0,0% | 16,7% | 16,7% | 0,0% | 0,0% | 50,0% | 16,7% |
| Courant transversaux | 1 | 3 | 0,0% | 0,0% | 0,0% | 0,0% | 0,0% | 100,0% | 0,0% |
| Jet de rive | 17 | 2,7647 | 0,0% | 0,0% | 0,0% | 11,8% | 0,0% | 82,4% | 5,9% |
| Backwash/Swash | 3 | 3 | 0,0% | 0,0% | 0,0% | 0,0% | 0,0% | 100,0% | 0,0% |
| Franchissement | 10 | 2,4 | 0,0% | 0,0% | 0,0% | 20,0% | 0,0% | 80,0% | 0,0% |

Identification d'ouvrages de protection côtière

Date : 2021-03-19

Cellule hydrosédimentaire :

version :

Groupe_0004

page :

63

| | | | | | | | | | | | | |
|---|--------------------------|-----|---|------|--------|------|--------|------|--------|-------|--------|-------|
| 4 | Recharge de dune | | Run-up | 4 | 3,5 | 0,0% | 0,0% | 0,0% | 0,0% | 0,0% | 75,0% | 25,0% |
| | | Agr | Services écologiques | 4 | 2,25 | 0,0% | 0,0% | 0,0% | 25,0% | 0,0% | 75,0% | 0,0% |
| | | | Fins alimentaires | 2 | 3 | 0,0% | 0,0% | 0,0% | 0,0% | 0,0% | 100,0% | 0,0% |
| | | | Profil topobathymétrique | 2 | 3 | 0,0% | 0,0% | 0,0% | 0,0% | 0,0% | 100,0% | 0,0% |
| | | | Profil de plage | 2 | 3 | 0,0% | 0,0% | 0,0% | 0,0% | 0,0% | 100,0% | 0,0% |
| | | | Maintenance du cycle de vie | 2 | 3 | 0,0% | 0,0% | 0,0% | 0,0% | 0,0% | 100,0% | 0,0% |
| | | | Profil topobathymétrique | 2 | 3 | 0,0% | 0,0% | 0,0% | 0,0% | 0,0% | 100,0% | 0,0% |
| | | | Profil de plage | 2 | 3 | 0,0% | 0,0% | 0,0% | 0,0% | 0,0% | 100,0% | 0,0% |
| | | | Protection côtière | 4 | 2,25 | 0,0% | 0,0% | 0,0% | 25,0% | 0,0% | 75,0% | 0,0% |
| | | | Érosion/Accumulation | 2 | 1,5 | 0,0% | 0,0% | 0,0% | 50,0% | 0,0% | 50,0% | 0,0% |
| | | | Bilan sédimentaire | 1 | 3 | 0,0% | 0,0% | 0,0% | 0,0% | 0,0% | 100,0% | 0,0% |
| | | | Érosion | 1 | 0 | 0,0% | 0,0% | 0,0% | 100,0% | 0,0% | 0,0% | 0,0% |
| | | | Profil topobathymétrique | 2 | 3 | 0,0% | 0,0% | 0,0% | 0,0% | 0,0% | 100,0% | 0,0% |
| | | | Profil de plage | 2 | 3 | 0,0% | 0,0% | 0,0% | 0,0% | 0,0% | 100,0% | 0,0% |
| | | | Fins récréatives ou de loisirs | 4 | 2,25 | 0,0% | 0,0% | 0,0% | 25,0% | 0,0% | 75,0% | 0,0% |
| | | | Érosion/Accumulation | 2 | 1,5 | 0,0% | 0,0% | 0,0% | 50,0% | 0,0% | 50,0% | 0,0% |
| | | | Bilan sédimentaire | 1 | 3 | 0,0% | 0,0% | 0,0% | 0,0% | 0,0% | 100,0% | 0,0% |
| | | | Érosion | 1 | 0 | 0,0% | 0,0% | 0,0% | 100,0% | 0,0% | 0,0% | 0,0% |
| | | | Profil topobathymétrique | 2 | 3 | 0,0% | 0,0% | 0,0% | 0,0% | 0,0% | 100,0% | 0,0% |
| | | | Profil de plage | 2 | 3 | 0,0% | 0,0% | 0,0% | 0,0% | 0,0% | 100,0% | 0,0% |
| | | | Fins patrimoniales, symboliques, sacrée | 4 | 2,25 | 0,0% | 0,0% | 0,0% | 25,0% | 0,0% | 75,0% | 0,0% |
| | | | Érosion/Accumulation | 2 | 1,5 | 0,0% | 0,0% | 0,0% | 50,0% | 0,0% | 50,0% | 0,0% |
| | | | Bilan sédimentaire | 1 | 3 | 0,0% | 0,0% | 0,0% | 0,0% | 0,0% | 100,0% | 0,0% |
| | | | Érosion | 1 | 0 | 0,0% | 0,0% | 0,0% | 100,0% | 0,0% | 0,0% | 0,0% |
| | Profil topobathymétrique | 2 | 3 | 0,0% | 0,0% | 0,0% | 0,0% | 0,0% | 100,0% | 0,0% | | |
| | Profil de plage | 2 | 3 | 0,0% | 0,0% | 0,0% | 0,0% | 0,0% | 100,0% | 0,0% | | |
| 5 | Recharge d'avant-plage | Agr | Services écologiques | 21 | 1,9524 | 0,0% | 4,8% | 0,0% | 19,0% | 14,3% | 57,1% | 4,8% |
| | | | Fins alimentaires | 6 | 1,1667 | 0,0% | 16,7% | 0,0% | 16,7% | 16,7% | 50,0% | 0,0% |
| | | | Profil topobathymétrique | 3 | 1,3333 | 0,0% | 0,0% | 0,0% | 33,3% | 33,3% | 33,3% | 0,0% |
| | | | Profil de plage | 2 | 0,5 | 0,0% | 0,0% | 0,0% | 50,0% | 50,0% | 0,0% | 0,0% |
| | | | Système de barres | 1 | 3 | 0,0% | 0,0% | 0,0% | 0,0% | 0,0% | 100,0% | 0,0% |
| | | | Biocénose | 3 | 1 | 0,0% | 33,3% | 0,0% | 0,0% | 0,0% | 66,7% | 0,0% |
| | | | Biocénose qualitative | 1 | -3 | 0,0% | 100,0% | 0,0% | 0,0% | 0,0% | 0,0% | 0,0% |
| | | | Biocénose quantitative | 2 | 3 | 0,0% | 0,0% | 0,0% | 0,0% | 0,0% | 100,0% | 0,0% |
| | | | Maintenance du cycle de vie | 6 | 1,1667 | 0,0% | 16,7% | 0,0% | 16,7% | 16,7% | 50,0% | 0,0% |
| | | | Profil topobathymétrique | 3 | 1,3333 | 0,0% | 0,0% | 0,0% | 33,3% | 33,3% | 33,3% | 0,0% |
| | | | Profil de plage | 2 | 0,5 | 0,0% | 0,0% | 0,0% | 50,0% | 50,0% | 0,0% | 0,0% |
| | | | Système de barres | 1 | 3 | 0,0% | 0,0% | 0,0% | 0,0% | 0,0% | 100,0% | 0,0% |
| | | | Biocénose | 3 | 1 | 0,0% | 33,3% | 0,0% | 0,0% | 0,0% | 66,7% | 0,0% |
| | | | Biocénose qualitative | 1 | -3 | 0,0% | 100,0% | 0,0% | 0,0% | 0,0% | 0,0% | 0,0% |
| | | | Biocénose quantitative | 2 | 3 | 0,0% | 0,0% | 0,0% | 0,0% | 0,0% | 100,0% | 0,0% |
| | | | Purification de l'eau | 1 | 3 | 0,0% | 0,0% | 0,0% | 0,0% | 0,0% | 100,0% | 0,0% |
| | | | Processus dissipation | 1 | 3 | 0,0% | 0,0% | 0,0% | 0,0% | 0,0% | 100,0% | 0,0% |
| | | | Déferlement | 1 | 3 | 0,0% | 0,0% | 0,0% | 0,0% | 0,0% | 100,0% | 0,0% |
| | | | Protection côtière | 17 | 2,1765 | 0,0% | 0,0% | 0,0% | 23,5% | 11,8% | 58,8% | 5,9% |
| | | | Érosion/Accumulation | 12 | 2,25 | 0,0% | 0,0% | 0,0% | 25,0% | 8,3% | 58,3% | 8,3% |
| | | | Accumulation sédimentaire | 5 | 3,4 | 0,0% | 0,0% | 0,0% | 0,0% | 0,0% | 80,0% | 20,0% |
| | | | Bilan sédimentaire | 3 | 1,3333 | 0,0% | 0,0% | 0,0% | 33,3% | 33,3% | 33,3% | 0,0% |
| | | | Déplacement du trait de côte | 3 | 1 | 0,0% | 0,0% | 0,0% | 66,7% | 0,0% | 33,3% | 0,0% |

Identification d'ouvrages de protection côtière

Date : 2021-03-19

Cellule hydrosédimentaire :

version :

Groupe_0004

page :

64

| | | | | | | | | | | | | |
|---|---|-----|----------------------|------|--------|-------|-------|--------|--------|-------|-------|-------|
| | Largeur de plage | 1 | 3 | 0,0% | 0,0% | 0,0% | 0,0% | 0,0% | 100,0% | 0,0% | | |
| | Profil topobathymétrique | 3 | 1,3333 | 0,0% | 0,0% | 0,0% | 33,3% | 33,3% | 33,3% | 0,0% | | |
| | Profil de plage | 2 | 0,5 | 0,0% | 0,0% | 0,0% | 50,0% | 50,0% | 0,0% | 0,0% | | |
| | Système de barres | 1 | 3 | 0,0% | 0,0% | 0,0% | 0,0% | 0,0% | 100,0% | 0,0% | | |
| | Transport sédimentaire | 1 | 3 | 0,0% | 0,0% | 0,0% | 0,0% | 0,0% | 100,0% | 0,0% | | |
| | Transport longitudinal | 1 | 3 | 0,0% | 0,0% | 0,0% | 0,0% | 0,0% | 100,0% | 0,0% | | |
| | Processus dissipation | 1 | 3 | 0,0% | 0,0% | 0,0% | 0,0% | 0,0% | 100,0% | 0,0% | | |
| | Déferlement | 1 | 3 | 0,0% | 0,0% | 0,0% | 0,0% | 0,0% | 100,0% | 0,0% | | |
| | Fins récréatives ou de loisirs | 18 | 2,1111 | 0,0% | 0,0% | 0,0% | 22,2% | 16,7% | 55,6% | 5,6% | | |
| | Érosion/Accumulation | 12 | 2,25 | 0,0% | 0,0% | 0,0% | 25,0% | 8,3% | 58,3% | 8,3% | | |
| | Accumulation sédimentaire | 5 | 3,4 | 0,0% | 0,0% | 0,0% | 0,0% | 0,0% | 80,0% | 20,0% | | |
| | Bilan sédimentaire | 3 | 1,3333 | 0,0% | 0,0% | 0,0% | 33,3% | 33,3% | 33,3% | 0,0% | | |
| | Déplacement du trait de côte | 3 | 1 | 0,0% | 0,0% | 0,0% | 66,7% | 0,0% | 33,3% | 0,0% | | |
| | Largeur de plage | 1 | 3 | 0,0% | 0,0% | 0,0% | 0,0% | 0,0% | 100,0% | 0,0% | | |
| | Profil topobathymétrique | 3 | 1,3333 | 0,0% | 0,0% | 0,0% | 33,3% | 33,3% | 33,3% | 0,0% | | |
| | Profil de plage | 2 | 0,5 | 0,0% | 0,0% | 0,0% | 50,0% | 50,0% | 0,0% | 0,0% | | |
| | Système de barres | 1 | 3 | 0,0% | 0,0% | 0,0% | 0,0% | 0,0% | 100,0% | 0,0% | | |
| | Transport sédimentaire | 1 | 3 | 0,0% | 0,0% | 0,0% | 0,0% | 0,0% | 100,0% | 0,0% | | |
| | Transport longitudinal | 1 | 3 | 0,0% | 0,0% | 0,0% | 0,0% | 0,0% | 100,0% | 0,0% | | |
| | Pratique de loisirs | 1 | 1 | 0,0% | 0,0% | 0,0% | 0,0% | 100,0% | 0,0% | 0,0% | | |
| | Loisirs aquatiques côtiers | 1 | 1 | 0,0% | 0,0% | 0,0% | 0,0% | 100,0% | 0,0% | 0,0% | | |
| | Processus dissipation | 1 | 3 | 0,0% | 0,0% | 0,0% | 0,0% | 0,0% | 100,0% | 0,0% | | |
| | Déferlement | 1 | 3 | 0,0% | 0,0% | 0,0% | 0,0% | 0,0% | 100,0% | 0,0% | | |
| | Fins patrimoniales, symboliques, sacrée | 16 | 2,125 | 0,0% | 0,0% | 0,0% | 25,0% | 12,5% | 56,3% | 6,3% | | |
| | Érosion/Accumulation | 12 | 2,25 | 0,0% | 0,0% | 0,0% | 25,0% | 8,3% | 58,3% | 8,3% | | |
| | Accumulation sédimentaire | 5 | 3,4 | 0,0% | 0,0% | 0,0% | 0,0% | 0,0% | 80,0% | 20,0% | | |
| | Bilan sédimentaire | 3 | 1,3333 | 0,0% | 0,0% | 0,0% | 33,3% | 33,3% | 33,3% | 0,0% | | |
| | Déplacement du trait de côte | 3 | 1 | 0,0% | 0,0% | 0,0% | 66,7% | 0,0% | 33,3% | 0,0% | | |
| | Largeur de plage | 1 | 3 | 0,0% | 0,0% | 0,0% | 0,0% | 0,0% | 100,0% | 0,0% | | |
| | Profil topobathymétrique | 3 | 1,3333 | 0,0% | 0,0% | 0,0% | 33,3% | 33,3% | 33,3% | 0,0% | | |
| | Profil de plage | 2 | 0,5 | 0,0% | 0,0% | 0,0% | 50,0% | 50,0% | 0,0% | 0,0% | | |
| | Système de barres | 1 | 3 | 0,0% | 0,0% | 0,0% | 0,0% | 0,0% | 100,0% | 0,0% | | |
| | Transport sédimentaire | 1 | 3 | 0,0% | 0,0% | 0,0% | 0,0% | 0,0% | 100,0% | 0,0% | | |
| | Transport longitudinal | 1 | 3 | 0,0% | 0,0% | 0,0% | 0,0% | 0,0% | 100,0% | 0,0% | | |
| 6 | Épi perméable | Agr | Services écologiques | 18 | 1,7222 | 5,6% | 11,1% | 5,6% | 5,6% | 0,0% | 61,1% | 11,1% |
| | Fins alimentaires | 5 | 2,2 | 0,0% | 0,0% | 20,0% | 0,0% | 0,0% | 80,0% | 0,0% | | |
| | Profil topobathymétrique | 3 | 1,6667 | 0,0% | 0,0% | 33,3% | 0,0% | 0,0% | 66,7% | 0,0% | | |
| | Système de barres | 2 | 1 | 0,0% | 0,0% | 50,0% | 0,0% | 0,0% | 50,0% | 0,0% | | |
| | Variation bathymétrique généralisé | 1 | 3 | 0,0% | 0,0% | 0,0% | 0,0% | 0,0% | 100,0% | 0,0% | | |
| | Processus dissipation | 2 | 3 | 0,0% | 0,0% | 0,0% | 0,0% | 0,0% | 100,0% | 0,0% | | |
| | Énergie des vagues | 1 | 3 | 0,0% | 0,0% | 0,0% | 0,0% | 0,0% | 100,0% | 0,0% | | |
| | Réfraction | 1 | 3 | 0,0% | 0,0% | 0,0% | 0,0% | 0,0% | 100,0% | 0,0% | | |
| | Maintenance du cycle de vie | 5 | 2,2 | 0,0% | 0,0% | 20,0% | 0,0% | 0,0% | 80,0% | 0,0% | | |
| | Profil topobathymétrique | 3 | 1,6667 | 0,0% | 0,0% | 33,3% | 0,0% | 0,0% | 66,7% | 0,0% | | |
| | Système de barres | 2 | 1 | 0,0% | 0,0% | 50,0% | 0,0% | 0,0% | 50,0% | 0,0% | | |
| | Variation bathymétrique généralisé | 1 | 3 | 0,0% | 0,0% | 0,0% | 0,0% | 0,0% | 100,0% | 0,0% | | |
| | Processus dissipation | 2 | 3 | 0,0% | 0,0% | 0,0% | 0,0% | 0,0% | 100,0% | 0,0% | | |
| | Énergie des vagues | 1 | 3 | 0,0% | 0,0% | 0,0% | 0,0% | 0,0% | 100,0% | 0,0% | | |
| | Réfraction | 1 | 3 | 0,0% | 0,0% | 0,0% | 0,0% | 0,0% | 100,0% | 0,0% | | |

Identification d'ouvrages de protection côtière

Date : 2021-03-19

Cellule hydrosédimentaire :

version :

Groupe_0004

page :

65

| | | | | | | | | | |
|---|----|--------|-------|-------|-------|-------|------|--------|--------|
| Purification de l'eau | 6 | 0,6667 | 16,7% | 16,7% | 0,0% | 0,0% | 0,0% | 66,7% | 0,0% |
| Courant | 3 | -1,667 | 33,3% | 33,3% | 0,0% | 0,0% | 0,0% | 33,3% | 0,0% |
| Courant d'arrachement | 2 | -4 | 50,0% | 50,0% | 0,0% | 0,0% | 0,0% | 0,0% | 0,0% |
| Dérive littorale | 1 | 3 | 0,0% | 0,0% | 0,0% | 0,0% | 0,0% | 100,0% | 0,0% |
| Processus dissipation | 3 | 3 | 0,0% | 0,0% | 0,0% | 0,0% | 0,0% | 100,0% | 0,0% |
| Déferlement | 1 | 3 | 0,0% | 0,0% | 0,0% | 0,0% | 0,0% | 100,0% | 0,0% |
| Énergie des vagues | 1 | 3 | 0,0% | 0,0% | 0,0% | 0,0% | 0,0% | 100,0% | 0,0% |
| Réfraction | 1 | 3 | 0,0% | 0,0% | 0,0% | 0,0% | 0,0% | 100,0% | 0,0% |
| Protection côtière | 17 | 1,5294 | 5,9% | 11,8% | 5,9% | 5,9% | 0,0% | 64,7% | 5,9% |
| Érosion/Accumulation | 7 | 2 | 0,0% | 14,3% | 0,0% | 14,3% | 0,0% | 57,1% | 14,3% |
| Bilan sédimentaire | 1 | 3 | 0,0% | 0,0% | 0,0% | 0,0% | 0,0% | 100,0% | 0,0% |
| Érosion | 2 | -1,5 | 0,0% | 50,0% | 0,0% | 50,0% | 0,0% | 0,0% | 0,0% |
| Largeur de plage | 1 | 5 | 0,0% | 0,0% | 0,0% | 0,0% | 0,0% | 0,0% | 100,0% |
| Rétention sédimentaire | 3 | 3 | 0,0% | 0,0% | 0,0% | 0,0% | 0,0% | 100,0% | 0,0% |
| Profil topobathymétrique | 3 | 1,6667 | 0,0% | 0,0% | 33,3% | 0,0% | 0,0% | 66,7% | 0,0% |
| Système de barres | 2 | 1 | 0,0% | 0,0% | 50,0% | 0,0% | 0,0% | 50,0% | 0,0% |
| Variation bathymétrique généralisé | 1 | 3 | 0,0% | 0,0% | 0,0% | 0,0% | 0,0% | 100,0% | 0,0% |
| Transport sédimentaire | 1 | 3 | 0,0% | 0,0% | 0,0% | 0,0% | 0,0% | 100,0% | 0,0% |
| Transport longitudinal | 1 | 3 | 0,0% | 0,0% | 0,0% | 0,0% | 0,0% | 100,0% | 0,0% |
| Courant | 3 | -1,667 | 33,3% | 33,3% | 0,0% | 0,0% | 0,0% | 33,3% | 0,0% |
| Courant d'arrachement | 2 | -4 | 50,0% | 50,0% | 0,0% | 0,0% | 0,0% | 0,0% | 0,0% |
| Dérive littorale | 1 | 3 | 0,0% | 0,0% | 0,0% | 0,0% | 0,0% | 100,0% | 0,0% |
| Processus dissipation | 3 | 3 | 0,0% | 0,0% | 0,0% | 0,0% | 0,0% | 100,0% | 0,0% |
| Déferlement | 1 | 3 | 0,0% | 0,0% | 0,0% | 0,0% | 0,0% | 100,0% | 0,0% |
| Énergie des vagues | 1 | 3 | 0,0% | 0,0% | 0,0% | 0,0% | 0,0% | 100,0% | 0,0% |
| Réfraction | 1 | 3 | 0,0% | 0,0% | 0,0% | 0,0% | 0,0% | 100,0% | 0,0% |
| Fins récréatives ou de loisirs | 18 | 1,7222 | 5,6% | 11,1% | 5,6% | 5,6% | 0,0% | 61,1% | 11,1% |
| Érosion/Accumulation | 7 | 2 | 0,0% | 14,3% | 0,0% | 14,3% | 0,0% | 57,1% | 14,3% |
| Bilan sédimentaire | 1 | 3 | 0,0% | 0,0% | 0,0% | 0,0% | 0,0% | 100,0% | 0,0% |
| Érosion | 2 | -1,5 | 0,0% | 50,0% | 0,0% | 50,0% | 0,0% | 0,0% | 0,0% |
| Largeur de plage | 1 | 5 | 0,0% | 0,0% | 0,0% | 0,0% | 0,0% | 0,0% | 100,0% |
| Rétention sédimentaire | 3 | 3 | 0,0% | 0,0% | 0,0% | 0,0% | 0,0% | 100,0% | 0,0% |
| Profil topobathymétrique | 3 | 1,6667 | 0,0% | 0,0% | 33,3% | 0,0% | 0,0% | 66,7% | 0,0% |
| Système de barres | 2 | 1 | 0,0% | 0,0% | 50,0% | 0,0% | 0,0% | 50,0% | 0,0% |
| Variation bathymétrique généralisé | 1 | 3 | 0,0% | 0,0% | 0,0% | 0,0% | 0,0% | 100,0% | 0,0% |
| Transport sédimentaire | 1 | 3 | 0,0% | 0,0% | 0,0% | 0,0% | 0,0% | 100,0% | 0,0% |
| Transport longitudinal | 1 | 3 | 0,0% | 0,0% | 0,0% | 0,0% | 0,0% | 100,0% | 0,0% |
| Courant | 3 | -1,667 | 33,3% | 33,3% | 0,0% | 0,0% | 0,0% | 33,3% | 0,0% |
| Courant d'arrachement | 2 | -4 | 50,0% | 50,0% | 0,0% | 0,0% | 0,0% | 0,0% | 0,0% |
| Dérive littorale | 1 | 3 | 0,0% | 0,0% | 0,0% | 0,0% | 0,0% | 100,0% | 0,0% |
| Pratique de loisirs | 1 | 5 | 0,0% | 0,0% | 0,0% | 0,0% | 0,0% | 0,0% | 100,0% |
| Loisirs terrestres | 1 | 5 | 0,0% | 0,0% | 0,0% | 0,0% | 0,0% | 0,0% | 100,0% |
| Processus dissipation | 3 | 3 | 0,0% | 0,0% | 0,0% | 0,0% | 0,0% | 100,0% | 0,0% |
| Déferlement | 1 | 3 | 0,0% | 0,0% | 0,0% | 0,0% | 0,0% | 100,0% | 0,0% |
| Énergie des vagues | 1 | 3 | 0,0% | 0,0% | 0,0% | 0,0% | 0,0% | 100,0% | 0,0% |
| Réfraction | 1 | 3 | 0,0% | 0,0% | 0,0% | 0,0% | 0,0% | 100,0% | 0,0% |
| Fins patrimoniales, symboliques, sacrée | 14 | 1,2143 | 7,1% | 14,3% | 7,1% | 7,1% | 0,0% | 57,1% | 7,1% |
| Érosion/Accumulation | 7 | 2 | 0,0% | 14,3% | 0,0% | 14,3% | 0,0% | 57,1% | 14,3% |
| Bilan sédimentaire | 1 | 3 | 0,0% | 0,0% | 0,0% | 0,0% | 0,0% | 100,0% | 0,0% |

Identification d'ouvrages de protection côtière

Date : 2021-03-19

Cellule hydrosédimentaire :

version :

Groupe_0004

page :

66

| | | | | | | | | | | | |
|---|--------------------------------|---|----|--------|-------|--------|-------|-------|-------|--------|--------|
| | | Érosion | 2 | -1,5 | 0,0% | 50,0% | 0,0% | 50,0% | 0,0% | 0,0% | 0,0% |
| | | Largeur de plage | 1 | 5 | 0,0% | 0,0% | 0,0% | 0,0% | 0,0% | 0,0% | 100,0% |
| | | Rétention sédimentaire | 3 | 3 | 0,0% | 0,0% | 0,0% | 0,0% | 0,0% | 100,0% | 0,0% |
| | | Profil topobathymétrique | 3 | 1,6667 | 0,0% | 0,0% | 33,3% | 0,0% | 0,0% | 66,7% | 0,0% |
| | | Système de barres | 2 | 1 | 0,0% | 0,0% | 50,0% | 0,0% | 0,0% | 50,0% | 0,0% |
| | | Variation bathymétrique généralisé | 1 | 3 | 0,0% | 0,0% | 0,0% | 0,0% | 0,0% | 100,0% | 0,0% |
| | | Transport sédimentaire | 1 | 3 | 0,0% | 0,0% | 0,0% | 0,0% | 0,0% | 100,0% | 0,0% |
| | | Transport longitudinal | 1 | 3 | 0,0% | 0,0% | 0,0% | 0,0% | 0,0% | 100,0% | 0,0% |
| | | Courant | 3 | -1,667 | 33,3% | 33,3% | 0,0% | 0,0% | 0,0% | 33,3% | 0,0% |
| | | Courant d'arrachement | 2 | -4 | 50,0% | 50,0% | 0,0% | 0,0% | 0,0% | 0,0% | 0,0% |
| | | Dérive littorale | 1 | 3 | 0,0% | 0,0% | 0,0% | 0,0% | 0,0% | 100,0% | 0,0% |
| 7 | Système horizontal de drainage | Agr Services écologiques | 18 | 1,4444 | 0,0% | 11,1% | 0,0% | 22,2% | 22,2% | 33,3% | 11,1% |
| | | Fins alimentaires | 2 | -1,5 | 0,0% | 50,0% | 0,0% | 50,0% | 0,0% | 0,0% | 0,0% |
| | | Profil topobathymétrique | 2 | -1,5 | 0,0% | 50,0% | 0,0% | 50,0% | 0,0% | 0,0% | 0,0% |
| | | Profil de plage | 2 | -1,5 | 0,0% | 50,0% | 0,0% | 50,0% | 0,0% | 0,0% | 0,0% |
| | | Maintenance du cycle de vie | 2 | -1,5 | 0,0% | 50,0% | 0,0% | 50,0% | 0,0% | 0,0% | 0,0% |
| | | Profil topobathymétrique | 2 | -1,5 | 0,0% | 50,0% | 0,0% | 50,0% | 0,0% | 0,0% | 0,0% |
| | | Profil de plage | 2 | -1,5 | 0,0% | 50,0% | 0,0% | 50,0% | 0,0% | 0,0% | 0,0% |
| | | Protection côtière | 17 | 1,7059 | 0,0% | 5,9% | 0,0% | 23,5% | 23,5% | 35,3% | 11,8% |
| | | Érosion/accumulation | 10 | 1,9 | 0,0% | 0,0% | 0,0% | 30,0% | 30,0% | 20,0% | 20,0% |
| | | Accumulation sédimentaire | 4 | 1,25 | 0,0% | 0,0% | 0,0% | 75,0% | 0,0% | 0,0% | 25,0% |
| | | Bilan sédimentaire | 5 | 1,8 | 0,0% | 0,0% | 0,0% | 0,0% | 60,0% | 40,0% | 0,0% |
| | | Déplacement du trait de côte | 1 | 5 | 0,0% | 0,0% | 0,0% | 0,0% | 0,0% | 0,0% | 100,0% |
| | | Profil topobathymétrique | 2 | -1,5 | 0,0% | 50,0% | 0,0% | 50,0% | 0,0% | 0,0% | 0,0% |
| | | Profil de plage | 2 | -1,5 | 0,0% | 50,0% | 0,0% | 50,0% | 0,0% | 0,0% | 0,0% |
| | | Transport sédimentaire | 2 | 3 | 0,0% | 0,0% | 0,0% | 0,0% | 0,0% | 100,0% | 0,0% |
| | | Transport transversal | 2 | 3 | 0,0% | 0,0% | 0,0% | 0,0% | 0,0% | 100,0% | 0,0% |
| | | Jet de rive | 3 | 2,3333 | 0,0% | 0,0% | 0,0% | 0,0% | 33,3% | 66,7% | 0,0% |
| | | Backwash/Swash | 3 | 2,3333 | 0,0% | 0,0% | 0,0% | 0,0% | 33,3% | 66,7% | 0,0% |
| | | Fins récréatives ou de loisirs | 18 | 1,4444 | 0,0% | 11,1% | 0,0% | 22,2% | 22,2% | 33,3% | 11,1% |
| | | Érosion/accumulation | 10 | 1,9 | 0,0% | 0,0% | 0,0% | 30,0% | 30,0% | 20,0% | 20,0% |
| | | Accumulation sédimentaire | 4 | 1,25 | 0,0% | 0,0% | 0,0% | 75,0% | 0,0% | 0,0% | 25,0% |
| | | Bilan sédimentaire | 5 | 1,8 | 0,0% | 0,0% | 0,0% | 0,0% | 60,0% | 40,0% | 0,0% |
| | | Déplacement du trait de côte | 1 | 5 | 0,0% | 0,0% | 0,0% | 0,0% | 0,0% | 0,0% | 100,0% |
| | | Profil topobathymétrique | 2 | -1,5 | 0,0% | 50,0% | 0,0% | 50,0% | 0,0% | 0,0% | 0,0% |
| | | Profil de plage | 2 | -1,5 | 0,0% | 50,0% | 0,0% | 50,0% | 0,0% | 0,0% | 0,0% |
| | | Transport sédimentaire | 2 | 3 | 0,0% | 0,0% | 0,0% | 0,0% | 0,0% | 100,0% | 0,0% |
| | | Transport transversal | 2 | 3 | 0,0% | 0,0% | 0,0% | 0,0% | 0,0% | 100,0% | 0,0% |
| | | Jet de rive | 3 | 2,3333 | 0,0% | 0,0% | 0,0% | 0,0% | 33,3% | 66,7% | 0,0% |
| | | Backwash/Swash | 3 | 2,3333 | 0,0% | 0,0% | 0,0% | 0,0% | 33,3% | 66,7% | 0,0% |
| | | Pratique de loisirs | 1 | -3 | 0,0% | 100,0% | 0,0% | 0,0% | 0,0% | 0,0% | 0,0% |
| | | Loisirs terrestres | 1 | -3 | 0,0% | 100,0% | 0,0% | 0,0% | 0,0% | 0,0% | 0,0% |
| | | Fins patrimoniales, symboliques, sacrée | 17 | 1,7059 | 0,0% | 5,9% | 0,0% | 23,5% | 23,5% | 35,3% | 11,8% |
| | | Érosion/accumulation | 10 | 1,9 | 0,0% | 0,0% | 0,0% | 30,0% | 30,0% | 20,0% | 20,0% |
| | | Accumulation sédimentaire | 4 | 1,25 | 0,0% | 0,0% | 0,0% | 75,0% | 0,0% | 0,0% | 25,0% |
| | | Bilan sédimentaire | 5 | 1,8 | 0,0% | 0,0% | 0,0% | 0,0% | 60,0% | 40,0% | 0,0% |
| | | Déplacement du trait de côte | 1 | 5 | 0,0% | 0,0% | 0,0% | 0,0% | 0,0% | 0,0% | 100,0% |
| | | Profil topobathymétrique | 2 | -1,5 | 0,0% | 50,0% | 0,0% | 50,0% | 0,0% | 0,0% | 0,0% |
| | | Profil de plage | 2 | -1,5 | 0,0% | 50,0% | 0,0% | 50,0% | 0,0% | 0,0% | 0,0% |

Identification d'ouvrages de protection côtière

Date : 2021-03-19

Cellule hydrosédimentaire :

version :

Groupe_0004

page :

67

| | | | | | | | | | | | |
|---|------------------------------|---|-----|--------|-------|--------|-------|--------|-------|--------|-------|
| | | Transport sédimentaire | 2 | 3 | 0,0% | 0,0% | 0,0% | 0,0% | 0,0% | 100,0% | 0,0% |
| | | Transport transversal | 2 | 3 | 0,0% | 0,0% | 0,0% | 0,0% | 0,0% | 100,0% | 0,0% |
| | | Jet de rive | 3 | 2,3333 | 0,0% | 0,0% | 0,0% | 0,0% | 33,3% | 66,7% | 0,0% |
| | | Backwash/Swash | 3 | 2,3333 | 0,0% | 0,0% | 0,0% | 0,0% | 33,3% | 66,7% | 0,0% |
| 8 | Système vertical de drainage | Agr Services écologiques | 7 | 1,4286 | 0,0% | 0,0% | 0,0% | 42,9% | 14,3% | 42,9% | 0,0% |
| | | Fins alimentaires | 2 | 0 | 0,0% | 0,0% | 0,0% | 100,0% | 0,0% | 0,0% | 0,0% |
| | | Biocénose | 2 | 0 | 0,0% | 0,0% | 0,0% | 100,0% | 0,0% | 0,0% | 0,0% |
| | | Biocénose qualitative | 2 | 0 | 0,0% | 0,0% | 0,0% | 100,0% | 0,0% | 0,0% | 0,0% |
| | | Maintenance du cycle de vie | 2 | 0 | 0,0% | 0,0% | 0,0% | 100,0% | 0,0% | 0,0% | 0,0% |
| | | Biocénose | 2 | 0 | 0,0% | 0,0% | 0,0% | 100,0% | 0,0% | 0,0% | 0,0% |
| | | Biocénose qualitative | 2 | 0 | 0,0% | 0,0% | 0,0% | 100,0% | 0,0% | 0,0% | 0,0% |
| | | Protection côtière | 5 | 2 | 0,0% | 0,0% | 0,0% | 20,0% | 20,0% | 60,0% | 0,0% |
| | | Érosion/Accumulation | 5 | 2 | 0,0% | 0,0% | 0,0% | 20,0% | 20,0% | 60,0% | 0,0% |
| | | Bilan sédimentaire | 3 | 2,3333 | 0,0% | 0,0% | 0,0% | 0,0% | 33,3% | 66,7% | 0,0% |
| | | Déplacement du trait de côte | 1 | 3 | 0,0% | 0,0% | 0,0% | 0,0% | 0,0% | 100,0% | 0,0% |
| | | Érosion | 1 | 0 | 0,0% | 0,0% | 0,0% | 100,0% | 0,0% | 0,0% | 0,0% |
| | | Fins récréatives ou de loisirs | 5 | 2 | 0,0% | 0,0% | 0,0% | 20,0% | 20,0% | 60,0% | 0,0% |
| | | Érosion/Accumulation | 5 | 2 | 0,0% | 0,0% | 0,0% | 20,0% | 20,0% | 60,0% | 0,0% |
| | | Bilan sédimentaire | 3 | 2,3333 | 0,0% | 0,0% | 0,0% | 0,0% | 33,3% | 66,7% | 0,0% |
| | | Déplacement du trait de côte | 1 | 3 | 0,0% | 0,0% | 0,0% | 0,0% | 0,0% | 100,0% | 0,0% |
| | | Érosion | 1 | 0 | 0,0% | 0,0% | 0,0% | 100,0% | 0,0% | 0,0% | 0,0% |
| | | Fins patrimoniales, symboliques, sacrée | 5 | 2 | 0,0% | 0,0% | 0,0% | 20,0% | 20,0% | 60,0% | 0,0% |
| | | Érosion/Accumulation | 5 | 2 | 0,0% | 0,0% | 0,0% | 20,0% | 20,0% | 60,0% | 0,0% |
| | | Bilan sédimentaire | 3 | 2,3333 | 0,0% | 0,0% | 0,0% | 0,0% | 33,3% | 66,7% | 0,0% |
| | | Déplacement du trait de côte | 1 | 3 | 0,0% | 0,0% | 0,0% | 0,0% | 0,0% | 100,0% | 0,0% |
| | | Érosion | 1 | 0 | 0,0% | 0,0% | 0,0% | 100,0% | 0,0% | 0,0% | 0,0% |
| 9 | Recharge de plage | Agr Services écologiques | 154 | 0,6299 | 5,8% | 18,2% | 4,5% | 22,7% | 7,1% | 31,8% | 9,7% |
| | | Fins alimentaires | 77 | -0,896 | 10,4% | 32,5% | 9,1% | 23,4% | 5,2% | 16,9% | 2,6% |
| | | Profil topobathymétrique | 29 | 0,7241 | 3,4% | 13,8% | 3,4% | 27,6% | 13,8% | 34,5% | 3,4% |
| | | Profil de plage | 9 | -0,111 | 0,0% | 33,3% | 11,1% | 22,2% | 0,0% | 33,3% | 0,0% |
| | | Système de barres | 18 | 0,9444 | 5,6% | 5,6% | 0,0% | 27,8% | 22,2% | 38,9% | 0,0% |
| | | Variation bathymétrique généralisé | 2 | 2,5 | 0,0% | 0,0% | 0,0% | 50,0% | 0,0% | 0,0% | 50,0% |
| | | Sédiments | 12 | -2,25 | 0,0% | 66,7% | 25,0% | 8,3% | 0,0% | 0,0% | 0,0% |
| | | Redistribution granulométrique | 2 | -3 | 0,0% | 100,0% | 0,0% | 0,0% | 0,0% | 0,0% | 0,0% |
| | | Taille granulométrique | 10 | -2,1 | 0,0% | 60,0% | 30,0% | 10,0% | 0,0% | 0,0% | 0,0% |
| | | Processus dissipation | 7 | 0 | 0,0% | 14,3% | 0,0% | 71,4% | 0,0% | 14,3% | 0,0% |
| | | Énergie des vagues | 3 | -1 | 0,0% | 33,3% | 0,0% | 66,7% | 0,0% | 0,0% | 0,0% |
| | | Hauteur de vagues | 4 | 0,75 | 0,0% | 0,0% | 0,0% | 75,0% | 0,0% | 25,0% | 0,0% |
| | | Biocénose | 27 | -2,037 | 22,2% | 40,7% | 11,1% | 14,8% | 0,0% | 7,4% | 3,7% |
| | | Biocénose qualitative | 11 | -1,364 | 0,0% | 45,5% | 27,3% | 18,2% | 0,0% | 9,1% | 0,0% |
| | | Biocénose quantitative | 16 | -2,5 | 37,5% | 37,5% | 0,0% | 12,5% | 0,0% | 6,3% | 6,3% |
| | | Biotope | 2 | -4 | 50,0% | 50,0% | 0,0% | 0,0% | 0,0% | 0,0% | 0,0% |
| | | Modification physico-chimique | 2 | -4 | 50,0% | 50,0% | 0,0% | 0,0% | 0,0% | 0,0% | 0,0% |
| | | Maintenance du cycle de vie | 77 | -0,896 | 10,4% | 32,5% | 9,1% | 23,4% | 5,2% | 16,9% | 2,6% |
| | | Profil topobathymétrique | 29 | 0,7241 | 3,4% | 13,8% | 3,4% | 27,6% | 13,8% | 34,5% | 3,4% |
| | | Profil de plage | 9 | -0,111 | 0,0% | 33,3% | 11,1% | 22,2% | 0,0% | 33,3% | 0,0% |
| | | Système de barres | 18 | 0,9444 | 5,6% | 5,6% | 0,0% | 27,8% | 22,2% | 38,9% | 0,0% |
| | | Variation bathymétrique généralisé | 2 | 2,5 | 0,0% | 0,0% | 0,0% | 50,0% | 0,0% | 0,0% | 50,0% |
| | | Sédiments | 12 | -2,25 | 0,0% | 66,7% | 25,0% | 8,3% | 0,0% | 0,0% | 0,0% |

Identification d'ouvrages de protection côtière

Date : 2021-03-19

Cellule hydrosédimentaire :

version :

Groupe_0004

page :

68

| | | | | | | | | | | |
|------------------------------------|-----|--------|-------|--------|-------|-------|-------|--------|-------|------|
| Redistribution granulométrique | 2 | -3 | 0,0% | 100,0% | 0,0% | 0,0% | 0,0% | 0,0% | 0,0% | 0,0% |
| Taille granulométrique | 10 | -2,1 | 0,0% | 60,0% | 30,0% | 10,0% | 0,0% | 0,0% | 0,0% | 0,0% |
| Processus dissipation | 7 | 0 | 0,0% | 14,3% | 0,0% | 71,4% | 0,0% | 14,3% | 0,0% | 0,0% |
| Énergie des vagues | 3 | -1 | 0,0% | 33,3% | 0,0% | 66,7% | 0,0% | 0,0% | 0,0% | 0,0% |
| Hauteur de vagues | 4 | 0,75 | 0,0% | 0,0% | 0,0% | 75,0% | 0,0% | 25,0% | 0,0% | 0,0% |
| Biocénose | 27 | -2,037 | 22,2% | 40,7% | 11,1% | 14,8% | 0,0% | 7,4% | 3,7% | 0,0% |
| Biocénose qualitative | 11 | -1,364 | 0,0% | 45,5% | 27,3% | 18,2% | 0,0% | 9,1% | 0,0% | 0,0% |
| Biocénose quantitative | 16 | -2,5 | 37,5% | 37,5% | 0,0% | 12,5% | 0,0% | 6,3% | 6,3% | 0,0% |
| Biotope | 2 | -4 | 50,0% | 50,0% | 0,0% | 0,0% | 0,0% | 0,0% | 0,0% | 0,0% |
| Modification physico-chimique | 2 | -4 | 50,0% | 50,0% | 0,0% | 0,0% | 0,0% | 0,0% | 0,0% | 0,0% |
| Purification de l'eau | 8 | -0,375 | 0,0% | 25,0% | 0,0% | 62,5% | 0,0% | 12,5% | 0,0% | 0,0% |
| Courant | 1 | -3 | 0,0% | 100,0% | 0,0% | 0,0% | 0,0% | 0,0% | 0,0% | 0,0% |
| Courant transversaux | 1 | -3 | 0,0% | 100,0% | 0,0% | 0,0% | 0,0% | 0,0% | 0,0% | 0,0% |
| Processus dissipation | 7 | 0 | 0,0% | 14,3% | 0,0% | 71,4% | 0,0% | 14,3% | 0,0% | 0,0% |
| Énergie des vagues | 3 | -1 | 0,0% | 33,3% | 0,0% | 66,7% | 0,0% | 0,0% | 0,0% | 0,0% |
| Hauteur de vagues | 4 | 0,75 | 0,0% | 0,0% | 0,0% | 75,0% | 0,0% | 25,0% | 0,0% | 0,0% |
| Protection côtière | 120 | 1,375 | 0,8% | 12,5% | 3,3% | 24,2% | 9,2% | 38,3% | 11,7% | 0,0% |
| Érosion/Accumulation | 64 | 2,5313 | 0,0% | 0,0% | 0,0% | 21,9% | 10,9% | 46,9% | 20,3% | 0,0% |
| Accumulation sédimentaire | 9 | 3,6667 | 0,0% | 0,0% | 0,0% | 0,0% | 0,0% | 66,7% | 33,3% | 0,0% |
| Bilan sédimentaire | 24 | 3,0833 | 0,0% | 0,0% | 0,0% | 8,3% | 16,7% | 41,7% | 33,3% | 0,0% |
| Déplacement du trait de côte | 17 | 1,5882 | 0,0% | 0,0% | 0,0% | 35,3% | 17,6% | 47,1% | 0,0% | 0,0% |
| Érosion | 6 | 0,8333 | 0,0% | 0,0% | 0,0% | 83,3% | 0,0% | 0,0% | 16,7% | 0,0% |
| Largeur de plage | 7 | 2,8571 | 0,0% | 0,0% | 0,0% | 14,3% | 0,0% | 71,4% | 14,3% | 0,0% |
| Rétablissement géomorphologique | 1 | 3 | 0,0% | 0,0% | 0,0% | 0,0% | 0,0% | 100,0% | 0,0% | 0,0% |
| Profil topobathymétrique | 29 | 0,7241 | 3,4% | 13,8% | 3,4% | 27,6% | 13,8% | 34,5% | 3,4% | 0,0% |
| Profil de plage | 9 | -0,111 | 0,0% | 33,3% | 11,1% | 22,2% | 0,0% | 33,3% | 0,0% | 0,0% |
| Système de barres | 18 | 0,9444 | 5,6% | 5,6% | 0,0% | 27,8% | 22,2% | 38,9% | 0,0% | 0,0% |
| Variation bathymétrique généralisé | 2 | 2,5 | 0,0% | 0,0% | 0,0% | 50,0% | 0,0% | 0,0% | 50,0% | 0,0% |
| Transport sédimentaire | 6 | 2,5 | 0,0% | 0,0% | 0,0% | 16,7% | 0,0% | 83,3% | 0,0% | 0,0% |
| Transport longitudinal | 2 | 3 | 0,0% | 0,0% | 0,0% | 0,0% | 0,0% | 100,0% | 0,0% | 0,0% |
| Transport sédimentaire général | 2 | 3 | 0,0% | 0,0% | 0,0% | 0,0% | 0,0% | 100,0% | 0,0% | 0,0% |
| Transport transversal | 2 | 1,5 | 0,0% | 0,0% | 0,0% | 50,0% | 0,0% | 50,0% | 0,0% | 0,0% |
| Courant | 1 | -3 | 0,0% | 100,0% | 0,0% | 0,0% | 0,0% | 0,0% | 0,0% | 0,0% |
| Courant transversaux | 1 | -3 | 0,0% | 100,0% | 0,0% | 0,0% | 0,0% | 0,0% | 0,0% | 0,0% |
| Jet de rive | 1 | -3 | 0,0% | 100,0% | 0,0% | 0,0% | 0,0% | 0,0% | 0,0% | 0,0% |
| Run-up | 1 | -3 | 0,0% | 100,0% | 0,0% | 0,0% | 0,0% | 0,0% | 0,0% | 0,0% |
| Processus dissipation | 7 | 0 | 0,0% | 14,3% | 0,0% | 71,4% | 0,0% | 14,3% | 0,0% | 0,0% |
| Énergie des vagues | 3 | -1 | 0,0% | 33,3% | 0,0% | 66,7% | 0,0% | 0,0% | 0,0% | 0,0% |
| Hauteur de vagues | 4 | 0,75 | 0,0% | 0,0% | 0,0% | 75,0% | 0,0% | 25,0% | 0,0% | 0,0% |
| Sédiments | 12 | -2,25 | 0,0% | 66,7% | 25,0% | 8,3% | 0,0% | 0,0% | 0,0% | 0,0% |
| Redistribution granulométrique | 2 | -3 | 0,0% | 100,0% | 0,0% | 0,0% | 0,0% | 0,0% | 0,0% | 0,0% |
| Taille granulométrique | 10 | -2,1 | 0,0% | 60,0% | 30,0% | 10,0% | 0,0% | 0,0% | 0,0% | 0,0% |
| Fins récréatives ou de loisirs | 113 | 1,6549 | 1,8% | 7,1% | 0,9% | 26,5% | 9,7% | 41,6% | 12,4% | 0,0% |
| Érosion/Accumulation | 64 | 2,5313 | 0,0% | 0,0% | 0,0% | 21,9% | 10,9% | 46,9% | 20,3% | 0,0% |
| Accumulation sédimentaire | 9 | 3,6667 | 0,0% | 0,0% | 0,0% | 0,0% | 0,0% | 66,7% | 33,3% | 0,0% |
| Bilan sédimentaire | 24 | 3,0833 | 0,0% | 0,0% | 0,0% | 8,3% | 16,7% | 41,7% | 33,3% | 0,0% |
| Déplacement du trait de côte | 17 | 1,5882 | 0,0% | 0,0% | 0,0% | 35,3% | 17,6% | 47,1% | 0,0% | 0,0% |
| Érosion | 6 | 0,8333 | 0,0% | 0,0% | 0,0% | 83,3% | 0,0% | 0,0% | 16,7% | 0,0% |
| Largeur de plage | 7 | 2,8571 | 0,0% | 0,0% | 0,0% | 14,3% | 0,0% | 71,4% | 14,3% | 0,0% |

Identification d'ouvrages de protection côtière

Date : 2021-03-19

Cellule hydrosédimentaire :

version :

Groupe_0004

page :

69

| | | | | | | | | | |
|---|-----|--------|-------|--------|--------|--------|-------|--------|--------|
| Rétablissement géomorphologique | 1 | 3 | 0,0% | 0,0% | 0,0% | 0,0% | 0,0% | 100,0% | 0,0% |
| Profil topobathymétrique | 29 | 0,7241 | 3,4% | 13,8% | 3,4% | 27,6% | 13,8% | 34,5% | 3,4% |
| Profil de plage | 9 | -0,111 | 0,0% | 33,3% | 11,1% | 22,2% | 0,0% | 33,3% | 0,0% |
| Système de barres | 18 | 0,9444 | 5,6% | 5,6% | 0,0% | 27,8% | 22,2% | 38,9% | 0,0% |
| Variation bathymétrique généralisé | 2 | 2,5 | 0,0% | 0,0% | 0,0% | 50,0% | 0,0% | 0,0% | 50,0% |
| Transport sédimentaire | 6 | 2,5 | 0,0% | 0,0% | 0,0% | 16,7% | 0,0% | 83,3% | 0,0% |
| Transport longitudinal | 2 | 3 | 0,0% | 0,0% | 0,0% | 0,0% | 0,0% | 100,0% | 0,0% |
| Transport sédimentaire général | 2 | 3 | 0,0% | 0,0% | 0,0% | 0,0% | 0,0% | 100,0% | 0,0% |
| Transport transversal | 2 | 1,5 | 0,0% | 0,0% | 0,0% | 50,0% | 0,0% | 50,0% | 0,0% |
| Courant | 1 | -3 | 0,0% | 100,0% | 0,0% | 0,0% | 0,0% | 0,0% | 0,0% |
| Courant transversaux | 1 | -3 | 0,0% | 100,0% | 0,0% | 0,0% | 0,0% | 0,0% | 0,0% |
| Jet de rive | 1 | -3 | 0,0% | 100,0% | 0,0% | 0,0% | 0,0% | 0,0% | 0,0% |
| Run-up | 1 | -3 | 0,0% | 100,0% | 0,0% | 0,0% | 0,0% | 0,0% | 0,0% |
| Pratique de loisirs | 5 | -1 | 20,0% | 20,0% | 0,0% | 40,0% | 0,0% | 20,0% | 0,0% |
| Loisirs aquatiques côtiers | 3 | -1 | 0,0% | 33,3% | 0,0% | 66,7% | 0,0% | 0,0% | 0,0% |
| Loisirs terrestres | 2 | -1 | 50,0% | 0,0% | 0,0% | 0,0% | 0,0% | 50,0% | 0,0% |
| Processus dissipation | 7 | 0 | 0,0% | 14,3% | 0,0% | 71,4% | 0,0% | 14,3% | 0,0% |
| Énergie des vagues | 3 | -1 | 0,0% | 33,3% | 0,0% | 66,7% | 0,0% | 0,0% | 0,0% |
| Hauteur de vagues | 4 | 0,75 | 0,0% | 0,0% | 0,0% | 75,0% | 0,0% | 25,0% | 0,0% |
| Fins patrimoniales, symboliques, sacrée | 101 | 1,901 | 1,0% | 5,9% | 1,0% | 22,8% | 10,9% | 44,6% | 13,9% |
| Érosion/Accumulation | 64 | 2,5313 | 0,0% | 0,0% | 0,0% | 21,9% | 10,9% | 46,9% | 20,3% |
| Accumulation sédimentaire | 9 | 3,6667 | 0,0% | 0,0% | 0,0% | 0,0% | 0,0% | 66,7% | 33,3% |
| Bilan sédimentaire | 24 | 3,0833 | 0,0% | 0,0% | 0,0% | 8,3% | 16,7% | 41,7% | 33,3% |
| Déplacement du trait de côte | 17 | 1,5882 | 0,0% | 0,0% | 0,0% | 35,3% | 17,6% | 47,1% | 0,0% |
| Érosion | 6 | 0,8333 | 0,0% | 0,0% | 0,0% | 83,3% | 0,0% | 0,0% | 16,7% |
| Largeur de plage | 7 | 2,8571 | 0,0% | 0,0% | 0,0% | 14,3% | 0,0% | 71,4% | 14,3% |
| Rétablissement géomorphologique | 1 | 3 | 0,0% | 0,0% | 0,0% | 0,0% | 0,0% | 100,0% | 0,0% |
| Profil topobathymétrique | 29 | 0,7241 | 3,4% | 13,8% | 3,4% | 27,6% | 13,8% | 34,5% | 3,4% |
| Profil de plage | 9 | -0,111 | 0,0% | 33,3% | 11,1% | 22,2% | 0,0% | 33,3% | 0,0% |
| Système de barres | 18 | 0,9444 | 5,6% | 5,6% | 0,0% | 27,8% | 22,2% | 38,9% | 0,0% |
| Variation bathymétrique généralisé | 2 | 2,5 | 0,0% | 0,0% | 0,0% | 50,0% | 0,0% | 0,0% | 50,0% |
| Transport sédimentaire | 6 | 2,5 | 0,0% | 0,0% | 0,0% | 16,7% | 0,0% | 83,3% | 0,0% |
| Transport longitudinal | 2 | 3 | 0,0% | 0,0% | 0,0% | 0,0% | 0,0% | 100,0% | 0,0% |
| Transport sédimentaire général | 2 | 3 | 0,0% | 0,0% | 0,0% | 0,0% | 0,0% | 100,0% | 0,0% |
| Transport transversal | 2 | 1,5 | 0,0% | 0,0% | 0,0% | 50,0% | 0,0% | 50,0% | 0,0% |
| Courant | 1 | -3 | 0,0% | 100,0% | 0,0% | 0,0% | 0,0% | 0,0% | 0,0% |
| Courant transversaux | 1 | -3 | 0,0% | 100,0% | 0,0% | 0,0% | 0,0% | 0,0% | 0,0% |
| Jet de rive | 1 | -3 | 0,0% | 100,0% | 0,0% | 0,0% | 0,0% | 0,0% | 0,0% |
| Run-up | 1 | -3 | 0,0% | 100,0% | 0,0% | 0,0% | 0,0% | 0,0% | 0,0% |
| Agr Services écologiques | 30 | 0,2667 | 0,0% | 36,7% | 6,7% | 13,3% | 6,7% | 23,3% | 13,3% |
| Fins alimentaires | 5 | 0,2 | 0,0% | 20,0% | 20,0% | 40,0% | 0,0% | 0,0% | 20,0% |
| Profil topobathymétrique | 1 | 0 | 0,0% | 0,0% | 0,0% | 100,0% | 0,0% | 0,0% | 0,0% |
| Profil de plage | 1 | 0 | 0,0% | 0,0% | 0,0% | 100,0% | 0,0% | 0,0% | 0,0% |
| Processus dissipation | 1 | 0 | 0,0% | 0,0% | 0,0% | 100,0% | 0,0% | 0,0% | 0,0% |
| Énergie des vagues | 1 | 0 | 0,0% | 0,0% | 0,0% | 100,0% | 0,0% | 0,0% | 0,0% |
| Biocénose | 2 | -2 | 0,0% | 50,0% | 50,0% | 0,0% | 0,0% | 0,0% | 0,0% |
| Biocénose qualitative | 1 | -3 | 0,0% | 100,0% | 0,0% | 0,0% | 0,0% | 0,0% | 0,0% |
| Biocénose quantitative | 1 | -1 | 0,0% | 0,0% | 100,0% | 0,0% | 0,0% | 0,0% | 0,0% |
| Biotope | 1 | 5 | 0,0% | 0,0% | 0,0% | 0,0% | 0,0% | 0,0% | 100,0% |

10 Épi imperméable

Identification d'ouvrages de protection côtière

Date : 2021-03-19

Cellule hydrosédimentaire :

version :

Groupe_0004

page : 70

| | | | | | | | | | |
|---------------------------------|----|--------|------|--------|--------|--------|--------|-------|--------|
| Modification structurelle | 1 | 5 | 0,0% | 0,0% | 0,0% | 0,0% | 0,0% | 0,0% | 100,0% |
| Maintenance du cycle de vie | 5 | 0,2 | 0,0% | 20,0% | 20,0% | 40,0% | 0,0% | 0,0% | 20,0% |
| Profil topobathymétrique | 1 | 0 | 0,0% | 0,0% | 0,0% | 100,0% | 0,0% | 0,0% | 0,0% |
| Profil de plage | 1 | 0 | 0,0% | 0,0% | 0,0% | 100,0% | 0,0% | 0,0% | 0,0% |
| Processus dissipation | 1 | 0 | 0,0% | 0,0% | 0,0% | 100,0% | 0,0% | 0,0% | 0,0% |
| Énergie des vagues | 1 | 0 | 0,0% | 0,0% | 0,0% | 100,0% | 0,0% | 0,0% | 0,0% |
| Biocénose | 2 | -2 | 0,0% | 50,0% | 50,0% | 0,0% | 0,0% | 0,0% | 0,0% |
| Biocénose qualitative | 1 | -3 | 0,0% | 100,0% | 0,0% | 0,0% | 0,0% | 0,0% | 0,0% |
| Biocénose quantitative | 1 | -1 | 0,0% | 0,0% | 100,0% | 0,0% | 0,0% | 0,0% | 0,0% |
| Biotope | 1 | 5 | 0,0% | 0,0% | 0,0% | 0,0% | 0,0% | 0,0% | 100,0% |
| Modification structurelle | 1 | 5 | 0,0% | 0,0% | 0,0% | 0,0% | 0,0% | 0,0% | 100,0% |
| Purification de l'eau | 2 | -1,5 | 0,0% | 50,0% | 0,0% | 50,0% | 0,0% | 0,0% | 0,0% |
| Courant | 1 | -3 | 0,0% | 100,0% | 0,0% | 0,0% | 0,0% | 0,0% | 0,0% |
| Circulation | 1 | -3 | 0,0% | 100,0% | 0,0% | 0,0% | 0,0% | 0,0% | 0,0% |
| Processus dissipation | 1 | 0 | 0,0% | 0,0% | 0,0% | 100,0% | 0,0% | 0,0% | 0,0% |
| Énergie des vagues | 1 | 0 | 0,0% | 0,0% | 0,0% | 100,0% | 0,0% | 0,0% | 0,0% |
| Protection côtière | 27 | 0,2593 | 0,0% | 37,0% | 3,7% | 14,8% | 7,4% | 25,9% | 11,1% |
| Érosion/Accumulation | 19 | 0,6842 | 0,0% | 31,6% | 5,3% | 10,5% | 10,5% | 26,3% | 15,8% |
| Accumulation sédimentaire | 2 | 4 | 0,0% | 0,0% | 0,0% | 0,0% | 0,0% | 50,0% | 50,0% |
| Bilan sédimentaire | 1 | 0 | 0,0% | 0,0% | 0,0% | 100,0% | 0,0% | 0,0% | 0,0% |
| Déplacement du trait de côte | 5 | 0,2 | 0,0% | 40,0% | 20,0% | 0,0% | 0,0% | 20,0% | 20,0% |
| Érosion | 1 | 5 | 0,0% | 0,0% | 0,0% | 0,0% | 0,0% | 0,0% | 100,0% |
| Largeur de plage | 3 | 0,3333 | 0,0% | 33,3% | 0,0% | 0,0% | 33,3% | 33,3% | 0,0% |
| Rétablissement géomorphologique | 1 | 1 | 0,0% | 0,0% | 0,0% | 0,0% | 100,0% | 0,0% | 0,0% |
| Rétention sédimentaire | 6 | -0,5 | 0,0% | 50,0% | 0,0% | 16,7% | 0,0% | 33,3% | 0,0% |
| Profil topobathymétrique | 1 | 0 | 0,0% | 0,0% | 0,0% | 100,0% | 0,0% | 0,0% | 0,0% |
| Profil de plage | 1 | 0 | 0,0% | 0,0% | 0,0% | 100,0% | 0,0% | 0,0% | 0,0% |
| Transport sédimentaire | 4 | 0 | 0,0% | 50,0% | 0,0% | 0,0% | 0,0% | 50,0% | 0,0% |
| Transport longitudinal | 4 | 0 | 0,0% | 50,0% | 0,0% | 0,0% | 0,0% | 50,0% | 0,0% |
| Courant | 1 | -3 | 0,0% | 100,0% | 0,0% | 0,0% | 0,0% | 0,0% | 0,0% |
| Circulation | 1 | -3 | 0,0% | 100,0% | 0,0% | 0,0% | 0,0% | 0,0% | 0,0% |
| Jet de rive | 1 | -3 | 0,0% | 100,0% | 0,0% | 0,0% | 0,0% | 0,0% | 0,0% |
| Run-up | 1 | -3 | 0,0% | 100,0% | 0,0% | 0,0% | 0,0% | 0,0% | 0,0% |
| Processus dissipation | 1 | 0 | 0,0% | 0,0% | 0,0% | 100,0% | 0,0% | 0,0% | 0,0% |
| Énergie des vagues | 1 | 0 | 0,0% | 0,0% | 0,0% | 100,0% | 0,0% | 0,0% | 0,0% |
| Fins récréatives ou de loisirs | 27 | 0,2593 | 0,0% | 37,0% | 3,7% | 14,8% | 7,4% | 25,9% | 11,1% |
| Érosion/Accumulation | 19 | 0,6842 | 0,0% | 31,6% | 5,3% | 10,5% | 10,5% | 26,3% | 15,8% |
| Accumulation sédimentaire | 2 | 4 | 0,0% | 0,0% | 0,0% | 0,0% | 0,0% | 50,0% | 50,0% |
| Bilan sédimentaire | 1 | 0 | 0,0% | 0,0% | 0,0% | 100,0% | 0,0% | 0,0% | 0,0% |
| Déplacement du trait de côte | 5 | 0,2 | 0,0% | 40,0% | 20,0% | 0,0% | 0,0% | 20,0% | 20,0% |
| Érosion | 1 | 5 | 0,0% | 0,0% | 0,0% | 0,0% | 0,0% | 0,0% | 100,0% |
| Largeur de plage | 3 | 0,3333 | 0,0% | 33,3% | 0,0% | 0,0% | 33,3% | 33,3% | 0,0% |
| Rétablissement géomorphologique | 1 | 1 | 0,0% | 0,0% | 0,0% | 0,0% | 100,0% | 0,0% | 0,0% |
| Rétention sédimentaire | 6 | -0,5 | 0,0% | 50,0% | 0,0% | 16,7% | 0,0% | 33,3% | 0,0% |
| Profil topobathymétrique | 1 | 0 | 0,0% | 0,0% | 0,0% | 100,0% | 0,0% | 0,0% | 0,0% |
| Profil de plage | 1 | 0 | 0,0% | 0,0% | 0,0% | 100,0% | 0,0% | 0,0% | 0,0% |
| Transport sédimentaire | 4 | 0 | 0,0% | 50,0% | 0,0% | 0,0% | 0,0% | 50,0% | 0,0% |
| Transport longitudinal | 4 | 0 | 0,0% | 50,0% | 0,0% | 0,0% | 0,0% | 50,0% | 0,0% |
| Courant | 1 | -3 | 0,0% | 100,0% | 0,0% | 0,0% | 0,0% | 0,0% | 0,0% |

Identification d'ouvrages de protection côtière

Date : 2021-03-19

Cellule hydrosédimentaire :

version :

Groupe_0004

page : 71

11 Brise-lame submergé

| | | | | | | | | | |
|---|----|--------|-------|--------|-------|--------|--------|-------|--------|
| Circulation | 1 | -3 | 0,0% | 100,0% | 0,0% | 0,0% | 0,0% | 0,0% | 0,0% |
| Jet de rive | 1 | -3 | 0,0% | 100,0% | 0,0% | 0,0% | 0,0% | 0,0% | 0,0% |
| Run-up | 1 | -3 | 0,0% | 100,0% | 0,0% | 0,0% | 0,0% | 0,0% | 0,0% |
| Processus dissipation | 1 | 0 | 0,0% | 0,0% | 0,0% | 100,0% | 0,0% | 0,0% | 0,0% |
| Énergie des vagues | 1 | 0 | 0,0% | 0,0% | 0,0% | 100,0% | 0,0% | 0,0% | 0,0% |
| Fins patrimoniales, symboliques, sacrée | 26 | 0,2692 | 0,0% | 38,5% | 3,8% | 11,5% | 7,7% | 26,9% | 11,5% |
| Érosion/Accumulation | 19 | 0,6842 | 0,0% | 31,6% | 5,3% | 10,5% | 10,5% | 26,3% | 15,8% |
| Accumulation sédimentaire | 2 | 4 | 0,0% | 0,0% | 0,0% | 0,0% | 0,0% | 50,0% | 50,0% |
| Bilan sédimentaire | 1 | 0 | 0,0% | 0,0% | 0,0% | 100,0% | 0,0% | 0,0% | 0,0% |
| Déplacement du trait de côte | 5 | 0,2 | 0,0% | 40,0% | 20,0% | 0,0% | 0,0% | 20,0% | 20,0% |
| Érosion | 1 | 5 | 0,0% | 0,0% | 0,0% | 0,0% | 0,0% | 0,0% | 100,0% |
| Largeur de plage | 3 | 0,3333 | 0,0% | 33,3% | 0,0% | 0,0% | 33,3% | 33,3% | 0,0% |
| Rétablissement géomorphologique | 1 | 1 | 0,0% | 0,0% | 0,0% | 0,0% | 100,0% | 0,0% | 0,0% |
| Rétention sédimentaire | 6 | -0,5 | 0,0% | 50,0% | 0,0% | 16,7% | 0,0% | 33,3% | 0,0% |
| Profil topobathymétrique | 1 | 0 | 0,0% | 0,0% | 0,0% | 100,0% | 0,0% | 0,0% | 0,0% |
| Profil de plage | 1 | 0 | 0,0% | 0,0% | 0,0% | 100,0% | 0,0% | 0,0% | 0,0% |
| Transport sédimentaire | 4 | 0 | 0,0% | 50,0% | 0,0% | 0,0% | 0,0% | 50,0% | 0,0% |
| Transport longitudinal | 4 | 0 | 0,0% | 50,0% | 0,0% | 0,0% | 0,0% | 50,0% | 0,0% |
| Courant | 1 | -3 | 0,0% | 100,0% | 0,0% | 0,0% | 0,0% | 0,0% | 0,0% |
| Circulation | 1 | -3 | 0,0% | 100,0% | 0,0% | 0,0% | 0,0% | 0,0% | 0,0% |
| Jet de rive | 1 | -3 | 0,0% | 100,0% | 0,0% | 0,0% | 0,0% | 0,0% | 0,0% |
| Run-up | 1 | -3 | 0,0% | 100,0% | 0,0% | 0,0% | 0,0% | 0,0% | 0,0% |
| Agr Services écologiques | 67 | -0,507 | 11,9% | 40,3% | 1,5% | 4,5% | 4,5% | 29,9% | 7,5% |
| Fins alimentaires | 22 | -0,136 | 9,1% | 36,4% | 0,0% | 4,5% | 9,1% | 36,4% | 4,5% |
| Profil topobathymétrique | 11 | -1,182 | 9,1% | 54,5% | 0,0% | 0,0% | 9,1% | 27,3% | 0,0% |
| Profil de plage | 1 | -3 | 0,0% | 100,0% | 0,0% | 0,0% | 0,0% | 0,0% | 0,0% |
| Système de barres | 9 | -0,778 | 11,1% | 44,4% | 0,0% | 0,0% | 11,1% | 33,3% | 0,0% |
| Variation bathymétrique localisée | 1 | -3 | 0,0% | 100,0% | 0,0% | 0,0% | 0,0% | 0,0% | 0,0% |
| Processus dissipation | 7 | 1,8571 | 14,3% | 0,0% | 0,0% | 0,0% | 14,3% | 57,1% | 14,3% |
| Énergie des vagues | 5 | 1,4 | 20,0% | 0,0% | 0,0% | 0,0% | 0,0% | 80,0% | 0,0% |
| Hauteur de vagues | 2 | 3 | 0,0% | 0,0% | 0,0% | 0,0% | 50,0% | 0,0% | 50,0% |
| Biocénose | 4 | -0,75 | 0,0% | 50,0% | 0,0% | 25,0% | 0,0% | 25,0% | 0,0% |
| Biocénose qualitative | 3 | 0 | 0,0% | 33,3% | 0,0% | 33,3% | 0,0% | 33,3% | 0,0% |
| Biocénose quantitative | 1 | -3 | 0,0% | 100,0% | 0,0% | 0,0% | 0,0% | 0,0% | 0,0% |
| Maintenance du cycle de vie | 22 | -0,136 | 9,1% | 36,4% | 0,0% | 4,5% | 9,1% | 36,4% | 4,5% |
| Profil topobathymétrique | 11 | -1,182 | 9,1% | 54,5% | 0,0% | 0,0% | 9,1% | 27,3% | 0,0% |
| Profil de plage | 1 | -3 | 0,0% | 100,0% | 0,0% | 0,0% | 0,0% | 0,0% | 0,0% |
| Système de barres | 9 | -0,778 | 11,1% | 44,4% | 0,0% | 0,0% | 11,1% | 33,3% | 0,0% |
| Variation bathymétrique localisée | 1 | -3 | 0,0% | 100,0% | 0,0% | 0,0% | 0,0% | 0,0% | 0,0% |
| Processus dissipation | 7 | 1,8571 | 14,3% | 0,0% | 0,0% | 0,0% | 14,3% | 57,1% | 14,3% |
| Énergie des vagues | 5 | 1,4 | 20,0% | 0,0% | 0,0% | 0,0% | 0,0% | 80,0% | 0,0% |
| Hauteur de vagues | 2 | 3 | 0,0% | 0,0% | 0,0% | 0,0% | 50,0% | 0,0% | 50,0% |
| Biocénose | 4 | -0,75 | 0,0% | 50,0% | 0,0% | 25,0% | 0,0% | 25,0% | 0,0% |
| Biocénose qualitative | 3 | 0 | 0,0% | 33,3% | 0,0% | 33,3% | 0,0% | 33,3% | 0,0% |
| Biocénose quantitative | 1 | -3 | 0,0% | 100,0% | 0,0% | 0,0% | 0,0% | 0,0% | 0,0% |
| Purification de l'eau | 21 | 0,619 | 9,5% | 28,6% | 0,0% | 0,0% | 4,8% | 47,6% | 9,5% |
| Courant | 10 | -1,2 | 10,0% | 60,0% | 0,0% | 0,0% | 0,0% | 20,0% | 10,0% |
| Circulation | 3 | 1 | 33,3% | 0,0% | 0,0% | 0,0% | 0,0% | 33,3% | 33,3% |
| Courant d'arrachement | 3 | -3 | 0,0% | 100,0% | 0,0% | 0,0% | 0,0% | 0,0% | 0,0% |

Identification d'ouvrages de protection côtière

Date : 2021-03-19

Cellule hydrosédimentaire :

version :

Groupe_0004

page :

72

| | | | | | | | | | |
|-----------------------------------|----|--------|-------|--------|--------|-------|-------|--------|-------|
| Courant de marée | 1 | -3 | 0,0% | 100,0% | 0,0% | 0,0% | 0,0% | 0,0% | 0,0% |
| Dérive littorale | 3 | -1 | 0,0% | 66,7% | 0,0% | 0,0% | 0,0% | 33,3% | 0,0% |
| Processus dissipation | 11 | 2,2727 | 9,1% | 0,0% | 0,0% | 0,0% | 9,1% | 72,7% | 9,1% |
| Déferlement | 3 | 3 | 0,0% | 0,0% | 0,0% | 0,0% | 0,0% | 100,0% | 0,0% |
| Énergie des vagues | 5 | 1,4 | 20,0% | 0,0% | 0,0% | 0,0% | 0,0% | 80,0% | 0,0% |
| Hauteur de vagues | 2 | 3 | 0,0% | 0,0% | 0,0% | 0,0% | 50,0% | 0,0% | 50,0% |
| Transmission | 1 | 3 | 0,0% | 0,0% | 0,0% | 0,0% | 0,0% | 100,0% | 0,0% |
| Protection côtière | 63 | -0,492 | 12,7% | 39,7% | 1,6% | 3,2% | 4,8% | 30,2% | 7,9% |
| Érosion/Accumulation | 24 | -0,417 | 16,7% | 33,3% | 0,0% | 8,3% | 4,2% | 25,0% | 12,5% |
| Accumulation sédimentaire | 6 | 1,6667 | 0,0% | 16,7% | 0,0% | 0,0% | 16,7% | 66,7% | 0,0% |
| Bilan sédimentaire | 4 | -2,5 | 50,0% | 25,0% | 0,0% | 0,0% | 0,0% | 25,0% | 0,0% |
| Déplacement du trait de côte | 3 | -3 | 0,0% | 100,0% | 0,0% | 0,0% | 0,0% | 0,0% | 0,0% |
| Érosion | 9 | -1 | 22,2% | 33,3% | 0,0% | 22,2% | 0,0% | 0,0% | 22,2% |
| Largeur de plage | 2 | 4 | 0,0% | 0,0% | 0,0% | 0,0% | 0,0% | 50,0% | 50,0% |
| Profil topobathymétrique | 11 | -1,182 | 9,1% | 54,5% | 0,0% | 0,0% | 9,1% | 27,3% | 0,0% |
| Profil de plage | 1 | -3 | 0,0% | 100,0% | 0,0% | 0,0% | 0,0% | 0,0% | 0,0% |
| Système de barres | 9 | -0,778 | 11,1% | 44,4% | 0,0% | 0,0% | 11,1% | 33,3% | 0,0% |
| Variation bathymétrique localisée | 1 | -3 | 0,0% | 100,0% | 0,0% | 0,0% | 0,0% | 0,0% | 0,0% |
| Transport sédimentaire | 4 | -3,5 | 25,0% | 75,0% | 0,0% | 0,0% | 0,0% | 0,0% | 0,0% |
| Transport longitudinal | 2 | -4 | 50,0% | 50,0% | 0,0% | 0,0% | 0,0% | 0,0% | 0,0% |
| Transport sédimentaire général | 1 | -3 | 0,0% | 100,0% | 0,0% | 0,0% | 0,0% | 0,0% | 0,0% |
| Transport transversal | 1 | -3 | 0,0% | 100,0% | 0,0% | 0,0% | 0,0% | 0,0% | 0,0% |
| Courant | 10 | -1,2 | 10,0% | 60,0% | 0,0% | 0,0% | 0,0% | 20,0% | 10,0% |
| Circulation | 3 | 1 | 33,3% | 0,0% | 0,0% | 0,0% | 0,0% | 33,3% | 33,3% |
| Courant d'arrachement | 3 | -3 | 0,0% | 100,0% | 0,0% | 0,0% | 0,0% | 0,0% | 0,0% |
| Courant de marée | 1 | -3 | 0,0% | 100,0% | 0,0% | 0,0% | 0,0% | 0,0% | 0,0% |
| Dérive littorale | 3 | -1 | 0,0% | 66,7% | 0,0% | 0,0% | 0,0% | 33,3% | 0,0% |
| Jet de rive | 3 | -2,333 | 0,0% | 66,7% | 33,3% | 0,0% | 0,0% | 0,0% | 0,0% |
| Franchissement | 1 | -1 | 0,0% | 0,0% | 100,0% | 0,0% | 0,0% | 0,0% | 0,0% |
| Run-up | 2 | -3 | 0,0% | 100,0% | 0,0% | 0,0% | 0,0% | 0,0% | 0,0% |
| Processus dissipation | 11 | 2,2727 | 9,1% | 0,0% | 0,0% | 0,0% | 9,1% | 72,7% | 9,1% |
| Déferlement | 3 | 3 | 0,0% | 0,0% | 0,0% | 0,0% | 0,0% | 100,0% | 0,0% |
| Énergie des vagues | 5 | 1,4 | 20,0% | 0,0% | 0,0% | 0,0% | 0,0% | 80,0% | 0,0% |
| Hauteur de vagues | 2 | 3 | 0,0% | 0,0% | 0,0% | 0,0% | 50,0% | 0,0% | 50,0% |
| Transmission | 1 | 3 | 0,0% | 0,0% | 0,0% | 0,0% | 0,0% | 100,0% | 0,0% |
| Fins récréatives ou de loisirs | 63 | -0,492 | 12,7% | 39,7% | 1,6% | 3,2% | 4,8% | 30,2% | 7,9% |
| Érosion/Accumulation | 24 | -0,417 | 16,7% | 33,3% | 0,0% | 8,3% | 4,2% | 25,0% | 12,5% |
| Accumulation sédimentaire | 6 | 1,6667 | 0,0% | 16,7% | 0,0% | 0,0% | 16,7% | 66,7% | 0,0% |
| Bilan sédimentaire | 4 | -2,5 | 50,0% | 25,0% | 0,0% | 0,0% | 0,0% | 25,0% | 0,0% |
| Déplacement du trait de côte | 3 | -3 | 0,0% | 100,0% | 0,0% | 0,0% | 0,0% | 0,0% | 0,0% |
| Érosion | 9 | -1 | 22,2% | 33,3% | 0,0% | 22,2% | 0,0% | 0,0% | 22,2% |
| Largeur de plage | 2 | 4 | 0,0% | 0,0% | 0,0% | 0,0% | 0,0% | 50,0% | 50,0% |
| Profil topobathymétrique | 11 | -1,182 | 9,1% | 54,5% | 0,0% | 0,0% | 9,1% | 27,3% | 0,0% |
| Profil de plage | 1 | -3 | 0,0% | 100,0% | 0,0% | 0,0% | 0,0% | 0,0% | 0,0% |
| Système de barres | 9 | -0,778 | 11,1% | 44,4% | 0,0% | 0,0% | 11,1% | 33,3% | 0,0% |
| Variation bathymétrique localisée | 1 | -3 | 0,0% | 100,0% | 0,0% | 0,0% | 0,0% | 0,0% | 0,0% |
| Transport sédimentaire | 4 | -3,5 | 25,0% | 75,0% | 0,0% | 0,0% | 0,0% | 0,0% | 0,0% |
| Transport longitudinal | 2 | -4 | 50,0% | 50,0% | 0,0% | 0,0% | 0,0% | 0,0% | 0,0% |
| Transport sédimentaire général | 1 | -3 | 0,0% | 100,0% | 0,0% | 0,0% | 0,0% | 0,0% | 0,0% |

Identification d'ouvrages de protection côtière

Date : 2021-03-19

Cellule hydrosédimentaire :

version :

Groupe_0004

page :

73

| | | | | | | | | | | | | |
|----|---|-----|----------------------|-------|--------|--------|-------|-------|--------|-------|-------|------|
| | Transport transversal | 1 | -3 | 0,0% | 100,0% | 0,0% | 0,0% | 0,0% | 0,0% | 0,0% | | |
| | Courant | 10 | -1,2 | 10,0% | 60,0% | 0,0% | 0,0% | 0,0% | 20,0% | 10,0% | | |
| | Circulation | 3 | 1 | 33,3% | 0,0% | 0,0% | 0,0% | 0,0% | 33,3% | 33,3% | | |
| | Courant d'arrachement | 3 | -3 | 0,0% | 100,0% | 0,0% | 0,0% | 0,0% | 0,0% | 0,0% | | |
| | Courant de marée | 1 | -3 | 0,0% | 100,0% | 0,0% | 0,0% | 0,0% | 0,0% | 0,0% | | |
| | Dérive littorale | 3 | -1 | 0,0% | 66,7% | 0,0% | 0,0% | 0,0% | 33,3% | 0,0% | | |
| | Jet de rive | 3 | -2,333 | 0,0% | 66,7% | 33,3% | 0,0% | 0,0% | 0,0% | 0,0% | | |
| | Franchissement | 1 | -1 | 0,0% | 0,0% | 100,0% | 0,0% | 0,0% | 0,0% | 0,0% | | |
| | Run-up | 2 | -3 | 0,0% | 100,0% | 0,0% | 0,0% | 0,0% | 0,0% | 0,0% | | |
| | Processus dissipation | 11 | 2,2727 | 9,1% | 0,0% | 0,0% | 0,0% | 9,1% | 72,7% | 9,1% | | |
| | Déferlement | 3 | 3 | 0,0% | 0,0% | 0,0% | 0,0% | 0,0% | 100,0% | 0,0% | | |
| | Énergie des vagues | 5 | 1,4 | 20,0% | 0,0% | 0,0% | 0,0% | 0,0% | 80,0% | 0,0% | | |
| | Hauteur de vagues | 2 | 3 | 0,0% | 0,0% | 0,0% | 0,0% | 50,0% | 0,0% | 50,0% | | |
| | Transmission | 1 | 3 | 0,0% | 0,0% | 0,0% | 0,0% | 0,0% | 100,0% | 0,0% | | |
| | Fins patrimoniales, symboliques, sacrée | 52 | -1,077 | 13,5% | 48,1% | 1,9% | 3,8% | 3,8% | 21,2% | 7,7% | | |
| | Érosion/Accumulation | 24 | -0,417 | 16,7% | 33,3% | 0,0% | 8,3% | 4,2% | 25,0% | 12,5% | | |
| | Accumulation sédimentaire | 6 | 1,6667 | 0,0% | 16,7% | 0,0% | 0,0% | 16,7% | 66,7% | 0,0% | | |
| | Bilan sédimentaire | 4 | -2,5 | 50,0% | 25,0% | 0,0% | 0,0% | 0,0% | 25,0% | 0,0% | | |
| | Déplacement du trait de côte | 3 | -3 | 0,0% | 100,0% | 0,0% | 0,0% | 0,0% | 0,0% | 0,0% | | |
| | Érosion | 9 | -1 | 22,2% | 33,3% | 0,0% | 22,2% | 0,0% | 0,0% | 22,2% | | |
| | Largeur de plage | 2 | 4 | 0,0% | 0,0% | 0,0% | 0,0% | 0,0% | 50,0% | 50,0% | | |
| | Profil topobathymétrique | 11 | -1,182 | 9,1% | 54,5% | 0,0% | 0,0% | 9,1% | 27,3% | 0,0% | | |
| | Profil de plage | 1 | -3 | 0,0% | 100,0% | 0,0% | 0,0% | 0,0% | 0,0% | 0,0% | | |
| | Système de barres | 9 | -0,778 | 11,1% | 44,4% | 0,0% | 0,0% | 11,1% | 33,3% | 0,0% | | |
| | Variation bathymétrique localisée | 1 | -3 | 0,0% | 100,0% | 0,0% | 0,0% | 0,0% | 0,0% | 0,0% | | |
| | Transport sédimentaire | 4 | -3,5 | 25,0% | 75,0% | 0,0% | 0,0% | 0,0% | 0,0% | 0,0% | | |
| | Transport longitudinal | 2 | -4 | 50,0% | 50,0% | 0,0% | 0,0% | 0,0% | 0,0% | 0,0% | | |
| | Transport sédimentaire général | 1 | -3 | 0,0% | 100,0% | 0,0% | 0,0% | 0,0% | 0,0% | 0,0% | | |
| | Transport transversal | 1 | -3 | 0,0% | 100,0% | 0,0% | 0,0% | 0,0% | 0,0% | 0,0% | | |
| | Courant | 10 | -1,2 | 10,0% | 60,0% | 0,0% | 0,0% | 0,0% | 20,0% | 10,0% | | |
| | Circulation | 3 | 1 | 33,3% | 0,0% | 0,0% | 0,0% | 0,0% | 33,3% | 33,3% | | |
| | Courant d'arrachement | 3 | -3 | 0,0% | 100,0% | 0,0% | 0,0% | 0,0% | 0,0% | 0,0% | | |
| | Courant de marée | 1 | -3 | 0,0% | 100,0% | 0,0% | 0,0% | 0,0% | 0,0% | 0,0% | | |
| | Dérive littorale | 3 | -1 | 0,0% | 66,7% | 0,0% | 0,0% | 0,0% | 33,3% | 0,0% | | |
| | Jet de rive | 3 | -2,333 | 0,0% | 66,7% | 33,3% | 0,0% | 0,0% | 0,0% | 0,0% | | |
| | Franchissement | 1 | -1 | 0,0% | 0,0% | 100,0% | 0,0% | 0,0% | 0,0% | 0,0% | | |
| | Run-up | 2 | -3 | 0,0% | 100,0% | 0,0% | 0,0% | 0,0% | 0,0% | 0,0% | | |
| 12 | Brise-lame émergé | Agr | Services écologiques | 35 | -0,8 | 8,6% | 45,7% | 2,9% | 8,6% | 2,9% | 28,6% | 2,9% |
| | Fins alimentaires | 8 | -1,5 | 0,0% | 75,0% | 0,0% | 0,0% | 0,0% | 25,0% | 0,0% | | |
| | Profil topobathymétrique | 2 | 0 | 0,0% | 50,0% | 0,0% | 0,0% | 0,0% | 50,0% | 0,0% | | |
| | Profil de plage | 2 | 0 | 0,0% | 50,0% | 0,0% | 0,0% | 0,0% | 50,0% | 0,0% | | |
| | Processus dissipation | 1 | 3 | 0,0% | 0,0% | 0,0% | 0,0% | 0,0% | 100,0% | 0,0% | | |
| | Énergie des vagues | 1 | 3 | 0,0% | 0,0% | 0,0% | 0,0% | 0,0% | 100,0% | 0,0% | | |
| | Biocénose | 4 | -3 | 0,0% | 100,0% | 0,0% | 0,0% | 0,0% | 0,0% | 0,0% | | |
| | Biocénose qualitative | 4 | -3 | 0,0% | 100,0% | 0,0% | 0,0% | 0,0% | 0,0% | 0,0% | | |
| | Biotope | 1 | -3 | 0,0% | 100,0% | 0,0% | 0,0% | 0,0% | 0,0% | 0,0% | | |
| | Mouvement de la ressource | 1 | -3 | 0,0% | 100,0% | 0,0% | 0,0% | 0,0% | 0,0% | 0,0% | | |
| | Maintenance du cycle de vie | 8 | -1,5 | 0,0% | 75,0% | 0,0% | 0,0% | 0,0% | 25,0% | 0,0% | | |
| | Profil topobathymétrique | 2 | 0 | 0,0% | 50,0% | 0,0% | 0,0% | 0,0% | 50,0% | 0,0% | | |

Identification d'ouvrages de protection côtière

Date : 2021-03-19

Cellule hydrosédimentaire :

version :

Groupe_0004

page :

74

| | | | | | | | | | |
|---|----|--------|-------|--------|-------|--------|-------|--------|-------|
| Profil de plage | 2 | 0 | 0,0% | 50,0% | 0,0% | 0,0% | 0,0% | 50,0% | 0,0% |
| Processus dissipation | 1 | 3 | 0,0% | 0,0% | 0,0% | 0,0% | 0,0% | 100,0% | 0,0% |
| Énergie des vagues | 1 | 3 | 0,0% | 0,0% | 0,0% | 0,0% | 0,0% | 100,0% | 0,0% |
| Biocénose | 4 | -3 | 0,0% | 100,0% | 0,0% | 0,0% | 0,0% | 0,0% | 0,0% |
| Biocénose qualitative | 4 | -3 | 0,0% | 100,0% | 0,0% | 0,0% | 0,0% | 0,0% | 0,0% |
| Biotope | 1 | -3 | 0,0% | 100,0% | 0,0% | 0,0% | 0,0% | 0,0% | 0,0% |
| Mouvement de la ressource | 1 | -3 | 0,0% | 100,0% | 0,0% | 0,0% | 0,0% | 0,0% | 0,0% |
| Purification de l'eau | 3 | -0,333 | 0,0% | 33,3% | 33,3% | 0,0% | 0,0% | 33,3% | 0,0% |
| Courant | 2 | -2 | 0,0% | 50,0% | 50,0% | 0,0% | 0,0% | 0,0% | 0,0% |
| Circulation | 2 | -2 | 0,0% | 50,0% | 50,0% | 0,0% | 0,0% | 0,0% | 0,0% |
| Processus dissipation | 1 | 3 | 0,0% | 0,0% | 0,0% | 0,0% | 0,0% | 100,0% | 0,0% |
| Énergie des vagues | 1 | 3 | 0,0% | 0,0% | 0,0% | 0,0% | 0,0% | 100,0% | 0,0% |
| Protection côtière | 25 | 0,24 | 4,0% | 32,0% | 4,0% | 12,0% | 4,0% | 40,0% | 4,0% |
| Érosion/Accumulation | 18 | 0,5556 | 5,6% | 27,8% | 0,0% | 11,1% | 5,6% | 44,4% | 5,6% |
| Accumulation sédimentaire | 11 | 0,3636 | 9,1% | 27,3% | 0,0% | 9,1% | 0,0% | 54,5% | 0,0% |
| Bilan sédimentaire | 1 | 3 | 0,0% | 0,0% | 0,0% | 0,0% | 0,0% | 100,0% | 0,0% |
| Largeur de plage | 4 | 0,5 | 0,0% | 50,0% | 0,0% | 0,0% | 0,0% | 25,0% | 25,0% |
| Rétablissement géomorphologique | 2 | 0,5 | 0,0% | 0,0% | 0,0% | 50,0% | 50,0% | 0,0% | 0,0% |
| Profil topobathymétrique | 2 | 0 | 0,0% | 50,0% | 0,0% | 0,0% | 0,0% | 50,0% | 0,0% |
| Profil de plage | 2 | 0 | 0,0% | 50,0% | 0,0% | 0,0% | 0,0% | 50,0% | 0,0% |
| Transport sédimentaire | 2 | -1,5 | 0,0% | 50,0% | 0,0% | 50,0% | 0,0% | 0,0% | 0,0% |
| Transport longitudinal | 1 | -3 | 0,0% | 100,0% | 0,0% | 0,0% | 0,0% | 0,0% | 0,0% |
| Transport sédimentaire général | 1 | 0 | 0,0% | 0,0% | 0,0% | 100,0% | 0,0% | 0,0% | 0,0% |
| Courant | 2 | -2 | 0,0% | 50,0% | 50,0% | 0,0% | 0,0% | 0,0% | 0,0% |
| Circulation | 2 | -2 | 0,0% | 50,0% | 50,0% | 0,0% | 0,0% | 0,0% | 0,0% |
| Processus dissipation | 1 | 3 | 0,0% | 0,0% | 0,0% | 0,0% | 0,0% | 100,0% | 0,0% |
| Énergie des vagues | 1 | 3 | 0,0% | 0,0% | 0,0% | 0,0% | 0,0% | 100,0% | 0,0% |
| Fins récréatives ou de loisirs | 30 | -0,433 | 10,0% | 36,7% | 3,3% | 10,0% | 3,3% | 33,3% | 3,3% |
| Érosion/Accumulation | 18 | 0,5556 | 5,6% | 27,8% | 0,0% | 11,1% | 5,6% | 44,4% | 5,6% |
| Accumulation sédimentaire | 11 | 0,3636 | 9,1% | 27,3% | 0,0% | 9,1% | 0,0% | 54,5% | 0,0% |
| Bilan sédimentaire | 1 | 3 | 0,0% | 0,0% | 0,0% | 0,0% | 0,0% | 100,0% | 0,0% |
| Largeur de plage | 4 | 0,5 | 0,0% | 50,0% | 0,0% | 0,0% | 0,0% | 25,0% | 25,0% |
| Rétablissement géomorphologique | 2 | 0,5 | 0,0% | 0,0% | 0,0% | 50,0% | 50,0% | 0,0% | 0,0% |
| Profil topobathymétrique | 2 | 0 | 0,0% | 50,0% | 0,0% | 0,0% | 0,0% | 50,0% | 0,0% |
| Profil de plage | 2 | 0 | 0,0% | 50,0% | 0,0% | 0,0% | 0,0% | 50,0% | 0,0% |
| Transport sédimentaire | 2 | -1,5 | 0,0% | 50,0% | 0,0% | 50,0% | 0,0% | 0,0% | 0,0% |
| Transport longitudinal | 1 | -3 | 0,0% | 100,0% | 0,0% | 0,0% | 0,0% | 0,0% | 0,0% |
| Transport sédimentaire général | 1 | 0 | 0,0% | 0,0% | 0,0% | 100,0% | 0,0% | 0,0% | 0,0% |
| Courant | 2 | -2 | 0,0% | 50,0% | 50,0% | 0,0% | 0,0% | 0,0% | 0,0% |
| Circulation | 2 | -2 | 0,0% | 50,0% | 50,0% | 0,0% | 0,0% | 0,0% | 0,0% |
| Pratique de loisirs | 3 | -3,667 | 33,3% | 66,7% | 0,0% | 0,0% | 0,0% | 0,0% | 0,0% |
| Loisirs aquatiques côtiers | 3 | -3,667 | 33,3% | 66,7% | 0,0% | 0,0% | 0,0% | 0,0% | 0,0% |
| Qualité socio-culturelle | 2 | -4 | 50,0% | 50,0% | 0,0% | 0,0% | 0,0% | 0,0% | 0,0% |
| Qualité de vie | 2 | -4 | 50,0% | 50,0% | 0,0% | 0,0% | 0,0% | 0,0% | 0,0% |
| Processus dissipation | 1 | 3 | 0,0% | 0,0% | 0,0% | 0,0% | 0,0% | 100,0% | 0,0% |
| Énergie des vagues | 1 | 3 | 0,0% | 0,0% | 0,0% | 0,0% | 0,0% | 100,0% | 0,0% |
| Fins patrimoniales, symboliques, sacrée | 26 | -0,192 | 7,7% | 34,6% | 3,8% | 11,5% | 3,8% | 34,6% | 3,8% |
| Érosion/Accumulation | 18 | 0,5556 | 5,6% | 27,8% | 0,0% | 11,1% | 5,6% | 44,4% | 5,6% |
| Accumulation sédimentaire | 11 | 0,3636 | 9,1% | 27,3% | 0,0% | 9,1% | 0,0% | 54,5% | 0,0% |

Identification d'ouvrages de protection côtière

Date : 2021-03-19

Cellule hydrosédimentaire :

version :

Groupe_0004

page :

75

13 Brise-lame à crête basse

| | | | | | | | | | |
|------------------------------------|----|--------|-------|--------|-------|--------|-------|--------|-------|
| Bilan sédimentaire | 1 | 3 | 0,0% | 0,0% | 0,0% | 0,0% | 0,0% | 100,0% | 0,0% |
| Largeur de plage | 4 | 0,5 | 0,0% | 50,0% | 0,0% | 0,0% | 0,0% | 25,0% | 25,0% |
| Rétablissement géomorphologique | 2 | 0,5 | 0,0% | 0,0% | 0,0% | 50,0% | 50,0% | 0,0% | 0,0% |
| Profil topobathymétrique | 2 | 0 | 0,0% | 50,0% | 0,0% | 0,0% | 0,0% | 50,0% | 0,0% |
| Profil de plage | 2 | 0 | 0,0% | 50,0% | 0,0% | 0,0% | 0,0% | 50,0% | 0,0% |
| Transport sédimentaire | 2 | -1,5 | 0,0% | 50,0% | 0,0% | 50,0% | 0,0% | 0,0% | 0,0% |
| Transport longitudinal | 1 | -3 | 0,0% | 100,0% | 0,0% | 0,0% | 0,0% | 0,0% | 0,0% |
| Transport sédimentaire général | 1 | 0 | 0,0% | 0,0% | 0,0% | 100,0% | 0,0% | 0,0% | 0,0% |
| Courant | 2 | -2 | 0,0% | 50,0% | 50,0% | 0,0% | 0,0% | 0,0% | 0,0% |
| Circulation | 2 | -2 | 0,0% | 50,0% | 50,0% | 0,0% | 0,0% | 0,0% | 0,0% |
| Qualité socio-culturelle | 2 | -4 | 50,0% | 50,0% | 0,0% | 0,0% | 0,0% | 0,0% | 0,0% |
| Qualité de vie | 2 | -4 | 50,0% | 50,0% | 0,0% | 0,0% | 0,0% | 0,0% | 0,0% |
| Agr Services écologiques | 62 | -1 | 12,9% | 46,8% | 3,2% | 3,2% | 3,2% | 24,2% | 6,5% |
| Fins alimentaires | 21 | -1,238 | 19,0% | 42,9% | 4,8% | 4,8% | 0,0% | 19,0% | 9,5% |
| Profil topobathymétrique | 7 | -0,714 | 28,6% | 28,6% | 0,0% | 0,0% | 0,0% | 28,6% | 14,3% |
| Variation bathymétrique généralisé | 3 | 1 | 33,3% | 0,0% | 0,0% | 0,0% | 0,0% | 33,3% | 33,3% |
| Variation bathymétrique localisée | 4 | -2 | 25,0% | 50,0% | 0,0% | 0,0% | 0,0% | 25,0% | 0,0% |
| Sédiments | 1 | -3 | 0,0% | 100,0% | 0,0% | 0,0% | 0,0% | 0,0% | 0,0% |
| Taille granulométrique | 1 | -3 | 0,0% | 100,0% | 0,0% | 0,0% | 0,0% | 0,0% | 0,0% |
| Processus dissipation | 3 | 3,6667 | 0,0% | 0,0% | 0,0% | 0,0% | 0,0% | 66,7% | 33,3% |
| Énergie des vagues | 1 | 3 | 0,0% | 0,0% | 0,0% | 0,0% | 0,0% | 100,0% | 0,0% |
| Hauteur de vagues | 2 | 4 | 0,0% | 0,0% | 0,0% | 0,0% | 0,0% | 50,0% | 50,0% |
| Biocénose | 8 | -2,625 | 12,5% | 62,5% | 12,5% | 12,5% | 0,0% | 0,0% | 0,0% |
| Biocénose qualitative | 8 | -2,625 | 12,5% | 62,5% | 12,5% | 12,5% | 0,0% | 0,0% | 0,0% |
| Biotope | 2 | -4 | 50,0% | 50,0% | 0,0% | 0,0% | 0,0% | 0,0% | 0,0% |
| Modification physico-chimique | 2 | -4 | 50,0% | 50,0% | 0,0% | 0,0% | 0,0% | 0,0% | 0,0% |
| Maintenance du cycle de vie | 21 | -1,238 | 19,0% | 42,9% | 4,8% | 4,8% | 0,0% | 19,0% | 9,5% |
| Profil topobathymétrique | 7 | -0,714 | 28,6% | 28,6% | 0,0% | 0,0% | 0,0% | 28,6% | 14,3% |
| Variation bathymétrique généralisé | 3 | 1 | 33,3% | 0,0% | 0,0% | 0,0% | 0,0% | 33,3% | 33,3% |
| Variation bathymétrique localisée | 4 | -2 | 25,0% | 50,0% | 0,0% | 0,0% | 0,0% | 25,0% | 0,0% |
| Sédiments | 1 | -3 | 0,0% | 100,0% | 0,0% | 0,0% | 0,0% | 0,0% | 0,0% |
| Taille granulométrique | 1 | -3 | 0,0% | 100,0% | 0,0% | 0,0% | 0,0% | 0,0% | 0,0% |
| Processus dissipation | 3 | 3,6667 | 0,0% | 0,0% | 0,0% | 0,0% | 0,0% | 66,7% | 33,3% |
| Énergie des vagues | 1 | 3 | 0,0% | 0,0% | 0,0% | 0,0% | 0,0% | 100,0% | 0,0% |
| Hauteur de vagues | 2 | 4 | 0,0% | 0,0% | 0,0% | 0,0% | 0,0% | 50,0% | 50,0% |
| Biocénose | 8 | -2,625 | 12,5% | 62,5% | 12,5% | 12,5% | 0,0% | 0,0% | 0,0% |
| Biocénose qualitative | 8 | -2,625 | 12,5% | 62,5% | 12,5% | 12,5% | 0,0% | 0,0% | 0,0% |
| Biotope | 2 | -4 | 50,0% | 50,0% | 0,0% | 0,0% | 0,0% | 0,0% | 0,0% |
| Modification physico-chimique | 2 | -4 | 50,0% | 50,0% | 0,0% | 0,0% | 0,0% | 0,0% | 0,0% |
| Purification de l'eau | 27 | -1 | 3,7% | 59,3% | 3,7% | 0,0% | 3,7% | 25,9% | 3,7% |
| Courant | 23 | -1,783 | 4,3% | 69,6% | 4,3% | 0,0% | 4,3% | 17,4% | 0,0% |
| Circulation | 12 | -1,667 | 0,0% | 75,0% | 0,0% | 0,0% | 8,3% | 16,7% | 0,0% |
| Courant d'arrachement | 2 | -3 | 0,0% | 100,0% | 0,0% | 0,0% | 0,0% | 0,0% | 0,0% |
| Courant transversaux | 6 | -2 | 16,7% | 50,0% | 16,7% | 0,0% | 0,0% | 16,7% | 0,0% |
| Dérive littorale | 3 | -1 | 0,0% | 66,7% | 0,0% | 0,0% | 0,0% | 33,3% | 0,0% |
| Processus dissipation | 4 | 3,5 | 0,0% | 0,0% | 0,0% | 0,0% | 0,0% | 75,0% | 25,0% |
| Diffracton | 1 | 3 | 0,0% | 0,0% | 0,0% | 0,0% | 0,0% | 100,0% | 0,0% |
| Énergie des vagues | 1 | 3 | 0,0% | 0,0% | 0,0% | 0,0% | 0,0% | 100,0% | 0,0% |
| Hauteur de vagues | 2 | 4 | 0,0% | 0,0% | 0,0% | 0,0% | 0,0% | 50,0% | 50,0% |

Identification d'ouvrages de protection côtière

Date : 2021-03-19

Cellule hydrosédimentaire :

version :

Groupe_0004

page : 76

| | | | | | | | | | |
|---|----|--------|-------|--------|-------|-------|-------|--------|-------|
| Protection côtière | 52 | -0,635 | 11,5% | 44,2% | 1,9% | 1,9% | 3,8% | 28,8% | 7,7% |
| Érosion/Accumulation | 13 | 0,7692 | 15,4% | 15,4% | 0,0% | 7,7% | 7,7% | 38,5% | 15,4% |
| Accumulation sédimentaire | 7 | 2,7143 | 0,0% | 14,3% | 0,0% | 0,0% | 0,0% | 57,1% | 28,6% |
| Bilan sédimentaire | 2 | 1,5 | 0,0% | 0,0% | 0,0% | 50,0% | 0,0% | 50,0% | 0,0% |
| Déplacement du trait de côte | 2 | -2 | 50,0% | 0,0% | 0,0% | 0,0% | 50,0% | 0,0% | 0,0% |
| Érosion | 2 | -4 | 50,0% | 50,0% | 0,0% | 0,0% | 0,0% | 0,0% | 0,0% |
| Profil topobathymétrique | 7 | -0,714 | 28,6% | 28,6% | 0,0% | 0,0% | 0,0% | 28,6% | 14,3% |
| Variation bathymétrique généralisé | 3 | 1 | 33,3% | 0,0% | 0,0% | 0,0% | 0,0% | 33,3% | 33,3% |
| Variation bathymétrique localisée | 4 | -2 | 25,0% | 50,0% | 0,0% | 0,0% | 0,0% | 25,0% | 0,0% |
| Transport sédimentaire | 3 | -1,667 | 33,3% | 33,3% | 0,0% | 0,0% | 0,0% | 33,3% | 0,0% |
| Transport longitudinal | 2 | -1 | 50,0% | 0,0% | 0,0% | 0,0% | 0,0% | 50,0% | 0,0% |
| Transport sédimentaire général | 1 | -3 | 0,0% | 100,0% | 0,0% | 0,0% | 0,0% | 0,0% | 0,0% |
| Courant | 23 | -1,783 | 4,3% | 69,6% | 4,3% | 0,0% | 4,3% | 17,4% | 0,0% |
| Circulation | 12 | -1,667 | 0,0% | 75,0% | 0,0% | 0,0% | 8,3% | 16,7% | 0,0% |
| Courant d'arrachement | 2 | -3 | 0,0% | 100,0% | 0,0% | 0,0% | 0,0% | 0,0% | 0,0% |
| Courant transversaux | 6 | -2 | 16,7% | 50,0% | 16,7% | 0,0% | 0,0% | 16,7% | 0,0% |
| Dérive littorale | 3 | -1 | 0,0% | 66,7% | 0,0% | 0,0% | 0,0% | 33,3% | 0,0% |
| Jet de rive | 1 | -3 | 0,0% | 100,0% | 0,0% | 0,0% | 0,0% | 0,0% | 0,0% |
| Run-up | 1 | -3 | 0,0% | 100,0% | 0,0% | 0,0% | 0,0% | 0,0% | 0,0% |
| Processus dissipation | 4 | 3,5 | 0,0% | 0,0% | 0,0% | 0,0% | 0,0% | 75,0% | 25,0% |
| Diffraction | 1 | 3 | 0,0% | 0,0% | 0,0% | 0,0% | 0,0% | 100,0% | 0,0% |
| Énergie des vagues | 1 | 3 | 0,0% | 0,0% | 0,0% | 0,0% | 0,0% | 100,0% | 0,0% |
| Hauteur de vagues | 2 | 4 | 0,0% | 0,0% | 0,0% | 0,0% | 0,0% | 50,0% | 50,0% |
| Sédiments | 1 | -3 | 0,0% | 100,0% | 0,0% | 0,0% | 0,0% | 0,0% | 0,0% |
| Taille granulométrique | 1 | -3 | 0,0% | 100,0% | 0,0% | 0,0% | 0,0% | 0,0% | 0,0% |
| Fins récréatives ou de loisirs | 51 | -0,588 | 11,8% | 43,1% | 2,0% | 2,0% | 3,9% | 29,4% | 7,8% |
| Érosion/Accumulation | 13 | 0,7692 | 15,4% | 15,4% | 0,0% | 7,7% | 7,7% | 38,5% | 15,4% |
| Accumulation sédimentaire | 7 | 2,7143 | 0,0% | 14,3% | 0,0% | 0,0% | 0,0% | 57,1% | 28,6% |
| Bilan sédimentaire | 2 | 1,5 | 0,0% | 0,0% | 0,0% | 50,0% | 0,0% | 50,0% | 0,0% |
| Déplacement du trait de côte | 2 | -2 | 50,0% | 0,0% | 0,0% | 0,0% | 50,0% | 0,0% | 0,0% |
| Érosion | 2 | -4 | 50,0% | 50,0% | 0,0% | 0,0% | 0,0% | 0,0% | 0,0% |
| Profil topobathymétrique | 7 | -0,714 | 28,6% | 28,6% | 0,0% | 0,0% | 0,0% | 28,6% | 14,3% |
| Variation bathymétrique généralisé | 3 | 1 | 33,3% | 0,0% | 0,0% | 0,0% | 0,0% | 33,3% | 33,3% |
| Variation bathymétrique localisée | 4 | -2 | 25,0% | 50,0% | 0,0% | 0,0% | 0,0% | 25,0% | 0,0% |
| Transport sédimentaire | 3 | -1,667 | 33,3% | 33,3% | 0,0% | 0,0% | 0,0% | 33,3% | 0,0% |
| Transport longitudinal | 2 | -1 | 50,0% | 0,0% | 0,0% | 0,0% | 0,0% | 50,0% | 0,0% |
| Transport sédimentaire général | 1 | -3 | 0,0% | 100,0% | 0,0% | 0,0% | 0,0% | 0,0% | 0,0% |
| Courant | 23 | -1,783 | 4,3% | 69,6% | 4,3% | 0,0% | 4,3% | 17,4% | 0,0% |
| Circulation | 12 | -1,667 | 0,0% | 75,0% | 0,0% | 0,0% | 8,3% | 16,7% | 0,0% |
| Courant d'arrachement | 2 | -3 | 0,0% | 100,0% | 0,0% | 0,0% | 0,0% | 0,0% | 0,0% |
| Courant transversaux | 6 | -2 | 16,7% | 50,0% | 16,7% | 0,0% | 0,0% | 16,7% | 0,0% |
| Dérive littorale | 3 | -1 | 0,0% | 66,7% | 0,0% | 0,0% | 0,0% | 33,3% | 0,0% |
| Jet de rive | 1 | -3 | 0,0% | 100,0% | 0,0% | 0,0% | 0,0% | 0,0% | 0,0% |
| Run-up | 1 | -3 | 0,0% | 100,0% | 0,0% | 0,0% | 0,0% | 0,0% | 0,0% |
| Processus dissipation | 4 | 3,5 | 0,0% | 0,0% | 0,0% | 0,0% | 0,0% | 75,0% | 25,0% |
| Diffraction | 1 | 3 | 0,0% | 0,0% | 0,0% | 0,0% | 0,0% | 100,0% | 0,0% |
| Énergie des vagues | 1 | 3 | 0,0% | 0,0% | 0,0% | 0,0% | 0,0% | 100,0% | 0,0% |
| Hauteur de vagues | 2 | 4 | 0,0% | 0,0% | 0,0% | 0,0% | 0,0% | 50,0% | 50,0% |
| Fins patrimoniales, symboliques, sacrée | 47 | -0,936 | 12,8% | 46,8% | 2,1% | 2,1% | 4,3% | 25,5% | 6,4% |

Identification d'ouvrages de protection côtière

Date : 2021-03-19

Cellule hydrosédimentaire :

version :

Groupe_0004

page :

77

14 Mur de protection

| | | | | | | | | | |
|-------------------------------------|----|--------|-------|--------|-------|--------|-------|-------|-------|
| Érosion/Accumulation | 13 | 0,7692 | 15,4% | 15,4% | 0,0% | 7,7% | 7,7% | 38,5% | 15,4% |
| Accumulation sédimentaire | 7 | 2,7143 | 0,0% | 14,3% | 0,0% | 0,0% | 0,0% | 57,1% | 28,6% |
| Bilan sédimentaire | 2 | 1,5 | 0,0% | 0,0% | 0,0% | 50,0% | 0,0% | 50,0% | 0,0% |
| Déplacement du trait de côte | 2 | -2 | 50,0% | 0,0% | 0,0% | 0,0% | 50,0% | 0,0% | 0,0% |
| Érosion | 2 | -4 | 50,0% | 50,0% | 0,0% | 0,0% | 0,0% | 0,0% | 0,0% |
| Profil topobathymétrique | 7 | -0,714 | 28,6% | 28,6% | 0,0% | 0,0% | 0,0% | 28,6% | 14,3% |
| Variation bathymétrique généralisé | 3 | 1 | 33,3% | 0,0% | 0,0% | 0,0% | 0,0% | 33,3% | 33,3% |
| Variation bathymétrique localisée | 4 | -2 | 25,0% | 50,0% | 0,0% | 0,0% | 0,0% | 25,0% | 0,0% |
| Transport sédimentaire | 3 | -1,667 | 33,3% | 33,3% | 0,0% | 0,0% | 0,0% | 33,3% | 0,0% |
| Transport longitudinal | 2 | -1 | 50,0% | 0,0% | 0,0% | 0,0% | 0,0% | 50,0% | 0,0% |
| Transport sédimentaire général | 1 | -3 | 0,0% | 100,0% | 0,0% | 0,0% | 0,0% | 0,0% | 0,0% |
| Courant | 23 | -1,783 | 4,3% | 69,6% | 4,3% | 0,0% | 4,3% | 17,4% | 0,0% |
| Circulation | 12 | -1,667 | 0,0% | 75,0% | 0,0% | 0,0% | 8,3% | 16,7% | 0,0% |
| Courant d'arrachement | 2 | -3 | 0,0% | 100,0% | 0,0% | 0,0% | 0,0% | 0,0% | 0,0% |
| Courant transversaux | 6 | -2 | 16,7% | 50,0% | 16,7% | 0,0% | 0,0% | 16,7% | 0,0% |
| Dérive littorale | 3 | -1 | 0,0% | 66,7% | 0,0% | 0,0% | 0,0% | 33,3% | 0,0% |
| Jet de rive | 1 | -3 | 0,0% | 100,0% | 0,0% | 0,0% | 0,0% | 0,0% | 0,0% |
| Run-up | 1 | -3 | 0,0% | 100,0% | 0,0% | 0,0% | 0,0% | 0,0% | 0,0% |
| Agr Services écologiques | 76 | -2,711 | 14,5% | 65,8% | 5,3% | 13,2% | 0,0% | 1,3% | 0,0% |
| Fins alimentaires | 36 | -2,861 | 13,9% | 72,2% | 0,0% | 13,9% | 0,0% | 0,0% | 0,0% |
| Profil topobathymétrique | 4 | -1,5 | 0,0% | 50,0% | 0,0% | 50,0% | 0,0% | 0,0% | 0,0% |
| Profil de plage | 3 | -2 | 0,0% | 66,7% | 0,0% | 33,3% | 0,0% | 0,0% | 0,0% |
| Système de barres | 1 | 0 | 0,0% | 0,0% | 0,0% | 100,0% | 0,0% | 0,0% | 0,0% |
| Sédiments | 3 | -2 | 0,0% | 66,7% | 0,0% | 33,3% | 0,0% | 0,0% | 0,0% |
| Taille granulométrique | 3 | -2 | 0,0% | 66,7% | 0,0% | 33,3% | 0,0% | 0,0% | 0,0% |
| Processus dissipation | 4 | -3 | 0,0% | 100,0% | 0,0% | 0,0% | 0,0% | 0,0% | 0,0% |
| Réflexion | 4 | -3 | 0,0% | 100,0% | 0,0% | 0,0% | 0,0% | 0,0% | 0,0% |
| Biocénose | 14 | -3,214 | 21,4% | 71,4% | 0,0% | 7,1% | 0,0% | 0,0% | 0,0% |
| Biocénose qualitative | 6 | -3,167 | 33,3% | 50,0% | 0,0% | 16,7% | 0,0% | 0,0% | 0,0% |
| Biocénose quantitative | 8 | -3,25 | 12,5% | 87,5% | 0,0% | 0,0% | 0,0% | 0,0% | 0,0% |
| Biotope | 11 | -3,091 | 18,2% | 72,7% | 0,0% | 9,1% | 0,0% | 0,0% | 0,0% |
| Modification physico-chimique | 3 | -3,667 | 33,3% | 66,7% | 0,0% | 0,0% | 0,0% | 0,0% | 0,0% |
| Modification structurelle | 3 | -2 | 0,0% | 66,7% | 0,0% | 33,3% | 0,0% | 0,0% | 0,0% |
| Quantité et qualité de la ressource | 5 | -3,4 | 20,0% | 80,0% | 0,0% | 0,0% | 0,0% | 0,0% | 0,0% |
| Maintenance du cycle de vie | 36 | -2,861 | 13,9% | 72,2% | 0,0% | 13,9% | 0,0% | 0,0% | 0,0% |
| Profil topobathymétrique | 4 | -1,5 | 0,0% | 50,0% | 0,0% | 50,0% | 0,0% | 0,0% | 0,0% |
| Profil de plage | 3 | -2 | 0,0% | 66,7% | 0,0% | 33,3% | 0,0% | 0,0% | 0,0% |
| Système de barres | 1 | 0 | 0,0% | 0,0% | 0,0% | 100,0% | 0,0% | 0,0% | 0,0% |
| Sédiments | 3 | -2 | 0,0% | 66,7% | 0,0% | 33,3% | 0,0% | 0,0% | 0,0% |
| Taille granulométrique | 3 | -2 | 0,0% | 66,7% | 0,0% | 33,3% | 0,0% | 0,0% | 0,0% |
| Processus dissipation | 4 | -3 | 0,0% | 100,0% | 0,0% | 0,0% | 0,0% | 0,0% | 0,0% |
| Réflexion | 4 | -3 | 0,0% | 100,0% | 0,0% | 0,0% | 0,0% | 0,0% | 0,0% |
| Biocénose | 14 | -3,214 | 21,4% | 71,4% | 0,0% | 7,1% | 0,0% | 0,0% | 0,0% |
| Biocénose qualitative | 6 | -3,167 | 33,3% | 50,0% | 0,0% | 16,7% | 0,0% | 0,0% | 0,0% |
| Biocénose quantitative | 8 | -3,25 | 12,5% | 87,5% | 0,0% | 0,0% | 0,0% | 0,0% | 0,0% |
| Biotope | 11 | -3,091 | 18,2% | 72,7% | 0,0% | 9,1% | 0,0% | 0,0% | 0,0% |
| Modification physico-chimique | 3 | -3,667 | 33,3% | 66,7% | 0,0% | 0,0% | 0,0% | 0,0% | 0,0% |
| Modification structurelle | 3 | -2 | 0,0% | 66,7% | 0,0% | 33,3% | 0,0% | 0,0% | 0,0% |
| Quantité et qualité de la ressource | 5 | -3,4 | 20,0% | 80,0% | 0,0% | 0,0% | 0,0% | 0,0% | 0,0% |

Identification d'ouvrages de protection côtière

Date : 2021-03-19

Cellule hydrosédimentaire :

version :

Groupe_0004

page : 78

| | | | | | | | | | |
|---------------------------------|----|--------|-------|--------|-------|--------|------|-------|------|
| Purification de l'eau | 5 | -3 | 0,0% | 100,0% | 0,0% | 0,0% | 0,0% | 0,0% | 0,0% |
| Courant | 1 | -3 | 0,0% | 100,0% | 0,0% | 0,0% | 0,0% | 0,0% | 0,0% |
| Dérive littorale | 1 | -3 | 0,0% | 100,0% | 0,0% | 0,0% | 0,0% | 0,0% | 0,0% |
| Processus dissipation | 4 | -3 | 0,0% | 100,0% | 0,0% | 0,0% | 0,0% | 0,0% | 0,0% |
| Réflexion | 4 | -3 | 0,0% | 100,0% | 0,0% | 0,0% | 0,0% | 0,0% | 0,0% |
| Protection côtière | 51 | -2,49 | 11,8% | 62,7% | 7,8% | 15,7% | 0,0% | 2,0% | 0,0% |
| Érosion/Accumulation | 31 | -2,452 | 19,4% | 48,4% | 12,9% | 16,1% | 0,0% | 3,2% | 0,0% |
| Accumulation sédimentaire | 2 | -1 | 50,0% | 0,0% | 0,0% | 0,0% | 0,0% | 50,0% | 0,0% |
| Bilan sédimentaire | 8 | -1,5 | 0,0% | 37,5% | 37,5% | 25,0% | 0,0% | 0,0% | 0,0% |
| Déplacement du trait de côte | 2 | -2,5 | 50,0% | 0,0% | 0,0% | 50,0% | 0,0% | 0,0% | 0,0% |
| Érosion | 3 | -2 | 0,0% | 66,7% | 0,0% | 33,3% | 0,0% | 0,0% | 0,0% |
| Largeur de plage | 11 | -3,545 | 36,4% | 54,5% | 9,1% | 0,0% | 0,0% | 0,0% | 0,0% |
| Rétablissement géomorphologique | 4 | -2,25 | 0,0% | 75,0% | 0,0% | 25,0% | 0,0% | 0,0% | 0,0% |
| Rétention sédimentaire | 1 | -3 | 0,0% | 100,0% | 0,0% | 0,0% | 0,0% | 0,0% | 0,0% |
| Profil topobathymétrique | 4 | -1,5 | 0,0% | 50,0% | 0,0% | 50,0% | 0,0% | 0,0% | 0,0% |
| Profil de plage | 3 | -2 | 0,0% | 66,7% | 0,0% | 33,3% | 0,0% | 0,0% | 0,0% |
| Système de barres | 1 | 0 | 0,0% | 0,0% | 0,0% | 100,0% | 0,0% | 0,0% | 0,0% |
| Transport sédimentaire | 3 | -3 | 0,0% | 100,0% | 0,0% | 0,0% | 0,0% | 0,0% | 0,0% |
| Transport longitudinal | 2 | -3 | 0,0% | 100,0% | 0,0% | 0,0% | 0,0% | 0,0% | 0,0% |
| Transport transversal | 1 | -3 | 0,0% | 100,0% | 0,0% | 0,0% | 0,0% | 0,0% | 0,0% |
| Courant | 1 | -3 | 0,0% | 100,0% | 0,0% | 0,0% | 0,0% | 0,0% | 0,0% |
| Dérive littorale | 1 | -3 | 0,0% | 100,0% | 0,0% | 0,0% | 0,0% | 0,0% | 0,0% |
| Jet de rive | 5 | -3 | 0,0% | 100,0% | 0,0% | 0,0% | 0,0% | 0,0% | 0,0% |
| Backwash/Swash | 5 | -3 | 0,0% | 100,0% | 0,0% | 0,0% | 0,0% | 0,0% | 0,0% |
| Processus dissipation | 4 | -3 | 0,0% | 100,0% | 0,0% | 0,0% | 0,0% | 0,0% | 0,0% |
| Réflexion | 4 | -3 | 0,0% | 100,0% | 0,0% | 0,0% | 0,0% | 0,0% | 0,0% |
| Sédiments | 3 | -2 | 0,0% | 66,7% | 0,0% | 33,3% | 0,0% | 0,0% | 0,0% |
| Taille granulométrique | 3 | -2 | 0,0% | 66,7% | 0,0% | 33,3% | 0,0% | 0,0% | 0,0% |
| Fins récréatives ou de loisirs | 48 | -2,521 | 12,5% | 62,5% | 8,3% | 14,6% | 0,0% | 2,1% | 0,0% |
| Érosion/Accumulation | 31 | -2,452 | 19,4% | 48,4% | 12,9% | 16,1% | 0,0% | 3,2% | 0,0% |
| Accumulation sédimentaire | 2 | -1 | 50,0% | 0,0% | 0,0% | 0,0% | 0,0% | 50,0% | 0,0% |
| Bilan sédimentaire | 8 | -1,5 | 0,0% | 37,5% | 37,5% | 25,0% | 0,0% | 0,0% | 0,0% |
| Déplacement du trait de côte | 2 | -2,5 | 50,0% | 0,0% | 0,0% | 50,0% | 0,0% | 0,0% | 0,0% |
| Érosion | 3 | -2 | 0,0% | 66,7% | 0,0% | 33,3% | 0,0% | 0,0% | 0,0% |
| Largeur de plage | 11 | -3,545 | 36,4% | 54,5% | 9,1% | 0,0% | 0,0% | 0,0% | 0,0% |
| Rétablissement géomorphologique | 4 | -2,25 | 0,0% | 75,0% | 0,0% | 25,0% | 0,0% | 0,0% | 0,0% |
| Rétention sédimentaire | 1 | -3 | 0,0% | 100,0% | 0,0% | 0,0% | 0,0% | 0,0% | 0,0% |
| Profil topobathymétrique | 4 | -1,5 | 0,0% | 50,0% | 0,0% | 50,0% | 0,0% | 0,0% | 0,0% |
| Profil de plage | 3 | -2 | 0,0% | 66,7% | 0,0% | 33,3% | 0,0% | 0,0% | 0,0% |
| Système de barres | 1 | 0 | 0,0% | 0,0% | 0,0% | 100,0% | 0,0% | 0,0% | 0,0% |
| Transport sédimentaire | 3 | -3 | 0,0% | 100,0% | 0,0% | 0,0% | 0,0% | 0,0% | 0,0% |
| Transport longitudinal | 2 | -3 | 0,0% | 100,0% | 0,0% | 0,0% | 0,0% | 0,0% | 0,0% |
| Transport transversal | 1 | -3 | 0,0% | 100,0% | 0,0% | 0,0% | 0,0% | 0,0% | 0,0% |
| Courant | 1 | -3 | 0,0% | 100,0% | 0,0% | 0,0% | 0,0% | 0,0% | 0,0% |
| Dérive littorale | 1 | -3 | 0,0% | 100,0% | 0,0% | 0,0% | 0,0% | 0,0% | 0,0% |
| Jet de rive | 5 | -3 | 0,0% | 100,0% | 0,0% | 0,0% | 0,0% | 0,0% | 0,0% |
| Backwash/Swash | 5 | -3 | 0,0% | 100,0% | 0,0% | 0,0% | 0,0% | 0,0% | 0,0% |
| Processus dissipation | 4 | -3 | 0,0% | 100,0% | 0,0% | 0,0% | 0,0% | 0,0% | 0,0% |
| Réflexion | 4 | -3 | 0,0% | 100,0% | 0,0% | 0,0% | 0,0% | 0,0% | 0,0% |

Identification d'ouvrages de protection côtière

Date : 2021-03-19

Cellule hydrosédimentaire :

version :

Groupe_0004

page :

79

15 Enrochement

| | | | | | | | | | |
|---|----|--------|-------|--------|-------|--------|------|-------|------|
| Fins patrimoniales, symboliques, sacrée | 44 | -2,477 | 13,6% | 59,1% | 9,1% | 15,9% | 0,0% | 2,3% | 0,0% |
| Érosion/Accumulation | 31 | -2,452 | 19,4% | 48,4% | 12,9% | 16,1% | 0,0% | 3,2% | 0,0% |
| Accumulation sédimentaire | 2 | -1 | 50,0% | 0,0% | 0,0% | 0,0% | 0,0% | 50,0% | 0,0% |
| Bilan sédimentaire | 8 | -1,5 | 0,0% | 37,5% | 37,5% | 25,0% | 0,0% | 0,0% | 0,0% |
| Déplacement du trait de côte | 2 | -2,5 | 50,0% | 0,0% | 0,0% | 50,0% | 0,0% | 0,0% | 0,0% |
| Érosion | 3 | -2 | 0,0% | 66,7% | 0,0% | 33,3% | 0,0% | 0,0% | 0,0% |
| Largeur de plage | 11 | -3,545 | 36,4% | 54,5% | 9,1% | 0,0% | 0,0% | 0,0% | 0,0% |
| Rétablissement géomorphologique | 4 | -2,25 | 0,0% | 75,0% | 0,0% | 25,0% | 0,0% | 0,0% | 0,0% |
| Rétention sédimentaire | 1 | -3 | 0,0% | 100,0% | 0,0% | 0,0% | 0,0% | 0,0% | 0,0% |
| Profil topobathymétrique | 4 | -1,5 | 0,0% | 50,0% | 0,0% | 50,0% | 0,0% | 0,0% | 0,0% |
| Profil de plage | 3 | -2 | 0,0% | 66,7% | 0,0% | 33,3% | 0,0% | 0,0% | 0,0% |
| Système de barres | 1 | 0 | 0,0% | 0,0% | 0,0% | 100,0% | 0,0% | 0,0% | 0,0% |
| Transport sédimentaire | 3 | -3 | 0,0% | 100,0% | 0,0% | 0,0% | 0,0% | 0,0% | 0,0% |
| Transport longitudinal | 2 | -3 | 0,0% | 100,0% | 0,0% | 0,0% | 0,0% | 0,0% | 0,0% |
| Transport transversal | 1 | -3 | 0,0% | 100,0% | 0,0% | 0,0% | 0,0% | 0,0% | 0,0% |
| Courant | 1 | -3 | 0,0% | 100,0% | 0,0% | 0,0% | 0,0% | 0,0% | 0,0% |
| Dérive littorale | 1 | -3 | 0,0% | 100,0% | 0,0% | 0,0% | 0,0% | 0,0% | 0,0% |
| Jet de rive | 5 | -3 | 0,0% | 100,0% | 0,0% | 0,0% | 0,0% | 0,0% | 0,0% |
| Backwash/Swash | 5 | -3 | 0,0% | 100,0% | 0,0% | 0,0% | 0,0% | 0,0% | 0,0% |
| Agr Services écologiques | 54 | -3,389 | 37,0% | 51,9% | 3,7% | 5,6% | 0,0% | 1,9% | 0,0% |
| Fins alimentaires | 43 | -3,442 | 37,2% | 53,5% | 4,7% | 2,3% | 0,0% | 2,3% | 0,0% |
| Profil topobathymétrique | 3 | -3 | 0,0% | 100,0% | 0,0% | 0,0% | 0,0% | 0,0% | 0,0% |
| Profil de plage | 2 | -3 | 0,0% | 100,0% | 0,0% | 0,0% | 0,0% | 0,0% | 0,0% |
| Système de barres | 1 | -3 | 0,0% | 100,0% | 0,0% | 0,0% | 0,0% | 0,0% | 0,0% |
| Sédiments | 2 | -3 | 0,0% | 100,0% | 0,0% | 0,0% | 0,0% | 0,0% | 0,0% |
| Taille granulométrique | 2 | -3 | 0,0% | 100,0% | 0,0% | 0,0% | 0,0% | 0,0% | 0,0% |
| Biocénose | 24 | -3,458 | 37,5% | 50,0% | 8,3% | 4,2% | 0,0% | 0,0% | 0,0% |
| Biocénose qualitative | 13 | -3,538 | 46,2% | 38,5% | 7,7% | 7,7% | 0,0% | 0,0% | 0,0% |
| Biocénose quantitative | 11 | -3,364 | 27,3% | 63,6% | 9,1% | 0,0% | 0,0% | 0,0% | 0,0% |
| Biotope | 14 | -3,571 | 50,0% | 42,9% | 0,0% | 0,0% | 0,0% | 7,1% | 0,0% |
| Modification physico-chimique | 2 | -3 | 0,0% | 100,0% | 0,0% | 0,0% | 0,0% | 0,0% | 0,0% |
| Modification structurelle | 8 | -3,75 | 75,0% | 12,5% | 0,0% | 0,0% | 0,0% | 12,5% | 0,0% |
| Quantité et qualité de la ressource | 4 | -3,5 | 25,0% | 75,0% | 0,0% | 0,0% | 0,0% | 0,0% | 0,0% |
| Maintenance du cycle de vie | 43 | -3,442 | 37,2% | 53,5% | 4,7% | 2,3% | 0,0% | 2,3% | 0,0% |
| Profil topobathymétrique | 3 | -3 | 0,0% | 100,0% | 0,0% | 0,0% | 0,0% | 0,0% | 0,0% |
| Profil de plage | 2 | -3 | 0,0% | 100,0% | 0,0% | 0,0% | 0,0% | 0,0% | 0,0% |
| Système de barres | 1 | -3 | 0,0% | 100,0% | 0,0% | 0,0% | 0,0% | 0,0% | 0,0% |
| Sédiments | 2 | -3 | 0,0% | 100,0% | 0,0% | 0,0% | 0,0% | 0,0% | 0,0% |
| Taille granulométrique | 2 | -3 | 0,0% | 100,0% | 0,0% | 0,0% | 0,0% | 0,0% | 0,0% |
| Biocénose | 24 | -3,458 | 37,5% | 50,0% | 8,3% | 4,2% | 0,0% | 0,0% | 0,0% |
| Biocénose qualitative | 13 | -3,538 | 46,2% | 38,5% | 7,7% | 7,7% | 0,0% | 0,0% | 0,0% |
| Biocénose quantitative | 11 | -3,364 | 27,3% | 63,6% | 9,1% | 0,0% | 0,0% | 0,0% | 0,0% |
| Biotope | 14 | -3,571 | 50,0% | 42,9% | 0,0% | 0,0% | 0,0% | 7,1% | 0,0% |
| Modification physico-chimique | 2 | -3 | 0,0% | 100,0% | 0,0% | 0,0% | 0,0% | 0,0% | 0,0% |
| Modification structurelle | 8 | -3,75 | 75,0% | 12,5% | 0,0% | 0,0% | 0,0% | 12,5% | 0,0% |
| Quantité et qualité de la ressource | 4 | -3,5 | 25,0% | 75,0% | 0,0% | 0,0% | 0,0% | 0,0% | 0,0% |
| Protection côtière | 16 | -3,125 | 25,0% | 62,5% | 0,0% | 12,5% | 0,0% | 0,0% | 0,0% |
| Érosion/Accumulation | 11 | -3,182 | 36,4% | 45,5% | 0,0% | 18,2% | 0,0% | 0,0% | 0,0% |
| Érosion | 2 | -3 | 0,0% | 100,0% | 0,0% | 0,0% | 0,0% | 0,0% | 0,0% |

Identification d'ouvrages de protection côtière

Date : 2021-03-19

Cellule hydrosédimentaire :

version :

Groupe_0004

page : 80

| | | | | | | | | | |
|---|----|--------|-------|--------|------|-------|------|------|------|
| Largeur de plage | 9 | -3,222 | 44,4% | 33,3% | 0,0% | 22,2% | 0,0% | 0,0% | 0,0% |
| Profil topobathymétrique | 3 | -3 | 0,0% | 100,0% | 0,0% | 0,0% | 0,0% | 0,0% | 0,0% |
| Profil de plage | 2 | -3 | 0,0% | 100,0% | 0,0% | 0,0% | 0,0% | 0,0% | 0,0% |
| Système de barres | 1 | -3 | 0,0% | 100,0% | 0,0% | 0,0% | 0,0% | 0,0% | 0,0% |
| Sédiments | 2 | -3 | 0,0% | 100,0% | 0,0% | 0,0% | 0,0% | 0,0% | 0,0% |
| Taille granulométrique | 2 | -3 | 0,0% | 100,0% | 0,0% | 0,0% | 0,0% | 0,0% | 0,0% |
| Fins récréatives ou de loisirs | 14 | -3,143 | 28,6% | 57,1% | 0,0% | 14,3% | 0,0% | 0,0% | 0,0% |
| Érosion/Accumulation | 11 | -3,182 | 36,4% | 45,5% | 0,0% | 18,2% | 0,0% | 0,0% | 0,0% |
| Érosion | 2 | -3 | 0,0% | 100,0% | 0,0% | 0,0% | 0,0% | 0,0% | 0,0% |
| Largeur de plage | 9 | -3,222 | 44,4% | 33,3% | 0,0% | 22,2% | 0,0% | 0,0% | 0,0% |
| Profil topobathymétrique | 3 | -3 | 0,0% | 100,0% | 0,0% | 0,0% | 0,0% | 0,0% | 0,0% |
| Profil de plage | 2 | -3 | 0,0% | 100,0% | 0,0% | 0,0% | 0,0% | 0,0% | 0,0% |
| Système de barres | 1 | -3 | 0,0% | 100,0% | 0,0% | 0,0% | 0,0% | 0,0% | 0,0% |
| Fins patrimoniales, symboliques, sacrée | 14 | -3,143 | 28,6% | 57,1% | 0,0% | 14,3% | 0,0% | 0,0% | 0,0% |
| Érosion/Accumulation | 11 | -3,182 | 36,4% | 45,5% | 0,0% | 18,2% | 0,0% | 0,0% | 0,0% |
| Érosion | 2 | -3 | 0,0% | 100,0% | 0,0% | 0,0% | 0,0% | 0,0% | 0,0% |
| Largeur de plage | 9 | -3,222 | 44,4% | 33,3% | 0,0% | 22,2% | 0,0% | 0,0% | 0,0% |
| Profil topobathymétrique | 3 | -3 | 0,0% | 100,0% | 0,0% | 0,0% | 0,0% | 0,0% | 0,0% |
| Profil de plage | 2 | -3 | 0,0% | 100,0% | 0,0% | 0,0% | 0,0% | 0,0% | 0,0% |
| Système de barres | 1 | -3 | 0,0% | 100,0% | 0,0% | 0,0% | 0,0% | 0,0% | 0,0% |

Sommaire principal

| Caractéristiques environnementales | Évolution côtière | Portrait des services écologiques |
|------------------------------------|--|-------------------------------------|
| type de côte : Flèche littorale | Présence d'artificialité (%) : 0 | Fins alimentaires : 14 |
| type de sol : Sable (0,063 - 2 mm) | Taux de déplacement moyen (m/an) : 1,583 | Maintenance du cycle de vie : 4 |
| marnage : Mesotidal (2 - 4 m) | Hauteur moyenne (m) : 1 | Purification de l'eau : 1 |
| vague : Faible (Hs < 1,0 m) | Sens de la dérive littorale : 0 | Protection côtière : 1 |
| | Apport sédimentaire potentiel (m3/an) : ND | Fins récréatives ou de loisirs : 11 |

Classement des ouvrages de protection côtière (effet géomorphologique global)

| Pos. | OPC | % seuil | Moy | IC | N | -5 | -3 | -1 | 0 | 1 | 3 | 5 |
|------|--------------------------------|---------|--------|-------|-----|-------|-------|-------|-------|-------|-------|-------|
| 1 | Végétalisation | 3 | 2,748 | 0,375 | 119 | 0,0% | 3,4% | 0,8% | 5,0% | 5,9% | 72,3% | 12,6% |
| 2 | Ganivelle | 3 | 2,529 | 0,859 | 17 | 0,0% | 11,8% | 0,0% | 0,0% | 5,9% | 64,7% | 17,6% |
| 3 | Recharge de dune | 3 | 2,25 | 0,859 | 4 | 0,0% | 0,0% | 0,0% | 25,0% | 0,0% | 75,0% | 0,0% |
| 4 | Couches perméables de drainage | 3 | 2,182 | 0,375 | 11 | 0,0% | 9,1% | 0,0% | 9,1% | 0,0% | 81,8% | 0,0% |
| 5 | Recharge d'avant-plage | 3 | 2,032 | 0,697 | 31 | 0,0% | 6,5% | 0,0% | 19,4% | 9,7% | 54,8% | 9,7% |
| 6 | Système vertical de drainage | 1 | 1,833 | 0,859 | 6 | 0,0% | 0,0% | 0,0% | 16,7% | 33,3% | 50,0% | 0,0% |
| 7 | Recharge de plage | 1 | 1,793 | 0,859 | 111 | 0,9% | 6,3% | 0,9% | 25,2% | 10,8% | 43,2% | 12,6% |
| 8 | Système horizontal de drainage | 1 | 1,405 | 0,697 | 42 | 0,0% | 16,7% | 0,0% | 16,7% | 16,7% | 38,1% | 11,9% |
| 9 | Épi perméable | 1 | 1,00 | 0,697 | 36 | 8,3% | 16,7% | 2,8% | 11,1% | 2,8% | 50,0% | 8,3% |
| 10 | Épi imperméable | -3 | 0,043 | 0,697 | 47 | 4,3% | 36,2% | 4,3% | 10,6% | 4,3% | 34,0% | 6,4% |
| 11 | Brise-lame émergé | -3 | -0,125 | 0,375 | 80 | 7,5% | 38,8% | 2,5% | 5,0% | 2,5% | 38,8% | 5,0% |
| 12 | Brise-lame à crête basse | -3 | -0,588 | 0,859 | 51 | 11,8% | 43,1% | 2,0% | 2,0% | 3,9% | 29,4% | 7,8% |
| 13 | Brise-lame submergé | -3 | -0,676 | 0,859 | 68 | 11,8% | 44,1% | 1,5% | 2,9% | 4,4% | 27,9% | 7,4% |
| 14 | Rip-rap | -3 | -1,00 | 0,375 | 7 | 0,0% | 42,9% | 14,3% | 28,6% | 0,0% | 14,3% | 0,0% |
| 15 | Mur de protection | -3 | -2,586 | 0,697 | 58 | 13,8% | 62,1% | 8,6% | 13,8% | 0,0% | 1,7% | 0,0% |
| 16 | Enrochement | -3 | -3,30 | 0,697 | 20 | 30,0% | 60,0% | 0,0% | 10,0% | 0,0% | 0,0% | 0,0% |

Classement des ouvrages de protection côtière (effet écosystémique global)

| Pos. | OPC | % seuil | Moy | IC | N | -5 | -3 | -1 | 0 | 1 | 3 | 5 |
|------|--------------------------------|---------|--------|-------|-----|-------|-------|------|-------|-------|-------|-------|
| 1 | Végétalisation | 3 | 3,10 | 0,899 | 20 | 0,0% | 0,0% | 0,0% | 0,0% | 5,0% | 85,0% | 10,0% |
| 2 | Ganivelle | 3 | 2,579 | 0,922 | 19 | 0,0% | 10,5% | 0,0% | 0,0% | 5,3% | 68,4% | 15,8% |
| 3 | Recharge de dune | 3 | 2,25 | 0,375 | 4 | 0,0% | 0,0% | 0,0% | 25,0% | 0,0% | 75,0% | 0,0% |
| 4 | Épi perméable | 3 | 2,154 | 0,922 | 26 | 3,8% | 7,7% | 3,8% | 7,7% | 0,0% | 61,5% | 15,4% |
| 5 | Recharge d'avant-plage | 3 | 1,903 | 0,937 | 31 | 0,0% | 6,5% | 0,0% | 25,8% | 6,5% | 51,6% | 9,7% |
| 6 | Système horizontal de drainage | 1 | 1,524 | 0,899 | 21 | 0,0% | 9,5% | 0,0% | 23,8% | 19,0% | 38,1% | 9,5% |
| 7 | Recharge de plage | 0 | 1,314 | 0,937 | 118 | 0,8% | 11,9% | 4,2% | 24,6% | 9,3% | 39,8% | 9,3% |
| 8 | Brise-lame émergé | 0 | 0,091 | 0,899 | 11 | 0,0% | 36,4% | 0,0% | 18,2% | 9,1% | 36,4% | 0,0% |
| 9 | Système vertical de drainage | 0 | 0,00 | 0,375 | 5 | 0,0% | 40,0% | 0,0% | 20,0% | 20,0% | 0,0% | 20,0% |
| 10 | Épi imperméable | -3 | -0,02 | 0,922 | 49 | 0,0% | 40,8% | 8,2% | 12,2% | 4,1% | 24,5% | 10,2% |
| 11 | Brise-lame à crête basse | -3 | -0,583 | 0,937 | 48 | 12,5% | 39,6% | 4,2% | 4,2% | 4,2% | 27,1% | 8,3% |
| 12 | Brise-lame submergé | -3 | -0,633 | 0,937 | 49 | 16,3% | 38,8% | 0,0% | 0,0% | 6,1% | 32,7% | 6,1% |
| 13 | Mur de protection | -3 | -2,714 | 0,922 | 49 | 22,4% | 59,2% | 4,1% | 8,2% | 0,0% | 4,1% | 2,0% |
| 14 | Enrochement | -3 | -2,889 | 0,899 | 9 | 11,1% | 77,8% | 0,0% | 11,1% | 0,0% | 0,0% | 0,0% |

Classement des ouvrages de protection côtière (effet social global)

| Pos. | OPC | % seuil | Moy | N | -5 | -3 | -1 | 0 | 1 | 3 | 5 |
|------|--------------------------------|---------|-------|-----|------|-------|------|-------|-------|--------|-------|
| 1 | Couches perméables de drainage | 3 | 3 | 1 | 0,0% | 0,0% | 0,0% | 0,0% | 0,0% | 100,0% | 0,0% |
| 2 | Ganivelle | 3 | 2,529 | 17 | 0,0% | 11,8% | 0,0% | 0,0% | 5,9% | 64,7% | 17,6% |
| 3 | Végétalisation | 3 | 2,413 | 138 | 1,4% | 5,8% | 2,2% | 5,1% | 6,5% | 66,7% | 12,3% |
| 4 | Recharge de dune | 3 | 2,25 | 4 | 0,0% | 0,0% | 0,0% | 25,0% | 0,0% | 75,0% | 0,0% |
| 5 | Recharge d'avant-plage | 3 | 1,952 | 21 | 0,0% | 4,8% | 0,0% | 19,0% | 14,3% | 57,1% | 4,8% |

Identification d'ouvrages de protection côtière

Date : 2021-03-19

Cellule hydrosédimentaire :

version :

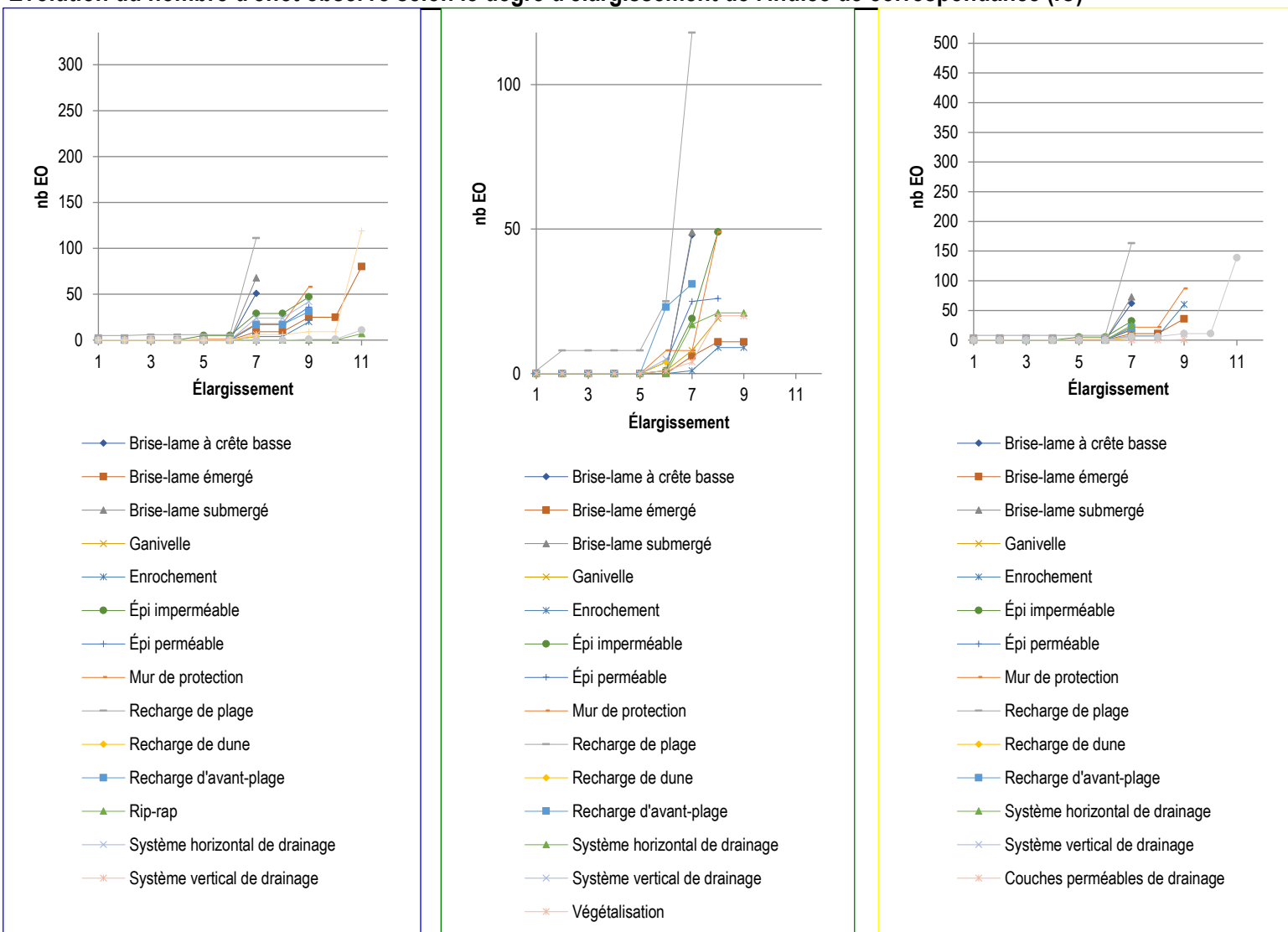
Groupe_0005

page :

82

| | | | | | | | | | | | |
|----|--------------------------------|----|--------|-----|-------|--------------|-------------|--------------|--------------|--------------|-------|
| 6 | Épi perméable | 3 | 1,722 | 18 | 5,6% | 11,1% | 5,6% | 5,6% | 0,0% | 61,1% | 11,1% |
| 7 | Système horizontal de drainage | 1 | 1,444 | 18 | 0,0% | 11,1% | 0,0% | 22,2% | 22,2% | 33,3% | 11,1% |
| 8 | Système vertical de drainage | 0 | 1,429 | 7 | 0,0% | 0,0% | 0,0% | 42,9% | 14,3% | 42,9% | 0,0% |
| 9 | Recharge de plage | 0 | 0,63 | 154 | 5,8% | 18,2% | 4,5% | 22,7% | 7,1% | 31,8% | 9,7% |
| 10 | Épi imperméable | -1 | 0,267 | 30 | 0,0% | 36,7% | 6,7% | 13,3% | 6,7% | 23,3% | 13,3% |
| 11 | Brise-lame submergé | -3 | -0,507 | 67 | 11,9% | 40,3% | 1,5% | 4,5% | 4,5% | 29,9% | 7,5% |
| 12 | Brise-lame émergé | -3 | -0,8 | 35 | 8,6% | 45,7% | 2,9% | 8,6% | 2,9% | 28,6% | 2,9% |
| 13 | Brise-lame à crête basse | -3 | -1 | 62 | 12,9% | 46,8% | 3,2% | 3,2% | 3,2% | 24,2% | 6,5% |
| 14 | Mur de protection | -3 | -2,711 | 76 | 14,5% | 65,8% | 5,3% | 13,2% | 0,0% | 1,3% | 0,0% |
| 15 | Enrochement | -3 | -3,389 | 54 | 37,0% | 51,9% | 3,7% | 5,6% | 0,0% | 1,9% | 0,0% |

Évolution du nombre d'effet observé selon le degré d'élargissement de l'indice de correspondance (IC)



Rapport d'analyse

Rapport : Effets géomorphologiques

Brise-lame à crête basse :

- Seuil de 60% atteint à -3 sur l'échelle en étant basé sur 51 effets observés avec un indice de correspondance de .859.
- Une analyse de l'effet à l'échelle de la cellule hydrosédimentaire n'est pas possible en raison d'un manque de donnée.

Brise-lame émergé :

- Seuil de 60% atteint à -3 sur l'échelle en étant basé sur 80 effets observés avec un indice de correspondance de .375.
- Une analyse de l'effet à l'échelle de la cellule hydrosédimentaire n'est pas possible en raison d'un manque de donnée.

Brise-lame submergé :

- Seuil de 60% atteint à -3 sur l'échelle en étant basé sur 68 effets observés avec un indice de correspondance de .859.

| | |
|----------------------------------|--|
| | - Une analyse de l'effet à l'échelle de la cellule hydrosédimentaire n'est pas possible en raison d'un manque de donnée. |
| Seuil : | - Aucun effet n'a été répertorié dans un contexte similaire aux caractéristiques environnementales de ce regroupement. |
| Ganivelle : | - Seuil de 60% atteint à 3 sur l'échelle en étant basé sur 17 effets observés avec un indice de correspondance de .859. - Une analyse de l'effet à l'échelle de la cellule hydrosédimentaire n'est pas possible en raison d'un manque de donnée. |
| Digue : | - Aucun effet n'a été répertorié dans un contexte similaire aux caractéristiques environnementales de ce regroupement. |
| Enrochement : | - Seuil de 60% atteint à -3 sur l'échelle en étant basé sur 20 effets observés avec un indice de correspondance de .697. - Une analyse de l'effet à l'échelle de la cellule hydrosédimentaire n'est pas possible en raison d'un manque de donnée. |
| Épi imperméable : | - Seuil de 60% atteint à -3 sur l'échelle en étant basé sur 47 effets observés avec un indice de correspondance de .697. - Une analyse de l'effet à l'échelle de la cellule hydrosédimentaire n'est pas possible en raison d'un manque de donnée. |
| Épi perméable : | - Seuil de 60% atteint à 1 sur l'échelle en étant basé sur 36 effets observés avec un indice de correspondance de .697. - Une analyse de l'effet à l'échelle de la cellule hydrosédimentaire n'est pas possible en raison d'un manque de donnée. |
| Jetée : | - Aucun effet n'a été répertorié dans un contexte similaire aux caractéristiques environnementales de ce regroupement. |
| Génie végétal : | - Aucun effet n'a été répertorié dans un contexte similaire aux caractéristiques environnementales de ce regroupement. |
| Mur de protection : | - Seuil de 60% atteint à -3 sur l'échelle en étant basé sur 58 effets observés avec un indice de correspondance de .697. - Une analyse de l'effet à l'échelle de la cellule hydrosédimentaire n'est pas possible en raison d'un manque de donnée. |
| Recharge de plage : | - Seuil de 60% atteint à 1 sur l'échelle en étant basé sur 111 effets observés avec un indice de correspondance de .859. - Une analyse de l'effet à l'échelle de la cellule hydrosédimentaire n'est pas possible en raison d'un manque de donnée. |
| Recharge de dune : | - Seuil de 60% atteint à 3 sur l'échelle en étant basé sur 4 effets observés avec un indice de correspondance de .859. - Une analyse de l'effet à l'échelle de la cellule hydrosédimentaire n'est pas possible en raison d'un manque de donnée. |
| Recharge d'avant-plage : | - Seuil de 60% atteint à 3 sur l'échelle en étant basé sur 31 effets observés avec un indice de correspondance de .697. - Une analyse de l'effet à l'échelle de la cellule hydrosédimentaire n'est pas possible en raison d'un manque de donnée. |
| Rip-rap : | - Seuil de 60% atteint à -3 sur l'échelle en étant basé sur 7 effets observés avec un indice de correspondance de .375. - Une analyse de l'effet à l'échelle de la cellule hydrosédimentaire n'est pas possible en raison d'un manque de donnée. |
| Système horizontal de drainage : | - Seuil de 60% atteint à 1 sur l'échelle en étant basé sur 42 effets observés avec un indice de correspondance de .697. - Une analyse de l'effet à l'échelle de la cellule hydrosédimentaire n'est pas possible en raison d'un manque de donnée. |
| Système vertical de drainage : | - Seuil de 60% atteint à 1 sur l'échelle en étant basé sur 6 effets observés avec un indice de correspondance de .859. - Une analyse de l'effet à l'échelle de la cellule hydrosédimentaire n'est pas possible en raison d'un manque de donnée. |
| Couches perméables de drainage : | - Seuil de 60% atteint à 3 sur l'échelle en étant basé sur 11 effets observés avec un indice de correspondance de .375. - Une analyse de l'effet à l'échelle de la cellule hydrosédimentaire n'est pas possible en raison d'un manque de donnée. |
| Végétalisation : | - Seuil de 60% atteint à 3 sur l'échelle en étant basé sur 119 effets observés avec un indice de correspondance de .375. - Une analyse de l'effet à l'échelle de la cellule hydrosédimentaire n'est pas possible en raison d'un manque de donnée. |

Rapport : Effets écosystémiques

| | |
|----------------------------|---|
| Brise-lame à crête basse : | - Attention, élargissement de l'indice de correspondance élevé. - Seuil de 60% atteint à -3 sur l'échelle en étant basé sur 48 effets observés avec un indice de correspondance de .937. |
| Brise-lame émergé : | - Attention, élargissement de l'indice de correspondance élevé. - Seuil de 60% atteint à 0 sur l'échelle en étant basé sur 11 effets observés avec un indice de correspondance de .899. |
| Brise-lame submergé : | - Attention, élargissement de l'indice de correspondance élevé. - Seuil de 60% atteint à -3 sur l'échelle en étant basé sur 49 effets observés avec un indice de correspondance de .937. |
| Ganivelle : | - Attention, élargissement de l'indice de correspondance élevé. - Seuil de 60% atteint à 3 sur l'échelle en étant basé sur 19 effets observés avec un indice de correspondance de .922. |
| Enrochement : | - Attention, élargissement de l'indice de correspondance élevé. - Seuil de 60% atteint à -3 sur l'échelle en étant basé sur 9 effets observés avec un indice de correspondance de .899. |
| Épi imperméable : | - Attention, élargissement de l'indice de correspondance élevé. - Seuil de 60% atteint à -3 sur l'échelle en étant basé sur 49 effets observés avec un indice de correspondance de .922. |
| Épi perméable : | - Attention, élargissement de l'indice de correspondance élevé. - Seuil de 60% atteint à 3 sur l'échelle en étant basé sur 26 effets observés avec un indice de correspondance de .922. |
| Mur de protection : | - Attention, élargissement de l'indice de correspondance élevé. - Seuil de 60% atteint à -3 sur l'échelle en étant basé sur 49 effets observés avec un indice de correspondance de .922. |
| Recharge de plage : | - Attention, élargissement de l'indice de correspondance élevé. |

Identification d'ouvrages de protection côtière

Date : 2021-03-19

Cellule hydrosédimentaire :

version :

Groupe_0005

page :

84

- Seuil de 60% atteint à 0 sur l'échelle en étant basé sur 118 effets observés avec un indice de correspondance de .937.

- Seuil de 60% atteint à 3 sur l'échelle en étant basé sur 4 effets observés avec un indice de correspondance de .375.

Recharge d'avant-plage :

- Attention, élargissement de l'indice de correspondance élevé.

- Seuil de 60% atteint à 3 sur l'échelle en étant basé sur 31 effets observés avec un indice de correspondance de .937.

Système horizontal de drainage :

- Attention, élargissement de l'indice de correspondance élevé.

- Seuil de 60% atteint à 1 sur l'échelle en étant basé sur 21 effets observés avec un indice de correspondance de .899.

- Seuil de 60% atteint à 0 sur l'échelle en étant basé sur 5 effets observés avec un indice de correspondance de .375.

Végétalisation :

- Attention, élargissement de l'indice de correspondance élevé.

- Seuil de 60% atteint à 3 sur l'échelle en étant basé sur 20 effets observés avec un indice de correspondance de .899.

Rapport : Effets sociaux

Résultats détaillés

| Pos. | OPC | Niv. | Observé (effet géomorphologique) | N | Moy | -5 | -3 | -1 | 0 | 1 | 3 | 5 | |
|------|--------------------------|------------------|----------------------------------|------------------|--------|--------|-------|-------|--------|-------|--------|-------|-------|
| 1 | Végétalisation | Agr | Géomorphologique | 119 | 2,7479 | 0,0% | 3,4% | 0,8% | 5,0% | 5,9% | 72,3% | 12,6% | |
| | | EDir | Géomorphologique | 51 | 2,7059 | 0,0% | 2,0% | 0,0% | 5,9% | 9,8% | 72,5% | 9,8% | |
| | | | Érosion/Accumulation | 51 | 2,7059 | 0,0% | 2,0% | 0,0% | 5,9% | 9,8% | 72,5% | 9,8% | |
| | | | Accumulation sédimentaire | 19 | 2,8421 | 0,0% | 0,0% | 0,0% | 5,3% | 10,5% | 73,7% | 10,5% | |
| | | | Bilan sédimentaire | 2 | 3 | 0,0% | 0,0% | 0,0% | 0,0% | 0,0% | 100,0% | 0,0% | |
| | | | Érosion | 25 | 2,52 | 0,0% | 4,0% | 0,0% | 8,0% | 12,0% | 64,0% | 12,0% | |
| | | | Hauteur de plage | 1 | 3 | 0,0% | 0,0% | 0,0% | 0,0% | 0,0% | 100,0% | 0,0% | |
| | | | Largeur de plage | 1 | 3 | 0,0% | 0,0% | 0,0% | 0,0% | 0,0% | 100,0% | 0,0% | |
| | | | Rétablissement géomorphologique | 2 | 3 | 0,0% | 0,0% | 0,0% | 0,0% | 0,0% | 100,0% | 0,0% | |
| | | | Rétention sédimentaire | 1 | 3 | 0,0% | 0,0% | 0,0% | 0,0% | 0,0% | 100,0% | 0,0% | |
| | | | CDir | Géomorphologique | 37 | 3,0811 | 0,0% | 2,7% | 0,0% | 2,7% | 5,4% | 67,6% | 21,6% |
| | | | Transport sédimentaire | 6 | 2 | 0,0% | 16,7% | 0,0% | 0,0% | 0,0% | 83,3% | 0,0% | |
| | | | Transport sédimentaire général | 4 | 3 | 0,0% | 0,0% | 0,0% | 0,0% | 0,0% | 100,0% | 0,0% | |
| | | | Transport transversal | 2 | 0 | 0,0% | 50,0% | 0,0% | 0,0% | 0,0% | 50,0% | 0,0% | |
| | | | Jet de rive | 17 | 2,7647 | 0,0% | 0,0% | 0,0% | 11,8% | 0,0% | 82,4% | 5,9% | |
| | | | Backwash/Swash | 3 | 3 | 0,0% | 0,0% | 0,0% | 0,0% | 0,0% | 100,0% | 0,0% | |
| | | | Franchissement | 10 | 2,4 | 0,0% | 0,0% | 0,0% | 20,0% | 0,0% | 80,0% | 0,0% | |
| | | | Run-up | 4 | 3,5 | 0,0% | 0,0% | 0,0% | 0,0% | 0,0% | 75,0% | 25,0% | |
| | | | Processus dissipation | 37 | 3,0811 | 0,0% | 2,7% | 0,0% | 2,7% | 5,4% | 67,6% | 21,6% | |
| | | | Énergie des vagues | 28 | 2,9643 | 0,0% | 3,6% | 0,0% | 3,6% | 7,1% | 64,3% | 21,4% | |
| | Hauteur de vagues | 9 | 3,4444 | 0,0% | 0,0% | 0,0% | 0,0% | 0,0% | 77,8% | 22,2% | | | |
| | CInd | Géomorphologique | 7 | 1,8571 | 0,0% | 14,3% | 14,3% | 0,0% | 0,0% | 57,1% | 14,3% | | |
| | Profil topobathymétrique | 1 | 3 | 0,0% | 0,0% | 0,0% | 0,0% | 0,0% | 100,0% | 0,0% | | | |
| | Profil de plage | 1 | 3 | 0,0% | 0,0% | 0,0% | 0,0% | 0,0% | 100,0% | 0,0% | | | |
| | Courant | 7 | 1,8571 | 0,0% | 14,3% | 14,3% | 0,0% | 0,0% | 57,1% | 14,3% | | | |
| | Circulation | 6 | 1,6667 | 0,0% | 16,7% | 16,7% | 0,0% | 0,0% | 50,0% | 16,7% | | | |
| | Courant transversaux | 1 | 3 | 0,0% | 0,0% | 0,0% | 0,0% | 0,0% | 100,0% | 0,0% | | | |
| 2 | Ganivelle | Agr | Géomorphologique | 17 | 2,5294 | 0,0% | 11,8% | 0,0% | 0,0% | 5,9% | 64,7% | 17,6% | |
| | | EDir | Géomorphologique | 15 | 2,8667 | 0,0% | 6,7% | 0,0% | 0,0% | 6,7% | 66,7% | 20,0% | |
| | | | Érosion/Accumulation | 15 | 2,8667 | 0,0% | 6,7% | 0,0% | 0,0% | 6,7% | 66,7% | 20,0% | |
| | | | Accumulation sédimentaire | 10 | 3,2 | 0,0% | 0,0% | 0,0% | 0,0% | 10,0% | 70,0% | 20,0% | |
| | | | Largeur de plage | 2 | 4 | 0,0% | 0,0% | 0,0% | 0,0% | 0,0% | 50,0% | 50,0% | |
| | | | Rétention sédimentaire | 3 | 1 | 0,0% | 33,3% | 0,0% | 0,0% | 0,0% | 66,7% | 0,0% | |
| | | | CInd | Géomorphologique | 2 | 0 | 0,0% | 50,0% | 0,0% | 0,0% | 0,0% | 50,0% | 0,0% |
| | | | Profil topobathymétrique | 2 | 0 | 0,0% | 50,0% | 0,0% | 0,0% | 0,0% | 50,0% | 0,0% | |
| | | | Topographie | 2 | 0 | 0,0% | 50,0% | 0,0% | 0,0% | 0,0% | 50,0% | 0,0% | |

Identification d'ouvrages de protection côtière

Date : 2021-03-19

Cellule hydrosédimentaire :

version :

Groupe_0005

page :

85

| | | | | | | | | | | | | | | |
|------|---------------------------------|------|------------------------------------|------|------------------|------|--------|------|--------|--------|--------|-------|-------|-------|
| 3 | Recharge de dune | Agr | Géomorphologique | 4 | 2,25 | 0,0% | 0,0% | 0,0% | 25,0% | 0,0% | 75,0% | 0,0% | | |
| | | EDir | Géomorphologique | 2 | 1,5 | 0,0% | 0,0% | 0,0% | 50,0% | 0,0% | 50,0% | 0,0% | | |
| | | | Érosion/Accumulation | 2 | 1,5 | 0,0% | 0,0% | 0,0% | 50,0% | 0,0% | 50,0% | 0,0% | | |
| | | | Bilan sédimentaire | 1 | 3 | 0,0% | 0,0% | 0,0% | 0,0% | 0,0% | 100,0% | 0,0% | | |
| | | | Érosion | 1 | 0 | 0,0% | 0,0% | 0,0% | 100,0% | 0,0% | 0,0% | 0,0% | | |
| | | CInd | Géomorphologique | 2 | 3 | 0,0% | 0,0% | 0,0% | 0,0% | 0,0% | 100,0% | 0,0% | | |
| | | | Profil topobathymétrique | 2 | 3 | 0,0% | 0,0% | 0,0% | 0,0% | 0,0% | 100,0% | 0,0% | | |
| | | | Profil de plage | 2 | 3 | 0,0% | 0,0% | 0,0% | 0,0% | 0,0% | 100,0% | 0,0% | | |
| | | 4 | Couches perméables de drainage | Agr | Géomorphologique | 11 | 2,1818 | 0,0% | 9,1% | 0,0% | 9,1% | 0,0% | 81,8% | 0,0% |
| | | | | EDir | Géomorphologique | 6 | 2,5 | 0,0% | 0,0% | 0,0% | 16,7% | 0,0% | 83,3% | 0,0% |
| | Érosion/Accumulation | | | 6 | 2,5 | 0,0% | 0,0% | 0,0% | 16,7% | 0,0% | 83,3% | 0,0% | | |
| | Accumulation sédimentaire | | | 3 | 3 | 0,0% | 0,0% | 0,0% | 0,0% | 0,0% | 100,0% | 0,0% | | |
| | Érosion | | | 1 | 0 | 0,0% | 0,0% | 0,0% | 100,0% | 0,0% | 0,0% | 0,0% | | |
| | Hauteur de plage | | | 1 | 3 | 0,0% | 0,0% | 0,0% | 0,0% | 0,0% | 100,0% | 0,0% | | |
| | Rétablissement géomorphologique | | | 1 | 3 | 0,0% | 0,0% | 0,0% | 0,0% | 0,0% | 100,0% | 0,0% | | |
| CDir | Géomorphologique | | | 2 | 3 | 0,0% | 0,0% | 0,0% | 0,0% | 0,0% | 100,0% | 0,0% | | |
| | Transport sédimentaire | | | 2 | 0 | 0,0% | 50,0% | 0,0% | 0,0% | 0,0% | 50,0% | 0,0% | | |
| | Transport transversal | | | 2 | 0 | 0,0% | 50,0% | 0,0% | 0,0% | 0,0% | 50,0% | 0,0% | | |
| | Eaux souterraines | | | 1 | 3 | 0,0% | 0,0% | 0,0% | 0,0% | 0,0% | 100,0% | 0,0% | | |
| | Niveau de la nappe | | | 1 | 3 | 0,0% | 0,0% | 0,0% | 0,0% | 0,0% | 100,0% | 0,0% | | |
| | Jet de rive | | | 2 | 3 | 0,0% | 0,0% | 0,0% | 0,0% | 0,0% | 100,0% | 0,0% | | |
| | Backwash/Swash | | | 2 | 3 | 0,0% | 0,0% | 0,0% | 0,0% | 0,0% | 100,0% | 0,0% | | |
| 5 | Recharge d'avant-plage | | | Agr | Géomorphologique | 31 | 2,0323 | 0,0% | 6,5% | 0,0% | 19,4% | 9,7% | 54,8% | 9,7% |
| | | | | EDir | Géomorphologique | 22 | 2,5455 | 0,0% | 0,0% | 0,0% | 18,2% | 9,1% | 59,1% | 13,6% |
| | | | Érosion/Accumulation | 22 | 2,5455 | 0,0% | 0,0% | 0,0% | 18,2% | 9,1% | 59,1% | 13,6% | | |
| | | | Accumulation sédimentaire | 9 | 3,2222 | 0,0% | 0,0% | 0,0% | 0,0% | 11,1% | 66,7% | 22,2% | | |
| | | | Bilan sédimentaire | 6 | 1,6667 | 0,0% | 0,0% | 0,0% | 33,3% | 16,7% | 50,0% | 0,0% | | |
| | | | Déplacement du trait de côte | 4 | 1,5 | 0,0% | 0,0% | 0,0% | 50,0% | 0,0% | 50,0% | 0,0% | | |
| | | | Largeur de plage | 3 | 3,6667 | 0,0% | 0,0% | 0,0% | 0,0% | 0,0% | 66,7% | 33,3% | | |
| | | CDir | Géomorphologique | 2 | 3 | 0,0% | 0,0% | 0,0% | 0,0% | 0,0% | 100,0% | 0,0% | | |
| | | | Transport sédimentaire | 1 | 3 | 0,0% | 0,0% | 0,0% | 0,0% | 0,0% | 100,0% | 0,0% | | |
| | | | Transport longitudinal | 1 | 3 | 0,0% | 0,0% | 0,0% | 0,0% | 0,0% | 100,0% | 0,0% | | |
| | | | Processus dissipation | 2 | 3 | 0,0% | 0,0% | 0,0% | 0,0% | 0,0% | 100,0% | 0,0% | | |
| | | | Déferlement | 2 | 3 | 0,0% | 0,0% | 0,0% | 0,0% | 0,0% | 100,0% | 0,0% | | |
| | | CInd | Géomorphologique | 6 | -0,333 | 0,0% | 33,3% | 0,0% | 33,3% | 16,7% | 16,7% | 0,0% | | |
| | | | Profil topobathymétrique | 6 | -0,333 | 0,0% | 33,3% | 0,0% | 33,3% | 16,7% | 16,7% | 0,0% | | |
| | | | Profil de plage | 3 | -0,667 | 0,0% | 33,3% | 0,0% | 33,3% | 33,3% | 0,0% | 0,0% | | |
| | | | Système de barres | 2 | 1,5 | 0,0% | 0,0% | 0,0% | 50,0% | 0,0% | 50,0% | 0,0% | | |
| | | | Variation bathymétrique généralisé | 1 | -3 | 0,0% | 100,0% | 0,0% | 0,0% | 0,0% | 0,0% | 0,0% | | |
| | | 6 | Système vertical de drainage | Agr | Géomorphologique | 6 | 1,8333 | 0,0% | 0,0% | 0,0% | 16,7% | 33,3% | 50,0% | 0,0% |
| | | | | EDir | Géomorphologique | 6 | 1,8333 | 0,0% | 0,0% | 0,0% | 16,7% | 33,3% | 50,0% | 0,0% |
| | Érosion/Accumulation | | | 6 | 1,8333 | 0,0% | 0,0% | 0,0% | 16,7% | 33,3% | 50,0% | 0,0% | | |
| | Bilan sédimentaire | | | 3 | 2,3333 | 0,0% | 0,0% | 0,0% | 0,0% | 33,3% | 66,7% | 0,0% | | |
| | Déplacement du trait de côte | | | 1 | 3 | 0,0% | 0,0% | 0,0% | 0,0% | 0,0% | 100,0% | 0,0% | | |
| | Érosion | | | 1 | 0 | 0,0% | 0,0% | 0,0% | 100,0% | 0,0% | 0,0% | 0,0% | | |
| | Hauteur de plage | | | 1 | 1 | 0,0% | 0,0% | 0,0% | 0,0% | 100,0% | 0,0% | 0,0% | | |
| 7 | Recharge de plage | | | Agr | Géomorphologique | 111 | 1,7928 | 0,9% | 6,3% | 0,9% | 25,2% | 10,8% | 43,2% | 12,6% |
| | | EDir | Géomorphologique | 67 | 2,5224 | 0,0% | 0,0% | 0,0% | 20,9% | 11,9% | 47,8% | 19,4% | | |
| | | | Érosion/Accumulation | 67 | 2,5224 | 0,0% | 0,0% | 0,0% | 20,9% | 11,9% | 47,8% | 19,4% | | |

Identification d'ouvrages de protection côtière

Date : 2021-03-19

Cellule hydrosédimentaire :

version :

Groupe_0005

page :

86

| | | | | | | | | | | | | |
|---|--------------------------------|------------------------------------|------------------|--------|--------|--------|-------|-------|--------|--------|-------|-------|
| | | Accumulation sédimentaire | 9 | 3,6667 | 0,0% | 0,0% | 0,0% | 0,0% | 0,0% | 66,7% | 33,3% | |
| | | Bilan sédimentaire | 24 | 3,0833 | 0,0% | 0,0% | 0,0% | 8,3% | 16,7% | 41,7% | 33,3% | |
| | | Déplacement du trait de côte | 17 | 1,5882 | 0,0% | 0,0% | 0,0% | 35,3% | 17,6% | 47,1% | 0,0% | |
| | | Érosion | 6 | 0,8333 | 0,0% | 0,0% | 0,0% | 83,3% | 0,0% | 0,0% | 16,7% | |
| | | Hauteur de plage | 3 | 2,3333 | 0,0% | 0,0% | 0,0% | 0,0% | 33,3% | 66,7% | 0,0% | |
| | | Largeur de plage | 7 | 2,8571 | 0,0% | 0,0% | 0,0% | 14,3% | 0,0% | 71,4% | 14,3% | |
| | | Rétablissement géomorphologique | 1 | 3 | 0,0% | 0,0% | 0,0% | 0,0% | 0,0% | 100,0% | 0,0% | |
| | CDir | Géomorphologique | 7 | 0 | 0,0% | 14,3% | 0,0% | 71,4% | 0,0% | 14,3% | 0,0% | |
| | | Transport sédimentaire | 6 | 2,5 | 0,0% | 0,0% | 0,0% | 16,7% | 0,0% | 83,3% | 0,0% | |
| | | Transport longitudinal | 2 | 3 | 0,0% | 0,0% | 0,0% | 0,0% | 0,0% | 100,0% | 0,0% | |
| | | Transport sédimentaire général | 2 | 3 | 0,0% | 0,0% | 0,0% | 0,0% | 0,0% | 100,0% | 0,0% | |
| | | Transport transversal | 2 | 1,5 | 0,0% | 0,0% | 0,0% | 50,0% | 0,0% | 50,0% | 0,0% | |
| | | Jet de rive | 1 | -3 | 0,0% | 100,0% | 0,0% | 0,0% | 0,0% | 0,0% | 0,0% | |
| | | Run-up | 1 | -3 | 0,0% | 100,0% | 0,0% | 0,0% | 0,0% | 0,0% | 0,0% | |
| | | Processus dissipation | 7 | 0 | 0,0% | 14,3% | 0,0% | 71,4% | 0,0% | 14,3% | 0,0% | |
| | | Énergie des vagues | 3 | -1 | 0,0% | 33,3% | 0,0% | 66,7% | 0,0% | 0,0% | 0,0% | |
| | | Hauteur de vagues | 4 | 0,75 | 0,0% | 0,0% | 0,0% | 75,0% | 0,0% | 25,0% | 0,0% | |
| | CInd | Géomorphologique | 1 | -3 | 0,0% | 100,0% | 0,0% | 0,0% | 0,0% | 0,0% | 0,0% | |
| | | Profil topobathymétrique | 29 | 0,7241 | 3,4% | 13,8% | 3,4% | 27,6% | 13,8% | 34,5% | 3,4% | |
| | | Profil de plage | 9 | -0,111 | 0,0% | 33,3% | 11,1% | 22,2% | 0,0% | 33,3% | 0,0% | |
| | | Système de barres | 18 | 0,9444 | 5,6% | 5,6% | 0,0% | 27,8% | 22,2% | 38,9% | 0,0% | |
| | | Variation bathymétrique généralisé | 2 | 2,5 | 0,0% | 0,0% | 0,0% | 50,0% | 0,0% | 0,0% | 50,0% | |
| | | Courant | 1 | -3 | 0,0% | 100,0% | 0,0% | 0,0% | 0,0% | 0,0% | 0,0% | |
| | | Courant transversaux | 1 | -3 | 0,0% | 100,0% | 0,0% | 0,0% | 0,0% | 0,0% | 0,0% | |
| 8 | Système horizontal de drainage | Agr | Géomorphologique | 42 | 1,4048 | 0,0% | 16,7% | 0,0% | 16,7% | 16,7% | 38,1% | 11,9% |
| | | EDir | Géomorphologique | 25 | 0,8 | 0,0% | 24,0% | 0,0% | 20,0% | 20,0% | 24,0% | 12,0% |
| | | Érosion/Accumulation | 25 | 0,8 | 0,0% | 24,0% | 0,0% | 20,0% | 20,0% | 24,0% | 12,0% | |
| | | Accumulation sédimentaire | 6 | 1,5 | 0,0% | 0,0% | 0,0% | 50,0% | 16,7% | 16,7% | 16,7% | |
| | | Bilan sédimentaire | 9 | 0,6667 | 0,0% | 22,2% | 0,0% | 11,1% | 33,3% | 33,3% | 0,0% | |
| | | Déplacement du trait de côte | 6 | 0,6667 | 0,0% | 50,0% | 0,0% | 0,0% | 0,0% | 16,7% | 33,3% | |
| | | Érosion | 1 | -3 | 0,0% | 100,0% | 0,0% | 0,0% | 0,0% | 0,0% | 0,0% | |
| | | Hauteur de plage | 1 | 1 | 0,0% | 0,0% | 0,0% | 0,0% | 100,0% | 0,0% | 0,0% | |
| | | Rétablissement géomorphologique | 2 | 1,5 | 0,0% | 0,0% | 0,0% | 50,0% | 0,0% | 50,0% | 0,0% | |
| | CDir | Géomorphologique | 3 | 2,3333 | 0,0% | 0,0% | 0,0% | 0,0% | 33,3% | 66,7% | 0,0% | |
| | | Transport sédimentaire | 2 | 3 | 0,0% | 0,0% | 0,0% | 0,0% | 0,0% | 100,0% | 0,0% | |
| | | Transport transversal | 2 | 3 | 0,0% | 0,0% | 0,0% | 0,0% | 0,0% | 100,0% | 0,0% | |
| | | Eaux souterraines | 10 | 2,9 | 0,0% | 0,0% | 0,0% | 10,0% | 10,0% | 60,0% | 20,0% | |
| | | Infiltration/Percolation | 4 | 2,25 | 0,0% | 0,0% | 0,0% | 25,0% | 25,0% | 25,0% | 25,0% | |
| | | Niveau de la nappe | 6 | 3,3333 | 0,0% | 0,0% | 0,0% | 0,0% | 0,0% | 83,3% | 16,7% | |
| | | Jet de rive | 3 | 2,3333 | 0,0% | 0,0% | 0,0% | 0,0% | 33,3% | 66,7% | 0,0% | |
| | | Backwash/Swash | 3 | 2,3333 | 0,0% | 0,0% | 0,0% | 0,0% | 33,3% | 66,7% | 0,0% | |
| | CInd | Géomorphologique | 2 | -1,5 | 0,0% | 50,0% | 0,0% | 50,0% | 0,0% | 0,0% | 0,0% | |
| | | Profil topobathymétrique | 2 | -1,5 | 0,0% | 50,0% | 0,0% | 50,0% | 0,0% | 0,0% | 0,0% | |
| | | Profil de plage | 2 | -1,5 | 0,0% | 50,0% | 0,0% | 50,0% | 0,0% | 0,0% | 0,0% | |
| | | Agr | Géomorphologique | 36 | 1 | 8,3% | 16,7% | 2,8% | 11,1% | 2,8% | 50,0% | 8,3% |
| | | EDir | Géomorphologique | 20 | 0,9 | 10,0% | 15,0% | 0,0% | 20,0% | 5,0% | 35,0% | 15,0% |
| | | Érosion/Accumulation | 20 | 0,9 | 10,0% | 15,0% | 0,0% | 20,0% | 5,0% | 35,0% | 15,0% | |
| | | Accumulation sédimentaire | 1 | 3 | 0,0% | 0,0% | 0,0% | 0,0% | 0,0% | 100,0% | 0,0% | |
| | | Affouillement | 2 | -4 | 50,0% | 50,0% | 0,0% | 0,0% | 0,0% | 0,0% | 0,0% | |

9 Épi perméable

Identification d'ouvrages de protection côtière

Date : 2021-03-19

Cellule hydrosédimentaire :

version :

Groupe_0005

page :

87

10 Épi imperméable

| | | | | | | | | | | |
|------|------------------------------------|----|--------|-------|--------|-------|--------|--------|--------|--------|
| | Bilan sédimentaire | 1 | 3 | 0,0% | 0,0% | 0,0% | 0,0% | 0,0% | 100,0% | 0,0% |
| | Déplacement du trait de côte | 1 | 0 | 0,0% | 0,0% | 0,0% | 100,0% | 0,0% | 0,0% | 0,0% |
| | Érosion | 3 | -2 | 0,0% | 66,7% | 0,0% | 33,3% | 0,0% | 0,0% | 0,0% |
| | Hauteur de plage | 2 | -2,5 | 50,0% | 0,0% | 0,0% | 50,0% | 0,0% | 0,0% | 0,0% |
| | Largeur de plage | 1 | 5 | 0,0% | 0,0% | 0,0% | 0,0% | 0,0% | 0,0% | 100,0% |
| | Rétablissement géomorphologique | 1 | 0 | 0,0% | 0,0% | 0,0% | 100,0% | 0,0% | 0,0% | 0,0% |
| | Rétention sédimentaire | 8 | 3,25 | 0,0% | 0,0% | 0,0% | 0,0% | 12,5% | 62,5% | 25,0% |
| CDir | Géomorphologique | 2 | 3 | 0,0% | 0,0% | 0,0% | 0,0% | 0,0% | 100,0% | 0,0% |
| | Transport sédimentaire | 3 | 3 | 0,0% | 0,0% | 0,0% | 0,0% | 0,0% | 100,0% | 0,0% |
| | Transport longitudinal | 3 | 3 | 0,0% | 0,0% | 0,0% | 0,0% | 0,0% | 100,0% | 0,0% |
| | Processus dissipation | 2 | 3 | 0,0% | 0,0% | 0,0% | 0,0% | 0,0% | 100,0% | 0,0% |
| | Déferlement | 1 | 3 | 0,0% | 0,0% | 0,0% | 0,0% | 0,0% | 100,0% | 0,0% |
| | Énergie des vagues | 1 | 3 | 0,0% | 0,0% | 0,0% | 0,0% | 0,0% | 100,0% | 0,0% |
| CInd | Géomorphologique | 1 | 3 | 0,0% | 0,0% | 0,0% | 0,0% | 0,0% | 100,0% | 0,0% |
| | Profil topobathymétrique | 3 | 1,6667 | 0,0% | 0,0% | 33,3% | 0,0% | 0,0% | 66,7% | 0,0% |
| | Système de barres | 2 | 1 | 0,0% | 0,0% | 50,0% | 0,0% | 0,0% | 50,0% | 0,0% |
| | Variation bathymétrique généralisé | 1 | 3 | 0,0% | 0,0% | 0,0% | 0,0% | 0,0% | 100,0% | 0,0% |
| | Courant | 7 | -0,714 | 14,3% | 42,9% | 0,0% | 0,0% | 0,0% | 42,9% | 0,0% |
| | Circulation | 1 | -3 | 0,0% | 100,0% | 0,0% | 0,0% | 0,0% | 0,0% | 0,0% |
| | Courant d'arrachement | 2 | -4 | 50,0% | 50,0% | 0,0% | 0,0% | 0,0% | 0,0% | 0,0% |
| | Courant transversaux | 3 | 1 | 0,0% | 33,3% | 0,0% | 0,0% | 0,0% | 66,7% | 0,0% |
| | Dérive littorale | 1 | 3 | 0,0% | 0,0% | 0,0% | 0,0% | 0,0% | 100,0% | 0,0% |
| | Processus dissipation | 1 | 3 | 0,0% | 0,0% | 0,0% | 0,0% | 0,0% | 100,0% | 0,0% |
| | Réfraction | 1 | 3 | 0,0% | 0,0% | 0,0% | 0,0% | 0,0% | 100,0% | 0,0% |
| Agr | Géomorphologique | 47 | 0,0426 | 4,3% | 36,2% | 4,3% | 10,6% | 4,3% | 34,0% | 6,4% |
| EDir | Géomorphologique | 32 | 0,2813 | 6,3% | 31,3% | 3,1% | 9,4% | 6,3% | 34,4% | 9,4% |
| | Érosion/Accumulation | 32 | 0,2813 | 6,3% | 31,3% | 3,1% | 9,4% | 6,3% | 34,4% | 9,4% |
| | Accumulation sédimentaire | 2 | 4 | 0,0% | 0,0% | 0,0% | 0,0% | 0,0% | 50,0% | 50,0% |
| | Affouillement | 1 | -3 | 0,0% | 100,0% | 0,0% | 0,0% | 0,0% | 0,0% | 0,0% |
| | Bilan sédimentaire | 1 | 0 | 0,0% | 0,0% | 0,0% | 100,0% | 0,0% | 0,0% | 0,0% |
| | Déplacement du trait de côte | 6 | -0,667 | 16,7% | 33,3% | 16,7% | 0,0% | 0,0% | 16,7% | 16,7% |
| | Érosion | 3 | -0,333 | 0,0% | 66,7% | 0,0% | 0,0% | 0,0% | 0,0% | 33,3% |
| | Hauteur de plage | 3 | 1 | 0,0% | 33,3% | 0,0% | 0,0% | 0,0% | 66,7% | 0,0% |
| | Largeur de plage | 4 | 1 | 0,0% | 25,0% | 0,0% | 0,0% | 25,0% | 50,0% | 0,0% |
| | Rétablissement géomorphologique | 1 | 1 | 0,0% | 0,0% | 0,0% | 0,0% | 100,0% | 0,0% | 0,0% |
| | Rétention sédimentaire | 11 | 0,0909 | 9,1% | 27,3% | 0,0% | 18,2% | 0,0% | 45,5% | 0,0% |
| CDir | Géomorphologique | 1 | 0 | 0,0% | 0,0% | 0,0% | 100,0% | 0,0% | 0,0% | 0,0% |
| | Transport sédimentaire | 8 | 0 | 0,0% | 50,0% | 0,0% | 0,0% | 0,0% | 50,0% | 0,0% |
| | Transport longitudinal | 5 | -0,6 | 0,0% | 60,0% | 0,0% | 0,0% | 0,0% | 40,0% | 0,0% |
| | Transport sédimentaire général | 1 | -3 | 0,0% | 100,0% | 0,0% | 0,0% | 0,0% | 0,0% | 0,0% |
| | Transport transversal | 2 | 3 | 0,0% | 0,0% | 0,0% | 0,0% | 0,0% | 100,0% | 0,0% |
| | Jet de rive | 1 | -3 | 0,0% | 100,0% | 0,0% | 0,0% | 0,0% | 0,0% | 0,0% |
| | Run-up | 1 | -3 | 0,0% | 100,0% | 0,0% | 0,0% | 0,0% | 0,0% | 0,0% |
| | Processus dissipation | 1 | 0 | 0,0% | 0,0% | 0,0% | 100,0% | 0,0% | 0,0% | 0,0% |
| | Énergie des vagues | 1 | 0 | 0,0% | 0,0% | 0,0% | 100,0% | 0,0% | 0,0% | 0,0% |
| CInd | Géomorphologique | 4 | -1 | 0,0% | 50,0% | 25,0% | 0,0% | 0,0% | 25,0% | 0,0% |
| | Profil topobathymétrique | 1 | 0 | 0,0% | 0,0% | 0,0% | 100,0% | 0,0% | 0,0% | 0,0% |
| | Profil de plage | 1 | 0 | 0,0% | 0,0% | 0,0% | 100,0% | 0,0% | 0,0% | 0,0% |
| | Courant | 4 | -1 | 0,0% | 50,0% | 25,0% | 0,0% | 0,0% | 25,0% | 0,0% |

Identification d'ouvrages de protection côtière

Date : 2021-03-19

Cellule hydrosédimentaire :

version :

Groupe_0005

page :

88

| | | | | | | | | | | | |
|----|--------------------------|------------------------------------|----|--------|--------|--------|--------|-------|-------|--------|-------|
| | | Circulation | 2 | -3 | 0,0% | 100,0% | 0,0% | 0,0% | 0,0% | 0,0% | 0,0% |
| | | Courant d'arrachement | 1 | -1 | 0,0% | 0,0% | 100,0% | 0,0% | 0,0% | 0,0% | 0,0% |
| | | Courant transversaux | 1 | 3 | 0,0% | 0,0% | 0,0% | 0,0% | 0,0% | 100,0% | 0,0% |
| 11 | Brise-lame émergé | Agr Géomorphologique | 80 | -0,125 | 7,5% | 38,8% | 2,5% | 5,0% | 2,5% | 38,8% | 5,0% |
| | | EDir Géomorphologique | 39 | 0,2308 | 7,7% | 35,9% | 0,0% | 5,1% | 2,6% | 38,5% | 10,3% |
| | | Érosion/Accumulation | 39 | 0,2308 | 7,7% | 35,9% | 0,0% | 5,1% | 2,6% | 38,5% | 10,3% |
| | | Accumulation sédimentaire | 17 | 1,0588 | 5,9% | 23,5% | 0,0% | 5,9% | 0,0% | 58,8% | 5,9% |
| | | Affouillement | 1 | -5 | 100,0% | 0,0% | 0,0% | 0,0% | 0,0% | 0,0% | 0,0% |
| | | Bilan sédimentaire | 2 | 0 | 0,0% | 50,0% | 0,0% | 0,0% | 0,0% | 50,0% | 0,0% |
| | | Déplacement du trait de côte | 1 | 3 | 0,0% | 0,0% | 0,0% | 0,0% | 0,0% | 100,0% | 0,0% |
| | | Érosion | 5 | -3 | 0,0% | 100,0% | 0,0% | 0,0% | 0,0% | 0,0% | 0,0% |
| | | Hauteur de plage | 2 | 1 | 0,0% | 50,0% | 0,0% | 0,0% | 0,0% | 0,0% | 50,0% |
| | | Largeur de plage | 4 | 0,5 | 0,0% | 50,0% | 0,0% | 0,0% | 0,0% | 25,0% | 25,0% |
| | | Rétablissement géomorphologique | 2 | 0,5 | 0,0% | 0,0% | 0,0% | 50,0% | 50,0% | 0,0% | 0,0% |
| | | Rétention sédimentaire | 5 | 0,6 | 20,0% | 20,0% | 0,0% | 0,0% | 0,0% | 40,0% | 20,0% |
| | | CDir Géomorphologique | 4 | 3 | 0,0% | 0,0% | 0,0% | 0,0% | 0,0% | 100,0% | 0,0% |
| | | Transport sédimentaire | 12 | -0,333 | 16,7% | 25,0% | 0,0% | 16,7% | 0,0% | 41,7% | 0,0% |
| | | Transport longitudinal | 3 | 1 | 0,0% | 33,3% | 0,0% | 0,0% | 0,0% | 66,7% | 0,0% |
| | | Transport sédimentaire général | 7 | -1 | 28,6% | 14,3% | 0,0% | 28,6% | 0,0% | 28,6% | 0,0% |
| | | Transport transversal | 2 | 0 | 0,0% | 50,0% | 0,0% | 0,0% | 0,0% | 50,0% | 0,0% |
| | | Caractéristiques des vagues | 1 | -3 | 0,0% | 100,0% | 0,0% | 0,0% | 0,0% | 0,0% | 0,0% |
| | | Angle des vagues | 1 | -3 | 0,0% | 100,0% | 0,0% | 0,0% | 0,0% | 0,0% | 0,0% |
| | | Processus dissipation | 4 | 3 | 0,0% | 0,0% | 0,0% | 0,0% | 0,0% | 100,0% | 0,0% |
| | | Diffraction | 1 | 3 | 0,0% | 0,0% | 0,0% | 0,0% | 0,0% | 100,0% | 0,0% |
| | | Énergie des vagues | 3 | 3 | 0,0% | 0,0% | 0,0% | 0,0% | 0,0% | 100,0% | 0,0% |
| | | CInd Géomorphologique | 13 | -2,846 | 7,7% | 76,9% | 15,4% | 0,0% | 0,0% | 0,0% | 0,0% |
| | | Profil topobathymétrique | 11 | 1,1818 | 0,0% | 27,3% | 0,0% | 0,0% | 9,1% | 63,6% | 0,0% |
| | | Profil de plage | 4 | -0,5 | 0,0% | 50,0% | 0,0% | 0,0% | 25,0% | 25,0% | 0,0% |
| | | Système de barres | 5 | 1,8 | 0,0% | 20,0% | 0,0% | 0,0% | 0,0% | 80,0% | 0,0% |
| | | Variation bathymétrique généralisé | 1 | 3 | 0,0% | 0,0% | 0,0% | 0,0% | 0,0% | 100,0% | 0,0% |
| | | Variation bathymétrique localisée | 1 | 3 | 0,0% | 0,0% | 0,0% | 0,0% | 0,0% | 100,0% | 0,0% |
| | | Courant | 13 | -2,846 | 7,7% | 76,9% | 15,4% | 0,0% | 0,0% | 0,0% | 0,0% |
| | | Circulation | 9 | -2,556 | 0,0% | 77,8% | 22,2% | 0,0% | 0,0% | 0,0% | 0,0% |
| | | Courant d'arrachement | 1 | -5 | 100,0% | 0,0% | 0,0% | 0,0% | 0,0% | 0,0% | 0,0% |
| | | Courant transversaux | 1 | -3 | 0,0% | 100,0% | 0,0% | 0,0% | 0,0% | 0,0% | 0,0% |
| | | Dérive littorale | 2 | -3 | 0,0% | 100,0% | 0,0% | 0,0% | 0,0% | 0,0% | 0,0% |
| 12 | Brise-lame à crête basse | Agr Géomorphologique | 51 | -0,588 | 11,8% | 43,1% | 2,0% | 2,0% | 3,9% | 29,4% | 7,8% |
| | | EDir Géomorphologique | 13 | 0,7692 | 15,4% | 15,4% | 0,0% | 7,7% | 7,7% | 38,5% | 15,4% |
| | | Érosion/Accumulation | 13 | 0,7692 | 15,4% | 15,4% | 0,0% | 7,7% | 7,7% | 38,5% | 15,4% |
| | | Accumulation sédimentaire | 7 | 2,7143 | 0,0% | 14,3% | 0,0% | 0,0% | 0,0% | 57,1% | 28,6% |
| | | Bilan sédimentaire | 2 | 1,5 | 0,0% | 0,0% | 0,0% | 50,0% | 0,0% | 50,0% | 0,0% |
| | | Déplacement du trait de côte | 2 | -2 | 50,0% | 0,0% | 0,0% | 0,0% | 50,0% | 0,0% | 0,0% |
| | | Érosion | 2 | -4 | 50,0% | 50,0% | 0,0% | 0,0% | 0,0% | 0,0% | 0,0% |
| | | CDir Géomorphologique | 4 | 3,5 | 0,0% | 0,0% | 0,0% | 0,0% | 0,0% | 75,0% | 25,0% |
| | | Transport sédimentaire | 3 | -1,667 | 33,3% | 33,3% | 0,0% | 0,0% | 0,0% | 33,3% | 0,0% |
| | | Transport longitudinal | 2 | -1 | 50,0% | 0,0% | 0,0% | 0,0% | 0,0% | 50,0% | 0,0% |
| | | Transport sédimentaire général | 1 | -3 | 0,0% | 100,0% | 0,0% | 0,0% | 0,0% | 0,0% | 0,0% |
| | | Jet de rive | 1 | -3 | 0,0% | 100,0% | 0,0% | 0,0% | 0,0% | 0,0% | 0,0% |
| | | Run-up | 1 | -3 | 0,0% | 100,0% | 0,0% | 0,0% | 0,0% | 0,0% | 0,0% |

Identification d'ouvrages de protection côtière

Date : 2021-03-19

Cellule hydrosédimentaire :

version :

Groupe_0005

page : 90

15 Mur de protection

| | | | | | | | | | | |
|------|---------------------------------|----|--------|-------|--------|-------|--------|------|-------|------|
| CInd | Géomorphologique | 5 | -2 | 0,0% | 60,0% | 20,0% | 20,0% | 0,0% | 0,0% | 0,0% |
| | Profil topobathymétrique | 5 | -2 | 0,0% | 60,0% | 20,0% | 20,0% | 0,0% | 0,0% | 0,0% |
| | Profil de plage | 5 | -2 | 0,0% | 60,0% | 20,0% | 20,0% | 0,0% | 0,0% | 0,0% |
| Agr | Géomorphologique | 58 | -2,586 | 13,8% | 62,1% | 8,6% | 13,8% | 0,0% | 1,7% | 0,0% |
| EDir | Géomorphologique | 40 | -2,55 | 20,0% | 50,0% | 12,5% | 15,0% | 0,0% | 2,5% | 0,0% |
| | Érosion/Accumulation | 40 | -2,55 | 20,0% | 50,0% | 12,5% | 15,0% | 0,0% | 2,5% | 0,0% |
| | Accumulation sédimentaire | 2 | -1 | 50,0% | 0,0% | 0,0% | 0,0% | 0,0% | 50,0% | 0,0% |
| | Affouillement | 1 | 0 | 0,0% | 0,0% | 0,0% | 100,0% | 0,0% | 0,0% | 0,0% |
| | Bilan sédimentaire | 8 | -1,5 | 0,0% | 37,5% | 37,5% | 25,0% | 0,0% | 0,0% | 0,0% |
| | Déplacement du trait de côte | 2 | -2,5 | 50,0% | 0,0% | 0,0% | 50,0% | 0,0% | 0,0% | 0,0% |
| | Effet de bout | 2 | -4 | 50,0% | 50,0% | 0,0% | 0,0% | 0,0% | 0,0% | 0,0% |
| | Érosion | 3 | -2 | 0,0% | 66,7% | 0,0% | 33,3% | 0,0% | 0,0% | 0,0% |
| | Hauteur de plage | 6 | -3 | 16,7% | 66,7% | 16,7% | 0,0% | 0,0% | 0,0% | 0,0% |
| | Largeur de plage | 11 | -3,545 | 36,4% | 54,5% | 9,1% | 0,0% | 0,0% | 0,0% | 0,0% |
| | Rétablissement géomorphologique | 4 | -2,25 | 0,0% | 75,0% | 0,0% | 25,0% | 0,0% | 0,0% | 0,0% |
| | Rétention sédimentaire | 1 | -3 | 0,0% | 100,0% | 0,0% | 0,0% | 0,0% | 0,0% | 0,0% |
| CDir | Géomorphologique | 4 | -3 | 0,0% | 100,0% | 0,0% | 0,0% | 0,0% | 0,0% | 0,0% |
| | Transport sédimentaire | 3 | -3 | 0,0% | 100,0% | 0,0% | 0,0% | 0,0% | 0,0% | 0,0% |
| | Transport longitudinal | 2 | -3 | 0,0% | 100,0% | 0,0% | 0,0% | 0,0% | 0,0% | 0,0% |
| | Transport transversal | 1 | -3 | 0,0% | 100,0% | 0,0% | 0,0% | 0,0% | 0,0% | 0,0% |
| | Eaux souterraines | 1 | -3 | 0,0% | 100,0% | 0,0% | 0,0% | 0,0% | 0,0% | 0,0% |
| | Niveau de la nappe | 1 | -3 | 0,0% | 100,0% | 0,0% | 0,0% | 0,0% | 0,0% | 0,0% |
| | Jet de rive | 5 | -3 | 0,0% | 100,0% | 0,0% | 0,0% | 0,0% | 0,0% | 0,0% |
| | Backwash/Swash | 5 | -3 | 0,0% | 100,0% | 0,0% | 0,0% | 0,0% | 0,0% | 0,0% |
| | Processus dissipation | 4 | -3 | 0,0% | 100,0% | 0,0% | 0,0% | 0,0% | 0,0% | 0,0% |
| | Réflexion | 4 | -3 | 0,0% | 100,0% | 0,0% | 0,0% | 0,0% | 0,0% | 0,0% |
| CInd | Géomorphologique | 1 | -3 | 0,0% | 100,0% | 0,0% | 0,0% | 0,0% | 0,0% | 0,0% |
| | Profil topobathymétrique | 4 | -1,5 | 0,0% | 50,0% | 0,0% | 50,0% | 0,0% | 0,0% | 0,0% |
| | Profil de plage | 3 | -2 | 0,0% | 66,7% | 0,0% | 33,3% | 0,0% | 0,0% | 0,0% |
| | Système de barres | 1 | 0 | 0,0% | 0,0% | 0,0% | 100,0% | 0,0% | 0,0% | 0,0% |
| | Courant | 1 | -3 | 0,0% | 100,0% | 0,0% | 0,0% | 0,0% | 0,0% | 0,0% |
| | Dérive littorale | 1 | -3 | 0,0% | 100,0% | 0,0% | 0,0% | 0,0% | 0,0% | 0,0% |
| Agr | Géomorphologique | 20 | -3,3 | 30,0% | 60,0% | 0,0% | 10,0% | 0,0% | 0,0% | 0,0% |
| EDir | Géomorphologique | 17 | -3,353 | 35,3% | 52,9% | 0,0% | 11,8% | 0,0% | 0,0% | 0,0% |
| | Érosion/Accumulation | 17 | -3,353 | 35,3% | 52,9% | 0,0% | 11,8% | 0,0% | 0,0% | 0,0% |
| | Effet de bout | 2 | -4 | 50,0% | 50,0% | 0,0% | 0,0% | 0,0% | 0,0% | 0,0% |
| | Érosion | 2 | -3 | 0,0% | 100,0% | 0,0% | 0,0% | 0,0% | 0,0% | 0,0% |
| | Hauteur de plage | 4 | -3,5 | 25,0% | 75,0% | 0,0% | 0,0% | 0,0% | 0,0% | 0,0% |
| | Largeur de plage | 9 | -3,222 | 44,4% | 33,3% | 0,0% | 22,2% | 0,0% | 0,0% | 0,0% |
| CInd | Géomorphologique | 3 | -3 | 0,0% | 100,0% | 0,0% | 0,0% | 0,0% | 0,0% | 0,0% |
| | Profil topobathymétrique | 3 | -3 | 0,0% | 100,0% | 0,0% | 0,0% | 0,0% | 0,0% | 0,0% |
| | Profil de plage | 2 | -3 | 0,0% | 100,0% | 0,0% | 0,0% | 0,0% | 0,0% | 0,0% |
| | Système de barres | 1 | -3 | 0,0% | 100,0% | 0,0% | 0,0% | 0,0% | 0,0% | 0,0% |

16 Enrochement

Résultats détaillés

| Pos. | OPC | Niv. observé (effet écosystémique glc) | N | Moy | -5 | -3 | -1 | 0 | 1 | 3 | 5 | |
|------|----------------|--|---------------------------|-----|--------|------|------|------|------|------|--------|-------|
| 1 | Végétalisation | Agr | Écosystémique | 20 | 3,1 | 0,0% | 0,0% | 0,0% | 0,0% | 5,0% | 85,0% | 10,0% |
| | | CDir | Écosystémique | 4 | 3 | 0,0% | 0,0% | 0,0% | 0,0% | 0,0% | 100,0% | 0,0% |
| | | | Érosion/Accumulation | 15 | 3,1333 | 0,0% | 0,0% | 0,0% | 0,0% | 6,7% | 80,0% | 13,3% |
| | | | Accumulation sédimentaire | 11 | 3,1818 | 0,0% | 0,0% | 0,0% | 0,0% | 9,1% | 72,7% | 18,2% |

Identification d'ouvrages de protection côtière

Date : 2021-03-19

Cellule hydrosédimentaire :

version :

Groupe_0005

page :

91

| | | | | | | | | | | | |
|---|------------------------|------------------------------------|----|--------|-------|-------|-------|--------|------|--------|--------|
| | | Érosion | 1 | 3 | 0,0% | 0,0% | 0,0% | 0,0% | 0,0% | 100,0% | 0,0% |
| | | Hauteur de plage | 1 | 3 | 0,0% | 0,0% | 0,0% | 0,0% | 0,0% | 100,0% | 0,0% |
| | | Largeur de plage | 1 | 3 | 0,0% | 0,0% | 0,0% | 0,0% | 0,0% | 100,0% | 0,0% |
| | | Rétablissement géomorphologique | 1 | 3 | 0,0% | 0,0% | 0,0% | 0,0% | 0,0% | 100,0% | 0,0% |
| | | Profil topobathymétrique | 1 | 3 | 0,0% | 0,0% | 0,0% | 0,0% | 0,0% | 100,0% | 0,0% |
| | | Profil de plage | 1 | 3 | 0,0% | 0,0% | 0,0% | 0,0% | 0,0% | 100,0% | 0,0% |
| | | Transport sédimentaire | 4 | 3 | 0,0% | 0,0% | 0,0% | 0,0% | 0,0% | 100,0% | 0,0% |
| | | Transport sédimentaire général | 3 | 3 | 0,0% | 0,0% | 0,0% | 0,0% | 0,0% | 100,0% | 0,0% |
| | | Transport transversal | 1 | 3 | 0,0% | 0,0% | 0,0% | 0,0% | 0,0% | 100,0% | 0,0% |
| 2 | Ganivelle | Agr Écosystémique | 19 | 2,5789 | 0,0% | 10,5% | 0,0% | 0,0% | 5,3% | 68,4% | 15,8% |
| | | CDir Écosystémique | 2 | 0 | 0,0% | 50,0% | 0,0% | 0,0% | 0,0% | 50,0% | 0,0% |
| | | Érosion/Accumulation | 17 | 2,8824 | 0,0% | 5,9% | 0,0% | 0,0% | 5,9% | 70,6% | 17,6% |
| | | Accumulation sédimentaire | 12 | 3,1667 | 0,0% | 0,0% | 0,0% | 0,0% | 8,3% | 75,0% | 16,7% |
| | | Largeur de plage | 2 | 4 | 0,0% | 0,0% | 0,0% | 0,0% | 0,0% | 50,0% | 50,0% |
| | | Rétention sédimentaire | 3 | 1 | 0,0% | 33,3% | 0,0% | 0,0% | 0,0% | 66,7% | 0,0% |
| | | Profil topobathymétrique | 2 | 0 | 0,0% | 50,0% | 0,0% | 0,0% | 0,0% | 50,0% | 0,0% |
| | | Topographie | 2 | 0 | 0,0% | 50,0% | 0,0% | 0,0% | 0,0% | 50,0% | 0,0% |
| 3 | Recharge de dune | Agr Écosystémique | 4 | 2,25 | 0,0% | 0,0% | 0,0% | 25,0% | 0,0% | 75,0% | 0,0% |
| | | CDir Écosystémique | 2 | 3 | 0,0% | 0,0% | 0,0% | 0,0% | 0,0% | 100,0% | 0,0% |
| | | Érosion/Accumulation | 2 | 1,5 | 0,0% | 0,0% | 0,0% | 50,0% | 0,0% | 50,0% | 0,0% |
| | | Bilan sédimentaire | 1 | 3 | 0,0% | 0,0% | 0,0% | 0,0% | 0,0% | 100,0% | 0,0% |
| | | Érosion | 1 | 0 | 0,0% | 0,0% | 0,0% | 100,0% | 0,0% | 0,0% | 0,0% |
| | | Profil topobathymétrique | 2 | 3 | 0,0% | 0,0% | 0,0% | 0,0% | 0,0% | 100,0% | 0,0% |
| | | Profil de plage | 2 | 3 | 0,0% | 0,0% | 0,0% | 0,0% | 0,0% | 100,0% | 0,0% |
| 4 | Épi perméable | Agr Écosystémique | 26 | 2,1538 | 3,8% | 7,7% | 3,8% | 7,7% | 0,0% | 61,5% | 15,4% |
| | | CDir Écosystémique | 3 | 3 | 0,0% | 0,0% | 0,0% | 0,0% | 0,0% | 100,0% | 0,0% |
| | | Érosion/Accumulation | 14 | 2,7143 | 0,0% | 7,1% | 0,0% | 14,3% | 0,0% | 50,0% | 28,6% |
| | | Bilan sédimentaire | 1 | 3 | 0,0% | 0,0% | 0,0% | 0,0% | 0,0% | 100,0% | 0,0% |
| | | Érosion | 4 | 0,75 | 0,0% | 25,0% | 0,0% | 25,0% | 0,0% | 50,0% | 0,0% |
| | | Hauteur de plage | 1 | 5 | 0,0% | 0,0% | 0,0% | 0,0% | 0,0% | 0,0% | 100,0% |
| | | Largeur de plage | 1 | 5 | 0,0% | 0,0% | 0,0% | 0,0% | 0,0% | 0,0% | 100,0% |
| | | Rétablissement géomorphologique | 1 | 5 | 0,0% | 0,0% | 0,0% | 0,0% | 0,0% | 0,0% | 100,0% |
| | | Rétention sédimentaire | 6 | 2,8333 | 0,0% | 0,0% | 0,0% | 16,7% | 0,0% | 66,7% | 16,7% |
| | | Profil topobathymétrique | 4 | 2 | 0,0% | 0,0% | 25,0% | 0,0% | 0,0% | 75,0% | 0,0% |
| | | Profil de plage | 1 | 3 | 0,0% | 0,0% | 0,0% | 0,0% | 0,0% | 100,0% | 0,0% |
| | | Système de barres | 2 | 1 | 0,0% | 0,0% | 50,0% | 0,0% | 0,0% | 50,0% | 0,0% |
| | | Variation bathymétrique généralisé | 1 | 3 | 0,0% | 0,0% | 0,0% | 0,0% | 0,0% | 100,0% | 0,0% |
| | | Transport sédimentaire | 1 | 3 | 0,0% | 0,0% | 0,0% | 0,0% | 0,0% | 100,0% | 0,0% |
| | | Transport longitudinal | 1 | 3 | 0,0% | 0,0% | 0,0% | 0,0% | 0,0% | 100,0% | 0,0% |
| | | Courant | 4 | -0,5 | 25,0% | 25,0% | 0,0% | 0,0% | 0,0% | 50,0% | 0,0% |
| | | Circulation | 1 | 3 | 0,0% | 0,0% | 0,0% | 0,0% | 0,0% | 100,0% | 0,0% |
| | | Courant d'arrachement | 2 | -4 | 50,0% | 50,0% | 0,0% | 0,0% | 0,0% | 0,0% | 0,0% |
| | | Dérive littorale | 1 | 3 | 0,0% | 0,0% | 0,0% | 0,0% | 0,0% | 100,0% | 0,0% |
| | | Processus dissipation | 3 | 3 | 0,0% | 0,0% | 0,0% | 0,0% | 0,0% | 100,0% | 0,0% |
| | | Déferlement | 1 | 3 | 0,0% | 0,0% | 0,0% | 0,0% | 0,0% | 100,0% | 0,0% |
| | | Énergie des vagues | 1 | 3 | 0,0% | 0,0% | 0,0% | 0,0% | 0,0% | 100,0% | 0,0% |
| | | Réfraction | 1 | 3 | 0,0% | 0,0% | 0,0% | 0,0% | 0,0% | 100,0% | 0,0% |
| 5 | Recharge d'avant-plage | Agr Écosystémique | 31 | 1,9032 | 0,0% | 6,5% | 0,0% | 25,8% | 6,5% | 51,6% | 9,7% |
| | | CDir Écosystémique | 1 | 3 | 0,0% | 0,0% | 0,0% | 0,0% | 0,0% | 100,0% | 0,0% |

Identification d'ouvrages de protection cotière

Date : 2021-03-19

Cellule hydrosédimentaire :

version :

Groupe_0005

page :

92

| | | | | | | | | | | | |
|---|--------------------------------|------------------------------------|-----|--------|------|--------|-------|--------|--------|--------|-------|
| | | Érosion/Accumulation | 18 | 2,0556 | 0,0% | 5,6% | 0,0% | 27,8% | 5,6% | 44,4% | 16,7% |
| | | Accumulation sédimentaire | 6 | 3,3333 | 0,0% | 0,0% | 0,0% | 0,0% | 0,0% | 83,3% | 16,7% |
| | | Bilan sédimentaire | 9 | 1,5556 | 0,0% | 11,1% | 0,0% | 33,3% | 11,1% | 22,2% | 22,2% |
| | | Déplacement du trait de côte | 3 | 1 | 0,0% | 0,0% | 0,0% | 66,7% | 0,0% | 33,3% | 0,0% |
| | | Profil topobathymétrique | 11 | 1,4545 | 0,0% | 9,1% | 0,0% | 27,3% | 9,1% | 54,5% | 0,0% |
| | | Profil de plage | 2 | -1,5 | 0,0% | 50,0% | 0,0% | 50,0% | 0,0% | 0,0% | 0,0% |
| | | Système de barres | 9 | 2,1111 | 0,0% | 0,0% | 0,0% | 22,2% | 11,1% | 66,7% | 0,0% |
| | | Transport sédimentaire | 1 | 3 | 0,0% | 0,0% | 0,0% | 0,0% | 0,0% | 100,0% | 0,0% |
| | | Transport longitudinal | 1 | 3 | 0,0% | 0,0% | 0,0% | 0,0% | 0,0% | 100,0% | 0,0% |
| | | Processus dissipation | 1 | 3 | 0,0% | 0,0% | 0,0% | 0,0% | 0,0% | 100,0% | 0,0% |
| | | Déferlement | 1 | 3 | 0,0% | 0,0% | 0,0% | 0,0% | 0,0% | 100,0% | 0,0% |
| 6 | Système horizontal de drainage | Agr Écosystémique | 21 | 1,5238 | 0,0% | 9,5% | 0,0% | 23,8% | 19,0% | 38,1% | 9,5% |
| | | EDir Écosystémique | 1 | 0 | 0,0% | 0,0% | 0,0% | 100,0% | 0,0% | 0,0% | 0,0% |
| | | Biocénose | 1 | 0 | 0,0% | 0,0% | 0,0% | 100,0% | 0,0% | 0,0% | 0,0% |
| | | Biocénose quantitative | 1 | 0 | 0,0% | 0,0% | 0,0% | 100,0% | 0,0% | 0,0% | 0,0% |
| | | CDir Écosystémique | 2 | 3 | 0,0% | 0,0% | 0,0% | 0,0% | 0,0% | 100,0% | 0,0% |
| | | Érosion/Accumulation | 16 | 1,8125 | 0,0% | 6,3% | 0,0% | 18,8% | 25,0% | 37,5% | 12,5% |
| | | Accumulation sédimentaire | 5 | 1,6 | 0,0% | 0,0% | 0,0% | 60,0% | 0,0% | 20,0% | 20,0% |
| | | Bilan sédimentaire | 6 | 2 | 0,0% | 0,0% | 0,0% | 0,0% | 50,0% | 50,0% | 0,0% |
| | | Déplacement du trait de côte | 3 | 3,6667 | 0,0% | 0,0% | 0,0% | 0,0% | 0,0% | 66,7% | 33,3% |
| | | Érosion | 1 | -3 | 0,0% | 100,0% | 0,0% | 0,0% | 0,0% | 0,0% | 0,0% |
| | | Hauteur de plage | 1 | 1 | 0,0% | 0,0% | 0,0% | 0,0% | 100,0% | 0,0% | 0,0% |
| | | Profil topobathymétrique | 2 | -1,5 | 0,0% | 50,0% | 0,0% | 50,0% | 0,0% | 0,0% | 0,0% |
| | | Profil de plage | 2 | -1,5 | 0,0% | 50,0% | 0,0% | 50,0% | 0,0% | 0,0% | 0,0% |
| | | Transport sédimentaire | 2 | 3 | 0,0% | 0,0% | 0,0% | 0,0% | 0,0% | 100,0% | 0,0% |
| | | Transport transversal | 2 | 3 | 0,0% | 0,0% | 0,0% | 0,0% | 0,0% | 100,0% | 0,0% |
| 7 | Recharge de plage | Agr Écosystémique | 118 | 1,3136 | 0,8% | 11,9% | 4,2% | 24,6% | 9,3% | 39,8% | 9,3% |
| | | EDir Écosystémique | 5 | -1,4 | 0,0% | 60,0% | 20,0% | 0,0% | 0,0% | 20,0% | 0,0% |
| | | Biocénose | 5 | -1,4 | 0,0% | 60,0% | 20,0% | 0,0% | 0,0% | 20,0% | 0,0% |
| | | Biocénose qualitative | 5 | -1,4 | 0,0% | 60,0% | 20,0% | 0,0% | 0,0% | 20,0% | 0,0% |
| | | CDir Écosystémique | 7 | 0 | 0,0% | 14,3% | 0,0% | 71,4% | 0,0% | 14,3% | 0,0% |
| | | Érosion/Accumulation | 58 | 2,3793 | 0,0% | 0,0% | 0,0% | 24,1% | 12,1% | 46,6% | 17,2% |
| | | Accumulation sédimentaire | 5 | 3,8 | 0,0% | 0,0% | 0,0% | 0,0% | 0,0% | 60,0% | 40,0% |
| | | Bilan sédimentaire | 22 | 3,0909 | 0,0% | 0,0% | 0,0% | 9,1% | 13,6% | 45,5% | 31,8% |
| | | Déplacement du trait de côte | 16 | 1,5 | 0,0% | 0,0% | 0,0% | 37,5% | 18,8% | 43,8% | 0,0% |
| | | Érosion | 7 | 1,1429 | 0,0% | 0,0% | 0,0% | 71,4% | 0,0% | 14,3% | 14,3% |
| | | Hauteur de plage | 2 | 2 | 0,0% | 0,0% | 0,0% | 0,0% | 50,0% | 50,0% | 0,0% |
| | | Largeur de plage | 6 | 2,5 | 0,0% | 0,0% | 0,0% | 16,7% | 0,0% | 83,3% | 0,0% |
| | | Profil topobathymétrique | 31 | 0,5806 | 3,2% | 16,1% | 3,2% | 29,0% | 12,9% | 32,3% | 3,2% |
| | | Profil de plage | 10 | -0,7 | 0,0% | 40,0% | 10,0% | 30,0% | 0,0% | 20,0% | 0,0% |
| | | Système de barres | 18 | 0,9444 | 5,6% | 5,6% | 0,0% | 27,8% | 22,2% | 38,9% | 0,0% |
| | | Topographie | 1 | 3 | 0,0% | 0,0% | 0,0% | 0,0% | 0,0% | 100,0% | 0,0% |
| | | Variation bathymétrique généralisé | 2 | 2,5 | 0,0% | 0,0% | 0,0% | 50,0% | 0,0% | 0,0% | 50,0% |
| | | Sédiments | 7 | -2,143 | 0,0% | 57,1% | 42,9% | 0,0% | 0,0% | 0,0% | 0,0% |
| | | Taille granulométrique | 7 | -2,143 | 0,0% | 57,1% | 42,9% | 0,0% | 0,0% | 0,0% | 0,0% |
| | | Transport sédimentaire | 9 | 2,6667 | 0,0% | 0,0% | 0,0% | 11,1% | 0,0% | 88,9% | 0,0% |
| | | Transport longitudinal | 5 | 3 | 0,0% | 0,0% | 0,0% | 0,0% | 0,0% | 100,0% | 0,0% |
| | | Transport sédimentaire général | 2 | 3 | 0,0% | 0,0% | 0,0% | 0,0% | 0,0% | 100,0% | 0,0% |
| | | Transport transversal | 2 | 1,5 | 0,0% | 0,0% | 0,0% | 50,0% | 0,0% | 50,0% | 0,0% |

Identification d'ouvrages de protection côtière

Date : 2021-03-19

Cellule hydrosédimentaire :

version :

Groupe_0005

page :

93

| | | | | | | | | | | | |
|----|------------------------------|---------------------------------|----|--------|------|--------|--------|--------|--------|--------|--------|
| | | Courant | 1 | -3 | 0,0% | 100,0% | 0,0% | 0,0% | 0,0% | 0,0% | 0,0% |
| | | Courant transversaux | 1 | -3 | 0,0% | 100,0% | 0,0% | 0,0% | 0,0% | 0,0% | 0,0% |
| | | Processus dissipation | 7 | 0 | 0,0% | 14,3% | 0,0% | 71,4% | 0,0% | 14,3% | 0,0% |
| | | Énergie des vagues | 3 | -1 | 0,0% | 33,3% | 0,0% | 66,7% | 0,0% | 0,0% | 0,0% |
| | | Hauteur de vagues | 4 | 0,75 | 0,0% | 0,0% | 0,0% | 75,0% | 0,0% | 25,0% | 0,0% |
| 8 | Brise-lame émergé | Agr Écosystémique | 11 | 0,0909 | 0,0% | 36,4% | 0,0% | 18,2% | 9,1% | 36,4% | 0,0% |
| | | EDir Écosystémique | 2 | -3 | 0,0% | 100,0% | 0,0% | 0,0% | 0,0% | 0,0% | 0,0% |
| | | Biocénose | 2 | -3 | 0,0% | 100,0% | 0,0% | 0,0% | 0,0% | 0,0% | 0,0% |
| | | Biocénose qualitative | 2 | -3 | 0,0% | 100,0% | 0,0% | 0,0% | 0,0% | 0,0% | 0,0% |
| | | CDir Écosystémique | 2 | -1,5 | 0,0% | 50,0% | 0,0% | 50,0% | 0,0% | 0,0% | 0,0% |
| | | Érosion/Accumulation | 7 | 1,4286 | 0,0% | 14,3% | 0,0% | 14,3% | 14,3% | 57,1% | 0,0% |
| | | Accumulation sédimentaire | 6 | 1,5 | 0,0% | 16,7% | 0,0% | 16,7% | 0,0% | 66,7% | 0,0% |
| | | Rétablissement géomorphologique | 1 | 1 | 0,0% | 0,0% | 0,0% | 0,0% | 100,0% | 0,0% | 0,0% |
| | | Transport sédimentaire | 2 | -1,5 | 0,0% | 50,0% | 0,0% | 50,0% | 0,0% | 0,0% | 0,0% |
| | | Transport longitudinal | 1 | -3 | 0,0% | 100,0% | 0,0% | 0,0% | 0,0% | 0,0% | 0,0% |
| | | Transport sédimentaire général | 1 | 0 | 0,0% | 0,0% | 0,0% | 100,0% | 0,0% | 0,0% | 0,0% |
| 9 | Système vertical de drainage | Agr Écosystémique | 5 | 0 | 0,0% | 40,0% | 0,0% | 20,0% | 20,0% | 0,0% | 20,0% |
| | | CDir Écosystémique | 2 | -3 | 0,0% | 100,0% | 0,0% | 0,0% | 0,0% | 0,0% | 0,0% |
| | | Érosion/Accumulation | 3 | 2 | 0,0% | 0,0% | 0,0% | 33,3% | 33,3% | 0,0% | 33,3% |
| | | Bilan sédimentaire | 3 | 2 | 0,0% | 0,0% | 0,0% | 33,3% | 33,3% | 0,0% | 33,3% |
| | | Sédiments | 2 | -3 | 0,0% | 100,0% | 0,0% | 0,0% | 0,0% | 0,0% | 0,0% |
| | | Taille granulométrique | 2 | -3 | 0,0% | 100,0% | 0,0% | 0,0% | 0,0% | 0,0% | 0,0% |
| 10 | Épi imperméable | Agr Écosystémique | 49 | -0,02 | 0,0% | 40,8% | 8,2% | 12,2% | 4,1% | 24,5% | 10,2% |
| | | EDir Écosystémique | 2 | -2 | 0,0% | 50,0% | 50,0% | 0,0% | 0,0% | 0,0% | 0,0% |
| | | Biocénose | 2 | -2 | 0,0% | 50,0% | 50,0% | 0,0% | 0,0% | 0,0% | 0,0% |
| | | Biocénose qualitative | 1 | -3 | 0,0% | 100,0% | 0,0% | 0,0% | 0,0% | 0,0% | 0,0% |
| | | Biocénose quantitative | 1 | -1 | 0,0% | 0,0% | 100,0% | 0,0% | 0,0% | 0,0% | 0,0% |
| | | CDir Écosystémique | 6 | 1,5 | 0,0% | 0,0% | 33,3% | 16,7% | 0,0% | 33,3% | 16,7% |
| | | Érosion/Accumulation | 22 | 0,4545 | 0,0% | 36,4% | 4,5% | 9,1% | 9,1% | 27,3% | 13,6% |
| | | Accumulation sédimentaire | 2 | 4 | 0,0% | 0,0% | 0,0% | 0,0% | 0,0% | 50,0% | 50,0% |
| | | Affouillement | 1 | -3 | 0,0% | 100,0% | 0,0% | 0,0% | 0,0% | 0,0% | 0,0% |
| | | Bilan sédimentaire | 1 | 0 | 0,0% | 0,0% | 0,0% | 100,0% | 0,0% | 0,0% | 0,0% |
| | | Déplacement du trait de côte | 5 | 0,2 | 0,0% | 40,0% | 20,0% | 0,0% | 0,0% | 20,0% | 20,0% |
| | | Érosion | 1 | 5 | 0,0% | 0,0% | 0,0% | 0,0% | 0,0% | 0,0% | 100,0% |
| | | Hauteur de plage | 1 | 3 | 0,0% | 0,0% | 0,0% | 0,0% | 0,0% | 100,0% | 0,0% |
| | | Largeur de plage | 3 | 0,3333 | 0,0% | 33,3% | 0,0% | 0,0% | 33,3% | 33,3% | 0,0% |
| | | Rétablissement géomorphologique | 1 | 1 | 0,0% | 0,0% | 0,0% | 0,0% | 100,0% | 0,0% | 0,0% |
| | | Rétention sédimentaire | 7 | -0,857 | 0,0% | 57,1% | 0,0% | 14,3% | 0,0% | 28,6% | 0,0% |
| | | Profil topobathymétrique | 1 | 0 | 0,0% | 0,0% | 0,0% | 100,0% | 0,0% | 0,0% | 0,0% |
| | | Profil de plage | 1 | 0 | 0,0% | 0,0% | 0,0% | 100,0% | 0,0% | 0,0% | 0,0% |
| | | Transport sédimentaire | 4 | 0 | 0,0% | 50,0% | 0,0% | 0,0% | 0,0% | 50,0% | 0,0% |
| | | Transport longitudinal | 4 | 0 | 0,0% | 50,0% | 0,0% | 0,0% | 0,0% | 50,0% | 0,0% |
| | | Courant | 13 | -1,615 | 0,0% | 69,2% | 0,0% | 15,4% | 0,0% | 15,4% | 0,0% |
| | | Circulation | 3 | -3 | 0,0% | 100,0% | 0,0% | 0,0% | 0,0% | 0,0% | 0,0% |
| | | Courant d'arrachement | 3 | -3 | 0,0% | 100,0% | 0,0% | 0,0% | 0,0% | 0,0% | 0,0% |
| | | Courant transversaux | 3 | -2 | 0,0% | 66,7% | 0,0% | 33,3% | 0,0% | 0,0% | 0,0% |
| | | Dérive littorale | 4 | 0,75 | 0,0% | 25,0% | 0,0% | 25,0% | 0,0% | 50,0% | 0,0% |
| | | Processus dissipation | 6 | 1,5 | 0,0% | 0,0% | 33,3% | 16,7% | 0,0% | 33,3% | 16,7% |
| | | Diffraction | 1 | 3 | 0,0% | 0,0% | 0,0% | 0,0% | 0,0% | 100,0% | 0,0% |

Identification d'ouvrages de protection côtière

Date : 2021-03-19

Cellule hydrosédimentaire :

version :

Groupe_0005

page : 94

| | | | | | | | | | | | | |
|----|--------------------------|---------------------------|------------------------------------|----|--------|-------|--------|--------|--------|--------|--------|-------|
| | | Énergie des vagues | 1 | 0 | 0,0% | 0,0% | 0,0% | 100,0% | 0,0% | 0,0% | 0,0% | |
| | | Hauteur de vagues | 2 | 2 | 0,0% | 0,0% | 50,0% | 0,0% | 0,0% | 0,0% | 50,0% | |
| | | Réflexion | 1 | -1 | 0,0% | 0,0% | 100,0% | 0,0% | 0,0% | 0,0% | 0,0% | |
| | | Réfraction | 1 | 3 | 0,0% | 0,0% | 0,0% | 0,0% | 0,0% | 100,0% | 0,0% | |
| | CInd | Écosystémique | 1 | 5 | 0,0% | 0,0% | 0,0% | 0,0% | 0,0% | 0,0% | 100,0% | |
| | | Biotope | 1 | 5 | 0,0% | 0,0% | 0,0% | 0,0% | 0,0% | 0,0% | 100,0% | |
| | | Modification structurelle | 1 | 5 | 0,0% | 0,0% | 0,0% | 0,0% | 0,0% | 0,0% | 100,0% | |
| 11 | Brise-lame à crête basse | Agr | Écosystémique | 48 | -0,583 | 12,5% | 39,6% | 4,2% | 4,2% | 4,2% | 27,1% | 8,3% |
| | | EDir | Écosystémique | 4 | -2,25 | 25,0% | 25,0% | 25,0% | 25,0% | 0,0% | 0,0% | 0,0% |
| | | | Biocénose | 4 | -2,25 | 25,0% | 25,0% | 25,0% | 25,0% | 0,0% | 0,0% | 0,0% |
| | | | Biocénose qualitative | 4 | -2,25 | 25,0% | 25,0% | 25,0% | 25,0% | 0,0% | 0,0% | 0,0% |
| | | CDir | Écosystémique | 4 | 3,5 | 0,0% | 0,0% | 0,0% | 0,0% | 0,0% | 75,0% | 25,0% |
| | | | Érosion/Accumulation | 11 | 0,3636 | 18,2% | 18,2% | 0,0% | 9,1% | 9,1% | 27,3% | 18,2% |
| | | | Accumulation sédimentaire | 6 | 1,6667 | 0,0% | 33,3% | 0,0% | 0,0% | 0,0% | 33,3% | 33,3% |
| | | | Bilan sédimentaire | 1 | 0 | 0,0% | 0,0% | 0,0% | 100,0% | 0,0% | 0,0% | 0,0% |
| | | | Déplacement du trait de côte | 2 | -2 | 50,0% | 0,0% | 0,0% | 0,0% | 50,0% | 0,0% | 0,0% |
| | | | Érosion | 2 | -1 | 50,0% | 0,0% | 0,0% | 0,0% | 0,0% | 50,0% | 0,0% |
| | | | Profil topobathymétrique | 6 | 0 | 16,7% | 33,3% | 0,0% | 0,0% | 0,0% | 33,3% | 16,7% |
| | | | Variation bathymétrique généralisé | 2 | 4 | 0,0% | 0,0% | 0,0% | 0,0% | 0,0% | 50,0% | 50,0% |
| | | | Variation bathymétrique localisée | 4 | -2 | 25,0% | 50,0% | 0,0% | 0,0% | 0,0% | 25,0% | 0,0% |
| | | | Transport sédimentaire | 1 | 3 | 0,0% | 0,0% | 0,0% | 0,0% | 0,0% | 100,0% | 0,0% |
| | | | Transport longitudinal | 1 | 3 | 0,0% | 0,0% | 0,0% | 0,0% | 0,0% | 100,0% | 0,0% |
| | | | Courant | 20 | -1,6 | 5,0% | 65,0% | 5,0% | 0,0% | 5,0% | 20,0% | 0,0% |
| | | | Circulation | 11 | -1,545 | 0,0% | 72,7% | 0,0% | 0,0% | 9,1% | 18,2% | 0,0% |
| | | | Courant d'arrachement | 1 | -3 | 0,0% | 100,0% | 0,0% | 0,0% | 0,0% | 0,0% | 0,0% |
| | | | Courant transversaux | 6 | -2 | 16,7% | 50,0% | 16,7% | 0,0% | 0,0% | 16,7% | 0,0% |
| | | | Dérive littorale | 2 | 0 | 0,0% | 50,0% | 0,0% | 0,0% | 0,0% | 50,0% | 0,0% |
| | | | Processus dissipation | 4 | 3,5 | 0,0% | 0,0% | 0,0% | 0,0% | 0,0% | 75,0% | 25,0% |
| | | | Diffraction | 1 | 3 | 0,0% | 0,0% | 0,0% | 0,0% | 0,0% | 100,0% | 0,0% |
| | | | Énergie des vagues | 1 | 3 | 0,0% | 0,0% | 0,0% | 0,0% | 0,0% | 100,0% | 0,0% |
| | | | Hauteur de vagues | 2 | 4 | 0,0% | 0,0% | 0,0% | 0,0% | 0,0% | 50,0% | 50,0% |
| | | CInd | Écosystémique | 2 | -4 | 50,0% | 50,0% | 0,0% | 0,0% | 0,0% | 0,0% | 0,0% |
| | | | Biotope | 2 | -4 | 50,0% | 50,0% | 0,0% | 0,0% | 0,0% | 0,0% | 0,0% |
| | | | Modification physico-chimique | 2 | -4 | 50,0% | 50,0% | 0,0% | 0,0% | 0,0% | 0,0% | 0,0% |
| 12 | Brise-lame submergé | Agr | Écosystémique | 49 | -0,633 | 16,3% | 38,8% | 0,0% | 0,0% | 6,1% | 32,7% | 6,1% |
| | | EDir | Écosystémique | 1 | 3 | 0,0% | 0,0% | 0,0% | 0,0% | 0,0% | 100,0% | 0,0% |
| | | | Biocénose | 1 | 3 | 0,0% | 0,0% | 0,0% | 0,0% | 0,0% | 100,0% | 0,0% |
| | | | Biocénose qualitative | 1 | 3 | 0,0% | 0,0% | 0,0% | 0,0% | 0,0% | 100,0% | 0,0% |
| | | CDir | Écosystémique | 10 | 2 | 10,0% | 0,0% | 0,0% | 0,0% | 10,0% | 80,0% | 0,0% |
| | | | Érosion/Accumulation | 18 | -1,667 | 22,2% | 50,0% | 0,0% | 0,0% | 5,6% | 11,1% | 11,1% |
| | | | Accumulation sédimentaire | 2 | 2 | 0,0% | 0,0% | 0,0% | 0,0% | 50,0% | 50,0% | 0,0% |
| | | | Affouillement | 5 | -3 | 0,0% | 100,0% | 0,0% | 0,0% | 0,0% | 0,0% | 0,0% |
| | | | Bilan sédimentaire | 4 | -2,5 | 50,0% | 25,0% | 0,0% | 0,0% | 0,0% | 25,0% | 0,0% |
| | | | Déplacement du trait de côte | 2 | -3 | 0,0% | 100,0% | 0,0% | 0,0% | 0,0% | 0,0% | 0,0% |
| | | | Érosion | 5 | -0,6 | 40,0% | 20,0% | 0,0% | 0,0% | 0,0% | 0,0% | 40,0% |
| | | | Profil topobathymétrique | 10 | -1 | 10,0% | 50,0% | 0,0% | 0,0% | 10,0% | 30,0% | 0,0% |
| | | | Profil de plage | 1 | -3 | 0,0% | 100,0% | 0,0% | 0,0% | 0,0% | 0,0% | 0,0% |
| | | | Système de barres | 8 | -0,5 | 12,5% | 37,5% | 0,0% | 0,0% | 12,5% | 37,5% | 0,0% |
| | | | Variation bathymétrique localisée | 1 | -3 | 0,0% | 100,0% | 0,0% | 0,0% | 0,0% | 0,0% | 0,0% |

Identification d'ouvrages de protection côtière

Date : 2021-03-19

Cellule hydrosédimentaire :

version :

Groupe_0005

page :

95

| | | | | | | | | | | | |
|----|-------------------|---------------------------------|----|--------|--------|--------|-------|--------|--------|--------|-------|
| | | Transport sédimentaire | 2 | -4 | 50,0% | 50,0% | 0,0% | 0,0% | 0,0% | 0,0% | 0,0% |
| | | Transport longitudinal | 1 | -5 | 100,0% | 0,0% | 0,0% | 0,0% | 0,0% | 0,0% | 0,0% |
| | | Transport sédimentaire général | 1 | -3 | 0,0% | 100,0% | 0,0% | 0,0% | 0,0% | 0,0% | 0,0% |
| | | Courant | 8 | -0,75 | 12,5% | 50,0% | 0,0% | 0,0% | 0,0% | 25,0% | 12,5% |
| | | Circulation | 3 | 1 | 33,3% | 0,0% | 0,0% | 0,0% | 0,0% | 33,3% | 33,3% |
| | | Courant d'arrachement | 2 | -3 | 0,0% | 100,0% | 0,0% | 0,0% | 0,0% | 0,0% | 0,0% |
| | | Dérive littorale | 3 | -1 | 0,0% | 66,7% | 0,0% | 0,0% | 0,0% | 33,3% | 0,0% |
| | | Processus dissipation | 10 | 2 | 10,0% | 0,0% | 0,0% | 0,0% | 10,0% | 80,0% | 0,0% |
| | | Déferlement | 3 | 3 | 0,0% | 0,0% | 0,0% | 0,0% | 0,0% | 100,0% | 0,0% |
| | | Énergie des vagues | 5 | 1,4 | 20,0% | 0,0% | 0,0% | 0,0% | 0,0% | 80,0% | 0,0% |
| | | Hauteur de vagues | 1 | 1 | 0,0% | 0,0% | 0,0% | 0,0% | 100,0% | 0,0% | 0,0% |
| | | Transmission | 1 | 3 | 0,0% | 0,0% | 0,0% | 0,0% | 0,0% | 100,0% | 0,0% |
| 13 | Mur de protection | Agr Écosystémique | 49 | -2,714 | 22,4% | 59,2% | 4,1% | 8,2% | 0,0% | 4,1% | 2,0% |
| | | EDir Écosystémique | 6 | -3,5 | 50,0% | 33,3% | 0,0% | 16,7% | 0,0% | 0,0% | 0,0% |
| | | Biocénose | 6 | -3,5 | 50,0% | 33,3% | 0,0% | 16,7% | 0,0% | 0,0% | 0,0% |
| | | Biocénose qualitative | 2 | -1,5 | 0,0% | 50,0% | 0,0% | 50,0% | 0,0% | 0,0% | 0,0% |
| | | Biocénose quantitative | 4 | -4,5 | 75,0% | 25,0% | 0,0% | 0,0% | 0,0% | 0,0% | 0,0% |
| | | CDir Écosystémique | 7 | -3,571 | 28,6% | 71,4% | 0,0% | 0,0% | 0,0% | 0,0% | 0,0% |
| | | Érosion/Accumulation | 23 | -2,13 | 21,7% | 47,8% | 8,7% | 8,7% | 0,0% | 8,7% | 4,3% |
| | | Accumulation sédimentaire | 3 | 0,3333 | 33,3% | 0,0% | 0,0% | 0,0% | 0,0% | 66,7% | 0,0% |
| | | Affouillement | 3 | 0,6667 | 0,0% | 33,3% | 0,0% | 33,3% | 0,0% | 0,0% | 33,3% |
| | | Bilan sédimentaire | 1 | -5 | 100,0% | 0,0% | 0,0% | 0,0% | 0,0% | 0,0% | 0,0% |
| | | Effet de bout | 1 | -3 | 0,0% | 100,0% | 0,0% | 0,0% | 0,0% | 0,0% | 0,0% |
| | | Érosion | 3 | -2,333 | 0,0% | 66,7% | 33,3% | 0,0% | 0,0% | 0,0% | 0,0% |
| | | Hauteur de plage | 5 | -3,8 | 40,0% | 60,0% | 0,0% | 0,0% | 0,0% | 0,0% | 0,0% |
| | | Largeur de plage | 5 | -3 | 20,0% | 60,0% | 20,0% | 0,0% | 0,0% | 0,0% | 0,0% |
| | | Rétablissement géomorphologique | 1 | 0 | 0,0% | 0,0% | 0,0% | 100,0% | 0,0% | 0,0% | 0,0% |
| | | Rétention sédimentaire | 1 | -3 | 0,0% | 100,0% | 0,0% | 0,0% | 0,0% | 0,0% | 0,0% |
| | | Profil topobathymétrique | 3 | -2 | 0,0% | 66,7% | 0,0% | 33,3% | 0,0% | 0,0% | 0,0% |
| | | Profil de plage | 2 | -3 | 0,0% | 100,0% | 0,0% | 0,0% | 0,0% | 0,0% | 0,0% |
| | | Système de barres | 1 | 0 | 0,0% | 0,0% | 0,0% | 100,0% | 0,0% | 0,0% | 0,0% |
| | | Sédiments | 2 | -3 | 0,0% | 100,0% | 0,0% | 0,0% | 0,0% | 0,0% | 0,0% |
| | | Mise en suspension | 1 | -3 | 0,0% | 100,0% | 0,0% | 0,0% | 0,0% | 0,0% | 0,0% |
| | | Taille granulométrique | 1 | -3 | 0,0% | 100,0% | 0,0% | 0,0% | 0,0% | 0,0% | 0,0% |
| | | Transport sédimentaire | 6 | -3 | 0,0% | 100,0% | 0,0% | 0,0% | 0,0% | 0,0% | 0,0% |
| | | Transport longitudinal | 4 | -3 | 0,0% | 100,0% | 0,0% | 0,0% | 0,0% | 0,0% | 0,0% |
| | | Transport transversal | 2 | -3 | 0,0% | 100,0% | 0,0% | 0,0% | 0,0% | 0,0% | 0,0% |
| | | Courant | 1 | -3 | 0,0% | 100,0% | 0,0% | 0,0% | 0,0% | 0,0% | 0,0% |
| | | Dérive littorale | 1 | -3 | 0,0% | 100,0% | 0,0% | 0,0% | 0,0% | 0,0% | 0,0% |
| | | Processus dissipation | 7 | -3,571 | 28,6% | 71,4% | 0,0% | 0,0% | 0,0% | 0,0% | 0,0% |
| | | Déferlement | 1 | -5 | 100,0% | 0,0% | 0,0% | 0,0% | 0,0% | 0,0% | 0,0% |
| | | Réflexion | 6 | -3,333 | 16,7% | 83,3% | 0,0% | 0,0% | 0,0% | 0,0% | 0,0% |
| | | CInd Écosystémique | 1 | -5 | 100,0% | 0,0% | 0,0% | 0,0% | 0,0% | 0,0% | 0,0% |
| | | Biotope | 1 | -5 | 100,0% | 0,0% | 0,0% | 0,0% | 0,0% | 0,0% | 0,0% |
| | | Modification structurelle | 1 | -5 | 100,0% | 0,0% | 0,0% | 0,0% | 0,0% | 0,0% | 0,0% |
| 14 | Enrochement | Agr Écosystémique | 9 | -2,889 | 11,1% | 77,8% | 0,0% | 11,1% | 0,0% | 0,0% | 0,0% |
| | | EDir Écosystémique | 2 | -1,5 | 0,0% | 50,0% | 0,0% | 50,0% | 0,0% | 0,0% | 0,0% |
| | | Biocénose | 2 | -1,5 | 0,0% | 50,0% | 0,0% | 50,0% | 0,0% | 0,0% | 0,0% |
| | | Biocénose qualitative | 1 | 0 | 0,0% | 0,0% | 0,0% | 100,0% | 0,0% | 0,0% | 0,0% |

Identification d'ouvrages de protection côtière

Date : 2021-03-19

Cellule hydrosédimentaire :

version :

Groupe_0005

page :

96

| | | | | | | | | | | | |
|------|------------------------|---|--------|-------|--------|------|------|------|------|------|------|
| | Biocénose quantitative | 1 | -3 | 0,0% | 100,0% | 0,0% | 0,0% | 0,0% | 0,0% | 0,0% | 0,0% |
| CDir | Écosystémique | 1 | -3 | 0,0% | 100,0% | 0,0% | 0,0% | 0,0% | 0,0% | 0,0% | 0,0% |
| | Érosion/Accumulation | 6 | -3,333 | 16,7% | 83,3% | 0,0% | 0,0% | 0,0% | 0,0% | 0,0% | 0,0% |
| | Érosion | 1 | -3 | 0,0% | 100,0% | 0,0% | 0,0% | 0,0% | 0,0% | 0,0% | 0,0% |
| | Hauteur de plage | 1 | -3 | 0,0% | 100,0% | 0,0% | 0,0% | 0,0% | 0,0% | 0,0% | 0,0% |
| | Largeur de plage | 4 | -3,5 | 25,0% | 75,0% | 0,0% | 0,0% | 0,0% | 0,0% | 0,0% | 0,0% |
| | Sédiments | 1 | -3 | 0,0% | 100,0% | 0,0% | 0,0% | 0,0% | 0,0% | 0,0% | 0,0% |
| | Taille granulométrique | 1 | -3 | 0,0% | 100,0% | 0,0% | 0,0% | 0,0% | 0,0% | 0,0% | 0,0% |

Résultats détaillés

| Pos. | OPC | Niv. | Effet observé (effet social global) | N | Moy | -5 | -3 | -1 | 0 | 1 | 3 | 5 |
|-------------|--------------------------------|------|-------------------------------------|-------|--------|-------|--------|-------|--------|-------|--------|-------|
| 1 | Couches perméables de drainage | Agr | Services écologiques | 1 | 3 | 0,0% | 0,0% | 0,0% | 0,0% | 0,0% | 100,0% | 0,0% |
| | | | Protection côtière | 1 | 3 | 0,0% | 0,0% | 0,0% | 0,0% | 0,0% | 100,0% | 0,0% |
| | | | Érosion/Accumulation | 1 | 3 | 0,0% | 0,0% | 0,0% | 0,0% | 0,0% | 100,0% | 0,0% |
| | | | Rétablissement géomorphologique | 1 | 3 | 0,0% | 0,0% | 0,0% | 0,0% | 0,0% | 100,0% | 0,0% |
| | | | Fins récréatives ou de loisirs | 1 | 3 | 0,0% | 0,0% | 0,0% | 0,0% | 0,0% | 100,0% | 0,0% |
| | | | Érosion/Accumulation | 1 | 3 | 0,0% | 0,0% | 0,0% | 0,0% | 0,0% | 100,0% | 0,0% |
| | | | Rétablissement géomorphologique | 1 | 3 | 0,0% | 0,0% | 0,0% | 0,0% | 0,0% | 100,0% | 0,0% |
| 2 | Ganivelle | Agr | Services écologiques | 17 | 2,5294 | 0,0% | 11,8% | 0,0% | 0,0% | 5,9% | 64,7% | 17,6% |
| | | | Fins alimentaires | 2 | 0 | 0,0% | 50,0% | 0,0% | 0,0% | 0,0% | 50,0% | 0,0% |
| | | | Profil topobathymétrique | 2 | 0 | 0,0% | 50,0% | 0,0% | 0,0% | 0,0% | 50,0% | 0,0% |
| | | | Topographie | 2 | 0 | 0,0% | 50,0% | 0,0% | 0,0% | 0,0% | 50,0% | 0,0% |
| | | | Maintenance du cycle de vie | 2 | 0 | 0,0% | 50,0% | 0,0% | 0,0% | 0,0% | 50,0% | 0,0% |
| | | | Profil topobathymétrique | 2 | 0 | 0,0% | 50,0% | 0,0% | 0,0% | 0,0% | 50,0% | 0,0% |
| | | | Topographie | 2 | 0 | 0,0% | 50,0% | 0,0% | 0,0% | 0,0% | 50,0% | 0,0% |
| | | | Protection côtière | 17 | 2,5294 | 0,0% | 11,8% | 0,0% | 0,0% | 5,9% | 64,7% | 17,6% |
| | | | Érosion/Accumulation | 15 | 2,8667 | 0,0% | 6,7% | 0,0% | 0,0% | 6,7% | 66,7% | 20,0% |
| | | | Accumulation sédimentaire | 10 | 3,2 | 0,0% | 0,0% | 0,0% | 0,0% | 10,0% | 70,0% | 20,0% |
| | | | Largeur de plage | 2 | 4 | 0,0% | 0,0% | 0,0% | 0,0% | 0,0% | 50,0% | 50,0% |
| | | | Rétention sédimentaire | 3 | 1 | 0,0% | 33,3% | 0,0% | 0,0% | 0,0% | 66,7% | 0,0% |
| | | | Profil topobathymétrique | 2 | 0 | 0,0% | 50,0% | 0,0% | 0,0% | 0,0% | 50,0% | 0,0% |
| | | | Topographie | 2 | 0 | 0,0% | 50,0% | 0,0% | 0,0% | 0,0% | 50,0% | 0,0% |
| | | | Fins récréatives ou de loisirs | 17 | 2,5294 | 0,0% | 11,8% | 0,0% | 0,0% | 5,9% | 64,7% | 17,6% |
| | | | Érosion/Accumulation | 15 | 2,8667 | 0,0% | 6,7% | 0,0% | 0,0% | 6,7% | 66,7% | 20,0% |
| | | | Accumulation sédimentaire | 10 | 3,2 | 0,0% | 0,0% | 0,0% | 0,0% | 10,0% | 70,0% | 20,0% |
| | | | Largeur de plage | 2 | 4 | 0,0% | 0,0% | 0,0% | 0,0% | 0,0% | 50,0% | 50,0% |
| | | | Rétention sédimentaire | 3 | 1 | 0,0% | 33,3% | 0,0% | 0,0% | 0,0% | 66,7% | 0,0% |
| | | | Profil topobathymétrique | 2 | 0 | 0,0% | 50,0% | 0,0% | 0,0% | 0,0% | 50,0% | 0,0% |
| Topographie | 2 | 0 | 0,0% | 50,0% | 0,0% | 0,0% | 0,0% | 50,0% | 0,0% | | | |
| 3 | Végétalisation | Agr | Services écologiques | 138 | 2,413 | 1,4% | 5,8% | 2,2% | 5,1% | 6,5% | 66,7% | 12,3% |
| | | | Fins alimentaires | 58 | 2,1724 | 3,4% | 8,6% | 3,4% | 3,4% | 6,9% | 56,9% | 17,2% |
| | | | Profil topobathymétrique | 1 | 3 | 0,0% | 0,0% | 0,0% | 0,0% | 0,0% | 100,0% | 0,0% |
| | | | Profil de plage | 1 | 3 | 0,0% | 0,0% | 0,0% | 0,0% | 0,0% | 100,0% | 0,0% |
| | | | Sédiments | 1 | 0 | 0,0% | 0,0% | 0,0% | 100,0% | 0,0% | 0,0% | 0,0% |
| | | | Redistribution granulométrique | 1 | 0 | 0,0% | 0,0% | 0,0% | 100,0% | 0,0% | 0,0% | 0,0% |
| | | | Processus dissipation | 37 | 3,0811 | 0,0% | 2,7% | 0,0% | 2,7% | 5,4% | 67,6% | 21,6% |
| | | | Énergie des vagues | 28 | 2,9643 | 0,0% | 3,6% | 0,0% | 3,6% | 7,1% | 64,3% | 21,4% |
| | | | Hauteur de vagues | 9 | 3,4444 | 0,0% | 0,0% | 0,0% | 0,0% | 0,0% | 77,8% | 22,2% |
| | | | Biocénose | 19 | 0,4737 | 10,5% | 21,1% | 10,5% | 0,0% | 10,5% | 36,8% | 10,5% |
| | | | Autres | 1 | -3 | 0,0% | 100,0% | 0,0% | 0,0% | 0,0% | 0,0% | 0,0% |

Identification d'ouvrages de protection côtière

Date : 2021-03-19

Cellule hydrosédimentaire :

version :

Groupe_0005

page :

97

| | | | | | | | | | |
|---------------------------------|-----|--------|-------|--------|-------|--------|-------|--------|-------|
| Biocénose qualitative | 4 | 0 | 0,0% | 25,0% | 25,0% | 0,0% | 25,0% | 25,0% | 0,0% |
| Biocénose quantitative | 14 | 0,8571 | 14,3% | 14,3% | 7,1% | 0,0% | 7,1% | 42,9% | 14,3% |
| Maintenance du cycle de vie | 58 | 2,1724 | 3,4% | 8,6% | 3,4% | 3,4% | 6,9% | 56,9% | 17,2% |
| Profil topobathymétrique | 1 | 3 | 0,0% | 0,0% | 0,0% | 0,0% | 0,0% | 100,0% | 0,0% |
| Profil de plage | 1 | 3 | 0,0% | 0,0% | 0,0% | 0,0% | 0,0% | 100,0% | 0,0% |
| Sédiments | 1 | 0 | 0,0% | 0,0% | 0,0% | 100,0% | 0,0% | 0,0% | 0,0% |
| Redistribution granulométrique | 1 | 0 | 0,0% | 0,0% | 0,0% | 100,0% | 0,0% | 0,0% | 0,0% |
| Processus dissipation | 37 | 3,0811 | 0,0% | 2,7% | 0,0% | 2,7% | 5,4% | 67,6% | 21,6% |
| Énergie des vagues | 28 | 2,9643 | 0,0% | 3,6% | 0,0% | 3,6% | 7,1% | 64,3% | 21,4% |
| Hauteur de vagues | 9 | 3,4444 | 0,0% | 0,0% | 0,0% | 0,0% | 0,0% | 77,8% | 22,2% |
| Biocénose | 19 | 0,4737 | 10,5% | 21,1% | 10,5% | 0,0% | 10,5% | 36,8% | 10,5% |
| Autres | 1 | -3 | 0,0% | 100,0% | 0,0% | 0,0% | 0,0% | 0,0% | 0,0% |
| Biocénose qualitative | 4 | 0 | 0,0% | 25,0% | 25,0% | 0,0% | 25,0% | 25,0% | 0,0% |
| Biocénose quantitative | 14 | 0,8571 | 14,3% | 14,3% | 7,1% | 0,0% | 7,1% | 42,9% | 14,3% |
| Purification de l'eau | 44 | 2,8864 | 0,0% | 4,5% | 2,3% | 2,3% | 4,5% | 65,9% | 20,5% |
| Courant | 7 | 1,8571 | 0,0% | 14,3% | 14,3% | 0,0% | 0,0% | 57,1% | 14,3% |
| Circulation | 6 | 1,6667 | 0,0% | 16,7% | 16,7% | 0,0% | 0,0% | 50,0% | 16,7% |
| Courant transversaux | 1 | 3 | 0,0% | 0,0% | 0,0% | 0,0% | 0,0% | 100,0% | 0,0% |
| Processus dissipation | 37 | 3,0811 | 0,0% | 2,7% | 0,0% | 2,7% | 5,4% | 67,6% | 21,6% |
| Énergie des vagues | 28 | 2,9643 | 0,0% | 3,6% | 0,0% | 3,6% | 7,1% | 64,3% | 21,4% |
| Hauteur de vagues | 9 | 3,4444 | 0,0% | 0,0% | 0,0% | 0,0% | 0,0% | 77,8% | 22,2% |
| Protection côtière | 119 | 2,7227 | 0,0% | 3,4% | 0,8% | 5,9% | 5,9% | 71,4% | 12,6% |
| Érosion/Accumulation | 50 | 2,7 | 0,0% | 2,0% | 0,0% | 6,0% | 10,0% | 72,0% | 10,0% |
| Accumulation sédimentaire | 19 | 2,8421 | 0,0% | 0,0% | 0,0% | 5,3% | 10,5% | 73,7% | 10,5% |
| Bilan sédimentaire | 2 | 3 | 0,0% | 0,0% | 0,0% | 0,0% | 0,0% | 100,0% | 0,0% |
| Érosion | 25 | 2,52 | 0,0% | 4,0% | 0,0% | 8,0% | 12,0% | 64,0% | 12,0% |
| Largeur de plage | 1 | 3 | 0,0% | 0,0% | 0,0% | 0,0% | 0,0% | 100,0% | 0,0% |
| Rétablissement géomorphologique | 2 | 3 | 0,0% | 0,0% | 0,0% | 0,0% | 0,0% | 100,0% | 0,0% |
| Rétention sédimentaire | 1 | 3 | 0,0% | 0,0% | 0,0% | 0,0% | 0,0% | 100,0% | 0,0% |
| Profil topobathymétrique | 1 | 3 | 0,0% | 0,0% | 0,0% | 0,0% | 0,0% | 100,0% | 0,0% |
| Profil de plage | 1 | 3 | 0,0% | 0,0% | 0,0% | 0,0% | 0,0% | 100,0% | 0,0% |
| Transport sédimentaire | 6 | 2 | 0,0% | 16,7% | 0,0% | 0,0% | 0,0% | 83,3% | 0,0% |
| Transport sédimentaire général | 4 | 3 | 0,0% | 0,0% | 0,0% | 0,0% | 0,0% | 100,0% | 0,0% |
| Transport transversal | 2 | 0 | 0,0% | 50,0% | 0,0% | 0,0% | 0,0% | 50,0% | 0,0% |
| Courant | 7 | 1,8571 | 0,0% | 14,3% | 14,3% | 0,0% | 0,0% | 57,1% | 14,3% |
| Circulation | 6 | 1,6667 | 0,0% | 16,7% | 16,7% | 0,0% | 0,0% | 50,0% | 16,7% |
| Courant transversaux | 1 | 3 | 0,0% | 0,0% | 0,0% | 0,0% | 0,0% | 100,0% | 0,0% |
| Jet de rive | 17 | 2,7647 | 0,0% | 0,0% | 0,0% | 11,8% | 0,0% | 82,4% | 5,9% |
| Backwash/Swash | 3 | 3 | 0,0% | 0,0% | 0,0% | 0,0% | 0,0% | 100,0% | 0,0% |
| Franchissement | 10 | 2,4 | 0,0% | 0,0% | 0,0% | 20,0% | 0,0% | 80,0% | 0,0% |
| Run-up | 4 | 3,5 | 0,0% | 0,0% | 0,0% | 0,0% | 0,0% | 75,0% | 25,0% |
| Processus dissipation | 37 | 3,0811 | 0,0% | 2,7% | 0,0% | 2,7% | 5,4% | 67,6% | 21,6% |
| Énergie des vagues | 28 | 2,9643 | 0,0% | 3,6% | 0,0% | 3,6% | 7,1% | 64,3% | 21,4% |
| Hauteur de vagues | 9 | 3,4444 | 0,0% | 0,0% | 0,0% | 0,0% | 0,0% | 77,8% | 22,2% |
| Sédiments | 1 | 0 | 0,0% | 0,0% | 0,0% | 100,0% | 0,0% | 0,0% | 0,0% |
| Redistribution granulométrique | 1 | 0 | 0,0% | 0,0% | 0,0% | 100,0% | 0,0% | 0,0% | 0,0% |
| Fins récréatives ou de loisirs | 118 | 2,7458 | 0,0% | 3,4% | 0,8% | 5,1% | 5,9% | 72,0% | 12,7% |
| Érosion/Accumulation | 50 | 2,7 | 0,0% | 2,0% | 0,0% | 6,0% | 10,0% | 72,0% | 10,0% |
| Accumulation sédimentaire | 19 | 2,8421 | 0,0% | 0,0% | 0,0% | 5,3% | 10,5% | 73,7% | 10,5% |

Identification d'ouvrages de protection côtière

Date : 2021-03-19

Cellule hydrosédimentaire :

version :

Groupe_0005

page :

98

| | | | | | | | | | | | |
|---|------------------------|---------------------------------|----|--------|------|--------|-------|--------|-------|--------|-------|
| | | Bilan sédimentaire | 2 | 3 | 0,0% | 0,0% | 0,0% | 0,0% | 0,0% | 100,0% | 0,0% |
| | | Érosion | 25 | 2,52 | 0,0% | 4,0% | 0,0% | 8,0% | 12,0% | 64,0% | 12,0% |
| | | Largeur de plage | 1 | 3 | 0,0% | 0,0% | 0,0% | 0,0% | 0,0% | 100,0% | 0,0% |
| | | Rétablissement géomorphologique | 2 | 3 | 0,0% | 0,0% | 0,0% | 0,0% | 0,0% | 100,0% | 0,0% |
| | | Rétention sédimentaire | 1 | 3 | 0,0% | 0,0% | 0,0% | 0,0% | 0,0% | 100,0% | 0,0% |
| | | Profil topobathymétrique | 1 | 3 | 0,0% | 0,0% | 0,0% | 0,0% | 0,0% | 100,0% | 0,0% |
| | | Profil de plage | 1 | 3 | 0,0% | 0,0% | 0,0% | 0,0% | 0,0% | 100,0% | 0,0% |
| | | Transport sédimentaire | 6 | 2 | 0,0% | 16,7% | 0,0% | 0,0% | 0,0% | 83,3% | 0,0% |
| | | Transport sédimentaire général | 4 | 3 | 0,0% | 0,0% | 0,0% | 0,0% | 0,0% | 100,0% | 0,0% |
| | | Transport transversal | 2 | 0 | 0,0% | 50,0% | 0,0% | 0,0% | 0,0% | 50,0% | 0,0% |
| | | Courant | 7 | 1,8571 | 0,0% | 14,3% | 14,3% | 0,0% | 0,0% | 57,1% | 14,3% |
| | | Circulation | 6 | 1,6667 | 0,0% | 16,7% | 16,7% | 0,0% | 0,0% | 50,0% | 16,7% |
| | | Courant transversaux | 1 | 3 | 0,0% | 0,0% | 0,0% | 0,0% | 0,0% | 100,0% | 0,0% |
| | | Jet de rive | 17 | 2,7647 | 0,0% | 0,0% | 0,0% | 11,8% | 0,0% | 82,4% | 5,9% |
| | | Backwash/Swash | 3 | 3 | 0,0% | 0,0% | 0,0% | 0,0% | 0,0% | 100,0% | 0,0% |
| | | Franchissement | 10 | 2,4 | 0,0% | 0,0% | 0,0% | 20,0% | 0,0% | 80,0% | 0,0% |
| | | Run-up | 4 | 3,5 | 0,0% | 0,0% | 0,0% | 0,0% | 0,0% | 75,0% | 25,0% |
| | | Processus dissipation | 37 | 3,0811 | 0,0% | 2,7% | 0,0% | 2,7% | 5,4% | 67,6% | 21,6% |
| | | Énergie des vagues | 28 | 2,9643 | 0,0% | 3,6% | 0,0% | 3,6% | 7,1% | 64,3% | 21,4% |
| | | Hauteur de vagues | 9 | 3,4444 | 0,0% | 0,0% | 0,0% | 0,0% | 0,0% | 77,8% | 22,2% |
| 4 | Recharge de dune | Agr Services écologiques | 4 | 2,25 | 0,0% | 0,0% | 0,0% | 25,0% | 0,0% | 75,0% | 0,0% |
| | | Fins alimentaires | 2 | 3 | 0,0% | 0,0% | 0,0% | 0,0% | 0,0% | 100,0% | 0,0% |
| | | Profil topobathymétrique | 2 | 3 | 0,0% | 0,0% | 0,0% | 0,0% | 0,0% | 100,0% | 0,0% |
| | | Profil de plage | 2 | 3 | 0,0% | 0,0% | 0,0% | 0,0% | 0,0% | 100,0% | 0,0% |
| | | Maintenance du cycle de vie | 2 | 3 | 0,0% | 0,0% | 0,0% | 0,0% | 0,0% | 100,0% | 0,0% |
| | | Profil topobathymétrique | 2 | 3 | 0,0% | 0,0% | 0,0% | 0,0% | 0,0% | 100,0% | 0,0% |
| | | Profil de plage | 2 | 3 | 0,0% | 0,0% | 0,0% | 0,0% | 0,0% | 100,0% | 0,0% |
| | | Protection côtière | 4 | 2,25 | 0,0% | 0,0% | 0,0% | 25,0% | 0,0% | 75,0% | 0,0% |
| | | Érosion/Accumulation | 2 | 1,5 | 0,0% | 0,0% | 0,0% | 50,0% | 0,0% | 50,0% | 0,0% |
| | | Bilan sédimentaire | 1 | 3 | 0,0% | 0,0% | 0,0% | 0,0% | 0,0% | 100,0% | 0,0% |
| | | Érosion | 1 | 0 | 0,0% | 0,0% | 0,0% | 100,0% | 0,0% | 0,0% | 0,0% |
| | | Profil topobathymétrique | 2 | 3 | 0,0% | 0,0% | 0,0% | 0,0% | 0,0% | 100,0% | 0,0% |
| | | Profil de plage | 2 | 3 | 0,0% | 0,0% | 0,0% | 0,0% | 0,0% | 100,0% | 0,0% |
| | | Fins récréatives ou de loisirs | 4 | 2,25 | 0,0% | 0,0% | 0,0% | 25,0% | 0,0% | 75,0% | 0,0% |
| | | Érosion/Accumulation | 2 | 1,5 | 0,0% | 0,0% | 0,0% | 50,0% | 0,0% | 50,0% | 0,0% |
| | | Bilan sédimentaire | 1 | 3 | 0,0% | 0,0% | 0,0% | 0,0% | 0,0% | 100,0% | 0,0% |
| | | Érosion | 1 | 0 | 0,0% | 0,0% | 0,0% | 100,0% | 0,0% | 0,0% | 0,0% |
| | | Profil topobathymétrique | 2 | 3 | 0,0% | 0,0% | 0,0% | 0,0% | 0,0% | 100,0% | 0,0% |
| | | Profil de plage | 2 | 3 | 0,0% | 0,0% | 0,0% | 0,0% | 0,0% | 100,0% | 0,0% |
| 5 | Recharge d'avant-plage | Agr Services écologiques | 21 | 1,9524 | 0,0% | 4,8% | 0,0% | 19,0% | 14,3% | 57,1% | 4,8% |
| | | Fins alimentaires | 6 | 1,1667 | 0,0% | 16,7% | 0,0% | 16,7% | 16,7% | 50,0% | 0,0% |
| | | Profil topobathymétrique | 3 | 1,3333 | 0,0% | 0,0% | 0,0% | 33,3% | 33,3% | 33,3% | 0,0% |
| | | Profil de plage | 2 | 0,5 | 0,0% | 0,0% | 0,0% | 50,0% | 50,0% | 0,0% | 0,0% |
| | | Système de barres | 1 | 3 | 0,0% | 0,0% | 0,0% | 0,0% | 0,0% | 100,0% | 0,0% |
| | | Biocénose | 3 | 1 | 0,0% | 33,3% | 0,0% | 0,0% | 0,0% | 66,7% | 0,0% |
| | | Biocénose qualitative | 1 | -3 | 0,0% | 100,0% | 0,0% | 0,0% | 0,0% | 0,0% | 0,0% |
| | | Biocénose quantitative | 2 | 3 | 0,0% | 0,0% | 0,0% | 0,0% | 0,0% | 100,0% | 0,0% |
| | | Maintenance du cycle de vie | 6 | 1,1667 | 0,0% | 16,7% | 0,0% | 16,7% | 16,7% | 50,0% | 0,0% |
| | | Profil topobathymétrique | 3 | 1,3333 | 0,0% | 0,0% | 0,0% | 33,3% | 33,3% | 33,3% | 0,0% |

Identification d'ouvrages de protection côtière

Date : 2021-03-19

Cellule hydrosédimentaire :

version :

Groupe_0005

page :

99

| | | | | | | | | | |
|------------------------------------|----|--------|------|--------|-------|-------|--------|--------|-------|
| Profil de plage | 2 | 0,5 | 0,0% | 0,0% | 0,0% | 50,0% | 50,0% | 0,0% | 0,0% |
| Système de barres | 1 | 3 | 0,0% | 0,0% | 0,0% | 0,0% | 0,0% | 100,0% | 0,0% |
| Biocénose | 3 | 1 | 0,0% | 33,3% | 0,0% | 0,0% | 0,0% | 66,7% | 0,0% |
| Biocénose qualitative | 1 | -3 | 0,0% | 100,0% | 0,0% | 0,0% | 0,0% | 0,0% | 0,0% |
| Biocénose quantitative | 2 | 3 | 0,0% | 0,0% | 0,0% | 0,0% | 0,0% | 100,0% | 0,0% |
| Purification de l'eau | 1 | 3 | 0,0% | 0,0% | 0,0% | 0,0% | 0,0% | 100,0% | 0,0% |
| Processus dissipation | 1 | 3 | 0,0% | 0,0% | 0,0% | 0,0% | 0,0% | 100,0% | 0,0% |
| Déferlement | 1 | 3 | 0,0% | 0,0% | 0,0% | 0,0% | 0,0% | 100,0% | 0,0% |
| Protection côtière | 17 | 2,1765 | 0,0% | 0,0% | 0,0% | 23,5% | 11,8% | 58,8% | 5,9% |
| Érosion/Accumulation | 12 | 2,25 | 0,0% | 0,0% | 0,0% | 25,0% | 8,3% | 58,3% | 8,3% |
| Accumulation sédimentaire | 5 | 3,4 | 0,0% | 0,0% | 0,0% | 0,0% | 0,0% | 80,0% | 20,0% |
| Bilan sédimentaire | 3 | 1,3333 | 0,0% | 0,0% | 0,0% | 33,3% | 33,3% | 33,3% | 0,0% |
| Déplacement du trait de côte | 3 | 1 | 0,0% | 0,0% | 0,0% | 66,7% | 0,0% | 33,3% | 0,0% |
| Largeur de plage | 1 | 3 | 0,0% | 0,0% | 0,0% | 0,0% | 0,0% | 100,0% | 0,0% |
| Profil topobathymétrique | 3 | 1,3333 | 0,0% | 0,0% | 0,0% | 33,3% | 33,3% | 33,3% | 0,0% |
| Profil de plage | 2 | 0,5 | 0,0% | 0,0% | 0,0% | 50,0% | 50,0% | 0,0% | 0,0% |
| Système de barres | 1 | 3 | 0,0% | 0,0% | 0,0% | 0,0% | 0,0% | 100,0% | 0,0% |
| Transport sédimentaire | 1 | 3 | 0,0% | 0,0% | 0,0% | 0,0% | 0,0% | 100,0% | 0,0% |
| Transport longitudinal | 1 | 3 | 0,0% | 0,0% | 0,0% | 0,0% | 0,0% | 100,0% | 0,0% |
| Processus dissipation | 1 | 3 | 0,0% | 0,0% | 0,0% | 0,0% | 0,0% | 100,0% | 0,0% |
| Déferlement | 1 | 3 | 0,0% | 0,0% | 0,0% | 0,0% | 0,0% | 100,0% | 0,0% |
| Fins récréatives ou de loisirs | 18 | 2,1111 | 0,0% | 0,0% | 0,0% | 22,2% | 16,7% | 55,6% | 5,6% |
| Érosion/Accumulation | 12 | 2,25 | 0,0% | 0,0% | 0,0% | 25,0% | 8,3% | 58,3% | 8,3% |
| Accumulation sédimentaire | 5 | 3,4 | 0,0% | 0,0% | 0,0% | 0,0% | 0,0% | 80,0% | 20,0% |
| Bilan sédimentaire | 3 | 1,3333 | 0,0% | 0,0% | 0,0% | 33,3% | 33,3% | 33,3% | 0,0% |
| Déplacement du trait de côte | 3 | 1 | 0,0% | 0,0% | 0,0% | 66,7% | 0,0% | 33,3% | 0,0% |
| Largeur de plage | 1 | 3 | 0,0% | 0,0% | 0,0% | 0,0% | 0,0% | 100,0% | 0,0% |
| Profil topobathymétrique | 3 | 1,3333 | 0,0% | 0,0% | 0,0% | 33,3% | 33,3% | 33,3% | 0,0% |
| Profil de plage | 2 | 0,5 | 0,0% | 0,0% | 0,0% | 50,0% | 50,0% | 0,0% | 0,0% |
| Système de barres | 1 | 3 | 0,0% | 0,0% | 0,0% | 0,0% | 0,0% | 100,0% | 0,0% |
| Transport sédimentaire | 1 | 3 | 0,0% | 0,0% | 0,0% | 0,0% | 0,0% | 100,0% | 0,0% |
| Transport longitudinal | 1 | 3 | 0,0% | 0,0% | 0,0% | 0,0% | 0,0% | 100,0% | 0,0% |
| Pratique de loisirs | 1 | 1 | 0,0% | 0,0% | 0,0% | 0,0% | 100,0% | 0,0% | 0,0% |
| Loisirs aquatiques côtiers | 1 | 1 | 0,0% | 0,0% | 0,0% | 0,0% | 100,0% | 0,0% | 0,0% |
| Processus dissipation | 1 | 3 | 0,0% | 0,0% | 0,0% | 0,0% | 0,0% | 100,0% | 0,0% |
| Déferlement | 1 | 3 | 0,0% | 0,0% | 0,0% | 0,0% | 0,0% | 100,0% | 0,0% |
| Agr Services écologiques | 18 | 1,7222 | 5,6% | 11,1% | 5,6% | 5,6% | 0,0% | 61,1% | 11,1% |
| Fins alimentaires | 5 | 2,2 | 0,0% | 0,0% | 20,0% | 0,0% | 0,0% | 80,0% | 0,0% |
| Profil topobathymétrique | 3 | 1,6667 | 0,0% | 0,0% | 33,3% | 0,0% | 0,0% | 66,7% | 0,0% |
| Système de barres | 2 | 1 | 0,0% | 0,0% | 50,0% | 0,0% | 0,0% | 50,0% | 0,0% |
| Variation bathymétrique généralisé | 1 | 3 | 0,0% | 0,0% | 0,0% | 0,0% | 0,0% | 100,0% | 0,0% |
| Processus dissipation | 2 | 3 | 0,0% | 0,0% | 0,0% | 0,0% | 0,0% | 100,0% | 0,0% |
| Énergie des vagues | 1 | 3 | 0,0% | 0,0% | 0,0% | 0,0% | 0,0% | 100,0% | 0,0% |
| Réfraction | 1 | 3 | 0,0% | 0,0% | 0,0% | 0,0% | 0,0% | 100,0% | 0,0% |
| Maintenance du cycle de vie | 5 | 2,2 | 0,0% | 0,0% | 20,0% | 0,0% | 0,0% | 80,0% | 0,0% |
| Profil topobathymétrique | 3 | 1,6667 | 0,0% | 0,0% | 33,3% | 0,0% | 0,0% | 66,7% | 0,0% |
| Système de barres | 2 | 1 | 0,0% | 0,0% | 50,0% | 0,0% | 0,0% | 50,0% | 0,0% |
| Variation bathymétrique généralisé | 1 | 3 | 0,0% | 0,0% | 0,0% | 0,0% | 0,0% | 100,0% | 0,0% |
| Processus dissipation | 2 | 3 | 0,0% | 0,0% | 0,0% | 0,0% | 0,0% | 100,0% | 0,0% |

6

Épi perméable

Identification d'ouvrages de protection côtière

Date : 2021-03-19

Cellule hydrosédimentaire :

version :

Groupe_0005

page : 100

| | | | | | | | | | |
|---|----|--------|-------|-------|-------|-------|-------|--------|--------|
| Énergie des vagues | 1 | 3 | 0,0% | 0,0% | 0,0% | 0,0% | 0,0% | 100,0% | 0,0% |
| Réfraction | 1 | 3 | 0,0% | 0,0% | 0,0% | 0,0% | 0,0% | 100,0% | 0,0% |
| Purification de l'eau | 6 | 0,6667 | 16,7% | 16,7% | 0,0% | 0,0% | 0,0% | 66,7% | 0,0% |
| Courant | 3 | -1,667 | 33,3% | 33,3% | 0,0% | 0,0% | 0,0% | 33,3% | 0,0% |
| Courant d'arrachement | 2 | -4 | 50,0% | 50,0% | 0,0% | 0,0% | 0,0% | 0,0% | 0,0% |
| Dérive littorale | 1 | 3 | 0,0% | 0,0% | 0,0% | 0,0% | 0,0% | 100,0% | 0,0% |
| Processus dissipation | 3 | 3 | 0,0% | 0,0% | 0,0% | 0,0% | 0,0% | 100,0% | 0,0% |
| Déferlement | 1 | 3 | 0,0% | 0,0% | 0,0% | 0,0% | 0,0% | 100,0% | 0,0% |
| Énergie des vagues | 1 | 3 | 0,0% | 0,0% | 0,0% | 0,0% | 0,0% | 100,0% | 0,0% |
| Réfraction | 1 | 3 | 0,0% | 0,0% | 0,0% | 0,0% | 0,0% | 100,0% | 0,0% |
| Protection côtière | 17 | 1,5294 | 5,9% | 11,8% | 5,9% | 5,9% | 0,0% | 64,7% | 5,9% |
| Érosion/Accumulation | 7 | 2 | 0,0% | 14,3% | 0,0% | 14,3% | 0,0% | 57,1% | 14,3% |
| Bilan sédimentaire | 1 | 3 | 0,0% | 0,0% | 0,0% | 0,0% | 0,0% | 100,0% | 0,0% |
| Érosion | 2 | -1,5 | 0,0% | 50,0% | 0,0% | 50,0% | 0,0% | 0,0% | 0,0% |
| Largeur de plage | 1 | 5 | 0,0% | 0,0% | 0,0% | 0,0% | 0,0% | 0,0% | 100,0% |
| Rétention sédimentaire | 3 | 3 | 0,0% | 0,0% | 0,0% | 0,0% | 0,0% | 100,0% | 0,0% |
| Profil topobathymétrique | 3 | 1,6667 | 0,0% | 0,0% | 33,3% | 0,0% | 0,0% | 66,7% | 0,0% |
| Système de barres | 2 | 1 | 0,0% | 0,0% | 50,0% | 0,0% | 0,0% | 50,0% | 0,0% |
| Variation bathymétrique généralisé | 1 | 3 | 0,0% | 0,0% | 0,0% | 0,0% | 0,0% | 100,0% | 0,0% |
| Transport sédimentaire | 1 | 3 | 0,0% | 0,0% | 0,0% | 0,0% | 0,0% | 100,0% | 0,0% |
| Transport longitudinal | 1 | 3 | 0,0% | 0,0% | 0,0% | 0,0% | 0,0% | 100,0% | 0,0% |
| Courant | 3 | -1,667 | 33,3% | 33,3% | 0,0% | 0,0% | 0,0% | 33,3% | 0,0% |
| Courant d'arrachement | 2 | -4 | 50,0% | 50,0% | 0,0% | 0,0% | 0,0% | 0,0% | 0,0% |
| Dérive littorale | 1 | 3 | 0,0% | 0,0% | 0,0% | 0,0% | 0,0% | 100,0% | 0,0% |
| Processus dissipation | 3 | 3 | 0,0% | 0,0% | 0,0% | 0,0% | 0,0% | 100,0% | 0,0% |
| Déferlement | 1 | 3 | 0,0% | 0,0% | 0,0% | 0,0% | 0,0% | 100,0% | 0,0% |
| Énergie des vagues | 1 | 3 | 0,0% | 0,0% | 0,0% | 0,0% | 0,0% | 100,0% | 0,0% |
| Réfraction | 1 | 3 | 0,0% | 0,0% | 0,0% | 0,0% | 0,0% | 100,0% | 0,0% |
| Fins récréatives ou de loisirs | 18 | 1,7222 | 5,6% | 11,1% | 5,6% | 5,6% | 0,0% | 61,1% | 11,1% |
| Érosion/Accumulation | 7 | 2 | 0,0% | 14,3% | 0,0% | 14,3% | 0,0% | 57,1% | 14,3% |
| Bilan sédimentaire | 1 | 3 | 0,0% | 0,0% | 0,0% | 0,0% | 0,0% | 100,0% | 0,0% |
| Érosion | 2 | -1,5 | 0,0% | 50,0% | 0,0% | 50,0% | 0,0% | 0,0% | 0,0% |
| Largeur de plage | 1 | 5 | 0,0% | 0,0% | 0,0% | 0,0% | 0,0% | 0,0% | 100,0% |
| Rétention sédimentaire | 3 | 3 | 0,0% | 0,0% | 0,0% | 0,0% | 0,0% | 100,0% | 0,0% |
| Profil topobathymétrique | 3 | 1,6667 | 0,0% | 0,0% | 33,3% | 0,0% | 0,0% | 66,7% | 0,0% |
| Système de barres | 2 | 1 | 0,0% | 0,0% | 50,0% | 0,0% | 0,0% | 50,0% | 0,0% |
| Variation bathymétrique généralisé | 1 | 3 | 0,0% | 0,0% | 0,0% | 0,0% | 0,0% | 100,0% | 0,0% |
| Transport sédimentaire | 1 | 3 | 0,0% | 0,0% | 0,0% | 0,0% | 0,0% | 100,0% | 0,0% |
| Transport longitudinal | 1 | 3 | 0,0% | 0,0% | 0,0% | 0,0% | 0,0% | 100,0% | 0,0% |
| Courant | 3 | -1,667 | 33,3% | 33,3% | 0,0% | 0,0% | 0,0% | 33,3% | 0,0% |
| Courant d'arrachement | 2 | -4 | 50,0% | 50,0% | 0,0% | 0,0% | 0,0% | 0,0% | 0,0% |
| Dérive littorale | 1 | 3 | 0,0% | 0,0% | 0,0% | 0,0% | 0,0% | 100,0% | 0,0% |
| Pratique de loisirs | 1 | 5 | 0,0% | 0,0% | 0,0% | 0,0% | 0,0% | 0,0% | 100,0% |
| Loisirs terrestres | 1 | 5 | 0,0% | 0,0% | 0,0% | 0,0% | 0,0% | 0,0% | 100,0% |
| Processus dissipation | 3 | 3 | 0,0% | 0,0% | 0,0% | 0,0% | 0,0% | 100,0% | 0,0% |
| Déferlement | 1 | 3 | 0,0% | 0,0% | 0,0% | 0,0% | 0,0% | 100,0% | 0,0% |
| Énergie des vagues | 1 | 3 | 0,0% | 0,0% | 0,0% | 0,0% | 0,0% | 100,0% | 0,0% |
| Réfraction | 1 | 3 | 0,0% | 0,0% | 0,0% | 0,0% | 0,0% | 100,0% | 0,0% |
| Système horizontal de drainage Agr Services écologiques | 18 | 1,4444 | 0,0% | 11,1% | 0,0% | 22,2% | 22,2% | 33,3% | 11,1% |

Identification d'ouvrages de protection cotiere

Date : 2021-03-19

Cellule hydrosédimentaire :

version :

Groupe_0005

page :

101

| | | | | | | | | | | | | |
|---|--------------------------------|-----|----------------------|-------|--------|------|--------|-------|--------|--------|-------|------|
| | Fins alimentaires | 2 | -1,5 | 0,0% | 50,0% | 0,0% | 50,0% | 0,0% | 0,0% | 0,0% | | |
| | Profil topobathymétrique | 2 | -1,5 | 0,0% | 50,0% | 0,0% | 50,0% | 0,0% | 0,0% | 0,0% | | |
| | Profil de plage | 2 | -1,5 | 0,0% | 50,0% | 0,0% | 50,0% | 0,0% | 0,0% | 0,0% | | |
| | Maintenance du cycle de vie | 2 | -1,5 | 0,0% | 50,0% | 0,0% | 50,0% | 0,0% | 0,0% | 0,0% | | |
| | Profil topobathymétrique | 2 | -1,5 | 0,0% | 50,0% | 0,0% | 50,0% | 0,0% | 0,0% | 0,0% | | |
| | Profil de plage | 2 | -1,5 | 0,0% | 50,0% | 0,0% | 50,0% | 0,0% | 0,0% | 0,0% | | |
| | Protection côtière | 17 | 1,7059 | 0,0% | 5,9% | 0,0% | 23,5% | 23,5% | 35,3% | 11,8% | | |
| | Érosion/Accumulation | 10 | 1,9 | 0,0% | 0,0% | 0,0% | 30,0% | 30,0% | 20,0% | 20,0% | | |
| | Accumulation sédimentaire | 4 | 1,25 | 0,0% | 0,0% | 0,0% | 75,0% | 0,0% | 0,0% | 25,0% | | |
| | Bilan sédimentaire | 5 | 1,8 | 0,0% | 0,0% | 0,0% | 0,0% | 60,0% | 40,0% | 0,0% | | |
| | Déplacement du trait de côte | 1 | 5 | 0,0% | 0,0% | 0,0% | 0,0% | 0,0% | 0,0% | 100,0% | | |
| | Profil topobathymétrique | 2 | -1,5 | 0,0% | 50,0% | 0,0% | 50,0% | 0,0% | 0,0% | 0,0% | | |
| | Profil de plage | 2 | -1,5 | 0,0% | 50,0% | 0,0% | 50,0% | 0,0% | 0,0% | 0,0% | | |
| | Transport sédimentaire | 2 | 3 | 0,0% | 0,0% | 0,0% | 0,0% | 0,0% | 100,0% | 0,0% | | |
| | Transport transversal | 2 | 3 | 0,0% | 0,0% | 0,0% | 0,0% | 0,0% | 100,0% | 0,0% | | |
| | Jet de rive | 3 | 2,3333 | 0,0% | 0,0% | 0,0% | 0,0% | 33,3% | 66,7% | 0,0% | | |
| | Backwash/Swash | 3 | 2,3333 | 0,0% | 0,0% | 0,0% | 0,0% | 33,3% | 66,7% | 0,0% | | |
| | Fins récréatives ou de loisirs | 18 | 1,4444 | 0,0% | 11,1% | 0,0% | 22,2% | 22,2% | 33,3% | 11,1% | | |
| | Érosion/Accumulation | 10 | 1,9 | 0,0% | 0,0% | 0,0% | 30,0% | 30,0% | 20,0% | 20,0% | | |
| | Accumulation sédimentaire | 4 | 1,25 | 0,0% | 0,0% | 0,0% | 75,0% | 0,0% | 0,0% | 25,0% | | |
| | Bilan sédimentaire | 5 | 1,8 | 0,0% | 0,0% | 0,0% | 0,0% | 60,0% | 40,0% | 0,0% | | |
| | Déplacement du trait de côte | 1 | 5 | 0,0% | 0,0% | 0,0% | 0,0% | 0,0% | 0,0% | 100,0% | | |
| | Profil topobathymétrique | 2 | -1,5 | 0,0% | 50,0% | 0,0% | 50,0% | 0,0% | 0,0% | 0,0% | | |
| | Profil de plage | 2 | -1,5 | 0,0% | 50,0% | 0,0% | 50,0% | 0,0% | 0,0% | 0,0% | | |
| | Transport sédimentaire | 2 | 3 | 0,0% | 0,0% | 0,0% | 0,0% | 0,0% | 100,0% | 0,0% | | |
| | Transport transversal | 2 | 3 | 0,0% | 0,0% | 0,0% | 0,0% | 0,0% | 100,0% | 0,0% | | |
| | Jet de rive | 3 | 2,3333 | 0,0% | 0,0% | 0,0% | 0,0% | 33,3% | 66,7% | 0,0% | | |
| | Backwash/Swash | 3 | 2,3333 | 0,0% | 0,0% | 0,0% | 0,0% | 33,3% | 66,7% | 0,0% | | |
| | Pratique de loisirs | 1 | -3 | 0,0% | 100,0% | 0,0% | 0,0% | 0,0% | 0,0% | 0,0% | | |
| | Loisirs terrestres | 1 | -3 | 0,0% | 100,0% | 0,0% | 0,0% | 0,0% | 0,0% | 0,0% | | |
| 8 | Système vertical de drainage | Agr | Services écologiques | 7 | 1,4286 | 0,0% | 0,0% | 0,0% | 42,9% | 14,3% | 42,9% | 0,0% |
| | Fins alimentaires | 2 | 0 | 0,0% | 0,0% | 0,0% | 100,0% | 0,0% | 0,0% | 0,0% | | |
| | Biocénose | 2 | 0 | 0,0% | 0,0% | 0,0% | 100,0% | 0,0% | 0,0% | 0,0% | | |
| | Biocénose qualitative | 2 | 0 | 0,0% | 0,0% | 0,0% | 100,0% | 0,0% | 0,0% | 0,0% | | |
| | Maintenance du cycle de vie | 2 | 0 | 0,0% | 0,0% | 0,0% | 100,0% | 0,0% | 0,0% | 0,0% | | |
| | Biocénose | 2 | 0 | 0,0% | 0,0% | 0,0% | 100,0% | 0,0% | 0,0% | 0,0% | | |
| | Biocénose qualitative | 2 | 0 | 0,0% | 0,0% | 0,0% | 100,0% | 0,0% | 0,0% | 0,0% | | |
| | Protection côtière | 5 | 2 | 0,0% | 0,0% | 0,0% | 20,0% | 20,0% | 60,0% | 0,0% | | |
| | Érosion/Accumulation | 5 | 2 | 0,0% | 0,0% | 0,0% | 20,0% | 20,0% | 60,0% | 0,0% | | |
| | Bilan sédimentaire | 3 | 2,3333 | 0,0% | 0,0% | 0,0% | 0,0% | 33,3% | 66,7% | 0,0% | | |
| | Déplacement du trait de côte | 1 | 3 | 0,0% | 0,0% | 0,0% | 0,0% | 0,0% | 100,0% | 0,0% | | |
| | Érosion | 1 | 0 | 0,0% | 0,0% | 0,0% | 100,0% | 0,0% | 0,0% | 0,0% | | |
| | Fins récréatives ou de loisirs | 5 | 2 | 0,0% | 0,0% | 0,0% | 20,0% | 20,0% | 60,0% | 0,0% | | |
| | Érosion/Accumulation | 5 | 2 | 0,0% | 0,0% | 0,0% | 20,0% | 20,0% | 60,0% | 0,0% | | |
| | Bilan sédimentaire | 3 | 2,3333 | 0,0% | 0,0% | 0,0% | 0,0% | 33,3% | 66,7% | 0,0% | | |
| | Déplacement du trait de côte | 1 | 3 | 0,0% | 0,0% | 0,0% | 0,0% | 0,0% | 100,0% | 0,0% | | |
| | Érosion | 1 | 0 | 0,0% | 0,0% | 0,0% | 100,0% | 0,0% | 0,0% | 0,0% | | |
| 9 | Recharge de plage | Agr | Services écologiques | 154 | 0,6299 | 5,8% | 18,2% | 4,5% | 22,7% | 7,1% | 31,8% | 9,7% |
| | Fins alimentaires | 77 | -0,896 | 10,4% | 32,5% | 9,1% | 23,4% | 5,2% | 16,9% | 2,6% | | |

Identification d'ouvrages de protection côtière

Date : 2021-03-19

Cellule hydrosédimentaire :

version :

Groupe_0005

page :

102

| | | | | | | | | | |
|------------------------------------|-----|--------|-------|--------|-------|-------|-------|--------|-------|
| Profil topobathymétrique | 29 | 0,7241 | 3,4% | 13,8% | 3,4% | 27,6% | 13,8% | 34,5% | 3,4% |
| Profil de plage | 9 | -0,111 | 0,0% | 33,3% | 11,1% | 22,2% | 0,0% | 33,3% | 0,0% |
| Système de barres | 18 | 0,9444 | 5,6% | 5,6% | 0,0% | 27,8% | 22,2% | 38,9% | 0,0% |
| Variation bathymétrique généralisé | 2 | 2,5 | 0,0% | 0,0% | 0,0% | 50,0% | 0,0% | 0,0% | 50,0% |
| Sédiments | 12 | -2,25 | 0,0% | 66,7% | 25,0% | 8,3% | 0,0% | 0,0% | 0,0% |
| Redistribution granulométrique | 2 | -3 | 0,0% | 100,0% | 0,0% | 0,0% | 0,0% | 0,0% | 0,0% |
| Taille granulométrique | 10 | -2,1 | 0,0% | 60,0% | 30,0% | 10,0% | 0,0% | 0,0% | 0,0% |
| Processus dissipation | 7 | 0 | 0,0% | 14,3% | 0,0% | 71,4% | 0,0% | 14,3% | 0,0% |
| Énergie des vagues | 3 | -1 | 0,0% | 33,3% | 0,0% | 66,7% | 0,0% | 0,0% | 0,0% |
| Hauteur de vagues | 4 | 0,75 | 0,0% | 0,0% | 0,0% | 75,0% | 0,0% | 25,0% | 0,0% |
| Biocénose | 27 | -2,037 | 22,2% | 40,7% | 11,1% | 14,8% | 0,0% | 7,4% | 3,7% |
| Biocénose qualitative | 11 | -1,364 | 0,0% | 45,5% | 27,3% | 18,2% | 0,0% | 9,1% | 0,0% |
| Biocénose quantitative | 16 | -2,5 | 37,5% | 37,5% | 0,0% | 12,5% | 0,0% | 6,3% | 6,3% |
| Biotope | 2 | -4 | 50,0% | 50,0% | 0,0% | 0,0% | 0,0% | 0,0% | 0,0% |
| Modification physico-chimique | 2 | -4 | 50,0% | 50,0% | 0,0% | 0,0% | 0,0% | 0,0% | 0,0% |
| Maintenance du cycle de vie | 77 | -0,896 | 10,4% | 32,5% | 9,1% | 23,4% | 5,2% | 16,9% | 2,6% |
| Profil topobathymétrique | 29 | 0,7241 | 3,4% | 13,8% | 3,4% | 27,6% | 13,8% | 34,5% | 3,4% |
| Profil de plage | 9 | -0,111 | 0,0% | 33,3% | 11,1% | 22,2% | 0,0% | 33,3% | 0,0% |
| Système de barres | 18 | 0,9444 | 5,6% | 5,6% | 0,0% | 27,8% | 22,2% | 38,9% | 0,0% |
| Variation bathymétrique généralisé | 2 | 2,5 | 0,0% | 0,0% | 0,0% | 50,0% | 0,0% | 0,0% | 50,0% |
| Sédiments | 12 | -2,25 | 0,0% | 66,7% | 25,0% | 8,3% | 0,0% | 0,0% | 0,0% |
| Redistribution granulométrique | 2 | -3 | 0,0% | 100,0% | 0,0% | 0,0% | 0,0% | 0,0% | 0,0% |
| Taille granulométrique | 10 | -2,1 | 0,0% | 60,0% | 30,0% | 10,0% | 0,0% | 0,0% | 0,0% |
| Processus dissipation | 7 | 0 | 0,0% | 14,3% | 0,0% | 71,4% | 0,0% | 14,3% | 0,0% |
| Énergie des vagues | 3 | -1 | 0,0% | 33,3% | 0,0% | 66,7% | 0,0% | 0,0% | 0,0% |
| Hauteur de vagues | 4 | 0,75 | 0,0% | 0,0% | 0,0% | 75,0% | 0,0% | 25,0% | 0,0% |
| Biocénose | 27 | -2,037 | 22,2% | 40,7% | 11,1% | 14,8% | 0,0% | 7,4% | 3,7% |
| Biocénose qualitative | 11 | -1,364 | 0,0% | 45,5% | 27,3% | 18,2% | 0,0% | 9,1% | 0,0% |
| Biocénose quantitative | 16 | -2,5 | 37,5% | 37,5% | 0,0% | 12,5% | 0,0% | 6,3% | 6,3% |
| Biotope | 2 | -4 | 50,0% | 50,0% | 0,0% | 0,0% | 0,0% | 0,0% | 0,0% |
| Modification physico-chimique | 2 | -4 | 50,0% | 50,0% | 0,0% | 0,0% | 0,0% | 0,0% | 0,0% |
| Purification de l'eau | 8 | -0,375 | 0,0% | 25,0% | 0,0% | 62,5% | 0,0% | 12,5% | 0,0% |
| Courant | 1 | -3 | 0,0% | 100,0% | 0,0% | 0,0% | 0,0% | 0,0% | 0,0% |
| Courant transversaux | 1 | -3 | 0,0% | 100,0% | 0,0% | 0,0% | 0,0% | 0,0% | 0,0% |
| Processus dissipation | 7 | 0 | 0,0% | 14,3% | 0,0% | 71,4% | 0,0% | 14,3% | 0,0% |
| Énergie des vagues | 3 | -1 | 0,0% | 33,3% | 0,0% | 66,7% | 0,0% | 0,0% | 0,0% |
| Hauteur de vagues | 4 | 0,75 | 0,0% | 0,0% | 0,0% | 75,0% | 0,0% | 25,0% | 0,0% |
| Protection côtière | 120 | 1,375 | 0,8% | 12,5% | 3,3% | 24,2% | 9,2% | 38,3% | 11,7% |
| Érosion/Accumulation | 64 | 2,5313 | 0,0% | 0,0% | 0,0% | 21,9% | 10,9% | 46,9% | 20,3% |
| Accumulation sédimentaire | 9 | 3,6667 | 0,0% | 0,0% | 0,0% | 0,0% | 0,0% | 66,7% | 33,3% |
| Bilan sédimentaire | 24 | 3,0833 | 0,0% | 0,0% | 0,0% | 8,3% | 16,7% | 41,7% | 33,3% |
| Déplacement du trait de côte | 17 | 1,5882 | 0,0% | 0,0% | 0,0% | 35,3% | 17,6% | 47,1% | 0,0% |
| Érosion | 6 | 0,8333 | 0,0% | 0,0% | 0,0% | 83,3% | 0,0% | 0,0% | 16,7% |
| Largeur de plage | 7 | 2,8571 | 0,0% | 0,0% | 0,0% | 14,3% | 0,0% | 71,4% | 14,3% |
| Rétablissement géomorphologique | 1 | 3 | 0,0% | 0,0% | 0,0% | 0,0% | 0,0% | 100,0% | 0,0% |
| Profil topobathymétrique | 29 | 0,7241 | 3,4% | 13,8% | 3,4% | 27,6% | 13,8% | 34,5% | 3,4% |
| Profil de plage | 9 | -0,111 | 0,0% | 33,3% | 11,1% | 22,2% | 0,0% | 33,3% | 0,0% |
| Système de barres | 18 | 0,9444 | 5,6% | 5,6% | 0,0% | 27,8% | 22,2% | 38,9% | 0,0% |
| Variation bathymétrique généralisé | 2 | 2,5 | 0,0% | 0,0% | 0,0% | 50,0% | 0,0% | 0,0% | 50,0% |

Identification d'ouvrages de protection côtière

Date : 2021-03-19

Cellule hydrosédimentaire :

version :

Groupe_0005

page : 103

| | | | | | | | | | |
|--|------------|---------------|-------------|--------------|-------------|--------------|-------------|--------------|--------------|
| Transport sédimentaire | 6 | 2,5 | 0,0% | 0,0% | 0,0% | 16,7% | 0,0% | 83,3% | 0,0% |
| Transport longitudinal | 2 | 3 | 0,0% | 0,0% | 0,0% | 0,0% | 0,0% | 100,0% | 0,0% |
| Transport sédimentaire général | 2 | 3 | 0,0% | 0,0% | 0,0% | 0,0% | 0,0% | 100,0% | 0,0% |
| Transport transversal | 2 | 1,5 | 0,0% | 0,0% | 0,0% | 50,0% | 0,0% | 50,0% | 0,0% |
| Courant | 1 | -3 | 0,0% | 100,0% | 0,0% | 0,0% | 0,0% | 0,0% | 0,0% |
| Courant transversaux | 1 | -3 | 0,0% | 100,0% | 0,0% | 0,0% | 0,0% | 0,0% | 0,0% |
| Jet de rive | 1 | -3 | 0,0% | 100,0% | 0,0% | 0,0% | 0,0% | 0,0% | 0,0% |
| Run-up | 1 | -3 | 0,0% | 100,0% | 0,0% | 0,0% | 0,0% | 0,0% | 0,0% |
| Processus dissipation | 7 | 0 | 0,0% | 14,3% | 0,0% | 71,4% | 0,0% | 14,3% | 0,0% |
| Énergie des vagues | 3 | -1 | 0,0% | 33,3% | 0,0% | 66,7% | 0,0% | 0,0% | 0,0% |
| Hauteur de vagues | 4 | 0,75 | 0,0% | 0,0% | 0,0% | 75,0% | 0,0% | 25,0% | 0,0% |
| Sédiments | 12 | -2,25 | 0,0% | 66,7% | 25,0% | 8,3% | 0,0% | 0,0% | 0,0% |
| Redistribution granulométrique | 2 | -3 | 0,0% | 100,0% | 0,0% | 0,0% | 0,0% | 0,0% | 0,0% |
| Taille granulométrique | 10 | -2,1 | 0,0% | 60,0% | 30,0% | 10,0% | 0,0% | 0,0% | 0,0% |
| Fins récréatives ou de loisirs | 113 | 1,6549 | 1,8% | 7,1% | 0,9% | 26,5% | 9,7% | 41,6% | 12,4% |
| Érosion/Accumulation | 64 | 2,5313 | 0,0% | 0,0% | 0,0% | 21,9% | 10,9% | 46,9% | 20,3% |
| Accumulation sédimentaire | 9 | 3,6667 | 0,0% | 0,0% | 0,0% | 0,0% | 0,0% | 66,7% | 33,3% |
| Bilan sédimentaire | 24 | 3,0833 | 0,0% | 0,0% | 0,0% | 8,3% | 16,7% | 41,7% | 33,3% |
| Déplacement du trait de côte | 17 | 1,5882 | 0,0% | 0,0% | 0,0% | 35,3% | 17,6% | 47,1% | 0,0% |
| Érosion | 6 | 0,8333 | 0,0% | 0,0% | 0,0% | 83,3% | 0,0% | 0,0% | 16,7% |
| Largeur de plage | 7 | 2,8571 | 0,0% | 0,0% | 0,0% | 14,3% | 0,0% | 71,4% | 14,3% |
| Rétablissement géomorphologique | 1 | 3 | 0,0% | 0,0% | 0,0% | 0,0% | 0,0% | 100,0% | 0,0% |
| Profil topobathymétrique | 29 | 0,7241 | 3,4% | 13,8% | 3,4% | 27,6% | 13,8% | 34,5% | 3,4% |
| Profil de plage | 9 | -0,111 | 0,0% | 33,3% | 11,1% | 22,2% | 0,0% | 33,3% | 0,0% |
| Système de barres | 18 | 0,9444 | 5,6% | 5,6% | 0,0% | 27,8% | 22,2% | 38,9% | 0,0% |
| Variation bathymétrique généralisé | 2 | 2,5 | 0,0% | 0,0% | 0,0% | 50,0% | 0,0% | 0,0% | 50,0% |
| Transport sédimentaire | 6 | 2,5 | 0,0% | 0,0% | 0,0% | 16,7% | 0,0% | 83,3% | 0,0% |
| Transport longitudinal | 2 | 3 | 0,0% | 0,0% | 0,0% | 0,0% | 0,0% | 100,0% | 0,0% |
| Transport sédimentaire général | 2 | 3 | 0,0% | 0,0% | 0,0% | 0,0% | 0,0% | 100,0% | 0,0% |
| Transport transversal | 2 | 1,5 | 0,0% | 0,0% | 0,0% | 50,0% | 0,0% | 50,0% | 0,0% |
| Courant | 1 | -3 | 0,0% | 100,0% | 0,0% | 0,0% | 0,0% | 0,0% | 0,0% |
| Courant transversaux | 1 | -3 | 0,0% | 100,0% | 0,0% | 0,0% | 0,0% | 0,0% | 0,0% |
| Jet de rive | 1 | -3 | 0,0% | 100,0% | 0,0% | 0,0% | 0,0% | 0,0% | 0,0% |
| Run-up | 1 | -3 | 0,0% | 100,0% | 0,0% | 0,0% | 0,0% | 0,0% | 0,0% |
| Pratique de loisirs | 5 | -1 | 20,0% | 20,0% | 0,0% | 40,0% | 0,0% | 20,0% | 0,0% |
| Loisirs aquatiques côtiers | 3 | -1 | 0,0% | 33,3% | 0,0% | 66,7% | 0,0% | 0,0% | 0,0% |
| Loisirs terrestres | 2 | -1 | 50,0% | 0,0% | 0,0% | 0,0% | 0,0% | 50,0% | 0,0% |
| Processus dissipation | 7 | 0 | 0,0% | 14,3% | 0,0% | 71,4% | 0,0% | 14,3% | 0,0% |
| Énergie des vagues | 3 | -1 | 0,0% | 33,3% | 0,0% | 66,7% | 0,0% | 0,0% | 0,0% |
| Hauteur de vagues | 4 | 0,75 | 0,0% | 0,0% | 0,0% | 75,0% | 0,0% | 25,0% | 0,0% |
| 10 Épi imperméable Agr Services écologiques | 30 | 0,2667 | 0,0% | 36,7% | 6,7% | 13,3% | 6,7% | 23,3% | 13,3% |
| Fins alimentaires | 5 | 0,2 | 0,0% | 20,0% | 20,0% | 40,0% | 0,0% | 0,0% | 20,0% |
| Profil topobathymétrique | 1 | 0 | 0,0% | 0,0% | 0,0% | 100,0% | 0,0% | 0,0% | 0,0% |
| Profil de plage | 1 | 0 | 0,0% | 0,0% | 0,0% | 100,0% | 0,0% | 0,0% | 0,0% |
| Processus dissipation | 1 | 0 | 0,0% | 0,0% | 0,0% | 100,0% | 0,0% | 0,0% | 0,0% |
| Énergie des vagues | 1 | 0 | 0,0% | 0,0% | 0,0% | 100,0% | 0,0% | 0,0% | 0,0% |
| Biocénose | 2 | -2 | 0,0% | 50,0% | 50,0% | 0,0% | 0,0% | 0,0% | 0,0% |
| Biocénose qualitative | 1 | -3 | 0,0% | 100,0% | 0,0% | 0,0% | 0,0% | 0,0% | 0,0% |
| Biocénose quantitative | 1 | -1 | 0,0% | 0,0% | 100,0% | 0,0% | 0,0% | 0,0% | 0,0% |

Identification d'ouvrages de protection côtière

Date : 2021-03-19

Cellule hydrosédimentaire :

version :

Groupe_0005

page : 104

| | | | | | | | | | |
|---------------------------------|----|--------|------|--------|--------|--------|--------|-------|--------|
| Biotope | 1 | 5 | 0,0% | 0,0% | 0,0% | 0,0% | 0,0% | 0,0% | 100,0% |
| Modification structurelle | 1 | 5 | 0,0% | 0,0% | 0,0% | 0,0% | 0,0% | 0,0% | 100,0% |
| Maintenance du cycle de vie | 5 | 0,2 | 0,0% | 20,0% | 20,0% | 40,0% | 0,0% | 0,0% | 20,0% |
| Profil topobathymétrique | 1 | 0 | 0,0% | 0,0% | 0,0% | 100,0% | 0,0% | 0,0% | 0,0% |
| Profil de plage | 1 | 0 | 0,0% | 0,0% | 0,0% | 100,0% | 0,0% | 0,0% | 0,0% |
| Processus dissipation | 1 | 0 | 0,0% | 0,0% | 0,0% | 100,0% | 0,0% | 0,0% | 0,0% |
| Énergie des vagues | 1 | 0 | 0,0% | 0,0% | 0,0% | 100,0% | 0,0% | 0,0% | 0,0% |
| Biocénose | 2 | -2 | 0,0% | 50,0% | 50,0% | 0,0% | 0,0% | 0,0% | 0,0% |
| Biocénose qualitative | 1 | -3 | 0,0% | 100,0% | 0,0% | 0,0% | 0,0% | 0,0% | 0,0% |
| Biocénose quantitative | 1 | -1 | 0,0% | 0,0% | 100,0% | 0,0% | 0,0% | 0,0% | 0,0% |
| Biotope | 1 | 5 | 0,0% | 0,0% | 0,0% | 0,0% | 0,0% | 0,0% | 100,0% |
| Modification structurelle | 1 | 5 | 0,0% | 0,0% | 0,0% | 0,0% | 0,0% | 0,0% | 100,0% |
| Purification de l'eau | 2 | -1,5 | 0,0% | 50,0% | 0,0% | 50,0% | 0,0% | 0,0% | 0,0% |
| Courant | 1 | -3 | 0,0% | 100,0% | 0,0% | 0,0% | 0,0% | 0,0% | 0,0% |
| Circulation | 1 | -3 | 0,0% | 100,0% | 0,0% | 0,0% | 0,0% | 0,0% | 0,0% |
| Processus dissipation | 1 | 0 | 0,0% | 0,0% | 0,0% | 100,0% | 0,0% | 0,0% | 0,0% |
| Énergie des vagues | 1 | 0 | 0,0% | 0,0% | 0,0% | 100,0% | 0,0% | 0,0% | 0,0% |
| Protection côtière | 27 | 0,2593 | 0,0% | 37,0% | 3,7% | 14,8% | 7,4% | 25,9% | 11,1% |
| Érosion/Accumulation | 19 | 0,6842 | 0,0% | 31,6% | 5,3% | 10,5% | 10,5% | 26,3% | 15,8% |
| Accumulation sédimentaire | 2 | 4 | 0,0% | 0,0% | 0,0% | 0,0% | 0,0% | 50,0% | 50,0% |
| Bilan sédimentaire | 1 | 0 | 0,0% | 0,0% | 0,0% | 100,0% | 0,0% | 0,0% | 0,0% |
| Déplacement du trait de côte | 5 | 0,2 | 0,0% | 40,0% | 20,0% | 0,0% | 0,0% | 20,0% | 20,0% |
| Érosion | 1 | 5 | 0,0% | 0,0% | 0,0% | 0,0% | 0,0% | 0,0% | 100,0% |
| Largeur de plage | 3 | 0,3333 | 0,0% | 33,3% | 0,0% | 0,0% | 33,3% | 33,3% | 0,0% |
| Rétablissement géomorphologique | 1 | 1 | 0,0% | 0,0% | 0,0% | 0,0% | 100,0% | 0,0% | 0,0% |
| Rétention sédimentaire | 6 | -0,5 | 0,0% | 50,0% | 0,0% | 16,7% | 0,0% | 33,3% | 0,0% |
| Profil topobathymétrique | 1 | 0 | 0,0% | 0,0% | 0,0% | 100,0% | 0,0% | 0,0% | 0,0% |
| Profil de plage | 1 | 0 | 0,0% | 0,0% | 0,0% | 100,0% | 0,0% | 0,0% | 0,0% |
| Transport sédimentaire | 4 | 0 | 0,0% | 50,0% | 0,0% | 0,0% | 0,0% | 50,0% | 0,0% |
| Transport longitudinal | 4 | 0 | 0,0% | 50,0% | 0,0% | 0,0% | 0,0% | 50,0% | 0,0% |
| Courant | 1 | -3 | 0,0% | 100,0% | 0,0% | 0,0% | 0,0% | 0,0% | 0,0% |
| Circulation | 1 | -3 | 0,0% | 100,0% | 0,0% | 0,0% | 0,0% | 0,0% | 0,0% |
| Jet de rive | 1 | -3 | 0,0% | 100,0% | 0,0% | 0,0% | 0,0% | 0,0% | 0,0% |
| Run-up | 1 | -3 | 0,0% | 100,0% | 0,0% | 0,0% | 0,0% | 0,0% | 0,0% |
| Processus dissipation | 1 | 0 | 0,0% | 0,0% | 0,0% | 100,0% | 0,0% | 0,0% | 0,0% |
| Énergie des vagues | 1 | 0 | 0,0% | 0,0% | 0,0% | 100,0% | 0,0% | 0,0% | 0,0% |
| Fins récréatives ou de loisirs | 27 | 0,2593 | 0,0% | 37,0% | 3,7% | 14,8% | 7,4% | 25,9% | 11,1% |
| Érosion/Accumulation | 19 | 0,6842 | 0,0% | 31,6% | 5,3% | 10,5% | 10,5% | 26,3% | 15,8% |
| Accumulation sédimentaire | 2 | 4 | 0,0% | 0,0% | 0,0% | 0,0% | 0,0% | 50,0% | 50,0% |
| Bilan sédimentaire | 1 | 0 | 0,0% | 0,0% | 0,0% | 100,0% | 0,0% | 0,0% | 0,0% |
| Déplacement du trait de côte | 5 | 0,2 | 0,0% | 40,0% | 20,0% | 0,0% | 0,0% | 20,0% | 20,0% |
| Érosion | 1 | 5 | 0,0% | 0,0% | 0,0% | 0,0% | 0,0% | 0,0% | 100,0% |
| Largeur de plage | 3 | 0,3333 | 0,0% | 33,3% | 0,0% | 0,0% | 33,3% | 33,3% | 0,0% |
| Rétablissement géomorphologique | 1 | 1 | 0,0% | 0,0% | 0,0% | 0,0% | 100,0% | 0,0% | 0,0% |
| Rétention sédimentaire | 6 | -0,5 | 0,0% | 50,0% | 0,0% | 16,7% | 0,0% | 33,3% | 0,0% |
| Profil topobathymétrique | 1 | 0 | 0,0% | 0,0% | 0,0% | 100,0% | 0,0% | 0,0% | 0,0% |
| Profil de plage | 1 | 0 | 0,0% | 0,0% | 0,0% | 100,0% | 0,0% | 0,0% | 0,0% |
| Transport sédimentaire | 4 | 0 | 0,0% | 50,0% | 0,0% | 0,0% | 0,0% | 50,0% | 0,0% |
| Transport longitudinal | 4 | 0 | 0,0% | 50,0% | 0,0% | 0,0% | 0,0% | 50,0% | 0,0% |

Identification d'ouvrages de protection côtière

Date : 2021-03-19

Cellule hydrosédimentaire :

version :

Groupe_0005

page : 106

| | | | | | | | | | |
|-----------------------------------|----|--------|-------|--------|--------|-------|-------|--------|-------|
| Système de barres | 9 | -0,778 | 11,1% | 44,4% | 0,0% | 0,0% | 11,1% | 33,3% | 0,0% |
| Variation bathymétrique localisée | 1 | -3 | 0,0% | 100,0% | 0,0% | 0,0% | 0,0% | 0,0% | 0,0% |
| Transport sédimentaire | 4 | -3,5 | 25,0% | 75,0% | 0,0% | 0,0% | 0,0% | 0,0% | 0,0% |
| Transport longitudinal | 2 | -4 | 50,0% | 50,0% | 0,0% | 0,0% | 0,0% | 0,0% | 0,0% |
| Transport sédimentaire général | 1 | -3 | 0,0% | 100,0% | 0,0% | 0,0% | 0,0% | 0,0% | 0,0% |
| Transport transversal | 1 | -3 | 0,0% | 100,0% | 0,0% | 0,0% | 0,0% | 0,0% | 0,0% |
| Courant | 10 | -1,2 | 10,0% | 60,0% | 0,0% | 0,0% | 0,0% | 20,0% | 10,0% |
| Circulation | 3 | 1 | 33,3% | 0,0% | 0,0% | 0,0% | 0,0% | 33,3% | 33,3% |
| Courant d'arrachement | 3 | -3 | 0,0% | 100,0% | 0,0% | 0,0% | 0,0% | 0,0% | 0,0% |
| Courant de marée | 1 | -3 | 0,0% | 100,0% | 0,0% | 0,0% | 0,0% | 0,0% | 0,0% |
| Dérive littorale | 3 | -1 | 0,0% | 66,7% | 0,0% | 0,0% | 0,0% | 33,3% | 0,0% |
| Jet de rive | 3 | -2,333 | 0,0% | 66,7% | 33,3% | 0,0% | 0,0% | 0,0% | 0,0% |
| Franchissement | 1 | -1 | 0,0% | 0,0% | 100,0% | 0,0% | 0,0% | 0,0% | 0,0% |
| Run-up | 2 | -3 | 0,0% | 100,0% | 0,0% | 0,0% | 0,0% | 0,0% | 0,0% |
| Processus dissipation | 11 | 2,2727 | 9,1% | 0,0% | 0,0% | 0,0% | 9,1% | 72,7% | 9,1% |
| Déferlement | 3 | 3 | 0,0% | 0,0% | 0,0% | 0,0% | 0,0% | 100,0% | 0,0% |
| Énergie des vagues | 5 | 1,4 | 20,0% | 0,0% | 0,0% | 0,0% | 0,0% | 80,0% | 0,0% |
| Hauteur de vagues | 2 | 3 | 0,0% | 0,0% | 0,0% | 0,0% | 50,0% | 0,0% | 50,0% |
| Transmission | 1 | 3 | 0,0% | 0,0% | 0,0% | 0,0% | 0,0% | 100,0% | 0,0% |
| Fins récréatives ou de loisirs | 63 | -0,492 | 12,7% | 39,7% | 1,6% | 3,2% | 4,8% | 30,2% | 7,9% |
| Érosion/Accumulation | 24 | -0,417 | 16,7% | 33,3% | 0,0% | 8,3% | 4,2% | 25,0% | 12,5% |
| Accumulation sédimentaire | 6 | 1,6667 | 0,0% | 16,7% | 0,0% | 0,0% | 16,7% | 66,7% | 0,0% |
| Bilan sédimentaire | 4 | -2,5 | 50,0% | 25,0% | 0,0% | 0,0% | 0,0% | 25,0% | 0,0% |
| Déplacement du trait de côte | 3 | -3 | 0,0% | 100,0% | 0,0% | 0,0% | 0,0% | 0,0% | 0,0% |
| Érosion | 9 | -1 | 22,2% | 33,3% | 0,0% | 22,2% | 0,0% | 0,0% | 22,2% |
| Largeur de plage | 2 | 4 | 0,0% | 0,0% | 0,0% | 0,0% | 0,0% | 50,0% | 50,0% |
| Profil topobathymétrique | 11 | -1,182 | 9,1% | 54,5% | 0,0% | 0,0% | 9,1% | 27,3% | 0,0% |
| Profil de plage | 1 | -3 | 0,0% | 100,0% | 0,0% | 0,0% | 0,0% | 0,0% | 0,0% |
| Système de barres | 9 | -0,778 | 11,1% | 44,4% | 0,0% | 0,0% | 11,1% | 33,3% | 0,0% |
| Variation bathymétrique localisée | 1 | -3 | 0,0% | 100,0% | 0,0% | 0,0% | 0,0% | 0,0% | 0,0% |
| Transport sédimentaire | 4 | -3,5 | 25,0% | 75,0% | 0,0% | 0,0% | 0,0% | 0,0% | 0,0% |
| Transport longitudinal | 2 | -4 | 50,0% | 50,0% | 0,0% | 0,0% | 0,0% | 0,0% | 0,0% |
| Transport sédimentaire général | 1 | -3 | 0,0% | 100,0% | 0,0% | 0,0% | 0,0% | 0,0% | 0,0% |
| Transport transversal | 1 | -3 | 0,0% | 100,0% | 0,0% | 0,0% | 0,0% | 0,0% | 0,0% |
| Courant | 10 | -1,2 | 10,0% | 60,0% | 0,0% | 0,0% | 0,0% | 20,0% | 10,0% |
| Circulation | 3 | 1 | 33,3% | 0,0% | 0,0% | 0,0% | 0,0% | 33,3% | 33,3% |
| Courant d'arrachement | 3 | -3 | 0,0% | 100,0% | 0,0% | 0,0% | 0,0% | 0,0% | 0,0% |
| Courant de marée | 1 | -3 | 0,0% | 100,0% | 0,0% | 0,0% | 0,0% | 0,0% | 0,0% |
| Dérive littorale | 3 | -1 | 0,0% | 66,7% | 0,0% | 0,0% | 0,0% | 33,3% | 0,0% |
| Jet de rive | 3 | -2,333 | 0,0% | 66,7% | 33,3% | 0,0% | 0,0% | 0,0% | 0,0% |
| Franchissement | 1 | -1 | 0,0% | 0,0% | 100,0% | 0,0% | 0,0% | 0,0% | 0,0% |
| Run-up | 2 | -3 | 0,0% | 100,0% | 0,0% | 0,0% | 0,0% | 0,0% | 0,0% |
| Processus dissipation | 11 | 2,2727 | 9,1% | 0,0% | 0,0% | 0,0% | 9,1% | 72,7% | 9,1% |
| Déferlement | 3 | 3 | 0,0% | 0,0% | 0,0% | 0,0% | 0,0% | 100,0% | 0,0% |
| Énergie des vagues | 5 | 1,4 | 20,0% | 0,0% | 0,0% | 0,0% | 0,0% | 80,0% | 0,0% |
| Hauteur de vagues | 2 | 3 | 0,0% | 0,0% | 0,0% | 0,0% | 50,0% | 0,0% | 50,0% |
| Transmission | 1 | 3 | 0,0% | 0,0% | 0,0% | 0,0% | 0,0% | 100,0% | 0,0% |
| Agr Services écologiques | 35 | -0,8 | 8,6% | 45,7% | 2,9% | 8,6% | 2,9% | 28,6% | 2,9% |
| Fins alimentaires | 8 | -1,5 | 0,0% | 75,0% | 0,0% | 0,0% | 0,0% | 25,0% | 0,0% |

Identification d'ouvrages de protection côtière

Date : 2021-03-19

Cellule hydrosédimentaire :

version :

Groupe_0005

page :

107

| | | | | | | | | | |
|---------------------------------|----|--------|-------|--------|-------|--------|-------|--------|-------|
| Profil topobathymétrique | 2 | 0 | 0,0% | 50,0% | 0,0% | 0,0% | 0,0% | 50,0% | 0,0% |
| Profil de plage | 2 | 0 | 0,0% | 50,0% | 0,0% | 0,0% | 0,0% | 50,0% | 0,0% |
| Processus dissipation | 1 | 3 | 0,0% | 0,0% | 0,0% | 0,0% | 0,0% | 100,0% | 0,0% |
| Énergie des vagues | 1 | 3 | 0,0% | 0,0% | 0,0% | 0,0% | 0,0% | 100,0% | 0,0% |
| Biocénose | 4 | -3 | 0,0% | 100,0% | 0,0% | 0,0% | 0,0% | 0,0% | 0,0% |
| Biocénose qualitative | 4 | -3 | 0,0% | 100,0% | 0,0% | 0,0% | 0,0% | 0,0% | 0,0% |
| Biotope | 1 | -3 | 0,0% | 100,0% | 0,0% | 0,0% | 0,0% | 0,0% | 0,0% |
| Mouvement de la ressource | 1 | -3 | 0,0% | 100,0% | 0,0% | 0,0% | 0,0% | 0,0% | 0,0% |
| Maintenance du cycle de vie | 8 | -1,5 | 0,0% | 75,0% | 0,0% | 0,0% | 0,0% | 25,0% | 0,0% |
| Profil topobathymétrique | 2 | 0 | 0,0% | 50,0% | 0,0% | 0,0% | 0,0% | 50,0% | 0,0% |
| Profil de plage | 2 | 0 | 0,0% | 50,0% | 0,0% | 0,0% | 0,0% | 50,0% | 0,0% |
| Processus dissipation | 1 | 3 | 0,0% | 0,0% | 0,0% | 0,0% | 0,0% | 100,0% | 0,0% |
| Énergie des vagues | 1 | 3 | 0,0% | 0,0% | 0,0% | 0,0% | 0,0% | 100,0% | 0,0% |
| Biocénose | 4 | -3 | 0,0% | 100,0% | 0,0% | 0,0% | 0,0% | 0,0% | 0,0% |
| Biocénose qualitative | 4 | -3 | 0,0% | 100,0% | 0,0% | 0,0% | 0,0% | 0,0% | 0,0% |
| Biotope | 1 | -3 | 0,0% | 100,0% | 0,0% | 0,0% | 0,0% | 0,0% | 0,0% |
| Mouvement de la ressource | 1 | -3 | 0,0% | 100,0% | 0,0% | 0,0% | 0,0% | 0,0% | 0,0% |
| Purification de l'eau | 3 | -0,333 | 0,0% | 33,3% | 33,3% | 0,0% | 0,0% | 33,3% | 0,0% |
| Courant | 2 | -2 | 0,0% | 50,0% | 50,0% | 0,0% | 0,0% | 0,0% | 0,0% |
| Circulation | 2 | -2 | 0,0% | 50,0% | 50,0% | 0,0% | 0,0% | 0,0% | 0,0% |
| Processus dissipation | 1 | 3 | 0,0% | 0,0% | 0,0% | 0,0% | 0,0% | 100,0% | 0,0% |
| Énergie des vagues | 1 | 3 | 0,0% | 0,0% | 0,0% | 0,0% | 0,0% | 100,0% | 0,0% |
| Protection côtière | 25 | 0,24 | 4,0% | 32,0% | 4,0% | 12,0% | 4,0% | 40,0% | 4,0% |
| Érosion/Accumulation | 18 | 0,5556 | 5,6% | 27,8% | 0,0% | 11,1% | 5,6% | 44,4% | 5,6% |
| Accumulation sédimentaire | 11 | 0,3636 | 9,1% | 27,3% | 0,0% | 9,1% | 0,0% | 54,5% | 0,0% |
| Bilan sédimentaire | 1 | 3 | 0,0% | 0,0% | 0,0% | 0,0% | 0,0% | 100,0% | 0,0% |
| Largeur de plage | 4 | 0,5 | 0,0% | 50,0% | 0,0% | 0,0% | 0,0% | 25,0% | 25,0% |
| Rétablissement géomorphologique | 2 | 0,5 | 0,0% | 0,0% | 0,0% | 50,0% | 50,0% | 0,0% | 0,0% |
| Profil topobathymétrique | 2 | 0 | 0,0% | 50,0% | 0,0% | 0,0% | 0,0% | 50,0% | 0,0% |
| Profil de plage | 2 | 0 | 0,0% | 50,0% | 0,0% | 0,0% | 0,0% | 50,0% | 0,0% |
| Transport sédimentaire | 2 | -1,5 | 0,0% | 50,0% | 0,0% | 50,0% | 0,0% | 0,0% | 0,0% |
| Transport longitudinal | 1 | -3 | 0,0% | 100,0% | 0,0% | 0,0% | 0,0% | 0,0% | 0,0% |
| Transport sédimentaire général | 1 | 0 | 0,0% | 0,0% | 0,0% | 100,0% | 0,0% | 0,0% | 0,0% |
| Courant | 2 | -2 | 0,0% | 50,0% | 50,0% | 0,0% | 0,0% | 0,0% | 0,0% |
| Circulation | 2 | -2 | 0,0% | 50,0% | 50,0% | 0,0% | 0,0% | 0,0% | 0,0% |
| Processus dissipation | 1 | 3 | 0,0% | 0,0% | 0,0% | 0,0% | 0,0% | 100,0% | 0,0% |
| Énergie des vagues | 1 | 3 | 0,0% | 0,0% | 0,0% | 0,0% | 0,0% | 100,0% | 0,0% |
| Fins récréatives ou de loisirs | 30 | -0,433 | 10,0% | 36,7% | 3,3% | 10,0% | 3,3% | 33,3% | 3,3% |
| Érosion/Accumulation | 18 | 0,5556 | 5,6% | 27,8% | 0,0% | 11,1% | 5,6% | 44,4% | 5,6% |
| Accumulation sédimentaire | 11 | 0,3636 | 9,1% | 27,3% | 0,0% | 9,1% | 0,0% | 54,5% | 0,0% |
| Bilan sédimentaire | 1 | 3 | 0,0% | 0,0% | 0,0% | 0,0% | 0,0% | 100,0% | 0,0% |
| Largeur de plage | 4 | 0,5 | 0,0% | 50,0% | 0,0% | 0,0% | 0,0% | 25,0% | 25,0% |
| Rétablissement géomorphologique | 2 | 0,5 | 0,0% | 0,0% | 0,0% | 50,0% | 50,0% | 0,0% | 0,0% |
| Profil topobathymétrique | 2 | 0 | 0,0% | 50,0% | 0,0% | 0,0% | 0,0% | 50,0% | 0,0% |
| Profil de plage | 2 | 0 | 0,0% | 50,0% | 0,0% | 0,0% | 0,0% | 50,0% | 0,0% |
| Transport sédimentaire | 2 | -1,5 | 0,0% | 50,0% | 0,0% | 50,0% | 0,0% | 0,0% | 0,0% |
| Transport longitudinal | 1 | -3 | 0,0% | 100,0% | 0,0% | 0,0% | 0,0% | 0,0% | 0,0% |
| Transport sédimentaire général | 1 | 0 | 0,0% | 0,0% | 0,0% | 100,0% | 0,0% | 0,0% | 0,0% |
| Courant | 2 | -2 | 0,0% | 50,0% | 50,0% | 0,0% | 0,0% | 0,0% | 0,0% |

Identification d'ouvrages de protection côtière

Date : 2021-03-19

Cellule hydrosédimentaire :

version :

Groupe_0005

page : 108

13 Brise-lame à crête basse

| | | | | | | | | | | |
|-----|------------------------------------|----|--------|-------|--------|-------|-------|-------|--------|-------|
| | Circulation | 2 | -2 | 0,0% | 50,0% | 50,0% | 0,0% | 0,0% | 0,0% | 0,0% |
| | Pratique de loisirs | 3 | -3,667 | 33,3% | 66,7% | 0,0% | 0,0% | 0,0% | 0,0% | 0,0% |
| | Loisirs aquatiques côtiers | 3 | -3,667 | 33,3% | 66,7% | 0,0% | 0,0% | 0,0% | 0,0% | 0,0% |
| | Qualité socio-culturelle | 2 | -4 | 50,0% | 50,0% | 0,0% | 0,0% | 0,0% | 0,0% | 0,0% |
| | Qualité de vie | 2 | -4 | 50,0% | 50,0% | 0,0% | 0,0% | 0,0% | 0,0% | 0,0% |
| | Processus dissipation | 1 | 3 | 0,0% | 0,0% | 0,0% | 0,0% | 0,0% | 100,0% | 0,0% |
| | Énergie des vagues | 1 | 3 | 0,0% | 0,0% | 0,0% | 0,0% | 0,0% | 100,0% | 0,0% |
| Agr | Services écologiques | 62 | -1 | 12,9% | 46,8% | 3,2% | 3,2% | 3,2% | 24,2% | 6,5% |
| | Fins alimentaires | 21 | -1,238 | 19,0% | 42,9% | 4,8% | 4,8% | 0,0% | 19,0% | 9,5% |
| | Profil topobathymétrique | 7 | -0,714 | 28,6% | 28,6% | 0,0% | 0,0% | 0,0% | 28,6% | 14,3% |
| | Variation bathymétrique généralisé | 3 | 1 | 33,3% | 0,0% | 0,0% | 0,0% | 0,0% | 33,3% | 33,3% |
| | Variation bathymétrique localisée | 4 | -2 | 25,0% | 50,0% | 0,0% | 0,0% | 0,0% | 25,0% | 0,0% |
| | Sédiments | 1 | -3 | 0,0% | 100,0% | 0,0% | 0,0% | 0,0% | 0,0% | 0,0% |
| | Taille granulométrique | 1 | -3 | 0,0% | 100,0% | 0,0% | 0,0% | 0,0% | 0,0% | 0,0% |
| | Processus dissipation | 3 | 3,6667 | 0,0% | 0,0% | 0,0% | 0,0% | 0,0% | 66,7% | 33,3% |
| | Énergie des vagues | 1 | 3 | 0,0% | 0,0% | 0,0% | 0,0% | 0,0% | 100,0% | 0,0% |
| | Hauteur de vagues | 2 | 4 | 0,0% | 0,0% | 0,0% | 0,0% | 0,0% | 50,0% | 50,0% |
| | Biocénose | 8 | -2,625 | 12,5% | 62,5% | 12,5% | 12,5% | 0,0% | 0,0% | 0,0% |
| | Biocénose qualitative | 8 | -2,625 | 12,5% | 62,5% | 12,5% | 12,5% | 0,0% | 0,0% | 0,0% |
| | Biotope | 2 | -4 | 50,0% | 50,0% | 0,0% | 0,0% | 0,0% | 0,0% | 0,0% |
| | Modification physico-chimique | 2 | -4 | 50,0% | 50,0% | 0,0% | 0,0% | 0,0% | 0,0% | 0,0% |
| | Maintenance du cycle de vie | 21 | -1,238 | 19,0% | 42,9% | 4,8% | 4,8% | 0,0% | 19,0% | 9,5% |
| | Profil topobathymétrique | 7 | -0,714 | 28,6% | 28,6% | 0,0% | 0,0% | 0,0% | 28,6% | 14,3% |
| | Variation bathymétrique généralisé | 3 | 1 | 33,3% | 0,0% | 0,0% | 0,0% | 0,0% | 33,3% | 33,3% |
| | Variation bathymétrique localisée | 4 | -2 | 25,0% | 50,0% | 0,0% | 0,0% | 0,0% | 25,0% | 0,0% |
| | Sédiments | 1 | -3 | 0,0% | 100,0% | 0,0% | 0,0% | 0,0% | 0,0% | 0,0% |
| | Taille granulométrique | 1 | -3 | 0,0% | 100,0% | 0,0% | 0,0% | 0,0% | 0,0% | 0,0% |
| | Processus dissipation | 3 | 3,6667 | 0,0% | 0,0% | 0,0% | 0,0% | 0,0% | 66,7% | 33,3% |
| | Énergie des vagues | 1 | 3 | 0,0% | 0,0% | 0,0% | 0,0% | 0,0% | 100,0% | 0,0% |
| | Hauteur de vagues | 2 | 4 | 0,0% | 0,0% | 0,0% | 0,0% | 0,0% | 50,0% | 50,0% |
| | Biocénose | 8 | -2,625 | 12,5% | 62,5% | 12,5% | 12,5% | 0,0% | 0,0% | 0,0% |
| | Biocénose qualitative | 8 | -2,625 | 12,5% | 62,5% | 12,5% | 12,5% | 0,0% | 0,0% | 0,0% |
| | Biotope | 2 | -4 | 50,0% | 50,0% | 0,0% | 0,0% | 0,0% | 0,0% | 0,0% |
| | Modification physico-chimique | 2 | -4 | 50,0% | 50,0% | 0,0% | 0,0% | 0,0% | 0,0% | 0,0% |
| | Purification de l'eau | 27 | -1 | 3,7% | 59,3% | 3,7% | 0,0% | 3,7% | 25,9% | 3,7% |
| | Courant | 23 | -1,783 | 4,3% | 69,6% | 4,3% | 0,0% | 4,3% | 17,4% | 0,0% |
| | Circulation | 12 | -1,667 | 0,0% | 75,0% | 0,0% | 0,0% | 8,3% | 16,7% | 0,0% |
| | Courant d'arrachement | 2 | -3 | 0,0% | 100,0% | 0,0% | 0,0% | 0,0% | 0,0% | 0,0% |
| | Courant transversaux | 6 | -2 | 16,7% | 50,0% | 16,7% | 0,0% | 0,0% | 16,7% | 0,0% |
| | Dérive littorale | 3 | -1 | 0,0% | 66,7% | 0,0% | 0,0% | 0,0% | 33,3% | 0,0% |
| | Processus dissipation | 4 | 3,5 | 0,0% | 0,0% | 0,0% | 0,0% | 0,0% | 75,0% | 25,0% |
| | Diffraction | 1 | 3 | 0,0% | 0,0% | 0,0% | 0,0% | 0,0% | 100,0% | 0,0% |
| | Énergie des vagues | 1 | 3 | 0,0% | 0,0% | 0,0% | 0,0% | 0,0% | 100,0% | 0,0% |
| | Hauteur de vagues | 2 | 4 | 0,0% | 0,0% | 0,0% | 0,0% | 0,0% | 50,0% | 50,0% |
| | Protection côtière | 52 | -0,635 | 11,5% | 44,2% | 1,9% | 1,9% | 3,8% | 28,8% | 7,7% |
| | Érosion/Accumulation | 13 | 0,7692 | 15,4% | 15,4% | 0,0% | 7,7% | 7,7% | 38,5% | 15,4% |
| | Accumulation sédimentaire | 7 | 2,7143 | 0,0% | 14,3% | 0,0% | 0,0% | 0,0% | 57,1% | 28,6% |
| | Bilan sédimentaire | 2 | 1,5 | 0,0% | 0,0% | 0,0% | 50,0% | 0,0% | 50,0% | 0,0% |
| | Déplacement du trait de côte | 2 | -2 | 50,0% | 0,0% | 0,0% | 0,0% | 50,0% | 0,0% | 0,0% |

Identification d'ouvrages de protection côtière

Date : 2021-03-19

Cellule hydrosédimentaire :

version :

Groupe_0005

page : 109

| | | | | | | | | | |
|------------------------------------|----|--------|-------|--------|-------|--------|-------|--------|-------|
| Érosion | 2 | -4 | 50,0% | 50,0% | 0,0% | 0,0% | 0,0% | 0,0% | 0,0% |
| Profil topobathymétrique | 7 | -0,714 | 28,6% | 28,6% | 0,0% | 0,0% | 0,0% | 28,6% | 14,3% |
| Variation bathymétrique généralisé | 3 | 1 | 33,3% | 0,0% | 0,0% | 0,0% | 0,0% | 33,3% | 33,3% |
| Variation bathymétrique localisée | 4 | -2 | 25,0% | 50,0% | 0,0% | 0,0% | 0,0% | 25,0% | 0,0% |
| Transport sédimentaire | 3 | -1,667 | 33,3% | 33,3% | 0,0% | 0,0% | 0,0% | 33,3% | 0,0% |
| Transport longitudinal | 2 | -1 | 50,0% | 0,0% | 0,0% | 0,0% | 0,0% | 50,0% | 0,0% |
| Transport sédimentaire général | 1 | -3 | 0,0% | 100,0% | 0,0% | 0,0% | 0,0% | 0,0% | 0,0% |
| Courant | 23 | -1,783 | 4,3% | 69,6% | 4,3% | 0,0% | 4,3% | 17,4% | 0,0% |
| Circulation | 12 | -1,667 | 0,0% | 75,0% | 0,0% | 0,0% | 8,3% | 16,7% | 0,0% |
| Courant d'arrachement | 2 | -3 | 0,0% | 100,0% | 0,0% | 0,0% | 0,0% | 0,0% | 0,0% |
| Courant transversaux | 6 | -2 | 16,7% | 50,0% | 16,7% | 0,0% | 0,0% | 16,7% | 0,0% |
| Dérive littorale | 3 | -1 | 0,0% | 66,7% | 0,0% | 0,0% | 0,0% | 33,3% | 0,0% |
| Jet de rive | 1 | -3 | 0,0% | 100,0% | 0,0% | 0,0% | 0,0% | 0,0% | 0,0% |
| Run-up | 1 | -3 | 0,0% | 100,0% | 0,0% | 0,0% | 0,0% | 0,0% | 0,0% |
| Processus dissipation | 4 | 3,5 | 0,0% | 0,0% | 0,0% | 0,0% | 0,0% | 75,0% | 25,0% |
| Diffraction | 1 | 3 | 0,0% | 0,0% | 0,0% | 0,0% | 0,0% | 100,0% | 0,0% |
| Énergie des vagues | 1 | 3 | 0,0% | 0,0% | 0,0% | 0,0% | 0,0% | 100,0% | 0,0% |
| Hauteur de vagues | 2 | 4 | 0,0% | 0,0% | 0,0% | 0,0% | 0,0% | 50,0% | 50,0% |
| Sédiments | 1 | -3 | 0,0% | 100,0% | 0,0% | 0,0% | 0,0% | 0,0% | 0,0% |
| Taille granulométrique | 1 | -3 | 0,0% | 100,0% | 0,0% | 0,0% | 0,0% | 0,0% | 0,0% |
| Fins récréatives ou de loisirs | 51 | -0,588 | 11,8% | 43,1% | 2,0% | 2,0% | 3,9% | 29,4% | 7,8% |
| Érosion/Accumulation | 13 | 0,7692 | 15,4% | 15,4% | 0,0% | 7,7% | 7,7% | 38,5% | 15,4% |
| Accumulation sédimentaire | 7 | 2,7143 | 0,0% | 14,3% | 0,0% | 0,0% | 0,0% | 57,1% | 28,6% |
| Bilan sédimentaire | 2 | 1,5 | 0,0% | 0,0% | 0,0% | 50,0% | 0,0% | 50,0% | 0,0% |
| Déplacement du trait de côte | 2 | -2 | 50,0% | 0,0% | 0,0% | 0,0% | 50,0% | 0,0% | 0,0% |
| Érosion | 2 | -4 | 50,0% | 50,0% | 0,0% | 0,0% | 0,0% | 0,0% | 0,0% |
| Profil topobathymétrique | 7 | -0,714 | 28,6% | 28,6% | 0,0% | 0,0% | 0,0% | 28,6% | 14,3% |
| Variation bathymétrique généralisé | 3 | 1 | 33,3% | 0,0% | 0,0% | 0,0% | 0,0% | 33,3% | 33,3% |
| Variation bathymétrique localisée | 4 | -2 | 25,0% | 50,0% | 0,0% | 0,0% | 0,0% | 25,0% | 0,0% |
| Transport sédimentaire | 3 | -1,667 | 33,3% | 33,3% | 0,0% | 0,0% | 0,0% | 33,3% | 0,0% |
| Transport longitudinal | 2 | -1 | 50,0% | 0,0% | 0,0% | 0,0% | 0,0% | 50,0% | 0,0% |
| Transport sédimentaire général | 1 | -3 | 0,0% | 100,0% | 0,0% | 0,0% | 0,0% | 0,0% | 0,0% |
| Courant | 23 | -1,783 | 4,3% | 69,6% | 4,3% | 0,0% | 4,3% | 17,4% | 0,0% |
| Circulation | 12 | -1,667 | 0,0% | 75,0% | 0,0% | 0,0% | 8,3% | 16,7% | 0,0% |
| Courant d'arrachement | 2 | -3 | 0,0% | 100,0% | 0,0% | 0,0% | 0,0% | 0,0% | 0,0% |
| Courant transversaux | 6 | -2 | 16,7% | 50,0% | 16,7% | 0,0% | 0,0% | 16,7% | 0,0% |
| Dérive littorale | 3 | -1 | 0,0% | 66,7% | 0,0% | 0,0% | 0,0% | 33,3% | 0,0% |
| Jet de rive | 1 | -3 | 0,0% | 100,0% | 0,0% | 0,0% | 0,0% | 0,0% | 0,0% |
| Run-up | 1 | -3 | 0,0% | 100,0% | 0,0% | 0,0% | 0,0% | 0,0% | 0,0% |
| Processus dissipation | 4 | 3,5 | 0,0% | 0,0% | 0,0% | 0,0% | 0,0% | 75,0% | 25,0% |
| Diffraction | 1 | 3 | 0,0% | 0,0% | 0,0% | 0,0% | 0,0% | 100,0% | 0,0% |
| Énergie des vagues | 1 | 3 | 0,0% | 0,0% | 0,0% | 0,0% | 0,0% | 100,0% | 0,0% |
| Hauteur de vagues | 2 | 4 | 0,0% | 0,0% | 0,0% | 0,0% | 0,0% | 50,0% | 50,0% |
| Agr Services écologiques | 76 | -2,711 | 14,5% | 65,8% | 5,3% | 13,2% | 0,0% | 1,3% | 0,0% |
| Fins alimentaires | 36 | -2,861 | 13,9% | 72,2% | 0,0% | 13,9% | 0,0% | 0,0% | 0,0% |
| Profil topobathymétrique | 4 | -1,5 | 0,0% | 50,0% | 0,0% | 50,0% | 0,0% | 0,0% | 0,0% |
| Profil de plage | 3 | -2 | 0,0% | 66,7% | 0,0% | 33,3% | 0,0% | 0,0% | 0,0% |
| Système de barres | 1 | 0 | 0,0% | 0,0% | 0,0% | 100,0% | 0,0% | 0,0% | 0,0% |
| Sédiments | 3 | -2 | 0,0% | 66,7% | 0,0% | 33,3% | 0,0% | 0,0% | 0,0% |

Identification d'ouvrages de protection côtière

Date : 2021-03-19

Cellule hydrosédimentaire :

version :

Groupe_0005

page : 110

| | | | | | | | | | |
|-------------------------------------|----|--------|-------|--------|-------|--------|------|-------|------|
| Taille granulométrique | 3 | -2 | 0,0% | 66,7% | 0,0% | 33,3% | 0,0% | 0,0% | 0,0% |
| Processus dissipation | 4 | -3 | 0,0% | 100,0% | 0,0% | 0,0% | 0,0% | 0,0% | 0,0% |
| Réflexion | 4 | -3 | 0,0% | 100,0% | 0,0% | 0,0% | 0,0% | 0,0% | 0,0% |
| Biocénose | 14 | -3,214 | 21,4% | 71,4% | 0,0% | 7,1% | 0,0% | 0,0% | 0,0% |
| Biocénose qualitative | 6 | -3,167 | 33,3% | 50,0% | 0,0% | 16,7% | 0,0% | 0,0% | 0,0% |
| Biocénose quantitative | 8 | -3,25 | 12,5% | 87,5% | 0,0% | 0,0% | 0,0% | 0,0% | 0,0% |
| Biotope | 11 | -3,091 | 18,2% | 72,7% | 0,0% | 9,1% | 0,0% | 0,0% | 0,0% |
| Modification physico-chimique | 3 | -3,667 | 33,3% | 66,7% | 0,0% | 0,0% | 0,0% | 0,0% | 0,0% |
| Modification structurelle | 3 | -2 | 0,0% | 66,7% | 0,0% | 33,3% | 0,0% | 0,0% | 0,0% |
| Quantité et qualité de la ressource | 5 | -3,4 | 20,0% | 80,0% | 0,0% | 0,0% | 0,0% | 0,0% | 0,0% |
| Maintenance du cycle de vie | 36 | -2,861 | 13,9% | 72,2% | 0,0% | 13,9% | 0,0% | 0,0% | 0,0% |
| Profil topobathymétrique | 4 | -1,5 | 0,0% | 50,0% | 0,0% | 50,0% | 0,0% | 0,0% | 0,0% |
| Profil de plage | 3 | -2 | 0,0% | 66,7% | 0,0% | 33,3% | 0,0% | 0,0% | 0,0% |
| Système de barres | 1 | 0 | 0,0% | 0,0% | 0,0% | 100,0% | 0,0% | 0,0% | 0,0% |
| Sédiments | 3 | -2 | 0,0% | 66,7% | 0,0% | 33,3% | 0,0% | 0,0% | 0,0% |
| Taille granulométrique | 3 | -2 | 0,0% | 66,7% | 0,0% | 33,3% | 0,0% | 0,0% | 0,0% |
| Processus dissipation | 4 | -3 | 0,0% | 100,0% | 0,0% | 0,0% | 0,0% | 0,0% | 0,0% |
| Réflexion | 4 | -3 | 0,0% | 100,0% | 0,0% | 0,0% | 0,0% | 0,0% | 0,0% |
| Biocénose | 14 | -3,214 | 21,4% | 71,4% | 0,0% | 7,1% | 0,0% | 0,0% | 0,0% |
| Biocénose qualitative | 6 | -3,167 | 33,3% | 50,0% | 0,0% | 16,7% | 0,0% | 0,0% | 0,0% |
| Biocénose quantitative | 8 | -3,25 | 12,5% | 87,5% | 0,0% | 0,0% | 0,0% | 0,0% | 0,0% |
| Biotope | 11 | -3,091 | 18,2% | 72,7% | 0,0% | 9,1% | 0,0% | 0,0% | 0,0% |
| Modification physico-chimique | 3 | -3,667 | 33,3% | 66,7% | 0,0% | 0,0% | 0,0% | 0,0% | 0,0% |
| Modification structurelle | 3 | -2 | 0,0% | 66,7% | 0,0% | 33,3% | 0,0% | 0,0% | 0,0% |
| Quantité et qualité de la ressource | 5 | -3,4 | 20,0% | 80,0% | 0,0% | 0,0% | 0,0% | 0,0% | 0,0% |
| Purification de l'eau | 5 | -3 | 0,0% | 100,0% | 0,0% | 0,0% | 0,0% | 0,0% | 0,0% |
| Courant | 1 | -3 | 0,0% | 100,0% | 0,0% | 0,0% | 0,0% | 0,0% | 0,0% |
| Dérive littorale | 1 | -3 | 0,0% | 100,0% | 0,0% | 0,0% | 0,0% | 0,0% | 0,0% |
| Processus dissipation | 4 | -3 | 0,0% | 100,0% | 0,0% | 0,0% | 0,0% | 0,0% | 0,0% |
| Réflexion | 4 | -3 | 0,0% | 100,0% | 0,0% | 0,0% | 0,0% | 0,0% | 0,0% |
| Protection côtière | 51 | -2,49 | 11,8% | 62,7% | 7,8% | 15,7% | 0,0% | 2,0% | 0,0% |
| Érosion/Accumulation | 31 | -2,452 | 19,4% | 48,4% | 12,9% | 16,1% | 0,0% | 3,2% | 0,0% |
| Accumulation sédimentaire | 2 | -1 | 50,0% | 0,0% | 0,0% | 0,0% | 0,0% | 50,0% | 0,0% |
| Bilan sédimentaire | 8 | -1,5 | 0,0% | 37,5% | 37,5% | 25,0% | 0,0% | 0,0% | 0,0% |
| Déplacement du trait de côte | 2 | -2,5 | 50,0% | 0,0% | 0,0% | 50,0% | 0,0% | 0,0% | 0,0% |
| Érosion | 3 | -2 | 0,0% | 66,7% | 0,0% | 33,3% | 0,0% | 0,0% | 0,0% |
| Largeur de plage | 11 | -3,545 | 36,4% | 54,5% | 9,1% | 0,0% | 0,0% | 0,0% | 0,0% |
| Rétablissement géomorphologique | 4 | -2,25 | 0,0% | 75,0% | 0,0% | 25,0% | 0,0% | 0,0% | 0,0% |
| Rétention sédimentaire | 1 | -3 | 0,0% | 100,0% | 0,0% | 0,0% | 0,0% | 0,0% | 0,0% |
| Profil topobathymétrique | 4 | -1,5 | 0,0% | 50,0% | 0,0% | 50,0% | 0,0% | 0,0% | 0,0% |
| Profil de plage | 3 | -2 | 0,0% | 66,7% | 0,0% | 33,3% | 0,0% | 0,0% | 0,0% |
| Système de barres | 1 | 0 | 0,0% | 0,0% | 0,0% | 100,0% | 0,0% | 0,0% | 0,0% |
| Transport sédimentaire | 3 | -3 | 0,0% | 100,0% | 0,0% | 0,0% | 0,0% | 0,0% | 0,0% |
| Transport longitudinal | 2 | -3 | 0,0% | 100,0% | 0,0% | 0,0% | 0,0% | 0,0% | 0,0% |
| Transport transversal | 1 | -3 | 0,0% | 100,0% | 0,0% | 0,0% | 0,0% | 0,0% | 0,0% |
| Courant | 1 | -3 | 0,0% | 100,0% | 0,0% | 0,0% | 0,0% | 0,0% | 0,0% |
| Dérive littorale | 1 | -3 | 0,0% | 100,0% | 0,0% | 0,0% | 0,0% | 0,0% | 0,0% |
| Jet de rive | 5 | -3 | 0,0% | 100,0% | 0,0% | 0,0% | 0,0% | 0,0% | 0,0% |
| Backwash/Swash | 5 | -3 | 0,0% | 100,0% | 0,0% | 0,0% | 0,0% | 0,0% | 0,0% |

Identification d'ouvrages de protection côtière

Date : 2021-03-19

Cellule hydrosédimentaire :

version :

Groupe_0005

page : 111

15 Enrochement

| | | | | | | | | | |
|-------------------------------------|----|--------|-------|--------|-------|--------|------|-------|------|
| Processus dissipation | 4 | -3 | 0,0% | 100,0% | 0,0% | 0,0% | 0,0% | 0,0% | 0,0% |
| Réflexion | 4 | -3 | 0,0% | 100,0% | 0,0% | 0,0% | 0,0% | 0,0% | 0,0% |
| Sédiments | 3 | -2 | 0,0% | 66,7% | 0,0% | 33,3% | 0,0% | 0,0% | 0,0% |
| Taille granulométrique | 3 | -2 | 0,0% | 66,7% | 0,0% | 33,3% | 0,0% | 0,0% | 0,0% |
| Fins récréatives ou de loisirs | 48 | -2,521 | 12,5% | 62,5% | 8,3% | 14,6% | 0,0% | 2,1% | 0,0% |
| Érosion/Accumulation | 31 | -2,452 | 19,4% | 48,4% | 12,9% | 16,1% | 0,0% | 3,2% | 0,0% |
| Accumulation sédimentaire | 2 | -1 | 50,0% | 0,0% | 0,0% | 0,0% | 0,0% | 50,0% | 0,0% |
| Bilan sédimentaire | 8 | -1,5 | 0,0% | 37,5% | 37,5% | 25,0% | 0,0% | 0,0% | 0,0% |
| Déplacement du trait de côte | 2 | -2,5 | 50,0% | 0,0% | 0,0% | 50,0% | 0,0% | 0,0% | 0,0% |
| Érosion | 3 | -2 | 0,0% | 66,7% | 0,0% | 33,3% | 0,0% | 0,0% | 0,0% |
| Largeur de plage | 11 | -3,545 | 36,4% | 54,5% | 9,1% | 0,0% | 0,0% | 0,0% | 0,0% |
| Rétablissement géomorphologique | 4 | -2,25 | 0,0% | 75,0% | 0,0% | 25,0% | 0,0% | 0,0% | 0,0% |
| Rétention sédimentaire | 1 | -3 | 0,0% | 100,0% | 0,0% | 0,0% | 0,0% | 0,0% | 0,0% |
| Profil topobathymétrique | 4 | -1,5 | 0,0% | 50,0% | 0,0% | 50,0% | 0,0% | 0,0% | 0,0% |
| Profil de plage | 3 | -2 | 0,0% | 66,7% | 0,0% | 33,3% | 0,0% | 0,0% | 0,0% |
| Système de barres | 1 | 0 | 0,0% | 0,0% | 0,0% | 100,0% | 0,0% | 0,0% | 0,0% |
| Transport sédimentaire | 3 | -3 | 0,0% | 100,0% | 0,0% | 0,0% | 0,0% | 0,0% | 0,0% |
| Transport longitudinal | 2 | -3 | 0,0% | 100,0% | 0,0% | 0,0% | 0,0% | 0,0% | 0,0% |
| Transport transversal | 1 | -3 | 0,0% | 100,0% | 0,0% | 0,0% | 0,0% | 0,0% | 0,0% |
| Courant | 1 | -3 | 0,0% | 100,0% | 0,0% | 0,0% | 0,0% | 0,0% | 0,0% |
| Dérive littorale | 1 | -3 | 0,0% | 100,0% | 0,0% | 0,0% | 0,0% | 0,0% | 0,0% |
| Jet de rive | 5 | -3 | 0,0% | 100,0% | 0,0% | 0,0% | 0,0% | 0,0% | 0,0% |
| Backwash/Swash | 5 | -3 | 0,0% | 100,0% | 0,0% | 0,0% | 0,0% | 0,0% | 0,0% |
| Processus dissipation | 4 | -3 | 0,0% | 100,0% | 0,0% | 0,0% | 0,0% | 0,0% | 0,0% |
| Réflexion | 4 | -3 | 0,0% | 100,0% | 0,0% | 0,0% | 0,0% | 0,0% | 0,0% |
| Agr Services écologiques | 54 | -3,389 | 37,0% | 51,9% | 3,7% | 5,6% | 0,0% | 1,9% | 0,0% |
| Fins alimentaires | 43 | -3,442 | 37,2% | 53,5% | 4,7% | 2,3% | 0,0% | 2,3% | 0,0% |
| Profil topobathymétrique | 3 | -3 | 0,0% | 100,0% | 0,0% | 0,0% | 0,0% | 0,0% | 0,0% |
| Profil de plage | 2 | -3 | 0,0% | 100,0% | 0,0% | 0,0% | 0,0% | 0,0% | 0,0% |
| Système de barres | 1 | -3 | 0,0% | 100,0% | 0,0% | 0,0% | 0,0% | 0,0% | 0,0% |
| Sédiments | 2 | -3 | 0,0% | 100,0% | 0,0% | 0,0% | 0,0% | 0,0% | 0,0% |
| Taille granulométrique | 2 | -3 | 0,0% | 100,0% | 0,0% | 0,0% | 0,0% | 0,0% | 0,0% |
| Biocénose | 24 | -3,458 | 37,5% | 50,0% | 8,3% | 4,2% | 0,0% | 0,0% | 0,0% |
| Biocénose qualitative | 13 | -3,538 | 46,2% | 38,5% | 7,7% | 7,7% | 0,0% | 0,0% | 0,0% |
| Biocénose quantitative | 11 | -3,364 | 27,3% | 63,6% | 9,1% | 0,0% | 0,0% | 0,0% | 0,0% |
| Biotope | 14 | -3,571 | 50,0% | 42,9% | 0,0% | 0,0% | 0,0% | 7,1% | 0,0% |
| Modification physico-chimique | 2 | -3 | 0,0% | 100,0% | 0,0% | 0,0% | 0,0% | 0,0% | 0,0% |
| Modification structurelle | 8 | -3,75 | 75,0% | 12,5% | 0,0% | 0,0% | 0,0% | 12,5% | 0,0% |
| Quantité et qualité de la ressource | 4 | -3,5 | 25,0% | 75,0% | 0,0% | 0,0% | 0,0% | 0,0% | 0,0% |
| Maintenance du cycle de vie | 43 | -3,442 | 37,2% | 53,5% | 4,7% | 2,3% | 0,0% | 2,3% | 0,0% |
| Profil topobathymétrique | 3 | -3 | 0,0% | 100,0% | 0,0% | 0,0% | 0,0% | 0,0% | 0,0% |
| Profil de plage | 2 | -3 | 0,0% | 100,0% | 0,0% | 0,0% | 0,0% | 0,0% | 0,0% |
| Système de barres | 1 | -3 | 0,0% | 100,0% | 0,0% | 0,0% | 0,0% | 0,0% | 0,0% |
| Sédiments | 2 | -3 | 0,0% | 100,0% | 0,0% | 0,0% | 0,0% | 0,0% | 0,0% |
| Taille granulométrique | 2 | -3 | 0,0% | 100,0% | 0,0% | 0,0% | 0,0% | 0,0% | 0,0% |
| Biocénose | 24 | -3,458 | 37,5% | 50,0% | 8,3% | 4,2% | 0,0% | 0,0% | 0,0% |
| Biocénose qualitative | 13 | -3,538 | 46,2% | 38,5% | 7,7% | 7,7% | 0,0% | 0,0% | 0,0% |
| Biocénose quantitative | 11 | -3,364 | 27,3% | 63,6% | 9,1% | 0,0% | 0,0% | 0,0% | 0,0% |
| Biotope | 14 | -3,571 | 50,0% | 42,9% | 0,0% | 0,0% | 0,0% | 7,1% | 0,0% |

Identification d'ouvrages de protection côtière

Date : 2021-03-19

Cellule hydrosédimentaire :

version :

Groupe_0005

page : 112

| | | | | | | | | | |
|-------------------------------------|----|--------|-------|--------|------|-------|------|-------|------|
| Modification physico-chimique | 2 | -3 | 0,0% | 100,0% | 0,0% | 0,0% | 0,0% | 0,0% | 0,0% |
| Modification structurelle | 8 | -3,75 | 75,0% | 12,5% | 0,0% | 0,0% | 0,0% | 12,5% | 0,0% |
| Quantité et qualité de la ressource | 4 | -3,5 | 25,0% | 75,0% | 0,0% | 0,0% | 0,0% | 0,0% | 0,0% |
| Protection côtière | 16 | -3,125 | 25,0% | 62,5% | 0,0% | 12,5% | 0,0% | 0,0% | 0,0% |
| Érosion/Accumulation | 11 | -3,182 | 36,4% | 45,5% | 0,0% | 18,2% | 0,0% | 0,0% | 0,0% |
| Érosion | 2 | -3 | 0,0% | 100,0% | 0,0% | 0,0% | 0,0% | 0,0% | 0,0% |
| Largeur de plage | 9 | -3,222 | 44,4% | 33,3% | 0,0% | 22,2% | 0,0% | 0,0% | 0,0% |
| Profil topobathymétrique | 3 | -3 | 0,0% | 100,0% | 0,0% | 0,0% | 0,0% | 0,0% | 0,0% |
| Profil de plage | 2 | -3 | 0,0% | 100,0% | 0,0% | 0,0% | 0,0% | 0,0% | 0,0% |
| Système de barres | 1 | -3 | 0,0% | 100,0% | 0,0% | 0,0% | 0,0% | 0,0% | 0,0% |
| Sédiments | 2 | -3 | 0,0% | 100,0% | 0,0% | 0,0% | 0,0% | 0,0% | 0,0% |
| Taille granulométrique | 2 | -3 | 0,0% | 100,0% | 0,0% | 0,0% | 0,0% | 0,0% | 0,0% |
| Fins récréatives ou de loisirs | 14 | -3,143 | 28,6% | 57,1% | 0,0% | 14,3% | 0,0% | 0,0% | 0,0% |
| Érosion/Accumulation | 11 | -3,182 | 36,4% | 45,5% | 0,0% | 18,2% | 0,0% | 0,0% | 0,0% |
| Érosion | 2 | -3 | 0,0% | 100,0% | 0,0% | 0,0% | 0,0% | 0,0% | 0,0% |
| Largeur de plage | 9 | -3,222 | 44,4% | 33,3% | 0,0% | 22,2% | 0,0% | 0,0% | 0,0% |
| Profil topobathymétrique | 3 | -3 | 0,0% | 100,0% | 0,0% | 0,0% | 0,0% | 0,0% | 0,0% |
| Profil de plage | 2 | -3 | 0,0% | 100,0% | 0,0% | 0,0% | 0,0% | 0,0% | 0,0% |
| Système de barres | 1 | -3 | 0,0% | 100,0% | 0,0% | 0,0% | 0,0% | 0,0% | 0,0% |